OURNAL DE PHYSIQUE

sous le patronage de la Société Française de Physique concours du National de la Recherche Scientifique

Europhysics Journal

5, 1984 ISSN 0302-0738



ex Général

blications 1984

D.I.C. APR 2 4 1985 LIBRARY





JOURNAL DE PHYSIQUE

Tome 45 — 1984

Abu Safia (H.) et Husson (X.). — Mesure de constantes de		Batistić (I.), Bjeliš (A.) and Gor'kov (L. P.). — Generation of	
structure hyperfine de niveaux 6p du xénon et 5p du		the coherent pulses by the CDW-motion. Solutions of	
krypton	863	the microscopic model equations	1049
Achard (J. C.). — Voir Lamloumi (J.)	1643	Bauche (J.). — Voir Fonseca (A. L. A.).	885
Achard (M. F.). — Voir Hardouin (F.)	765	Baudon (J.). — Voir Robert (J.).	225
Adam (M.) and Delsanti (M.). — Viscosity and longest relaxa-		Baumann (C.), Marcerou (J. P.), Rouillon (J. C.) and Prost	
tion time of semi-dilute polymer solutions. II. Theta		(J.). — Pretransitional effects in isotropic phases close to	
solvent	1513	nematic, nematic discoid and columnar phases	451
Adam (M.). — Voir Perzynski (R.).	1765	Bazin (C.). — Voir Elleaume (P.)	989
Akkermans (E.) and Maynard (R.). — Chains of random		Bechgaard (K.). — Voir Takahashi (T.)	945
impedances	1549	Bendali (N.), Duong (H. T.), Saint-Jalm (J. M.) and Vialle	
Alastuey (A.) and Lebowitz (J. L.). — The two-dimensional		(J. L.). — Two methods for nuclear spin determination	
one-component plasma in an inhomogeneous back-		in collinear laser spectroscopy: classical r.f. magnetic	
ground : exact results	1859	resonance and observation of the Larmor precession	421
Albertini (G.), Fanelli (E.), Guillon (D.), Melone (S.), Poeti		Bensaid (J.). — Voir Dumas (J. P.).	1543
(G.), Rustichelli (F.) and Torquati (G.). — Mesomorphic		Ben Salem (A.), Meerschaut (A.), Salva (H.), Wang (Z. Z.) and	
properties and molecular structure. II. Structure of the		Sambongi (T.). — The (Fe, Nb)Nb ₂ Se ₁₀ family : resis-	
smectic A phase in the 4-propionyl-4'-n-alkanoyloxy-		tivity and magnetic measurements	771
azo-benzene series	341	Berge (B.). — Voir Dolino (G.)	361
Alexander (S.). — Is the elastic energy of amorphous mate-		Berge (B.). — Voir Dolino (G.).	901
rials rotationally invariant ?	1939	Berge (B.), Dolino (G.), Vallade (M.), Boissier (M.) and	
Alicka (M.). — Voir Schneider (S.)	1272	Vacher (R.). — Incommensurate phase of quartz. II:	
Alloul (H.). — Voir Chapellier (M.)	1033	Brillouin scattering studies	715
Almairac (R.). — Voir Marion (G.).	929	Bergès (J.). — Voir Perrin (H.)	1947
Amado (M. M.). — Voir Moreira (J. M.)	779	Bergher (M.). — Voir Elleaume (P.).	989
Amelinckx (S.). — Voir Dolino (G.)	901	Bernas (M.). — Voir Pougheon (F.)	65
Amoretti (G.). — Calculation of the Stevens factors α , β and		Berthier (C.). — Voir Minier (M.).	739
y in the intermediate coupling scheme for U and Np ions		Berthier (S.). — Voir Bittar (A.)	623
with f ² , f ³ and f ⁴ configurations	1067	Besnard (M.), Lassegues (J. C.), Lichanot (A.) and Nery (H.).	
Amrouche (A.). — Voir Conan (A.).	459	— Dynamics of non-rigid molecules I. — ¹³ C T ₁ NMR	
André (D.), Ceccaldi (D.) and Szwarc (H.). — Glassy crys-		study of the reorientational and ring-puckering motions	487
tals III: X-ray determination of the structures of the	721	of cyclopentene in the liquid state	497
plastic and glassy crystalline phases of cyclohexanol	731	Besnard (M.). — Voir Lassegues (J. C.). Bhattacharjee (A. K.). — Voir Bonville (P.).	467
Armelles (G.), Barrau (J.), Thébault (D.) and Brousseau (M.).		Bieber (A.). — Voir Tréglia (G.).	283
— Zeeman spectroscopy of luminescence from vanadium	1795	Bienfait (M.). — Voir Gay (J. M.)	1497
doped gallium arsenide	1843	Billardon (M.). — Voir Elleaume (P.)	989
Aslangul (C.) and Saint-James (D.). — Continuum Hartree	1043	Billardon (M.). — Voir Ortega (J. M.).	1883
Fock scheme for 1-d organic polymers	1401	Birgeneau (R. J.). — Voir Ocko (B. M.).	113
Aslangul (C.) and Saint-James (D.). — A Luttinger model for	1401	Birgeneau (R. J.). — Voir Kortan (A. R.)	529
1-d organic polymers	1409	Bittar (A.), Berthier (S.) and Lafait (J.). — Non metal-metal	
Auvray (L.), Cotton (JP.), Ober (R.) and Taupin (C.).		transition in Bruggeman optical theory for inhomoge-	
Concentrated Winsor microemulsions : a small angle		neous media	623
X-ray scattering study	913	Bjeliš (A.). — Voir Batistić (I.)	1049
Avila (G.). — Voir De Clercq (E.)	239	Blinowski (J.) and Rigaux (C.). — Theory of magnetic sus-	
		ceptibility in acceptor and donor graphite intercalation	
		compounds	545
		Bockel (C.), Menaucourt (J.) et Thomy (A.). — Comparaison	
Bachheimer (J. P.). — Voir Dolino (G.)	361	des propriétés thermodynamiques des films d'éthylène	
Bachheimer (J. P.). — Voir Dolino (G.)	901	adsorbés sur nitrure de bore et graphite	1391
Balandin (V. A.). — Voir Posechnik (S. V.).	441	Bočvarski (V.). — Voir Robert (J.)	225
Balkanski (M.). — Voir Meskini (N.).	1707	Boissier (M.). — Voir Berge (B.)	715
Barbosa (G. A.). — Voir Russi (R.).	1773	Bonnet (A.). — Voir Conan (A.).	459
Barišić (S.). — Voir Botrić (S.)	185	Bonnet (J.), Soonckindt (L.) et Lassabatère (L.). — Modifi-	
Baros (F.) and Regnier (S.). — Measurement of cross sections		cations du travail de sortie des surfaces clivées de GaAs,	1101
for ²² Na, ²⁰⁻²² Ne and ³⁶⁻⁴² Ar in the spallation of Mg,		liées au refroidissement	1191
Al, Si, Ca and Fe. Production ratios of some cosmogenic		Bonnet (J.), Soonckindt (L.), Palau (JM.), Mansour (H.) et	
nuclides in meteorites	855	Lassabatère (L.). — Barrière de surface d'un semiconduc-	
Barrau (J.). — Voir Armelles (G.)	1795	teur en fonction de la température dans le cas de distri-	1107
Bartholin (H.), Breandon (C.), Tchapoutian (R.) and Vogt (O.).		butions complexes d'états. Calcul et exploitation	1197
— Magnetic properties of $U_{1-x}Th_xAs$ and $UAS_{1-x}Se_x$		Bonville (P.), Gonzalez-Jimenez (F.), Imbert (P.), Jéhanno (G.), Lopes (L. C.), Bhattacharjee (A. K.) and Coqblin (B.).	
compounds	1183	Mössbauer emission spectra and electronic properties	
Bartolino (R.) and Durand (G.). — Mechanical study of the	000	of ¹⁷⁰ Yb ³⁺ in palladium	467
ferroelastic smectic A to smectic C phase transition	889	of to in panadidin	.01

Bose (T. K.), Chahine (R.), Merabet (M.) and Thoen (J.).		Chilingaryan (Yu. S.), Hakopyan (R. S.), Tabiryan (N. V.)	
Dielectric study of the liquid crystal compound octyl-		and Zel'Dovich (B. Ya.). — Orientational optical non-	
cyanobiphenyl (8CB) using time domain spectroscopy	1329	linearity near the instability of nematic liquid crystal	
Botet (R.). — Voir Jullien (R.).	395	flow over an inclined plane	413
Botrić (S.) and Barišić (S.). — Coulomb screening in quasi	1.74	Chouteau (G.). — Voir Daudin (B.)	169
one-dimensional conductors. II. Bosonization method.	185	Chubukov (A. V.). — On the existence of long-range order in	
Bouchiat (C.) and Mézard (M.). — Parity violation in metals	1583	low-dimensional quantum spin systems with planar	401
Bougarfa (L.). — Voir Dumas (J. P.).	1543	symmetry	401
Bouligand (Y.) and Livolant (F.). — The organization of cho-	1900	Cohen-Addad (J. P.), Domard (M.), Lorentz (G.) and Herz	
lesteric spherulites.	1899	(J.). — Polymeric gels. NMR study of elementary chain	575
Boulmer-Leborgne (C.). — Voir Gousset (G.)	689	swelling. Effect of trapped topological constraints Cohen-Tannoudji (C.). — Voir Dalibard (J.)	575 637
(A. J.). — A correlation between short range smectic-		Collaudin (B.). — Voir Papoular (M.).	1577
like ordering and the elastic constants of nematic liquid		Collin (J. P.), Cherqui (N.), Jullien (P.) et Ormancey (G.).	1011
crystals	157	Propriétés électroniques des défauts des titanates de	
Braga (M. E.). — Voir Moreira (J. M.).	779	baryum tirés, purs ou dopés en fer	601
Brand (H. R.) and Pleiner (H.). — Macroscopic dynamics of		Colomb de Daunant (I.). — Voir Robert (J.)	225
chiral smectic C	563	Conan (A.), Bonnet (A.), Amrouche (A.) and Spiesser (M.).	
Breandon (C.). — Voir Bartholin (H.)	1183	Semiconducting properties and band structure of MoTe ₂	
Breton (J.). — Voir Glass-Maujean (M.)	1107	single crystals	459
Briát (B.). — Voir Moncorgé (R.)	1143	Conard (J.), Estrade-Szwarckopf (H.), Dianoux (A. J.) and	
Bricault (P.). — Voir Pouliot (J.)	71	Poinsignon (C.). — Water dynamics in a planar lithium	
Brochard (F.), Jouffroy (J.) and Levinson (P.). — Phase dia-	not the	hydrate in the interlayer space of a swelling clay. A neu-	
grams of mesomorphic mixtures	1125	tron scattering study	1361
Brousseau (M.). — Voir Armelles (G.).	1795	Coqblin (B.). — Voir Bonville (P.).	467
Broyer (M.). — Voir Tran-Ba-Chu	1599 1449	Cotton (JP.). — Voir Auvray (L.).	913
Bruzzese (R.). — Voir Hogan (D. C.). Buchet (J. P.). — Voir Grandin (J. P.).	1423	Coulomb (J. P.) et Vilches (O. E.). — Adsorption physique de molécules simples sur une surface homogène de symé-	
Buchet-Poulizac (M. C.). — Voir Grandin (J. P.).	1423	trie carrée. I. Préparation et caractérisation du substrat	
Buisson (R.) and Liu (J. O.). — Fluorescence quenching of	1723	d'oxyde de magnésium	1381
Nd ³⁺ in LaF ₃ studied by direct measurements on pairs.	1523	Craievich (A.), Doucet (J.) and Denicoló (I.). — Structure	1501
Buisson (R.), Liu (J. Q.) and Vial (J. C.). — Double excitation	Cracks	and molecular disorder in three modifications of a	
of Nd ³⁺ pairs in LaF ₃ by two step and double quantum		binary C ₂₃ H ₄₈ -C ₂₄ H ₅₀ paraffin	1473
processes	1533	Croquette (V.). — Voir Pocheau (A.)	3.5
Burrafato (G.), Mancini (N. A.) and Troja (S. O.). — Super-			
conducting parameters of lead in Al/Formvar/Pb tunnel			
junctions	1789		
Bystricky (J.), Lehar (F.) and Winternitz (P.). — On tests of			
	1789 207	Dabrowski (R.) and Szulc (J.). — Binary systems of smectis A with enhanced nematic phase.	1213
Bystricky (J.), Lehar (F.) and Winternitz (P.). — On tests of time reversal invariance in nucleon nucleon scattering.	207	Dabrowski (R.) and Szulc (J.). — Binary systems of smectis A with enhanced nematic phase	1213
Bystricky (J.), Lehar (F.) and Winternitz (P.). — On tests of	207	Dabrowski (R.) and Szulc (J.). — Binary systems of smectis A with enhanced nematic phase	
Bystricky (J.), Lehar (F.) and Winternitz (P.). — On tests of time reversal invariance in nucleon nucleon scattering.	207	Dabrowski (R.) and Szulc (J.). — Binary systems of smectis A with enhanced nematic phase	1213
Bystricky (J.), Lehar (F.) and Winternitz (P.). — On tests of time reversal invariance in nucleon nucleon scattering Candau (F.). — Voir Hirsch (E.)	207	Dabrowski (R.) and Szulc (J.). — Binary systems of smectis A with enhanced nematic phase	
Bystricky (J.), Lehar (F.) and Winternitz (P.). — On tests of time reversal invariance in nucleon nucleon scattering Candau (F.). — Voir Hirsch (E.)	207	Dabrowski (R.) and Szulc (J.). — Binary systems of smectis A with enhanced nematic phase	
Bystricky (J.), Lehar (F.) and Winternitz (P.). — On tests of time reversal invariance in nucleon nucleon scattering Candau (F.). — Voir Hirsch (E.)	207	Dabrowski (R.) and Szulc (J.). — Binary systems of smectis A with enhanced nematic phase	637
Bystricky (J.), Lehar (F.) and Winternitz (P.). — On tests of time reversal invariance in nucleon nucleon scattering Candau (F.). — Voir Hirsch (E.)	207	Dabrowski (R.) and Szulc (J.). — Binary systems of smectis A with enhanced nematic phase. Dalibard (J.), Dupont-Roc (J.) and Cohen-Tannoudji (C.). — Dynamics of a small system coupled to a reservoir reservoir fluctuations and self-reaction. Dalmolen (L. G. P.), Egberts (E.) and de Jeu (W. H.). — Order parameters of a nematic liquid crystal with low optical anisotropy as determined by depolarized Raman scattering.	
Bystricky (J.), Lehar (F.) and Winternitz (P.). — On tests of time reversal invariance in nucleon nucleon scattering Candau (F.). — Voir Hirsch (E.)	207 257 1263	Dabrowski (R.) and Szulc (J.). — Binary systems of smectis A with enhanced nematic phase	637
Bystricky (J.), Lehar (F.) and Winternitz (P.). — On tests of time reversal invariance in nucleon nucleon scattering Candau (F.). — Voir Hirsch (E.)	207 257 1263	Dabrowski (R.) and Szulc (J.). — Binary systems of smectis A with enhanced nematic phase	637
Bystricky (J.), Lehar (F.) and Winternitz (P.). — On tests of time reversal invariance in nucleon nucleon scattering Candau (F.). — Voir Hirsch (E.)	207 257 1263 1143	Dabrowski (R.) and Szulc (J.). — Binary systems of smectis A with enhanced nematic phase. Dalibard (J.), Dupont-Roc (J.) and Cohen-Tannoudji (C.). — Dynamics of a small system coupled to a reservoir reservoir fluctuations and self-reaction	637 129 151
Candau (F.). — Voir Hirsch (E.)	207 257 1263 1143	Dabrowski (R.) and Szulc (J.). — Binary systems of smectis A with enhanced nematic phase. Dalibard (J.), Dupont-Roc (J.) and Cohen-Tannoudji (C.). — Dynamics of a small system coupled to a reservoir reservoir fluctuations and self-reaction	637
Candau (F.). — Voir Hirsch (E.). — On tests of time reversal invariance in nucleon nucleon scattering Candau (F.). — Voir Hirsch (E.)	207 257 1263 1143 1827 1337	Dabrowski (R.) and Szulc (J.). — Binary systems of smectis A with enhanced nematic phase. Dalibard (J.), Dupont-Roc (J.) and Cohen-Tannoudji (C.). — Dynamics of a small system coupled to a reservoir reservoir fluctuations and self-reaction. Dalmolen (L. G. P.), Egberts (E.) and de Jeu (W. H.). — Order parameters of a nematic liquid crystal with low optical anisotropy as determined by depolarized Raman scattering. Daoud (M.) and Family (F.). — Polydispersity and scaling in linear polymer condensates. Daudin (B.), Chouteau (G.) and M'sirdi (N.). — Irreversible effects in the paramagnetic state of DyVO4 in the crystallographic distorted phase. Davies (B. L.). — Comments on the paper: « Allowed sym-	637 129 151
Candau (F.). — Voir Hirsch (E.)	207 257 1263 1143	Dabrowski (R.) and Szulc (J.). — Binary systems of smectis A with enhanced nematic phase	129 151
Bystricky (J.), Lehar (F.) and Winternitz (P.). — On tests of time reversal invariance in nucleon nucleon scattering Candau (F.). — Voir Hirsch (E.)	207 257 1263 1143 1827 1337	Dabrowski (R.) and Szulc (J.). — Binary systems of smectis A with enhanced nematic phase	129 151 169
Candau (F.). — Voir Hirsch (E.)	207 257 1263 1143 1827 1337 1297	Dabrowski (R.) and Szulc (J.). — Binary systems of smectis A with enhanced nematic phase. Dalibard (J.), Dupont-Roc (J.) and Cohen-Tannoudji (C.). — Dynamics of a small system coupled to a reservoir reservoir fluctuations and self-reaction. Dalmolen (L. G. P.), Egberts (E.) and de Jeu (W. H.). — Order parameters of a nematic liquid crystal with low optical anisotropy as determined by depolarized Raman scattering. Daoud (M.) and Family (F.). — Polydispersity and scaling in linear polymer condensates. Daudin (B.), Chouteau (G.) and M'sirdi (N.). — Irreversible effects in the paramagnetic state of DyVO ₄ in the crystallographic distorted phase. Davies (B. L.). — Comments on the paper: « Allowed symmetries of soft modes in cubic crystals » by H. W. Kunert and J. Zielinski. Deacon (D. A. G.). — Voir Elleaume (P.).	129 151 169 963 989
Candau (F.). — Voir Hirsch (E.)	207 257 1263 1143 1827 1337 1297	Dabrowski (R.) and Szulc (J.). — Binary systems of smectis A with enhanced nematic phase. Dalibard (J.), Dupont-Roc (J.) and Cohen-Tannoudji (C.). — Dynamics of a small system coupled to a reservoir reservoir fluctuations and self-reaction. Dalmolen (L. G. P.), Egberts (E.) and de Jeu (W. H.). — Order parameters of a nematic liquid crystal with low optical anisotropy as determined by depolarized Raman scattering. Daoud (M.) and Family (F.). — Polydispersity and scaling in linear polymer condensates. Daudin (B.), Chouteau (G.) and M'sirdi (N.). — Irreversible effects in the paramagnetic state of DyVO ₄ in the crystallographic distorted phase. Davies (B. L.). — Comments on the paper : « Allowed symmetries of soft modes in cubic crystals » by H. W. Kunert and J. Zielinski. Deacon (D. A. G.). — Voir Elleaume (P.). De Andrés (P.). — Voir Monreal (R.).	129 151 169 963 989 1223
Candau (F.). — Voir Hirsch (E.)	207 257 1263 1143 1827 1337 1297	Dabrowski (R.) and Szulc (J.). — Binary systems of smectis A with enhanced nematic phase. Dalibard (J.), Dupont-Roc (J.) and Cohen-Tannoudji (C.). — Dynamics of a small system coupled to a reservoir reservoir fluctuations and self-reaction	129 151 169 963 989
Candau (F.). — Voir Hirsch (E.)	207 257 1263 1143 1827 1337 1297	Dabrowski (R.) and Szulc (J.). — Binary systems of smectis A with enhanced nematic phase. Dalibard (J.), Dupont-Roc (J.) and Cohen-Tannoudji (C.). — Dynamics of a small system coupled to a reservoir reservoir fluctuations and self-reaction. Dalmolen (L. G. P.), Egberts (E.) and de Jeu (W. H.). — Order parameters of a nematic liquid crystal with low optical anisotropy as determined by depolarized Raman scattering. Daoud (M.) and Family (F.). — Polydispersity and scaling in linear polymer condensates. Daudin (B.), Chouteau (G.) and M'sirdi (N.). — Irreversible effects in the paramagnetic state of DyVO ₄ in the crystallographic distorted phase. Davies (B. L.). — Comments on the paper : « Allowed symmetries of soft modes in cubic crystals » by H. W. Kunert and J. Zielinski. Deacon (D. A. G.). — Voir Elleaume (P.). De Andrés (P.). — Voir Monreal (R.).	129 151 169 963 989 1223
Candau (F.). — Voir Hirsch (E.)	207 257 1263 1143 1827 1337 1297	Dabrowski (R.) and Szulc (J.). — Binary systems of smectis A with enhanced nematic phase. Dalibard (J.), Dupont-Roc (J.) and Cohen-Tannoudji (C.). — Dynamics of a small system coupled to a reservoir reservoir fluctuations and self-reaction	129 151 169 963 989 1223
Candau (F.). — Voir Hirsch (E.)	207 257 1263 1143 1827 1337 1297	Dabrowski (R.) and Szulc (J.). — Binary systems of smectis A with enhanced nematic phase. Dalibard (J.), Dupont-Roc (J.) and Cohen-Tannoudji (C.). — Dynamics of a small system coupled to a reservoir reservoir fluctuations and self-reaction. Dalmolen (L. G. P.), Egberts (E.) and de Jeu (W. H.). — Order parameters of a nematic liquid crystal with low optical anisotropy as determined by depolarized Raman scattering. Daoud (M.) and Family (F.). — Polydispersity and scaling in linear polymer condensates. Daudin (B.), Chouteau (G.) and M'sirdi (N.). — Irreversible effects in the paramagnetic state of DyVO4 in the crystallographic distorted phase. Davies (B. L.). — Comments on the paper: « Allowed symmetries of soft modes in cubic crystals » by H. W. Kunert and J. Zielinski. Deacon (D. A. G.). — Voir Elleaume (P.). De Andrés (P.). — Voir Monreal (R.). Debeauvais (F.). — Voir Hirsch (E.). De Clercq (E.), De Labachellerie (M.), Avila (G.), Cerez (P.) and Tetu (M.). — Laser diode optically pumped caesium	129 151 169 963 989 1223 257
Candau (F.). — Voir Hirsch (E.)	207 257 1263 1143 1827 1337 1297 97 731 239	Dabrowski (R.) and Szulc (J.). — Binary systems of smectis A with enhanced nematic phase. Dalibard (J.), Dupont-Roc (J.) and Cohen-Tannoudji (C.). — Dynamics of a small system coupled to a reservoir reservoir fluctuations and self-reaction	129 151 169 963 989 1222 257 239 129 239
Candau (F.). — Voir Hirsch (E.)	207 257 1263 1143 1827 1337 1297	Dabrowski (R.) and Szulc (J.). — Binary systems of smectis A with enhanced nematic phase. Dalibard (J.), Dupont-Roc (J.) and Cohen-Tannoudji (C.). — Dynamics of a small system coupled to a reservoir reservoir fluctuations and self-reaction	637 129 151 169 963 989 1222 257 239 129 239 1513
Candau (F.). — Voir Hirsch (E.)	257 1263 1143 1827 1337 1297 97 731 239 405 1329	Dabrowski (R.) and Szulc (J.). — Binary systems of smectis A with enhanced nematic phase. Dalibard (J.), Dupont-Roc (J.) and Cohen-Tannoudji (C.). — Dynamics of a small system coupled to a reservoir reservoir fluctuations and self-reaction	637 129 151 169 963 989 1222 255 1222 239 1513 1765
Candau (F.). — Voir Hirsch (E.)	207 257 1263 1143 1827 1337 1297 97 731 239 405 1329	Dabrowski (R.) and Szulc (J.). — Binary systems of smectis A with enhanced nematic phase. Dalibard (J.), Dupont-Roc (J.) and Cohen-Tannoudji (C.). — Dynamics of a small system coupled to a reservoir reservoir fluctuations and self-reaction. Dalmolen (L. G. P.), Egberts (E.) and de Jeu (W. H.). — Order parameters of a nematic liquid crystal with low optical anisotropy as determined by depolarized Raman scattering. Daoud (M.) and Family (F.). — Polydispersity and scaling in linear polymer condensates. Daudin (B.), Chouteau (G.) and M'sirdi (N.). — Irreversible effects in the paramagnetic state of DyVO ₄ in the crystallographic distorted phase. Davies (B. L.). — Comments on the paper: « Allowed symmetries of soft modes in cubic crystals » by H. W. Kunert and J. Zielinski. Deacon (D. A. G.). — Voir Elleaume (P.). De Andrés (P.). — Voir Hirsch (E.). De Clercq (E.), De Labachellerie (M.), Avila (G.), Cerez (P.) and Tetu (M.). — Laser diode optically pumped caesium beam. De Jeu (W. H.). — Voir Dalmolen (L. G. P.). De Labachellerie (M.). — Voir De Clercq (E.). Delsanti (M.). — Voir Adam (M.). Delsanti (M.). — Voir Perzynski (R.). Dembczyński (J.). — Voir Nowak (W.).	129 151 169 963 982 1222 255 236 129 236 1511 1765 681
Candau (F.). — Voir Hirsch (E.)	207 257 1263 1143 1827 1337 1297 97 731 239 405 1329	Dabrowski (R.) and Szulc (J.). — Binary systems of smectis A with enhanced nematic phase. Dalibard (J.), Dupont-Roc (J.) and Cohen-Tannoudji (C.). — Dynamics of a small system coupled to a reservoir reservoir fluctuations and self-reaction. Dalmolen (L. G. P.), Egberts (E.) and de Jeu (W. H.). — Order parameters of a nematic liquid crystal with low optical anisotropy as determined by depolarized Raman scattering. Daoud (M.) and Family (F.). — Polydispersity and scaling in linear polymer condensates. Daudin (B.), Chouteau (G.) and M'sirdi (N.). — Irreversible effects in the paramagnetic state of DyVO4 in the crystallographic distorted phase. Davies (B. L.). — Comments on the paper: « Allowed symmetries of soft modes in cubic crystals » by H. W. Kunert and J. Zielinski. Deacon (D. A. G.). — Voir Elleaume (P.). De Andrés (P.). — Voir Monreal (R.). Debeauvais (F.). — Voir Hirsch (E.). De Clercq (E.), De Labachellerie (M.), Avila (G.), Cerez (P.) and Tetu (M.). — Laser diode optically pumped caesium beam. De Jeu (W. H.). — Voir Dalmolen (L. G. P.). De Labachellerie (M.). — Voir De Clercq (E.). Delsanti (M.). — Voir Adam (M.). Delsanti (M.). — Voir Perzynski (R.). Dembezyński (J.). — Voir Nowak (W.). Demolliens (O.). — Voir Weiss (F.).	129 151 169 963 988 1222 255 129 239 1513 1766 681 1137
Candau (F.). — Voir Hirsch (E.)	207 257 1263 1143 1827 1337 1297 97 731 239 405 1329	Dabrowski (R.) and Szulc (J.). — Binary systems of smectis A with enhanced nematic phase. Dalibard (J.), Dupont-Roc (J.) and Cohen-Tannoudji (C.). — Dynamics of a small system coupled to a reservoir reservoir fluctuations and self-reaction. Dalmolen (L. G. P.), Egberts (E.) and de Jeu (W. H.). — Order parameters of a nematic liquid crystal with low optical anisotropy as determined by depolarized Raman scattering. Daoud (M.) and Family (F.). — Polydispersity and scaling in linear polymer condensates. Daudin (B.), Chouteau (G.) and M'sirdi (N.). — Irreversible effects in the paramagnetic state of DyVO4 in the crystallographic distorted phase. Davies (B. L.). — Comments on the paper: « Allowed symmetries of soft modes in cubic crystals » by H. W. Kunert and J. Zielinski. Deacon (D. A. G.). — Voir Elleaume (P.). De Andrés (P.). — Voir Monreal (R.). Debeauvais (F.). — Voir Hirsch (E.). De Clercq (E.), De Labachellerie (M.), Avila (G.), Cerez (P.) and Tetu (M.). — Laser diode optically pumped caesium beam. De Jeu (W. H.). — Voir Dalmolen (L. G. P.). De Labachellerie (M.). — Voir De Clercq (E.). Delsanti (M.). — Voir Adam (M.). Delsanti (M.). — Voir Adam (M.). Delsanti (M.). — Voir Perzynski (R.). Dembezyński (J.). — Voir Nowak (W.). Demolliens (O.). — Voir Weiss (F.). Denicoló (I.). — Voir Craievich (A.).	6377 129 151 169 963 988 1222 237 129 238 1513 1765 681 1137
Candau (F.). — Voir Hirsch (E.)	207 257 1263 1143 1827 1337 1297 97 731 239 405 1329	Dabrowski (R.) and Szulc (J.). — Binary systems of smectis A with enhanced nematic phase. Dalibard (J.), Dupont-Roc (J.) and Cohen-Tannoudji (C.). — Dynamics of a small system coupled to a reservoir reservoir fluctuations and self-reaction. Dalmolen (L. G. P.), Egberts (E.) and de Jeu (W. H.). — Order parameters of a nematic liquid crystal with low optical anisotropy as determined by depolarized Raman scattering. Daoud (M.) and Family (F.). — Polydispersity and scaling in linear polymer condensates. Daudin (B.), Chouteau (G.) and M'sirdi (N.). — Irreversible effects in the paramagnetic state of DyVO4 in the crystallographic distorted phase. Davies (B. L.). — Comments on the paper: « Allowed symmetries of soft modes in cubic crystals » by H. W. Kunert and J. Zielinski. Deacon (D. A. G.). — Voir Elleaume (P.). De Andrés (P.). — Voir Monreal (R.). Debeauvais (F.). — Voir Hirsch (E.). De Clercq (E.), De Labachellerie (M.), Avila (G.), Cerez (P.) and Tetu (M.). — Laser diode optically pumped caesium beam. De Jeu (W. H.). — Voir Dalmolen (L. G. P.). De Labachellerie (M.). — Voir De Clercq (E.). Delsanti (M.). — Voir Adam (M.). Delsanti (M.). — Voir Adam (M.). Demoliens (O.). — Voir Nowak (W.). Demoliens (O.). — Voir Craievich (A.). Denicoló (L). — Voir Grandin (J. P.).	129 151 169 963 988 1222 255 129 239 1513 1766 681 1137
Candau (F.). — Voir Hirsch (E.)	207 257 1263 1143 1827 1337 1297 97 731 239 405 1329	Dabrowski (R.) and Szulc (J.). — Binary systems of smectis A with enhanced nematic phase. Dalibard (J.), Dupont-Roc (J.) and Cohen-Tannoudji (C.). — Dynamics of a small system coupled to a reservoir reservoir fluctuations and self-reaction. Dalmolen (L. G. P.), Egberts (E.) and de Jeu (W. H.). — Order parameters of a nematic liquid crystal with low optical anisotropy as determined by depolarized Raman scattering. Daoud (M.) and Family (F.). — Polydispersity and scaling in linear polymer condensates. Daudin (B.), Chouteau (G.) and M'sirdi (N.). — Irreversible effects in the paramagnetic state of DyVO4 in the crystallographic distorted phase. Davies (B. L.). — Comments on the paper: « Allowed symmetries of soft modes in cubic crystals » by H. W. Kunert and J. Zielinski. Deacon (D. A. G.). — Voir Elleaume (P.). De Andrés (P.). — Voir Monreal (R.). Debeauvais (F.). — Voir Hirsch (E.). De Clercq (E.), De Labachellerie (M.), Avila (G.), Cerez (P.) and Tetu (M.). — Laser diode optically pumped caesium beam. De Jeu (W. H.). — Voir Dalmolen (L. G. P.). De Labachellerie (M.). — Voir De Clercq (E.). Delsanti (M.). — Voir Adam (M.). Delsanti (M.). — Voir Adam (M.). Delsanti (M.). — Voir Perzynski (R.). Dembezyński (J.). — Voir Nowak (W.). Demolliens (O.). — Voir Weiss (F.). Denicoló (I.). — Voir Craievich (A.).	129 151 169 963 985 1222 257 129 239 1512 1766 681 1137 1477 1422
Candau (F.). — Voir Hirsch (E.)	207 257 1263 1143 1827 1337 1297 97 731 239 405 1329	Dabrowski (R.) and Szulc (J.). — Binary systems of smectis A with enhanced nematic phase. Dalibard (J.), Dupont-Roc (J.) and Cohen-Tannoudji (C.). — Dynamics of a small system coupled to a reservoir reservoir fluctuations and self-reaction	129 151 169 963 985 1222 257 129 239 1512 1766 681 1137 1477 1422

Descamps (M.). — Dynamics of collinding molecules: a theory of coherent neutron scattering for the plastic		Fonseca (A. L. A.) and Bauche (J.). — Ab initio evaluation of hyperfine-structure electronic parameters in the iron	
phase of CBr ₄	587	atom	885
Des Cloizeaux (J.). — A reformulation of Schrödinger and		Fouassier (M.). — Voir Lassegues (J. C.).	497
Dirac equations in terms of observable local densities		Fouret (R.). — Voir Lefebvre (J.)	1317
and electromagnetic fields: a step towards a new inter-		Fraser (C.). — Thermal instabilities in long pitch cholesteric	
pretation of quantum mechanics?	383	liquid crystals	973
Desesquelles (J.). — Voir Grandin (J. P.). Dessagne (P.). — Voir Pougheon (F.).	1423	Frey (M.). — Voir Pellat (R.).	1615
Destrade (C.). — Voir Hardouin (F.).	65 765	Fruchart (R.). — Voir Weiss (F.).	1137
Dianoux (A. J.). — Voir Conard (J.).	1361		
Dianoux (A. J.). — Voir Lassegues (J. C.).	497	Gabrielli (G.). — Voir Senatra (D.)	1159
Dickman (R.) and Schieve (W. C.). — Lattice animal specific		Gadea (F. X.). — Voir Spiegelmann (F.)	1003
heats and the collapse of branched polymers	1727	García-Moliner (F.). — Voir Monreal (R.)	1223
Dmitrieva (I. K.) and Plindov (G. I.). — The improved		Gardner (E.). — A spin glass model on a hierarchical lattice.	1755
Thomas-Fermi model : chemical and ionization poten-	0.5	Gardner (E.). — Voir Derrida (B.)	1283
tials in atoms. Dolino (G.), Bachheimer (J. P.), Berge (B.) and Zeyen (C. M.	85	Gautheren (C) at Matthiauscopt (C) Etyda das traige	77
E.). — Incommensurate phase of quartz: I. Elastic		Gauthereau (C.) et Matthieussent (G.). — Etude des trajec- toires des électrons primaires dans une décharge mul-	
neutron scattering	361	tipolaire	1113
Dolino (G.). — Voir Berge (B.)	715	Gay (J. M.), Bienfait (M.) and Suzanne (J.). — First-order	
Dolino (G.), Bachheimer (J. P.), Berge (B.), Zeyen (C. M. E.),		wetting transition in CF ₄ solid films adsorbed on the	
Van Tendeloo (G.), Van Landuyt (J.) and Amelinckx (S.).		(0001) graphite surface	1497
— Incommensurate phase of quartz : III. Study of the		Geissler (E.). — Voir Hecht (AM.)	309
coexistence state between the incommensurate and the α-phases by neutron scattering and electron microscopy	901	Genicon (J. L.), Laaboudi (B.), Tournier (R.), Chevrel (R.)	
Domard (M.). — Voir Cohen-Addad (J. P.)	575	and Sergent (M.). — Superconductivity of domain walls in the ferromagnet HoMo ₆ S ₈	1079
Doualan (J. L.), Hamaidia (A.), Margerie (J.) and Martin-	0,0	Gesland (J. Y.). — Voir Russi (R.).	1773
Brunetière (F.). — New optical transitions of colour		Ghanem (A.). — Voir Levelut (A. M.)	745
centres in CaF ₂ : Na ⁺	1779	Girard (S.). — Voir Lévêque (G.)	665
Doucet (J.). — Voir Craievich (A.)	1473	Givord (D.). — Voir Lamloumi (J.).	1643
Doveil (F.). — Analytical study of magnetic turbulence	703	Glass (N.). — Voir Caro (J. A.).	1337
Dreiling (T. D.) and Sadeghi (N.). — Electronic energy transfer between state selected metastable argon atoms and		Glass-Maujean (M.), Breton (J.), Thieblemont (B.) and Ito (K.). — Lifetimes of radiative excited levels of H ₂	1107
ground state krypton atoms	177	Glogarová (M.) and Pavel (J.). — The structure of chiral	1107
Dreyfus (G.). — Voir Chapellier (M.)	1033	Sm C* liquid crystals in planar samples and its changes	
Druetta (M.). — Voir Grandin (J. P.)	1423	in an electric field	143
Dubois-Violette (E.), Jullien (R.) and Carton (J. P.). — On		Gonzalez-Jimenez (F.). — Voir Bonville (P.)	467
partially frustrated systems	1297	Goodby (J. W.). — Voir Ocko (B. M.).	113
Dufour (J. G.). — Voir Pouliot (J.)	71	Gorecki (W.). — Voir Minier (M.). Gor'kov (L. P.). — Voir Batistić (I.).	739 1049
Dumas (J. P.), Bougarfa (L.) et Bensaid (J.). — Changements de phases durant l'électrolyse des systèmes Hg-Tl,		Gousset (G.) and Boulmer-Leborgne (C.). — Collisional	1045
Hg-Sn, Hg-Pb et Hg-Zn	1543	radiative model of a helium capillary glow discharge	
Duong (H. T.). — Voir Bendali (N.)	421	including atomic collisions	689
Dupont-Roc (J.). — Voir Dalibard (J.).		Grandin (J. P.), Huet (M.), Husson (X.), Lecler (D.), Touvet	
Durand (G.). — Voir Bartolino (R.)	889	(D.), Buchet (J. P.), Buchet-Poulizac (M. C.), Denis (A.),	
		Desesquelles (J.) and Druetta (M.). — Wavelengths and lifetime measurements in He-like Cr XXIII and Li-like	
Egberts (E.). — Voir Dalmolen (L. G. P.).	129	Cr XXII	1423
Elleaume (P.). — Macro-temporal structure of storage ring		Grandin (J. P.). — Voir Lemoigne (J. P.)	249
free electron lasers	997	Gray (G. W.). — Voir Richardson (R. M.)	1061
Elleaume (P.), Ortéga (J. M.), Billardon (M.), Bazin (C.),		Grilhé (J.), Junqua (N.), Tranchant (F.) and Vergnol (J.).	
Bergher (M.), Velghe (M.), Petroff (Y.), Deacon		Model for instabilities during plastic deformation at constant cross-head velocity	939
(D. A. G.), Robinson (K. E.) and Madey (J. M. J.).		Grilhe (J. R.). — Voir Vergnol (J. F. M.).	1479
Results of the free electron laser oscillation experiments on the ACO storage ring	989	Gruber (H.), Sitte (W.) and Sassik (H.). — Resistance, magne-	
Estrade-Szwarckopf (H.). — Voir Conard (J.)	1361	tic susceptibility in $(T, Nb)Nb_2Se_{10}$ with $T = Fe, Cr.$	1231
		Guarini (G. G. T.). — Voir Senatra (D.)	1159
		Guillon (D.). — Voir Thiriet (Y.).	323
Family (F.). — Voir Daoud (M.)	151	Guillon (D.). — Voir Albertini (G.)	341
Fauchais (P.). — Voir Pawlowska (Z.)	867	ment smectique A des mésogènes dissymétriques et for-	
Fanelli (E.). — Voir Albertini (G.)	341 157	tement polaires	607
Fedak (I.). — Voir Bradshaw (M. J.)	137	Married Control of the Control of th	
Study of ferrocholesteric discotic and calamitic lyotro-		Hakopyan (R. S.). — Voir Chilingaryan (Yu. S.)	413
pics by optical microscopy and X-ray diffraction	1505	Hamaïdia (A.). — Voir Doualan (J. L.)	1779
Findeisen (M.). — Voir Limmer (St.)	1149	Hanke (W.). — Voir Meskini (N.).	1707
Fisher (A.) and Sackmann (E.). — Electron microscopy and		Hardouin (F.), Achard (M. F.), Destrade (C.) and Nguyen Huu Tinh. — Unusual bilayered fluid smectic modifications	
diffraction study of phospholipid monolayers trans-	517	in polar series	765
ferred from water to solid substrates	1071	Hareng (M.). — Voir Leblond (J.)	373
Flores (F.). — Voir Monreal (R.)	1223	Hayter (J. B.). — Voir Richardson (R. M.)	1061

Hecht (AM.) and Geissler (E.). — Collective diffusion of gels		Karwowski (J.). — Voir Nowak (W.)	681
in a theta solvent	309	Kats (E. I.) and Monastyrsky (M. I.). — Ordering in discotic	
Heidemann (A.). — Voir Cavagnat (D.)	97	liquid crystals	709
Heidmann (A.) and Reynaud (S.). — Correlations in single		Kearsley (A. J.). — Voir Hogan (D. C.).	1449
		Kini (U. D.). — Homogeneous instability in the gravity flow	1117
photon amplification: stimulated versus spontaneous	077		1075
processes	873	of nematic liquid crystals	
Held (B.). — Electric microfield distribution in multicompo-		Knystautas (E. J.). — Voir Jacques (C.)	1607
nent plasmas	1731	Kolb (M.). — Voir Jullien (R.)	395
Hennion (B.). — Voir More (M.)	303	Korn (D.) and Zibold (G.). — Anomaly of the electrical resisti-	
Herz (J.). — Voir Cohen-Addad (J. P.).	575	vity of polyvalent metal films with additions of Mn	
Hirsch (E.). — Voir Candau (S. J.)	1263	(and Fe)	895
Hirsch (E.), Debeauvais (F.), Candau (F.), Lang (J.) and	1200	Kortan (A. R.). — Voir Ocko (B. M.).	113
			113
Zana (R.). — Effect of salinity on the ultrasonic absorp-	0.55	Kortan (A. R.), von Känel (H.), Birgeneau (R. J.) and Litster	
tion and flow birefringence of microemulsions	257	(J. D.). — Nematic-smectic A-reentrant nematic tran-	
Hodges (J. A.) and Jéhanno (G.). — TmPd ₂ Si ₂ and YbPd ₂ Si ₂ :		sitions in 80CB:60CB mixtures	529
a Mössbauer effect study of crystal fields and interme-		Koster (A.). — Voir Martinot (P.)	597
diate valence	1663	Kucal (H.). — Voir Lemoigne (J. P.)	249
Hogan (D. C.), Kearsley (A. J.), Webb (C. E.) and Bruzzese		Kunert (H. W.) and Zielinski (J.). — Allowed symmetries of	
(R.). — Time-resolved measurements of emission and		soft-modes in cubic crystals	557
	1440	Soft modes in such exponents.	001
absorption in a long pulse duration XeCl* laser	1449		
Horsewill (A. J.). — Voir Cavagnat (D.)	97	Laaboudi (B.) Voir Genicon (J. L.)	1079
Hudák (O.). — Modulated smectic C*-uniform smectic	2.00	Laborde (O.). — Voir Jesser (R.)	1819
C* phase transition in an electric field	1271	Lafait (J.). — Voir Bittar (A.)	623
Huet (M.). — Voir Grandin (J. P.)	1423	Lamloumi (J.), Percheron-Guegan (A.), Achard (J. C.),	
Humbert (J.). — Comparaison de méthodes de calcul de la		Jéhanno (G.) and Givord (D.). — Study of the pseudobi-	
polarisabilité d'un couple d'atomes dans un gaz	1889		
Husson (X.). — Voir Grandin (J. P.).	1423	nary compounds $LaNi_{5-x}Fe_x$ (x < 1.2) by X-ray dif-	
Husson (X.). — Voir Lemoigne (J. P.).	249	fraction, Mössbauer spectroscopy and magnetic mea-	
		surements	1643
Husson (X.). — Voir Abu Safia (H.)	863	Lang (J.). — Voir Hirsch (E.)	257
		Larionov (A. N.). — Voir Pasechnik (S. V.)	441
Inhand (D) Wain Dannilla (D)	107	Lascombe (J.). — Voir Cavagnat (D.)	97
Imbert (P.). — Voir Bonville (P.)	467	Lassabatère (L.). — Voir Bonnet (J.).	1191
Ismail (A.), Palau (J. M.) et Lassabatère (L.). — Sur l'analyse			
de l'ancrage du niveau de Fermi à la surface des compo-		Lassabatère (L.). — Voir Bonnet (J.)	1197
sés III-V	1717	Lassabatère (L.). — Voir Ismail (A.)	1717
Ito (K.). — Voir Glass-Maujean (M.)	1107	Lassegues (J. C.). — Voir Cavagnat (D.)	97
Ivașcu (M.). — Voir Poenaru (D. N.).	1099	Lassegues (J. C.). — Voir Besnard (M.)	487
and the state of t	10))	Lassegues (J. C.), Fouassier (M.), Besnard (M.), Jobic (H.)	
		and Dianoux (A. J.). — Dynamics of non-rigid mole-	
Jacques (C.), Moreau (JP.) et Knystautas (E. J.). — Etude		cules II Quasi-elastic neutron scattering study of	
du fer, du cobalt et du nickel par la spectroscopie d'ions		liquid cyclopentene	497
rapides	1607		
		Laval (S.). — Voir Martinot (P.).	597
Jamond (C.). — Voir Cerisier (P.)	405	Lavielle (B.) and Regnier (S.). — Cross-section measurements	
Jarić (M. V.), Michel (L.) and Sharp (R. T.). — Zeros of cova-		of krypton 78 to 86 isotopes in the spallation of palla-	
riant vector fields for the point groups; invariant		dium and silver. A new semi-empirical spallation for-	
formulation	1	mula in the Y to Ag target mass region	981
Jéhanno (G.). — Voir Hodges (J. A.)	1663	Leadbetter (A. J.). — Voir Bradshaw (M. J.)	157
Jéhanno (G.). — Voir Bonville (P.)	467	Leadbetter (A. J.). — Voir Richardson (R. M.)	1061
Jéhanno (G.). — Voir Lamloumi (J.).	1643	Leblond (J.) and Hareng (M.). — Physical properties of super-	
Jenkins (J. T.). — Voir Schneider (M. B.).		Debiona (6.) and Marcing (1915). I my steam proper ties or super	
Jérome (D.). — Voir Takahashi (T.).	451	heated water at one har a hase to define the wnormal	
	1457	heated water at one bar: a base to define the « normal »	
Joseph (P) at Laborde (O) Magnificant de Call	945	components of expansivity and compressibility of stable	255
Jesser (R.) et Laborde (O.). — Magnétisme de CrBe ₁₂ en		components of expansivity and compressibility of stable water.	373
Jesser (R.) et Laborde (O.). — Magnétisme de CrBe ₁₂ en champs intenses et résistivité électrique de CrBe ₁₂ et de	945	components of expansivity and compressibility of stable water	373 1859
Jesser (R.) et Laborde (O.). — Magnétisme de CrBe ₁₂ en champs intenses et résistivité électrique de CrBe ₁₂ et de VBe ₁₂		components of expansivity and compressibility of stable water.	
Jesser (R.) et Laborde (O.). — Magnétisme de CrBe ₁₂ en champs intenses et résistivité électrique de CrBe ₁₂ et de	945	components of expansivity and compressibility of stable water	1859
Jesser (R.) et Laborde (O.). — Magnétisme de CrBe ₁₂ en champs intenses et résistivité électrique de CrBe ₁₂ et de VBe ₁₂	945	components of expansivity and compressibility of stable water. Lebowitz (J. L.). — Voir Alastuey (A.). Lecler (D.). — Voir Grandin (J. P.). Lefebvre (J.), Fouret (R.) and Zeyen (C. M. E.). — Structure	1859
Jesser (R.) et Laborde (O.). — Magnétisme de CrBe ₁₂ en champs intenses et résistivité électrique de CrBe ₁₂ et de VBe ₁₂	945 1819 1883	components of expansivity and compressibility of stable water. Lebowitz (J. L.). — Voir Alastuey (A.). Lecler (D.). — Voir Grandin (J. P.). Lefebvre (J.), Fouret (R.) and Zeyen (C. M. E.). — Structure determination of sodium nitrate near the order-disorder	1859 1423
Jesser (R.) et Laborde (O.). — Magnétisme de CrBe ₁₂ en champs intenses et résistivité électrique de CrBe ₁₂ et de VBe ₁₂	945	components of expansivity and compressibility of stable water. Lebowitz (J. L.). — Voir Alastuey (A.). Lecler (D.). — Voir Grandin (J. P.). Lefebvre (J.), Fouret (R.) and Zeyen (C. M. E.). — Structure determination of sodium nitrate near the order-disorder phase transition	1859 1423 1317
Jesser (R.) et Laborde (O.). — Magnétisme de CrBe ₁₂ en champs intenses et résistivité électrique de CrBe ₁₂ et de VBe ₁₂	945 1819 1883	components of expansivity and compressibility of stable water. Lebowitz (J. L.). — Voir Alastuey (A.). Lecler (D.). — Voir Grandin (J. P.). Lefebvre (J.), Fouret (R.) and Zeyen (C. M. E.). — Structure determination of sodium nitrate near the order-disorder phase transition Lefebvre (J.). — Voir More (M.).	1859 1423 1317 303
Jesser (R.) et Laborde (O.). — Magnétisme de CrBe ₁₂ en champs intenses et résistivité électrique de CrBe ₁₂ et de VBe ₁₂	945 1819 1883 1653	components of expansivity and compressibility of stable water. Lebowitz (J. L.). — Voir Alastuey (A.). Lecler (D.). — Voir Grandin (J. P.). Lefebvre (J.), Fouret (R.) and Zeyen (C. M. E.). — Structure determination of sodium nitrate near the order-disorder phase transition Lefebvre (J.). — Voir More (M.). Lehar (F.). — Voir Bystricky (J.).	1859 1423 1317 303 207
Jesser (R.) et Laborde (O.). — Magnétisme de CrBe ₁₂ en champs intenses et résistivité électrique de CrBe ₁₂ et de VBe ₁₂	945 1819 1883 1653	components of expansivity and compressibility of stable water. Lebowitz (J. L.). — Voir Alastuey (A.). Lecler (D.). — Voir Grandin (J. P.). Lefebvre (J.), Fouret (R.) and Zeyen (C. M. E.). — Structure determination of sodium nitrate near the order-disorder phase transition Lefebvre (J.). — Voir More (M.). Lehar (F.). — Voir Bystricky (J.). Leleyter (M.). — Voir Joyes (P.).	1859 1423 1317 303
Jesser (R.) et Laborde (O.). — Magnétisme de CrBe ₁₂ en champs intenses et résistivité électrique de CrBe ₁₂ et de VBe ₁₂ . Jezequel (G.). — Voir Ortega (J. M.). Jiang Wang and Lubensky (T. C.). — Correlations and X-ray scattering in polar smectic-A ₁ phases. Joanicot (M.), Jorand (M.), Piéranski (P.) and Rothen (F.). — Shear waves in colloidal crystals: II. Effects of finite height in cylindrical samples. Jobic (H.). — Voir Lassegues (J. C.).	945 1819 1883 1653 1413 497	components of expansivity and compressibility of stable water. Lebowitz (J. L.). — Voir Alastuey (A.). Lecler (D.). — Voir Grandin (J. P.). Lefebvre (J.), Fouret (R.) and Zeyen (C. M. E.). — Structure determination of sodium nitrate near the order-disorder phase transition Lefebvre (J.). — Voir More (M.). Lehar (F.). — Voir Bystricky (J.). Leleyter (M.). — Voir Joyes (P.). Lemoigne (J. P.), Grandin (J. P.), Husson (X.) and Kucal (H.).	1859 1423 1317 303 207
Jesser (R.) et Laborde (O.). — Magnétisme de CrBe ₁₂ en champs intenses et résistivité électrique de CrBe ₁₂ et de VBe ₁₂ . Jezequel (G.). — Voir Ortega (J. M.). Jiang Wang and Lubensky (T. C.). — Correlations and X-ray scattering in polar smectic-A ₁ phases. Joanicot (M.), Jorand (M.), Piéranski (P.) and Rothen (F.). — Shear waves in colloidal crystals: II. Effects of finite height in cylindrical samples. Jobic (H.). — Voir Lassegues (J. C.). Jorand (M.). — Voir Joanicot (M.).	945 1819 1883 1653 1413 497 1413	components of expansivity and compressibility of stable water. Lebowitz (J. L.). — Voir Alastuey (A.). Lecler (D.). — Voir Grandin (J. P.). Lefebvre (J.), Fouret (R.) and Zeyen (C. M. E.). — Structure determination of sodium nitrate near the order-disorder phase transition Lefebvre (J.). — Voir More (M.). Lehar (F.). — Voir Bystricky (J.). Leleyter (M.). — Voir Joyes (P.).	1859 1423 1317 303 207
Jesser (R.) et Laborde (O.). — Magnétisme de CrBe ₁₂ en champs intenses et résistivité électrique de CrBe ₁₂ et de VBe ₁₂ . Jezequel (G.). — Voir Ortega (J. M.). Jiang Wang and Lubensky (T. C.). — Correlations and X-ray scattering in polar smectic-A ₁ phases. Joanicot (M.), Jorand (M.), Piéranski (P.) and Rothen (F.). — Shear waves in colloidal crystals: II. Effects of finite height in cylindrical samples. Jobic (H.). — Voir Lassegues (J. C.). Jorand (M.). — Voir Joanicot (M.). Jouffroy (J.). — Voir Brochard (F.).	945 1819 1883 1653 1413 497	components of expansivity and compressibility of stable water. Lebowitz (J. L.). — Voir Alastuey (A.). Lecler (D.). — Voir Grandin (J. P.). Lefebvre (J.), Fouret (R.) and Zeyen (C. M. E.). — Structure determination of sodium nitrate near the order-disorder phase transition Lefebvre (J.). — Voir More (M.). Lehar (F.). — Voir Bystricky (J.). Leleyter (M.). — Voir Joyes (P.). Lemoigne (J. P.), Grandin (J. P.), Husson (X.) and Kucal (H.).	1859 1423 1317 303 207
Jesser (R.) et Laborde (O.). — Magnétisme de CrBe ₁₂ en champs intenses et résistivité électrique de CrBe ₁₂ et de VBe ₁₂	945 1819 1883 1653 1413 497 1413	components of expansivity and compressibility of stable water. Lebowitz (J. L.). — Voir Alastuey (A.). Lecler (D.). — Voir Grandin (J. P.). Lefebvre (J.), Fouret (R.) and Zeyen (C. M. E.). — Structure determination of sodium nitrate near the order-disorder phase transition Lefebvre (J.). — Voir More (M.). Lehar (F.). — Voir Bystricky (J.). Leleyter (M.). — Voir Joyes (P.). Lemoigne (J. P.), Grandin (J. P.), Husson (X.) and Kucal (H.). — Diamagnetic behaviour of xenon Rydberg states studied by the R. F. optogalvanic method.	1859 1423 1317 303 207 1681
Jesser (R.) et Laborde (O.). — Magnétisme de CrBe ₁₂ en champs intenses et résistivité électrique de CrBe ₁₂ et de VBe ₁₂ . Jezequel (G.). — Voir Ortega (J. M.). Jiang Wang and Lubensky (T. C.). — Correlations and X-ray scattering in polar smectic-A ₁ phases. Joanicot (M.), Jorand (M.), Piéranski (P.) and Rothen (F.). — Shear waves in colloidal crystals: II. Effects of finite height in cylindrical samples. Jobic (H.). — Voir Lassegues (J. C.). Jorand (M.). — Voir Joanicot (M.). Jouffroy (J.). — Voir Brochard (F.).	945 1819 1883 1653 1413 497 1413	components of expansivity and compressibility of stable water. Lebowitz (J. L.). — Voir Alastuey (A.). Lecler (D.). — Voir Grandin (J. P.). Lefebvre (J.), Fouret (R.) and Zeyen (C. M. E.). — Structure determination of sodium nitrate near the order-disorder phase transition Lefebvre (J.). — Voir More (M.). Lehar (F.). — Voir Bystricky (J.). Leleyter (M.). — Voir Joyes (P.). Lemoigne (J. P.), Grandin (J. P.), Husson (X.) and Kucal (H.). — Diamagnetic behaviour of xenon Rydberg states studied by the R. F. optogalvanic method. Le Si Dang. — Voir Romestain (R.).	1859 1423 1317 303 207 1681 249 1175
Jesser (R.) et Laborde (O.). — Magnétisme de CrBe ₁₂ en champs intenses et résistivité électrique de CrBe ₁₂ et de VBe ₁₂ Jezequel (G.). — Voir Ortega (J. M.). Jiang Wang and Lubensky (T. C.). — Correlations and X-ray scattering in polar smectic-A ₁ phases. Joanicot (M.), Jorand (M.), Piéranski (P.) and Rothen (F.). — Shear waves in colloidal crystals : II. Effects of finite height in cylindrical samples. Jobic (H.). — Voir Lassegues (J. C.). Jorand (M.). — Voir Joanicot (M.). Jouffroy (J.). — Voir Brochard (F.). Jouglar (J.) et Vuillermoz (P. L.). — Diffusion des phonons dans InP dopé chrome.	945 1819 1883 1653 1413 497 1413 1125	components of expansivity and compressibility of stable water. Lebowitz (J. L.). — Voir Alastuey (A.). Lecler (D.). — Voir Grandin (J. P.). Lefebvre (J.), Fouret (R.) and Zeyen (C. M. E.). — Structure determination of sodium nitrate near the order-disorder phase transition Lefebvre (J.). — Voir More (M.). Lehar (F.). — Voir Bystricky (J.). Leleyter (M.). — Voir Joyes (P.). Lemoigne (J. P.), Grandin (J. P.), Husson (X.) and Kucal (H.). — Diamagnetic behaviour of xenon Rydberg states studied by the R. F. optogalvanic method. Le Si Dang. — Voir Romestain (R.). Levelut (A. M.). — Voir Figueiredo Neto (A. M.).	1859 1423 1317 303 207 1681 249 1175
Jesser (R.) et Laborde (O.). — Magnétisme de CrBe ₁₂ en champs intenses et résistivité électrique de CrBe ₁₂ et de VBe ₁₂	945 1819 1883 1653 1413 497 1413 1125	components of expansivity and compressibility of stable water. Lebowitz (J. L.). — Voir Alastuey (A.). Lecler (D.). — Voir Grandin (J. P.). Lefebvre (J.), Fouret (R.) and Zeyen (C. M. E.). — Structure determination of sodium nitrate near the order-disorder phase transition Lefebvre (J.). — Voir More (M.). Lehar (F.). — Voir Bystricky (J.). Leleyter (M.). — Voir Joyes (P.). Lemoigne (J. P.), Grandin (J. P.), Husson (X.) and Kucal (H.). — Diamagnetic behaviour of xenon Rydberg states studied by the R. F. optogalvanic method. Le Si Dang. — Voir Romestain (R.). Levelut (A. M.). — Voir Figueiredo Neto (A. M.). Levelut (A. M.), Oswald (P.), Ghanem (A.) et Malthête (J.). —	1859 1423 1317 303 207 1681 249 1175
Jesser (R.) et Laborde (O.). — Magnétisme de CrBe ₁₂ en champs intenses et résistivité électrique de CrBe ₁₂ et de VBe ₁₂ Jezequel (G.). — Voir Ortega (J. M.). Jiang Wang and Lubensky (T. C.). — Correlations and X-ray scattering in polar smectic-A ₁ phases Joanicot (M.), Jorand (M.), Piéranski (P.) and Rothen (F.). — Shear waves in colloidal crystals: II. Effects of finite height in cylindrical samples. Jobic (H.). — Voir Lassegues (J. C.). Jorand (M.). — Voir Joanicot (M.). Jouffroy (J.). — Voir Brochard (F.) Jouglar (J.) et Vuillermoz (P. L.). — Diffusion des phonons dans InP dopé chrome. Joyes (P.) et Leleyter (M.). — Etude théorique des alternances pair-impair dans les propriétés des amas C _n , C _n ⁺ et C _n ⁻	945 1819 1883 1653 1413 497 1413 1125 791	components of expansivity and compressibility of stable water. Lebowitz (J. L.). — Voir Alastuey (A.). Lecler (D.). — Voir Grandin (J. P.). Lefebvre (J.), Fouret (R.) and Zeyen (C. M. E.). — Structure determination of sodium nitrate near the order-disorder phase transition Lefebvre (J.). — Voir More (M.). Lehar (F.). — Voir Bystricky (J.). Leleyter (M.). — Voir Joyes (P.). Lemoigne (J. P.), Grandin (J. P.), Husson (X.) and Kucal (H.). — Diamagnetic behaviour of xenon Rydberg states studied by the R. F. optogalvanic method. Le Si Dang. — Voir Romestain (R.). Levelut (A. M.). — Voir Figueiredo Neto (A. M.). Levelut (A. M.), Oswald (P.), Ghanem (A.) et Malthête (J.). — Structure des deux phases colonnaires d'un ester de	1859 1423 1317 303 207 1681 249 1175 1505
Jesser (R.) et Laborde (O.). — Magnétisme de CrBe ₁₂ en champs intenses et résistivité électrique de CrBe ₁₂ et de VBe ₁₂ . Jezequel (G.). — Voir Ortega (J. M.). Jiang Wang and Lubensky (T. C.). — Correlations and X-ray scattering in polar smectic-A ₁ phases. Joanicot (M.), Jorand (M.), Piéranski (P.) and Rothen (F.). — Shear waves in colloidal crystals: II. Effects of finite height in cylindrical samples. Jobic (H.). — Voir Lassegues (J. C.). Jorand (M.). — Voir Joanicot (M.). Jouffroy (J.). — Voir Brochard (F.). Jouglar (J.) et Vuillermoz (P. L.). — Diffusion des phonons dans InP dopé chrome. Joyes (P.) et Leleyter (M.). — Etude théorique des alternances pair-impair dans les propriétés des amas C _n , C _n et C _n -linéaires	945 1819 1883 1653 1413 497 1413 1125 791 1681	components of expansivity and compressibility of stable water. Lebowitz (J. L.). — Voir Alastuey (A.). Lecler (D.). — Voir Grandin (J. P.). Lefebvre (J.), Fouret (R.) and Zeyen (C. M. E.). — Structure determination of sodium nitrate near the order-disorder phase transition. Lefebvre (J.). — Voir More (M.). Lehar (F.). — Voir Bystricky (J.). Leleyter (M.). — Voir Joyes (P.). Lemoigne (J. P.), Grandin (J. P.), Husson (X.) and Kucal (H.). — Diamagnetic behaviour of xenon Rydberg states studied by the R. F. optogalvanic method. Le Si Dang. — Voir Romestain (R.). Levelut (A. M.). — Voir Figueiredo Neto (A. M.). Levelut (A. M.). Oswald (P.), Ghanem (A.) et Malthête (J.). — Structure des deux phases colonnaires d'un ester de triphénylène chiral	1859 1423 1317 303 207 1681 249 1175
Jesser (R.) et Laborde (O.). — Magnétisme de CrBe ₁₂ en champs intenses et résistivité électrique de CrBe ₁₂ et de VBe ₁₂ . Jezequel (G.). — Voir Ortega (J. M.). Jiang Wang and Lubensky (T. C.). — Correlations and X-ray scattering in polar smectic-A ₁ phases. Joanicot (M.), Jorand (M.), Piéranski (P.) and Rothen (F.). — Shear waves in colloidal crystals: II. Effects of finite height in cylindrical samples. Jobic (H.). — Voir Lassegues (J. C.). Jorand (M.). — Voir Joanicot (M.). Jouffroy (J.). — Voir Brochard (F.). Jouglar (J.) et Vuillermoz (P. L.). — Diffusion des phonons dans InP dopé chrome. Joyes (P.) et Leleyter (M.). — Etude théorique des alternances pair-impair dans les propriétés des amas C _n , C _n et C _n -linéaires. Jullien (P.). — Voir Collin (J. P.).	945 1819 1883 1653 1413 497 1413 1125 791	components of expansivity and compressibility of stable water. Lebowitz (J. L.). — Voir Alastuey (A.). Lecler (D.). — Voir Grandin (J. P.). Lefebvre (J.), Fouret (R.) and Zeyen (C. M. E.). — Structure determination of sodium nitrate near the order-disorder phase transition Lefebvre (J.). — Voir More (M.). Lehar (F.). — Voir Bystricky (J.). Leleyter (M.). — Voir Joyes (P.). Lemoigne (J. P.), Grandin (J. P.), Husson (X.) and Kucal (H.). — Diamagnetic behaviour of xenon Rydberg states studied by the R. F. optogalvanic method. Le Si Dang. — Voir Romestain (R.). Levelut (A. M.). — Voir Figueiredo Neto (A. M.). Levelut (A. M.), Oswald (P.), Ghanem (A.) et Malthête (J.). — Structure des deux phases colonnaires d'un ester de triphénylène chiral . Lévêque (G.), Girard (S.) and Robin (J.). — Emission spectrum	1859 1423 1317 303 207 1681 249 1175 1505
Jesser (R.) et Laborde (O.). — Magnétisme de CrBe ₁₂ en champs intenses et résistivité électrique de CrBe ₁₂ et de VBe ₁₂	945 1819 1883 1653 1413 497 1413 1125 791 1681 601	components of expansivity and compressibility of stable water. Lebowitz (J. L.). — Voir Alastuey (A.). Lecler (D.). — Voir Grandin (J. P.). Lefebvre (J.), Fouret (R.) and Zeyen (C. M. E.). — Structure determination of sodium nitrate near the order-disorder phase transition Lefebvre (J.). — Voir More (M.). Lehar (F.). — Voir Bystricky (J.). Leleyter (M.). — Voir Bystricky (J.). Lemoigne (J. P.), Grandin (J. P.), Husson (X.) and Kucal (H.). — Diamagnetic behaviour of xenon Rydberg states studied by the R. F. optogalvanic method. Le Si Dang. — Voir Romestain (R.). Levelut (A. M.). — Voir Figueiredo Neto (A. M.). Levelut (A. M.), Oswald (P.), Ghanem (A.) et Malthête (J.). — Structure des deux phases colonnaires d'un ester de triphénylène chiral. Lévêque (G.), Girard (S.) and Robin (J.). — Emission spectrum of highly ionized argon in the 100 to 900 A range	1859 1423 1317 303 207 1681 249 1175 1505
Jesser (R.) et Laborde (O.). — Magnétisme de CrBe ₁₂ en champs intenses et résistivité électrique de CrBe ₁₂ et de VBe ₁₂	945 1819 1883 1653 1413 497 1413 1125 791 1681 601 395	components of expansivity and compressibility of stable water. Lebowitz (J. L.). — Voir Alastuey (A.). Lecler (D.). — Voir Grandin (J. P.). Lefebvre (J.), Fouret (R.) and Zeyen (C. M. E.). — Structure determination of sodium nitrate near the order-disorder phase transition Lefebvre (J.). — Voir More (M.). Lehar (F.). — Voir Bystricky (J.). Lehar (F.). — Voir Bystricky (J.). Lehar (G.). — Voir Bystricky (J.). Lemoigne (J. P.), Grandin (J. P.), Husson (X.) and Kucal (H.). — Diamagnetic behaviour of xenon Rydberg states studied by the R. F. optogalvanic method. Le Si Dang. — Voir Romestain (R.). Levelut (A. M.). — Voir Figueiredo Neto (A. M.). Levelut (A. M.). — Voir Figueiredo Neto (A. M.). Levelut (A. M.), Oswald (P.), Ghanem (A.) et Malthête (J.). — Structure des deux phases colonnaires d'un ester de triphénylène chiral Lévêque (G.), Girard (S.) and Robin (J.). — Emission spectrum of highly ionized argon in the 100 to 900 A range. Lévêque (G.), Olson (C. G.) and Lynch (D. W.). — Optical	1859 1423 1317 303 207 1681 249 1175 1505
Jesser (R.) et Laborde (O.). — Magnétisme de CrBe ₁₂ en champs intenses et résistivité électrique de CrBe ₁₂ et de VBe ₁₂	945 1819 1883 1653 1413 497 1413 1125 791 1681 601	components of expansivity and compressibility of stable water. Lebowitz (J. L.). — Voir Alastuey (A.). Lecler (D.). — Voir Grandin (J. P.). Lefebvre (J.), Fouret (R.) and Zeyen (C. M. E.). — Structure determination of sodium nitrate near the order-disorder phase transition Lefebvre (J.). — Voir More (M.). Lehar (F.). — Voir Bystricky (J.). Leleyter (M.). — Voir Bystricky (J.). Lemoigne (J. P.), Grandin (J. P.), Husson (X.) and Kucal (H.). — Diamagnetic behaviour of xenon Rydberg states studied by the R. F. optogalvanic method. Le Si Dang. — Voir Romestain (R.). Levelut (A. M.). — Voir Figueiredo Neto (A. M.). Levelut (A. M.), Oswald (P.), Ghanem (A.) et Malthête (J.). — Structure des deux phases colonnaires d'un ester de triphénylène chiral. Lévêque (G.), Girard (S.) and Robin (J.). — Emission spectrum of highly ionized argon in the 100 to 900 A range	1859 1423 1317 303 207 1681 249 1175 1505

Levinson (P.). — Voir Brochard (F.)	1125	Moncorgé (R.), Briat (B.) and Canit (J. C.). — Absorption and	
Levy (J. C. S.) and Mercier (D.). — Local elasticity properties		fluorescence study of an antiferromagnet with alterning	
of an amorphous structure: evidences for typical sites		strong and weak coupling: RbMnCl ₃	1143
and shell structure; dynamic stability	291	Monnom (G.), Gaucherel (Ph.) and Paparoditis (C.). —	
Lichanot (A.). — Voir Besnard (M.)	487	Electron impact ionization cross section of phosphorous	
Liebert (L.). — Voir Figueiredo Neto (A. M.).	1505	and arsenic molecules	77
		Monreal (R.), de Andrés (P.), Flores (F.) and García-Moli-	
NMR studies of smectic phases of three N-(4-n-alkyloxy-		ner (F.). — A model simplification of dielectric responses	
	1149	and metal surface electrodynamics	1223
Lissowski (A.). — Voir Rivier (N.)	49	More (M.), Lefebvre (J.) and Hennion (B.). — Quasi elastic	
Litster (J. D.). — Voir Kortan (A. R.).	529	coherent neutron scattering in the disordered phase of	
Liu (J. Q.). — Voir Buisson (R.)	1523	CBr ₄ : experimental evidence of local order and rota-	
Liu (J. Q.). — Voir Buisson (R.).	1533	tional dynamics of molecules	303
Livolant (F.). — Voir Bouligand (Y.)	1899	Moreau (JP.). — Voir Jacques (C.).	1607
Lopes (L. C.). — Voir Bonville (P.)	467	Moreira (J. M.), Amado (M. M.), Braga (M. E.) and Sousa	
	575	(J. B.). — Hall effect and electrical resistivity of Tb ₇₅ -	
Lubensky (T. C.). — Voir Jiang Wang	1653	Gd ₂₅ near the Curie point	779
Lulek (T.). — Density of states in the reciprocal lattice for		Moret (R.). — Voir Simonson (T.).	1257
a one-dimensional periodic Heinseberg magnet	29	Mosseri (R.). — Voir Sadoc (J. F.)	1025
Lynch (D. W.). — Voir Lévêque (G.)	1699	M'sirdi (N.). — Voir Daudin (B.)	169
		Nahmani (A.). — Voir Romestain (R.)	1175
Madar (R.). — Voir Weiss (F.)	1137	Naud (C.). — Voir Pajot (B.)	539
	989	Nawrocki (M.). — Voir Planel (R.).	
	1827	Nery (H.). — Voir Besnard (M.)	487
	745	Nguyen Huu Tinh. — Voir Hardouin (F.)	765
	1789	Nguyen (V. N.), Tcheou (F.) and Rossat-Mignod (J.) Evi-	
	1197	dence for a modulated ordering in the intermetallic	
	451	compounds TbGe _{0.2} Si _{0.8} and ErSi of Crb-type	163
	1779	Noiray (J. C.). — Voir Romagnan (J. P.)	1237
Marion (G.), Almairac (R.), Ribet (M.), Steigenberger (U.)	1119	Nowak (W.), Karwowski (J.) and Dembczyński (J.) Dis-	
		crete-spectrum contributions to the Bauche-Arnoult	
and Vettier (C.). — Temperature-pressure phase diagram of deuterated tetramethylammonium tetrachloro-		hyperfine structure parameters for the first row tran-	
	020	sition metal atoms	681
	929	Nozdrev (V. F.). — Voir Pasechnik (S. V.)	441
Marinari (E.), Paladin (G.), Parisi (G.) and Vulpiani (A.).	657		
	657		
	1779	Ober (R.). — Voir Auvray (L.)	913
Martinot (P.), Laval (S.) and Koster (A.). — Optical bista-		Occelli (R.). — Voir Rivier (N.).	49
bility from surface plasmon excitation trough a non-	507	Ocko (B. M.), Kortan (A. R.), Birgeneau (R. J.) and Goodby	
	597	(J. W.). — A high resolution X-ray scattering study of	
	323	the phases and phase transitions in N-(4-n-butyloxyben-	
Marty (D.) and Poitrenaud (J.). — Experimental study of		zylidene)-4-n-heptylaniline (40.7)	113
coupled electron-ripplon vibrations of the 2D electron	1242	Oldano (C.), Miraldi (E.), Strigazzi (A.), Taverna Valabrega	
	1243	(P.) and Trossi (L.). — Optical study of the molecular	
	1707	alignment in a nematic liquid crystal in an oblique	
	1113		355
Manuscript Train Aldrews (E)	1540	magnetic field	222
	1549	magnetic field	333
Meerschaut (A.). — Voir Ben Salem (A.)	771	Oldano (C.), Miraldi (E.) and Taverna Valabrega (P.).	333
Meerschaut (A.). — Voir Ben Salem (A.)	771 341	Oldano (C.), Miraldi (E.) and Taverna Valabrega (P.). — Theoretical and experimental study of the static beha-	333
Meerschaut (A.). — Voir Ben Salem (A.). Melone (S.). — Voir Albertini (G.). Menaucourt (J.). — Voir Bockel (C.).	771 341 1391	Oldano (C.), Miraldi (E.) and Taverna Valabrega (P.). — Theoretical and experimental study of the static behaviour of a nematic liquid crystal near the Freedericksz	755
Meerschaut (A.). — Voir Ben Salem (A.). Melone (S.). — Voir Albertini (G.). Menaucourt (J.). — Voir Bockel (C.). Merabet (M.). — Voir Bose (T. K.).	771 341 1391 1329	Oldano (C.), Miraldi (E.) and Taverna Valabrega (P.). — Theoretical and experimental study of the static behaviour of a nematic liquid crystal near the Freedericksz transition	755
Meerschaut (A.). — Voir Ben Salem (A.). Melone (S.). — Voir Albertini (G.). Menaucourt (J.). — Voir Bockel (C.). 1 Merabet (M.). — Voir Bose (T. K.). 1 Mercier (D.). — Voir Levy (J. C. S.). 1	771 341 1391	Oldano (C.), Miraldi (E.) and Taverna Valabrega (P.). — Theoretical and experimental study of the static behaviour of a nematic liquid crystal near the Freedericksz transition	
Meerschaut (A.). — Voir Ben Salem (A.). Melone (S.). — Voir Albertini (G.). Menaucourt (J.). — Voir Bockel (C.). 1 Merabet (M.). — Voir Bose (T. K.). 1 Mercier (D.). — Voir Levy (J. C. S.). 1 Meskini (N.), Hanke (W.), Mattausch (H. J.), Balkanski (M.)	771 341 1391 1329	Oldano (C.), Miraldi (E.) and Taverna Valabrega (P.). — Theoretical and experimental study of the static behaviour of a nematic liquid crystal near the Freedericksz transition	755
Meerschaut (A.). — Voir Ben Salem (A.). Melone (S.). — Voir Albertini (G.). Menaucourt (J.). — Voir Bockel (C.)	771 341 1391 1329 291	Oldano (C.), Miraldi (E.) and Taverna Valabrega (P.). — Theoretical and experimental study of the static behaviour of a nematic liquid crystal near the Freedericksz transition	755
Meerschaut (A.). — Voir Ben Salem (A.). Melone (S.). — Voir Albertini (G.). Menaucourt (J.). — Voir Bockel (C.)	771 341 1391 1329	Oldano (C.), Miraldi (E.) and Taverna Valabrega (P.). — Theoretical and experimental study of the static behaviour of a nematic liquid crystal near the Freedericksz transition	755
Meerschaut (A.). — Voir Ben Salem (A.). Melone (S.). — Voir Albertini (G.). Menaucourt (J.). — Voir Bockel (C.). Merabet (M.). — Voir Bose (T. K.). Mercier (D.). — Voir Levy (J. C. S.). Meskini (N.), Hanke (W.), Mattausch (H. J.), Balkanski (M.) and Zouaghi (M.). — The absorption spectrum of a heteropolar crystal: the rôle of many-particle effects. Mestdagh (J. M.). — Polarisation induite par collision ato-	771 341 1391 1329 291	Oldano (C.), Miraldi (E.) and Taverna Valabrega (P.). — Theoretical and experimental study of the static behaviour of a nematic liquid crystal near the Freedericksz transition	755 1699
Meerschaut (A.). — Voir Ben Salem (A.). Melone (S.). — Voir Albertini (G.). Menaucourt (J.). — Voir Bockel (C.)	771 341 1391 1329 291 1707	 Oldano (C.), Miraldi (E.) and Taverna Valabrega (P.). — Theoretical and experimental study of the static behaviour of a nematic liquid crystal near the Freedericksz transition. Olson (C. G.). — Voir Lévêque (G.). Omari (R.), Préjean (J. J.) and Souletie (J.). — The extradimension W = kT Ln (t/τ₀) of phase space below the spin glass transition: an experimental study of the relaxation of the magnetization at constant field in CuMn. Ormancey (G.). — Voir Collin (J. P.). 	755 1699 1809
Meerschaut (A.). — Voir Ben Salem (A.). Melone (S.). — Voir Albertini (G.). Menaucourt (J.). — Voir Bockel (C.). Merabet (M.). — Voir Bose (T. K.). Mercier (D.). — Voir Levy (J. C. S.). Meskini (N.), Hanke (W.), Mattausch (H. J.), Balkanski (M.) and Zouaghi (M.). — The absorption spectrum of a heteropolar crystal: the rôle of many-particle effects. Mestdagh (J. M.). — Polarisation induite par collision atomique dans un état excité. Influence de spin nucléaire. Mézard (M.). — Voir Bouchiat (C.).	771 341 1391 1329 291	Oldano (C.), Miraldi (E.) and Taverna Valabrega (P.). — Theoretical and experimental study of the static behaviour of a nematic liquid crystal near the Freedericksz transition. Olson (C. G.). — Voir Lévêque (G.). Omari (R.), Préjean (J. J.) and Souletie (J.). — The extradimension $W = kT \operatorname{Ln}(t/τ_0)$ of phase space below the spin glass transition: an experimental study of the relaxation of the magnetization at constant field in CuMn Ormancey (G.). — Voir Collin (J. P.). Ortega (J. M.), Billardon (M.), Jezequel (G.), Thiry (P.) and	755 1699 1809
Meerschaut (A.). — Voir Ben Salem (A.). Melone (S.). — Voir Albertini (G.). Menaucourt (J.). — Voir Bockel (C.)	771 341 1391 1329 291 1707	Oldano (C.), Miraldi (E.) and Taverna Valabrega (P.). — Theoretical and experimental study of the static behaviour of a nematic liquid crystal near the Freedericksz transition. Olson (C. G.). — Voir Lévêque (G.). Omari (R.), Préjean (J. J.) and Souletie (J.). — The extradimension $W = kT \operatorname{Ln}(t/τ_0)$ of phase space below the spin glass transition : an experimental study of the relaxation of the magnetization at constant field in CuMn. Ormancey (G.). — Voir Collin (J. P.). Ortega (J. M.), Billardon (M.), Jezequel (G.), Thiry (P.) and Petroff (Y.). — Vacuum ultraviolet emission of a perma-	755 1699 1809
Meerschaut (A.). — Voir Ben Salem (A.). Melone (S.). — Voir Albertini (G.). Menaucourt (J.). — Voir Bockel (C.)	771 341 1391 1329 291 1707 107 1583	 Oldano (C.), Miraldi (E.) and Taverna Valabrega (P.). — Theoretical and experimental study of the static behaviour of a nematic liquid crystal near the Freedericksz transition Olson (C. G.). — Voir Lévêque (G.). Omari (R.), Préjean (J. J.) and Souletie (J.). — The extradimension W = kT Ln (t/τ₀) of phase space below the spin glass transition: an experimental study of the relaxation of the magnetization at constant field in CuMn. Ormancey (G.). — Voir Collin (J. P.). Ortega (J. M.), Billardon (M.), Jezequel (G.), Thiry (P.) and Petroff (Y.). — Vacuum ultraviolet emission of a permanent magnet undulator on the ACO storage ring in 	755 1699 1809
Meerschaut (A.). — Voir Ben Salem (A.). Melone (S.). — Voir Albertini (G.). Menaucourt (J.). — Voir Bockel (C.)	771 341 1391 1329 291 1707 107 1583	 Oldano (C.), Miraldi (E.) and Taverna Valabrega (P.). — Theoretical and experimental study of the static behaviour of a nematic liquid crystal near the Freedericksz transition . Olson (C. G.). — Voir Lévêque (G.). Omari (R.), Préjean (J. J.) and Souletie (J.). — The extradimension W = kT Ln (t/τ₀) of phase space below the spin glass transition : an experimental study of the relaxation of the magnetization at constant field in CuMn . Ormancey (G.). — Voir Collin (J. P.). Ortega (J. M.), Billardon (M.), Jezequel (G.), Thiry (P.) and Petroff (Y.). — Vacuum ultraviolet emission of a permanent magnet undulator on the ACO storage ring in Orsay . 	755 1699 1809 601
Meerschaut (A.). — Voir Ben Salem (A.). Melone (S.). — Voir Albertini (G.). Menaucourt (J.). — Voir Bockel (C.)	771 341 1391 1329 291 1707 107 1583	Oldano (C.), Miraldi (E.) and Taverna Valabrega (P.). — Theoretical and experimental study of the static behaviour of a nematic liquid crystal near the Freedericksz transition	755 1699 1809 601
Meerschaut (A.). — Voir Ben Salem (A.). Melone (S.). — Voir Albertini (G.). Menaucourt (J.). — Voir Bockel (C.). Merabet (M.). — Voir Bose (T. K.). Mercier (D.). — Voir Levy (J. C. S.). Meskini (N.), Hanke (W.), Mattausch (H. J.), Balkanski (M.) and Zouaghi (M.). — The absorption spectrum of a heteropolar crystal: the rôle of many-particle effects. Mestdagh (J. M.). — Polarisation induite par collision atomique dans un état excité. Influence de spin nucléaire. Mézard (M.). — Voir Bouchiat (C.). Mézard (M.), Parisi (G.), Sourlas (N.), Toulouse (G.) and Virasoro (M.). — Replica symmetry breaking and the nature of the spin glass phase. Michel (L.). — Voir Jariè (M. V.). Minier (M.), Berthier (C.) and Gorecki (W.). — Thermal	771 341 1391 1329 291 1707 107 1583	Oldano (C.), Miraldi (E.) and Taverna Valabrega (P.). — Theoretical and experimental study of the static behaviour of a nematic liquid crystal near the Freedericksz transition Olson (C. G.). — Voir Lévêque (G.). Omari (R.), Préjean (J. J.) and Souletie (J.). — The extradimension $W = kT \ln (l/\tau_0)$ of phase space below the spin glass transition : an experimental study of the relaxation of the magnetization at constant field in CuMn. Ormancey (G.). — Voir Collin (J. P.). Ortega (J. M.), Billardon (M.), Jezequel (G.), Thiry (P.) and Petroff (Y.). — Vacuum ultraviolet emission of a permanent magnet undulator on the ACO storage ring in Orsay. Ortéga (J. M.). — Voir Elleaume (P.). Ostrowsky (N.). — Voir Sornette (D.)	755 1699 1809 601 1883 989
Meerschaut (A.). — Voir Ben Salem (A.). Melone (S.). — Voir Albertini (G.). Menaucourt (J.). — Voir Bockel (C.). Merabet (M.). — Voir Bose (T. K.). Mercier (D.). — Voir Levy (J. C. S.). Meskini (N.), Hanke (W.), Mattausch (H. J.), Balkanski (M.) and Zouaghi (M.). — The absorption spectrum of a heteropolar crystal: the rôle of many-particle effects. Mestdagh (J. M.). — Polarisation induite par collision atomique dans un état excité. Influence de spin nucléaire. Mézard (M.). — Voir Bouchiat (C.). Mézard (M.), Parisi (G.), Sourlas (N.), Toulouse (G.) and Virasoro (M.). — Replica symmetry breaking and the nature of the spin glass phase. Michel (L.). — Voir Jarié (M. V.). Minier (M.), Berthier (C.) and Gorecki (W.). — Thermal analysis and NMR study of a poly (ethylene oxide)	771 341 1391 1329 291 1707 107 1583 843 1	Oldano (C.), Miraldi (E.) and Taverna Valabrega (P.). — Theoretical and experimental study of the static behaviour of a nematic liquid crystal near the Freedericksz transition. Olson (C. G.). — Voir Lévêque (G.). Omari (R.), Préjean (J. J.) and Souletie (J.). — The extradimension $W = kT \operatorname{Ln}(t/\tau_0)$ of phase space below the spin glass transition: an experimental study of the relaxation of the magnetization at constant field in CuMn. Ormancey (G.). — Voir Collin (J. P.). Ortega (J. M.), Billardon (M.), Jezequel (G.), Thiry (P.) and Petroff (Y.). — Vacuum ultraviolet emission of a permanent magnet undulator on the ACO storage ring in Orsay. Ortéga (J. M.). — Voir Elleaume (P.). Ostrowsky (N.). — Voir Somette (D.). Oswald (P.). — Voir Levelut (A. M.).	755 1699 1809 601 1883 989 265
Meerschaut (A.). — Voir Ben Salem (A.). Melone (S.). — Voir Albertini (G.). Menaucourt (J.). — Voir Bockel (C.). Merabet (M.). — Voir Bockel (C.). Mercier (D.). — Voir Levy (J. C. S.). Meskini (N.), Hanke (W.), Mattausch (H. J.), Balkanski (M.) and Zouaghi (M.). — The absorption spectrum of a heteropolar crystal: the rôle of many-particle effects. Mestdagh (J. M.). — Polarisation induite par collision atomique dans un état excité. Influence de spin nucléaire. Mézard (M.). — Voir Bouchiat (C.). Mézard (M.). — Voir Bouchiat (C.). Mézard (M.). — Replica symmetry breaking and the nature of the spin glass phase. Michel (L.). — Voir Jarić (M. V.). Minier (M.), Berthier (C.) and Gorecki (W.). — Thermal analysis and NMR study of a poly (ethylene oxide) complex electrolyte: PEO (LiCF ₃ SO ₃) _x	771 341 1391 1329 291 1707 107 1583 843 1	Oldano (C.), Miraldi (E.) and Taverna Valabrega (P.). — Theoretical and experimental study of the static behaviour of a nematic liquid crystal near the Freedericksz transition Olson (C. G.). — Voir Lévêque (G.). Omari (R.), Préjean (J. J.) and Souletie (J.). — The extradimension $W = kT \ln (l/\tau_0)$ of phase space below the spin glass transition : an experimental study of the relaxation of the magnetization at constant field in CuMn. Ormancey (G.). — Voir Collin (J. P.). Ortega (J. M.), Billardon (M.), Jezequel (G.), Thiry (P.) and Petroff (Y.). — Vacuum ultraviolet emission of a permanent magnet undulator on the ACO storage ring in Orsay. Ortéga (J. M.). — Voir Elleaume (P.). Ostrowsky (N.). — Voir Sornette (D.)	755 1699 1809 601 1883 989 265 745
Meerschaut (A.). — Voir Ben Salem (A.). Melone (S.). — Voir Albertini (G.). Menaucourt (J.). — Voir Bockel (C.)	771 341 1391 1329 291 1707 107 1583 843 1	Oldano (C.), Miraldi (E.) and Taverna Valabrega (P.). — Theoretical and experimental study of the static behaviour of a nematic liquid crystal near the Freedericksz transition. Olson (C. G.). — Voir Lévêque (G.). Omari (R.), Préjean (J. J.) and Souletie (J.). — The extradimension $W = kT \operatorname{Ln}(t/\tau_0)$ of phase space below the spin glass transition: an experimental study of the relaxation of the magnetization at constant field in CuMn. Ormancey (G.). — Voir Collin (J. P.). Ortega (J. M.), Billardon (M.), Jezequel (G.), Thiry (P.) and Petroff (Y.). — Vacuum ultraviolet emission of a permanent magnet undulator on the ACO storage ring in Orsay. Ortéga (J. M.). — Voir Elleaume (P.). Ostrowsky (N.). — Voir Somette (D.). Oswald (P.). — Voir Levelut (A. M.).	755 1699 1809 601 1883 989 265 745
Meerschaut (A.). — Voir Ben Salem (A.). Melone (S.). — Voir Albertini (G.). Menaucourt (J.). — Voir Bockel (C.)	771 341 1391 1329 291 1707 107 1583 843 1	Oldano (C.), Miraldi (E.) and Taverna Valabrega (P.). — Theoretical and experimental study of the static behaviour of a nematic liquid crystal near the Freedericksz transition Olson (C. G.). — Voir Lévêque (G.). Omari (R.), Préjean (J. J.) and Souletie (J.). — The extradimension $W = kT \operatorname{Ln}(t/τ_0)$ of phase space below the spin glass transition : an experimental study of the relaxation of the magnetization at constant field in CuMn Ormancey (G.). — Voir Collin (J. P.). Ortega (J. M.), Billardon (M.), Jezequel (G.), Thiry (P.) and Petroff (Y.). — Vacuum ultraviolet emission of a permanent magnet undulator on the ACO storage ring in Orsay Ortéga (J. M.). — Voir Elleaume (P.). Ostrowsky (N.). — Voir Sornette (D.). Oswald (P.). — Voir Levelut (A. M.). Oulton (D. B.). — Voir Wollkind (D. J.).	755 1699 1809 601 1883 989 265 745
Meerschaut (A.). — Voir Ben Salem (A.). Melone (S.). — Voir Albertini (G.). Menaucourt (J.). — Voir Bockel (C.)	771 341 1391 1329 291 1707 107 1583 843 1	Oldano (C.), Miraldi (E.) and Taverna Valabrega (P.). — Theoretical and experimental study of the static behaviour of a nematic liquid crystal near the Freedericksz transition	755 1699 1809 601 1883 989 265 745 505
Meerschaut (A.). — Voir Ben Salem (A.). Melone (S.). — Voir Albertini (G.). Menaucourt (J.). — Voir Bockel (C.)	771 341 3391 3329 291 7707 107 1583 1 739 355 755	Oldano (C.), Miraldi (E.) and Taverna Valabrega (P.). — Theoretical and experimental study of the static behaviour of a nematic liquid crystal near the Freedericksz transition Olson (C. G.). — Voir Lévêque (G.). Omari (R.), Préjean (J. J.) and Souletie (J.). — The extradimension $W = kT \operatorname{Ln}(t/τ_0)$ of phase space below the spin glass transition : an experimental study of the relaxation of the magnetization at constant field in CuMn. Ormancey (G.). — Voir Collin (J. P.). Ortega (J. M.), Billardon (M.), Jezequel (G.), Thiry (P.) and Petroff (Y.). — Vacuum ultraviolet emission of a permanent magnet undulator on the ACO storage ring in Orsay. Ortéga (J. M.). — Voir Elleaume (P.). Ostrowsky (N.). — Voir Somette (D.). Oswald (P.). — Voir Levelut (A. M.). Oulton (D. B.). — Voir Wollkind (D. J.).	755 1699 1809 601 1883 989 265 745 505
Meerschaut (A.). — Voir Ben Salem (A.). Melone (S.). — Voir Albertini (G.). Menaucourt (J.). — Voir Bockel (C.). Merabet (M.). — Voir Bose (T. K.). Mercier (D.). — Voir Levy (J. C. S.). Meskini (N.), Hanke (W.), Mattausch (H. J.), Balkanski (M.) and Zouaghi (M.). — The absorption spectrum of a heteropolar crystal: the rôle of many-particle effects. Mestdagh (J. M.). — Polarisation induite par collision atomique dans un état excité. Influence de spin nucléaire. Mézard (M.). — Voir Bouchiat (C.). Mézard (M.), Parisi (G.), Sourlas (N.), Toulouse (G.) and Virasoro (M.). — Replica symmetry breaking and the nature of the spin glass phase. Michel (L.). — Voir Jaric (M. V.). Minier (M.), Berthier (C.) and Gorecki (W.). — Thermal analysis and NMR study of a poly (ethylene oxide) complex electrolyte: PEO (LiCF ₃ SO ₃) _x . Miraldi (E.). — Voir Oldano (C.). Miraldi (E.). — Voir Oldano (C.). Moine (B.) and Pedrini (C.). — Two-photon spectroscopy of Ag ⁺ ions in alkali chlorides. Möller (U.). — Voir Schneider (S.).	771 341 1391 1329 291 1707 107 1583 843 1	Oldano (C.), Miraldi (E.) and Taverna Valabrega (P.). — Theoretical and experimental study of the static behaviour of a nematic liquid crystal near the Freedericksz transition	755 1699 1809 601 1883 989 265 745 505

A CONTRACTOR OF THE CONTRACTOR		- (T T) Y 11 (14 Y)	157
Palau (J. M.). — Voir Ismail (A.)	1717	Raynes (E. P.). — Voir Bradshaw (M. J.)	157
Pansu (B.), Pieranski (Pi.) and Pieranski (Pa.). — Structures		Regnier (S.). — Voir Baros (F.)	855
of thin layers of hard spheres: high pressure limit	331	Regnier (S.). — Voir Lavielle (B.).	981
	49	Reinisch (R.). — Voir Chartier (G.)	429
Pantaloni (J.). — Voir Rivier (N.)			
Pantaloni (J.). — Voir Cerisier (P.)	405	Reynaud (S.). — Voir Heidmann (A.)	
Paparoditis (C.). — Voir Monnom (G.)	.77	Ribet (M.). — Voir Marion (G.)	929
Papoular (M.), Collaudin (B.) et Robert (J. B.). — H-He:		Richardson (R. M.), Leadbetter (A. J.), Hayter (J. B.), Stir-	
effets de l'interaction gaz-surface	1571	ling (W. C.), Gray (G. W.) and Tajbakhsh (A.). — Dyna-	
Parisi (G.). — Voir Marinari (E.).	657	mics of the modulated crystal smectic B phase of 50.7 by	
			1061
Parisi (G.). — Voir Mézard (M.).	843	neutron scattering experiments	
Pasechnik (S. V.), Larionov (A. N.), Balandin (V. A.) et		Rigaux (C.). — Voir Blinowski (J.)	545
Nozdrev (V. F.). — Etude acoustique de cristaux liquides		Rioux (C.). — Voir Pouliot (J.)	71
nématiques sous champ magnétique pour différentes		Rivier (N.), Occelli (R.), Pantaloni (J.) and Lissowski (A.). —	
températures et pressions	441	Structure of Bénard convection cells, phyllotaxis and	
		crystallography in cylindrical symmetry	49
Pavel (J.). — Behaviour of thin planar Sm C* samples in an	127		953
electric field	137	Rivoal (JC.). — Voir Shakhsemampour (J.)	
Pavel (J.). — Voir Glogarová (M.)	143	Robert (J. B.). — Voir Papoular (M.)	1577
Pawlowska (Z.) and Fauchais (P.). — Change transfer between		Robert (J.), Bočvarski (V.), Colomb de Daunant (I.), Vassilev	
atomic and ionic oxygen	867	(G.) and Baudon (J.). — $Ar^* (3p^5, 4s, {}^3P_{0,2})$ on $Ar (3p^6, 4s, {}^3P_{0,2})$	
Payen (R.). — Champs électromagnétiques aléatoires : for-		¹ S ₀) collisions at thermal energies	225
malisme général et obtention de la loi de radiation de		Robin (J.). — Voir Lévêque (G.).	665
and the second s	805		989
Planck	805	Robinson (K. E.). — Voir Elleaume (P.).	707
Pedrini (C.). — Voir Moine (B.)	1491	Romagnan (J. P.) and Noiray (J. C.). — Superfluid onset in	100
Pellat (R.), Frey (M.) and Tagger (M.). — Quasi-linear evolu-		³ He- ⁴ He mixture films	1237
tion of tearing modes	1615	Romestain (R.), Le Si Dang and Nahmani (A.). — Zeeman	
Percheron-Guegan (A.). — Voir Lamloumi (J.)	1643	spectroscopy of donor bound exciton states in ZnTe	1175
Perrin (H.) et Bergès (J.). — Etude conformationnelle théo-		Rosenblatt (C.). — Temperature dependence of the anchoring	
rique de la molécule de para-azoxy-anisole	1947	strength coefficient at a nematic liquid crystal-wall inter-	
	1741		1007
Perzynski (R.), Delsanti (M.) and Adam (M.). — Intrinsic		face	1087
viscosity of flexible macromolecules : transition from		Rossat-Mignod (J.). — Voir Nguyen (V. N.)	163
theta to collapsed state	1765	Rothard (G.). — Voir Pougheon (F.)	65
Petroff (Y.). — Voir Elleaume (P.)	989	Rothen (F.). — Voir Joanicot (M.)	1413
Petroff (Y.). — Voir Ortega (J. M.)	1883	Rouillon (J. C.). — Voir Baumann (C.)	451
Pic (E.). — Voir Chartier (G.)	429	Rousseau (M.). — Voir Russi (R.)	1773
		Daniel (D) Vais Daniel (E)	
Piéranski (P.). — Voir Joanicot (M.)	1413	Roussel (P.). — Voir Pougheon (F.).	65
Pieranski (Pa.). — Voir Pansu (B.)	331	Roy (R.). — Voir Pouliot (J.)	71
Pieranski (Pi.). — Voir Pansu (B.)	331	Rullier-Albenque (F.), Zuppiroli (L.) and Weiss (F.). — Nega-	
Pincus (P. A.), Sandroff (C. J.) and Witten (T. A.) Poly-		tive temperature coefficient of resistivity in samples of	
mer adsorption on colloidal particles	725	Nb ₃ Ge irradiated by electrons or heavy ions	1689
Pleiner (H.). — Voir Brand (H. R.).	563	Russi (R.), Barbosa (G. A.), Rousseau (M.) and Gesland (J. Y.).	.005
	85		
Plindov (G. I.). — Voir Dmitrieva (I. K.).	0.5	— Vibronic contribution to the low temperature lumi-	4.770
Planel (R.), Tran Hong Nhung, Fishman (G.) and Nawrocki		nescence of KZnF ₃ : Ni. A quantitative approach	1773
(M.). — Magnetic fluctuation observation in donor-		Rustichelli (F.). — Voir Albertini (G.)	341
bound magnetic polarons	1071		
Pocheau (A.) and Croquette (V.). — Dislocation motion : a			
wavenumber selection mechanism in Rayleigh-Bénard			
convection	35	Sackmann (E.). — Voir Fischer (A.)	
Poenaru (D. N.) and Ivaşcu (M.). — ⁵ He radioactivity		Sadeghi (N.). — Voir Dreiling (T. D.)	177
	1099	Sadoc (J. F.) and Mosseri (R.). — Disclination density in ato-	
Poeti (G.). — Voir Albertini (G.)	341	mic structures described in curved spaces	1025
Poinsignon (C.). — Voir Conard (J.)	1361	Saidachmetov (P.). — Birefringence and Frederiks effects in	
Poitrenaud (J.). — Voir Marty (D.)	1243	a cubic liquid crystal	761
Potvin (L.). — Voir Pouliot (J.)	71	Saint-Jalm (J. M.). — Voir Bendali (N.)	
Pougheon (F.), Turkiewicz (I. M.), Bernas (M.), Dessagne (P.),			
Rotbard (G.), Roussel (P.) and Turkiewicz (J.). — The		Saint-James (D.). — Voir Aslangul (C.)	
¹² C(¹⁶ O, ¹² C) ¹⁶ O reaction : an insight into the reaction		Saint-James (D.). — Voir Aslangul (C.)	
	15	Salanon (B.). — Ne diffraction from Cu(110)	1373
mechanism by particle correlation measurements	65	Salin (A.). — Intrashell mixing following electron capture	
Pouliot (J.), Bricault (P.), Dufour (J. G.), Potvin (L.), Rioux		from atomic hydrogen targets by slow ions. I — Fully	
(C.), Roy (R.) et Slobodrian (R. J.). — Invariance par		stripped projectiles	671
renversement du temps : nouvelles mesures de polarisa-		Salva (H.). — Voir Ben Salem (A.)	771
tion dans la réaction ⁹ Be(³ He, p) ¹¹ B	71		
Poussigue (G.). — Voir Tarrago (G.).	1429	Sambongi (T.). — Voir Ben Salem (A.).	771
Préjean (J. J.). — Voir Omari (R.).	1809	Samson (J. H.). — Breakdown of the static approximation in	
		itinerant-electron magnetism	1675
Prost (J.). — Voir Baumann (C.).	451	Sandroff (C. J.). — Voir Pincus (P. A.)	725
Przybylski (M.). — Voir Zuppiroli (L.).	1925	Santos (D. M. L. F.). — Sur les paramètres essentiels et	
Pukaci (W.). — Voir Zuppiroli (L.)	1925	l'énergie interne des solides amorphes covalents. Modèle	
Pyzalski (R.). — Voir Shakhsemampour (J.)	953		1200
		en 3 dimensions	1309
Personal (D) Control (d)		Sassik (H.). — Voir Gruber (H.)	
Rammal (R.). — Spectrum of harmonic excitations on frac-		Schieve (W. C.). — Voir Dickman (R.)	1727
tals	191	Schiffler (J.). — Voir Limmer (St.)	1149
Rammal (R.), Toulouse (G.) and Vannimenus (J.). — Self-		Schneider (M. B.), Jenkins (J. T.) and Webb (W. W.) Ther-	
avoiding walks on fractal spaces: exact results and Flory		mal fluctuations of large quasi-spherical bimolecular	

Schneider (M. B.) and Webb (W. W.). — Undulating paired		Thiry (P.). — Voir Ortega (J. M.)	1883
disclinations (oily steaks) in lyotropic liquid crystals	273	Thoen (J.). — Voir Bose (T. K.).	
Schneider (S.), Möller (U.) and Alicka (M.). — Comparison of		Thomy (A.). — Voir Bockel (C.).	1329
recorded and calculated photoacoustic spectra of dye		Torquati (G.). — Voir Albertini (G.).	1391
solutions	1272	Toulouse (G.). — Voir Rammal (R.).	341
Schulz (J. A.). — Voir Thiriet (Y.)	323	Toulouse (G.). — Voir Mézard (M.).	389 843
Senateur (J. P.). — Voir Weiss (F.)	1137	Tournier (R.). — Voir Genicon (J. L.)	
Senatra (D.), Guarini (G. G. T.), Gabrielli (G.) and Zoppi		Touvet (D.). — Voir Grandin (J. P.)	1079
(M.). — Low temperature study of w/o microemulsions		Tran-Ba-Chu and Broyer (M.). — Intracavity single reso-	1423
by differential scanning calorimetry and dielectric			1500
measurements	1159	nance optical parametric oscillator (I.S.R.O.)	1599
Senoussi (S.) Irreversible effects in Au ₈₁ Fe ₁₉ and	1135	Tranchant (F.). — Voir Grilhé (J.).	939
$Ni_{79}Mn_{21}$ below the de Almeida-Thouless temperature.	215	Tran Hong Nhung. — Voir Planel (R.).	1071
Sergent (M.). — Voir Genicon (J. L.)	315 1079	Tréglia (G.) and Bieber (A.). — Computation of interatomic	
Shakhsemampour (J.), Pyzalski (R.), Vala (M.) and Rivoal	10/9	Green functions for transition metals using continued	-
(JC.). — Magnetic circular dichroism study of matrix-		fraction techniques	283
isolated iron atoms	0.52	Tresser (C.). — Homoclinic orbits for flows in \mathbb{R}^3	837
Shown (D. T.) Voir Igric (M. V.)	953	Triantis (D.). — ITC measurements on sodium fluoride doped	
Sharp (R. T.). — Voir Jarić (M. V.).	1	with Mg ⁺²	1751
Simonson (T.), Dénoyer (F.) and Moret (R.). — A new phase	1055	Troja (S. O.). — Voir Burrafato (G.)	1789
transition in LiNH ₄ SO ₄ : and X-ray study	1257	Trossi (L.). — Voir Oldano (C.).	355
Sitte (W.). — Voir Gruber (H.).	1231	Turban (L.). — Conformation of confined macromolecular	
Skoulios (A.). — Voir Guillon (D.).	607	chains: cross-over between slit and capillary	347
Slobodrian (R. J.). — Voir Pouliot (J.).	71	Turkiewicz (I. M.). — Voir Pougheon (F.)	
Sniadower (L.). — Voir Chapellier (M.)	1033	Turkiewicz (J.). — Voir Pougheon (F.)	65
Soonckindt (L.). — Voir Bonnet (J.).	1191		
Soonckindt (L.). — Voir Bonnet (J.).	1197		
Sornette (D.) and Arneodo (A.). — Chaos, pseudo-random		Ulenikov (O. N.) Voir Tarrago (G.)	1429
number generators and the random walk problem	1843	Uwaha (M.). — Sound propagation in a superleak covered	
Somette (D.) and Ostrowsky (N.). — Repulsive steric inter-		with solid ⁴ He	1559
action between membranes of finite size	265		
Souletie (J.). — Voir Omari (R.)	1809		
Sourlas (N.). — Voir Mézard (M.)	843	Vacher (R.). — Voir Berge (B.)	715
Sousa (J. B.). — Voir Moreira (J. M.)	779	Vala (M.). — Voir Shakhsemampour (J.)	953
Spiegelmann (F.) et Gadea (F. X.). — Calcul théorique en		Vallade (M.). — Voir Berge (B.).	715
couplage Λ - Σ du spectre électronique des excimères		Van der Meulen (J. P.) Zijlstra (R. J. J.). — Viscoelastic pro-	
Ar ₂ et Kr ₂ corrélé aux configurations atomiques		perties of a homologous series of nematic liquid crystal-	
$np^{5}(n+1)$ set $np^{5}(n+1)$ p	1003	line Schiff's bases	1347
Spiesser (M.). — Voir Conan (A.)	459	Van der Meulen (J. P.) and Zijlstra (R. J. J.). — Physical pro-	
Sriranganathan (R.). — Voir Wollkind (D. J.)	505	perties of the nematic liquid crystal, APAPA. Optical	
Steigenberger (U.). — Voir Marion (G.)	929	determination of the viscoelastic and elastic ratios	1627
Stirling (W. C.). — Voir Richardson (R. M.)	1061	Van Hemmen (J. L.) and Sütö (A.). — Quenched and annealed	
Strigazzi (A.). — Voir Oldano (C.)	355	free energies	1277
Suck (J. B.). — Voir Cavagnat (D.)	97	Van Landuyt (J.). — Voir Dolino (G.)	901
Sütö (A.). — Voir Van Hemmen (J. L.).	1277	Vannimenus (J.). — Voir Rammal (R.)	389
Suzanne (J.). — Voir Gay (J. M.)	1497	Van Tendeloo (G.). — Voir Dolino (G.)	901
Swift (J.). — Voir Yu-feng Sun	1801	Vassilev (G.). — Voir Robert (J.)	225
Swift (J.). — Voir Yu-feng Sun	1039	Velghe (M.). — Voir Elleaume (P.)	989
Szulc (J.). — Voir Dabrowski (R.)	1213	Vergnol (J. F. M.) and Grilhé (J. R.). — Relationship between	
Szwarc (H.). — Voir André (D.)	731	extrinsic stacking faults and mechanical twinning in	
(27)		F.C.C. solid solutions with low stacking fault energy	1479
		Vergnol (J.). — Voir, Grilhé (J.)	939
THE CHANGE OF THE CANAGE	412	Vettier (C.). — Voir Marion (G.)	929
Tabiryan (N. V.). — Voir Chilingaryan (Yu. S.)	413	Vial (J. C.). — Voir Buisson (R.)	1533
Tagger (M.). — Voir Pellat (R.).	1615	Vialle (J. L.). — Voir Bendali (N.)	421
Tajbakhsh (A.). — Voir Richardson (R. M.)	1061	Vilches (O. E.) Voir Coulomb (J. P.).	1381
Takahashi (T.), Jérome (D.) and Bechgaard (K.). — An NMR	0.45	Virasoro (M.). — Voir Mézard (M.)	843
study of the organic superconductor: (TMTSF) ₂ ClO ₄	945	Vogt (O.). — Voir Bartholin (H.)	1183
Tarrago (G.), Ulenikov (O. N.) and Poussigue (G.). — Dipole		Voirin (G.). — Voir Chartier (G.)	429
moment matrix for vibration-rotation transitions in C ₃	1.400	Von Känel (H.). — Voir Kortan (A. R.)	529
molecules	1429	Vuillermoz (P. L.). — Voir Jouglar (J.)	791
Taupin (C.). — Voir Auvray (L.)	913	Vulpiani (A.). — Voir Marinari (E.)	657
Taverna Valabrega (P.). — Voir Oldano (C.)	355	vuspionia (21)	
Taverna Valabrega (P.). — Voir Oldano (C.)	755		
Tchapoutian (R.). — Voir Bartholin (H.)	1183	(7 7) 11 17 (1)	771
Tcheou (F.). — Voir Nguyen (V. N.)	163	Wang (Z. Z.). — Voir Ben Salem (A.)	771
Tetu (M.). — Voir De Clercq (E.)	239	Webb (C. E.). — Voir Hogan (D. C.)	1449
Thébault (D.). — Voir Armelles (G.)	1795	Webb (W. W.). — Voir Schneider (M. B.).	273
Thieblemont (B.). — Voir Glass-Maujean (M.)	1107	Webb (W. W.). — Voir Schneider (M. B.)	1457
Thiriet (Y.), Schulz (J. A.), Martinoty (P.) and Guillon (D.).		Weiss (F.), Demolliens (O.), Madar (R.), Senateur (J. P.) and	
Static and viscoelastic properties of the various smectic		Fruchart (R.). — On the stabilization of A-15 Nb ₃ Ge	1127
phases of N-(4-n-pentyloxybenzylidene)-4-n-hexylani-		with high T _c 's	1137
line (50.6) determined by dilatometry and acoustic		Weiss (F.). — Voir Rullier-Albenque (F.)	1689
methods	323	Winternitz (P.). — Voir Bysticky (J.)	207

Wilhelmsson (H.). — 3 D solutions of non-linear evolution		Zana (R.). — Voir Hirsch (E.)	257
equations with diffusion	435	Zana (R.). — Voir Candau (S. J.)	1263
Witten (T. A.). — Voir Pincus (P. A.)	725	Zel' Dovich (B. Ya.). — Voir Chilingaryan (Yu. S.)	413
Wollkind (D. J.), Oulton (D. B.) and Sriranganathan (R.). —		Zeyen (C. M. E.). — Voir Dolino (G.)	361
A nonlinear stability analysis of a model equation for		Zeyen (C. M. E.). — Voir Dolino (G.)	901
alloy solidification	505	Zeyen (C. M. E.). — Voir Lefebvre (J.)	1317
Woo (K. J.). — Voir Chartier (G.).	429	Zibold (G.). — Voir Korn (D.)	895
		Zielinski (J.) Voir Kunert (H. W.)	557
		Zijlstra (R. J. J.). — Voir van der Meulen (J. P.)	1347
		Zijlstra (R. J. J.). — Voir van der Meulen (J. P.)	1627
		Zoppi (M.). — Voir Senatra (D.)	1159
		Zouaghi (M.). — Voir Meskini (N.)	1707
		Zuppiroli (L.), Przybylski (M.) and Pukacki (W.). — Extended	
Yu-feng Sun and Swift (J.). — Effect of elastic degrees of free-		and localized states, polarons, excitons and solitons in	
dom at columnar-crystalline phase transition	1039	irradiated N-methyl derivatives of pyridinium with	
Yu-feng Sun and Swift (J.). — Disordered hexagonal-		TCNQ	1925
disordered rectangular phase transition in HAT series.	1801	Zuppiroli (L.). — Voir Rullier-Albenque (F.)	1689

JOURNAL DE PHYSIQUE - LETTRES

Tome 45 — 1984

Abillon (O.), Chatenay (D.), Langevin (D.) and Meunier		Benguigui (L.) and Hardouin (F.). — New dielectric relaxa-	
(J.). — Light scattering study of a lower critical con-		tion in a bilayered fluid smectic phase	L-179
solute point in a micellar system	L-223	Benguigui (L.), Shechter (H.), Katmor (D.), Taub (H.)	
Achard (J. C.). — Voir Escorne (M.)	L-75	and Suzanne (J.). — Effects of Fe(CO), intra- and	
Achard (M. F.). — Voir Godquin-Giroud (A. M.)	L-387	intermolecular phase transitions on the macroscopic	
Achard (M. F.). — Voir Hardouin (F.)	L-143	dielectric constant	L-983
Adam (M.) and Delsanti (M.). — Quasielastic light scatter-		Berényi (D.). — Voir Schader (J.)	L-249
ing by semi-dilute solutions of macromolecules at		Berger (H.). — Voir Lavorel (B.)	L-295
theta temperature	L-279	Bernas (M.), Dessagne (Ph.), Langevin (M.), Parrot (G.),	L 2/3
Aharoni (S. M.). — Voir Moscicki (J. K.)	L-379	Pougheon (F.), Quiniou (E.) and Roussel (P.). — Halflife	
Albinet (G.). — Voir Clerc (J. P.)		of the first excited state (O ⁺) of ⁶⁸ Ni	L-851
Ami (S.) and Kleinert (H.). — Fluctuations in 2D defect	. 2 ,	Bernier (P.). — Voir El-Khodary (A.)	L-551
melting	L-877	Bervillier (C.). — Voir Bagnuls (C.)	L-95
André (J.), Teboul (A.) et Vedel (F.). — Calcul des propriétés		Bervillier (C.). — Voir Bagnuls (C.)	L-127
énergétiques d'ions confinés dans une trappe quadru-		Bessis (D.) and Fournier (J. D.). — Pole condensation and	
polaire r.f. et refroidis par excitation d'une bande		the Riemann surface associated with a shock in	
latérale	L-1	Burgers' equation	L-833
André (J. J.) Voir Guillaud (G.)	L-265	Beysens (D.) and Perot (F.). — Periodic spinodal decom-	
Attar (A.). — Voir Monteil (A.)	L-1097	position in a binary fluid under shear	L-31
Aubrée (J.). — Voir Errandonéa (G.)	L-329	Bitbol (M.) and Mills (P.). — The deformation of a visco-	
		elastic sphere in a time dependent shear flow	L-775
		Blaise (A.), Collard (J. M.), Fournier (J. M.), Charvillat	
		(J. P.) et Wojakowski (A.). — Propriétés magnétiques	
Bacri (JC.), Leygnac (C.) and Salin (D.) Study of		de NpSbTe et NpAsTe	L-571
miscible fluid flows in a porous medium by an acous-		Blons (J.). — Voir Fabbro (B.)	L-843
tical method	L-767	Blumen (A.). — Voir Klafter (J.)	L-49
Bacri (JC.) and Salin (D.) First-order transition in the		Boeuf (A.). — Voir Tabuteau (A.)	L-373
instability of a magnetic fluid interface	L-559	Bohidar (H. B.). — Voir Hecht (AM.)	L-121
Bagnuls (C.) and Bervillier (C.). — Nonasymptotic critical		Bohigas (O.), Giannoni (M. J.) and Schmit (C.). — Spectral	
behaviour from field theory for Ising like systems		properties of the Laplacian and random matrix	
in the homogeneous phase: theoretical framework	L-95	theories	L-1015
Bagnuls (C.), Bervillier (C.) and Garrabos (Y.). — Experi-		Bois (D.). — Voir Rosencher (E.)	L-493
mental data analysis on xenon above the critical		Bordé (Ch. J.). — Voir Salomon (Ch.)	L-1125
temperature from nonlinear renormalization group.	L-127	Bosser (J.), Burnod (L.), Coisson (R.), Ferioli (G.), Mann	
Balanzat (E.). — Ordering phenomena during the structural		(J.) and Méot (F.). — Characteristics of the radiation	T 242
relaxation of sputtered Ni ₂₄ Zr ₇₆	L-639	emitted by protons and antiprotons in an undulator.	L-343
Ball (R. C.) and Jullien (R.). — Finite size effects in cluster-		Botet (R.). — Voir Jullien (R.)	L-211
cluster aggregation	L-1031	Bouchiat (M. A.), Guéna (J.) and Pottier (L.). — Measure-	
Barbero (G.), Bartolino (R.) and Meuti (M.). — A conjec-		ment of the M_1 amplitude and hyperfine mixing bet-	L-61
ture on the Mada theory for nematic liquid crystal-		ween the $6S_{1/2}$ - $7S_{1/2}$ caesium states	L,-01
surface interaction	L-449	Bouchiat (M. A.), Guéna (J.) and Pottier (L.). — Absolute	
Barbero (G.), Madhusudana (N. V.) and Durand (G.). —		polarization measurements and natural lifetime in the 7 S _{1/2} state of Cs	L-523
Weak anchoring energy and pretilt of a nematic liquid		Boucif (M.), Wesfreid (J. E.) and Guyon (E.). — Role of	£ 525
crystal	L-613	boundary conditions on mode selection in a buckling	
Barbero (G.) and Strigazzi (A.). — Influence of the surface-		instability	L-413
like volume elasticity on the critical thickness of a	v 0.00	Bouffard (S.). — Voir Forró (L.)	L-543
hybrid aligned nematic cell	L-857	Bouffard (S.). — Voir Mutka (H.)	L-113
Barbet-Massin (R.) and Pieranski (P.). — Blue Phase one:	1 700	Bouffard (S.). — Voir Mutka (H.)	L-729
first optical measurements of the order parameter	L-799	Bourbonnais (C.), Creuzet (F.), Jérome (D.), Bechgaard (K.)	
Barois (P.). — Voir Richetti (P.).	L-1137	and Moradpour (A.). — Cooperative phenomena in	
Bartolino (R.). — Voir Barbero (G.).	L-449	(TMTSF) ₂ ClO ₄ : an NMR evidence	L-755
Baumgärtner (A.). — Unscreened polyelectrolyte chain	L-515	Boyer (L.). — Voir Mathis (C.)	L-483
in d dimensions: a Monte Carlo simulation	L-515	Brand (H. R.) and Cladis (P. E.). — Smectic X — the first	
Beauvillain (P.), Chappert (C.) and Renard (J. P.). — Criti-		truly ferroelectric liquid crystal	L-217
cal behaviour in an insulating spin glass : field expansion and scaling	L-665	Bréant (Ch.). — Voir Salomon (Ch.)	L-1125
Bechgaard (K.). — Voir Bourbonnais (C.)	L-755	Bringuier (E.). — Charged copolymers at an interface:	
Bechgaard (A.). — Voir Bourbonnais (C.)	L-935	a model	L-107
Bellessa (G.). — Voir Lerbet (F.)	L-1045	Brion (J.), Daumont (D.) and Malicet (J.). — New measure-	
Bellocq (A. M.). — Voir Honorat (P.)	L-961	ments of the absolute absorption cross-sections of	

ozone at 294 K and 223 K in the 310-350 nm spectral range. Brochard (F.) and de Gennes (P. G.). — Spreading laws for	L-57	Daoud (M.), Family (F.) and Jannink (G.). — Dilution and polydispersity in branched polymers	L-199 L-57 L-1053
liquid polymer droplets: interpretation of the « foot » Buchet (J. P.), Buchet-Poulizac (M. C.), Denis (A.), Desesquelles (J.), Druetta (M.), Martin (S.), Grandin (J. P.), Hennecart (D.), Husson (X.) et Lecler (D.). — Détermination de la structure fine des états doublement excités 1s 2s 2p ⁴ P ⁰ et 1s 2p ² ⁴ P et de la durée de vie	L-597	Debeau (M.). — Voir Depondt (Ph.) Debever (J. M.). — Voir Coletti (F.) De Courtenay (N.). — Voir Campbell (I. A.) De Dominicis (C.) and Kondor (I.). — On spin glass fluctuations	L-685 L-467 L-565
du niveau 1s 2p ² ⁴ P _{1/2} de Al XI	L-361 L-361	Defrance (A.), Hagene (M.) et Pasquerault (D.). — Etude des résonances de l'hélium par recul de l'atome excité par impact électronique dans un faisceau supersonique	L-427
of 4-(2'-methylbutyl)phenyl 4'-n-octylbiphenyl-4-car- boxylate	L-1053	De Gennes (P. G.). — Voir Brochard (F.) De Gennes (P. G.). — Voir Legait (B.)	L-597 L-647
Burkhard (M.). — Voir Schader (D.)	L-249	Delsanti (M.). — Voir Adam (M.)	L-279 L-361
discrete Frenkel-Kontorova chain Burnod (L.). — Voir Bosser (J.)	L-409 L-343	rature dependence of internal bandwidths in plastic adamantane by Raman light scattering	L-685
		compact animals	L-701
Caciuffo (R.). — Voir Kekicheff (P.)	L-813 L-373	points for a random field Ising model in dimension 2	L-577
Campbell (I. A.). — Muon hyperfine fields in rare earth		Descamps (M.), Caucheteux (C.), Odou (G.) and Sauvajol (J. L.). — Local molecular order in the glassy crystal-	
hosts	L-27	line phase of cyanoadamantane: diffuse X-ray scat-	
versibility onset in spin glasses from torque measure-		tering analysis	L-719 L-459
ments	L-565 L-379	Descamps (C.). — Voir Descamps (M.). — The cooperative	L-439
Carles (D.), Lefrançois (G.) and Larmagnac (J. P.).	L SIV	dynamical behaviour of the ordered smectic phases	L-459
A model for steady-state photoconductivity in amorphous selenium	L-901	Des Cloizeaux (J.). — Polymer melt : reptation of a chain and viscosity	L-17
Castaing (B.). — The growth resistance of ⁴ He solid super-	L-901	Desesquelles (J.). — Voir Buchet (J. P.)	L-361
fluid interfaces	L-233 L-719	Destrade (C.). — Voir Legrand (C.).	L-851 L-283
Cazaux (J.), Laurencin (G.) and Olivier (J.). — Interface	L-/19	Deutscher (G.). — Voir Palevski (A.)	L-367
positions measured at the lattice constant scale by	L-999	Deutscher (G.). — Voir Kapitulnik (A.)	L-401 L-419
Auger analysis on chemical bevels Chalker (J. T.). — Voir Sluckin (T. J.)	L-863	Dreyfus (G.). — Voir Siarry (P.)	L-39
Chante (J. P.). — Voir Gaffiot (F.). Chapliev (N. I.). — Voir Ursu (I.)	L-907 L-737	Druetta (M.). — Voir Buchet (J. P.)	L-361
Chapoton (A.). — Voir Legrand (C.)	L-283	in the smectic E phase of a liquid crystal	L-169
Chappert (C.). — Voir Beauvillain (P.).	L-665	Durand (G.). — Voir Mutka (H.) Durand (G.). — Voir Figueiredo Neto (A. M.)	L-729 L-793
Chardonnet (Ch.). — Voir Salomon (Ch.) Charvillat (J. P.). — Voir Blaise (A.)	L-1125 L-571	Durand (G.). — Voir Palierne (J. F.)	L-335
Chapter (M.) Voir Abillon (O.)	L-223	Durand (G.). — Voir Barbero (G.) Dutartre (D.). — Voir Mayet (L.)	L-613 L-873
Chauvin (M.). — Voir Lederer (P.). Chomilier (J.). — Voir Loupias (G.).	L-627 L-301	Duval (E.). — Voir Monteil (A.)	L-1097
Ciulli (S.) and Spearman (T. D.). — A stabilizing procedure	1 007		
for analytic continuation	L-887 L-217	El-Khodary (A.) and Bernier (P.). — Transient effects during the electrochemical doping of cis-(CH),: in situ	
Clerc (J. P.), Tremblay (AM. S.), Albinet (G.) and Mistecu	1 012	ESR study	L-551
(C. D.). — a.c. response of fractal networks Cohen de Lara (E.) and Kahn (R.). — Infrared experimental	L-913	Emery (J.), Hubert (S.) and Fayet (J. C.). — Large phase fluctuations near T_1 and phase pinning in incom-	
proof of the orientation of CH ₄ adsorbed in NaA		mensurate ThBr ₄ : Gd ³⁺ through E.S.R. measure-	
zeolite by means of the degeneracy splitting of the v_3 band, in the temperature range 200-20 K	L-255	ments	L-693
Coisson (R.). — Some possible effects modifying the far infrared synchrotron radiation spectrum	L-89	Schneck (J.) and Aubrée (J.). — Kinetic characteristics of the thermal hysteresis in an incommensurate system	L-329
Coisson (R.). — Voir Bosser (J.)	L-343	Escorne (M.), Mauger (A.), Ravot (D.) and Achard (J. C.). — Transport properties and crystal field energy in CeTe.	L-75
creation Collard (J. M.). — Voir Blaise (A.)	L-467 L-571	Fabbro (B.), Blons (J.), Greiner (A.), Hisleur (J. M.), Mazur	
Cooper (J.). — Voir Ribault (M.)	L-935	(C.), Patin (Y.), Paya (D.) and Ribrag (M.). — Obser-	
Couder (Y.). — Voir Rosencher (E.). Couder (Y.). — Two-dimensional grid turbulence in a thin	′ L-493	vation of new states in the third well of the ²³¹ Th	T D43
liquid film	L-353 L-393	fission barrier	L-843
Crampton (S. B.). — Voir Nacher (P. J.) Creuzet (F.). — Voir Bourbonnais (C.)	L-441 L-755	of 7CB Family (F.). — Voir Daoud (M.)	L-313 L-199
		,, (rat)	

Fauve (S.), Laroche (C.) and Libchaber (A.). — Horizontal		Guérard (D.). — Voir Loupias (G.)	E 201
magnetic field and the oscillatory instability onset	L-101	Guérard (D.). — Voir Rousseaux (F.)	L-301
Fayet (J. C.). — Voir Emery (J.)	L-693	Chilland (C.) Maitrat (M.)	L-1111
Feigel'man (M. V.) and Ioffe (L. B.). — Hierarchical nature	L-093	Guillaud (G.), Maitrot (M.), Mathis (C.), François (B.) et	
	Y 400 C	André (J. J.). — Effets des pièges sur la photoconduc-	
of spin glasses	L-475	tivité du polyacétylène partiellement isomérisé	L-265
Ferioli (G.). — Voir Bosser (J.)	L-343	Guillon (D.). — Voir Godquin-Giroud (A. M.)	L-681
Fert (A.). — Voir Campbell (I. A.)	L-565	Gurevich (V. L.). — Voir Galperin (Yu. M.)	L-747
Figueiredo Neto (A. M.). — Voir Liebert (L.)	L-173	Guyon (E.). — Voir Boucif (M.)	L-413
Figueiredo Neto (A. M.), Martinot-Lagarde (Ph.) and Du-		(174)	L-41.1
rand (G.). — Anisotropy induced director refraction			
inside inversion walls in nematic liquid crystals	L-793	Hagene (M.). — Voir Defrance (A.)	L-427
Figuière (P.), Szwarc (H.), Oguni (M.) and Suga (H.).	L-175	Hansen (J. P.). — Voir Victor (J. M.)	L-307
Crystalline thiophene - Calorimetric evidence for a		Hardouin (F.), Achard (M. F.), Sigaud (G.) and Gasparoux	L-307
	1 11/5	(II) Description (IV. F.), Signatu (G.) and Gasparoux	
glassy crystalline state in both phase sequences	L-1167	(H.). — Does nematic order depend on diamagne-	
Fischer (F.) and Grupp (J.). — Torques from capillary		tism?	L-143
cholesteric flow between coaxial cylinders	L-1091	Hardouin (F.). — Voir Benguigui (L.)	L-179
Fischer (A.), Lösche (M.), Möhwald (H.) and Sackmann		Hardouin (F.). — Voir Godquin-Giroud (A. M.)	L-387
(E.). — On the nature of the lipid monolayer phase		Hecht (AM.), Bohidar (H. B.) and Geissler (E.). — Obser-	
transition	L-785	vation of scaling in semi-dilute theta solutions using	
Forrester (P. J.) and Jancovici (B.). — Generalized plasmas	2 700	dynamic light scattering	L-121
	1 502	Hennecart (D.). — Voir Buchet (J. P.)	L-361
and the anomalous quantum Hall effect	L-583	Hennion (B.) and Schott (M.). — Transverse acoustic pho-	2 301
Forró (L.), Bouffard (S.) and Pouget (J. P.). — X-ray diffuse		nons in germanium near the melting point	1 421
scattering study of 2 k_F and 4 k_F anomalies in strongly			L-621
irradiated TTF-TCNQ	L-543	Héritier (M.), Montambaux (G.) and Lederer (P.). — Stabi-	
Fournier (J. D.). — Voir Bessis (D.)	L-833	lity of the spin density wave phases in (TMTSF) ₂ ClO ₄ :	Y 0.15
Fournier (J. M.). — Voir Blaise (A.)	L-571	quantized nesting effect	L-943
François (B.). — Voir Guillaud (G.)	L-265	Héritier (M.). — Voir Montambaux (G.)	L-533
Frid (N.). — Voir Kapitulnik (A.)	L-401	Hinov (H. P.). — Behaviour of a Sm C disclination line	
Fried (A.). — Voir Palevski (A.)	L-367	s = + 1/2 with a partial twist under a magnetic field.	L-185
Frischkorn (H. J.). — Voir Schader (J.)	L-249	Hisleur (J. M.). — Voir Fabbro (B.)	L-843
Thomas (IX Oc)	L 217	Hofmann (D.). — Voir Schader (J.)	L-249
		Hong (K. M.). — Voir Noolandi (J.)	L-149
Gabay (M.) and Garel (T.). — Properties of the branched		Honorat (P.), Roux (D.) and Bellocq (A. M.). — Light	
state of an Ising dipolar magnet	L-989	scattering study of the critical behaviour in a ternary	
Gaffiot (F.), Chante (J. P.) and Le Helley (M.). — Using		micro-emulsion system	L-96i
SPICE for the modelization of the static behaviour		Horyn (R.). — Voir Genicon (J. L.)	
of the insulated gate transistor	L-907		L-1175
Galina (H.) Eigenvalue spectra for Gaussian semi-		Hubert (S.). — Voir Emery (J.)	L-693
linear polymer graphs	L-1077	Husson (X.). — Voir Buchet (J. P.)	L-361
Gallois (B.). — Voir Laversanne (R.)	L-393		
Galperin (Yu. M.), Gurevich (V. L.) and Parshin (D. A.).	12 375	Ioffe (L. B.). — Voir Feigel'man (M. V.)	L-475
Nonlinear relaxational ultrasonic absorption in metal-		Iyer (R. M.). — Voir Yakhmi (J. V.)	L-781
	L-747	lyer (R. W.). — Von Takinin (J. V.)	L-701
lic glasses			
Garel (T.). — Voir Gabay (M.)	L-989	(6) 115 4 (6) 51	
Garrabos (Y.). — Voir Bagnuls (C.)	L-127	Jaffrain (M.), Lacrampe (G.) et Martin (G.). — Polymor-	
Gasparoux (H.). — Voir Hardouin (F.)	L-143	phisme du 4-cyano-4'-nonylbiphényl : étude par	
Gavand (M.). — Voir Mayet (L.)	L-873	diffusion Raman de la région des vibrations de	
Geissler (E.). — Voir Hecht (AM.)	L-121	valence v _{CH} de la chaîne aliphatique	L-1103
Genicon (J. L.), Modon Danon (J. P.), Tournier (R.), Peña		Jamet (J. P.). — Voir Lederer (P.)	L-627
(O.), Horyn (R.) and Sergent (M.). — Percolation		Jancovici (B.). — Voir Forrester (P. J.)	L-583
of superconducting « walls » in the ferromagnet		Jannink (G.). — Voir Daoud (M.)	L-199,
HoMo ₆ S ₈	L-1175	Jérome (D.). — Voir Bourbonnais (C.)	L-755
Giannoni (M. J.). — Voir Bohigas (O.)	L-1015		
Godquin-Giroud (A. M.), Sigaud (G.), Achard (M. F.) and		Jérome (1).) Voit Ribault (M.)	1,-933
1		Jérome (D.). — Voir Ribault (M.)	L-935
		Jullien (R.), Kolb (M.) and Botet (R.). — Aggregation by	
Hardouin (F.). — Hexagonal columnar mesophase	•	Jullien (R.), Kolb (M.) and Botet (R.). — Aggregation by kinetic clustering of clusters in dimensions $d > 2$	L-211
Hardouin (F.). — Hexagonal columnar mesophase D_h in a new organometallic disk-like compound	L-387	Jullien (R.), Kolb (M.) and Botet (R.). — Aggregation by kinetic clustering of clusters in dimensions $d > 2$ Jullien (R.). — Voir Ball (R. C.)	L-211 L-1031
Hardouin (F.). — Hexagonal columnar mesophase D_h in a new organometallic disk-like compound Godquin-Giroud (A. M.), Marchon (J. C.), Guillon (D.) and	•	Jullien (R.), Kolb (M.) and Botet (R.). — Aggregation by kinetic clustering of clusters in dimensions $d > 2$	L-211
Hardouin (F.). — Hexagonal columnar mesophase D _h in a new organometallic disk-like compound Godquin-Giroud (A. M.), Marchon (J. C.), Guillon (D.) and Skoulios (A.). — Discotic mesophase of copper(II)	L-387	Jullien (R.), Kolb (M.) and Botet (R.). — Aggregation by kinetic clustering of clusters in dimensions $d > 2$ Jullien (R.). — Voir Ball (R. C.)	L-211 L-1031
Hardouin (F.). — Hexagonal columnar mesophase Dh in a new organometallic disk-like compound Godquin-Giroud (A. M.), Marchon (J. C.), Guillon (D.) and Skoulios (A.). — Discotic mesophase of copper(II) laurate	L-387	Jullien (R.), Kolb (M.) and Botet (R.). — Aggregation by kinetic clustering of clusters in dimensions $d > 2$ Jullien (R.). — Voir Ball (R. C.) Jullien (R.). — Voir Kolb (M.)	L-211 L-1031 L-977
Hardouin (F.). — Hexagonal columnar mesophase Dh in a new organometallic disk-like compound Godquin-Giroud (A. M.), Marchon (J. C.), Guillon (D.) and Skoulios (A.). — Discotic mesophase of copper(II) laurate	L-387 L-681 L-1053	Jullien (R.), Kolb (M.) and Botet (R.). — Aggregation by kinetic clustering of clusters in dimensions $d > 2$ Jullien (R.). — Voir Ball (R. C.). Jullien (R.). — Voir Kolb (M.) Kahn (R.). — Voir Cohen de Lara (E.)	L-211 L-1031
Hardouin (F.). — Hexagonal columnar mesophase D _h in a new organometallic disk-like compound Godquin-Giroud (A. M.), Marchon (J. C.), Guillon (D.) and Skoulios (A.). — Discotic mesophase of copper(II) laurate Goodby (J. W.). — Voir Budai (J.)	L-387	Jullien (R.), Kolb (M.) and Botet (R.). — Aggregation by kinetic clustering of clusters in dimensions $d > 2$ Jullien (R.). — Voir Ball (R. C.) Jullien (R.). — Voir Kolb (M.) Kahn (R.). — Voir Cohen de Lara (E.) Kantor (Y.) and Witten (T. A.). — Mechanical stability of	L-211 L-1031 L-977
Hardouin (F.). — Hexagonal columnar mesophase D _h in a new organometallic disk-like compound Godquin-Giroud (A. M.), Marchon (J. C.), Guillon (D.) and Skoulios (A.). — Discotic mesophase of copper(II) laurate Goodby (J. W.). — Voir Budai (J.)	L-387 L-681 L-1053	Jullien (R.), Kolb (M.) and Botet (R.). — Aggregation by kinetic clustering of clusters in dimensions $d > 2$ Jullien (R.). — Voir Ball (R. C.) Jullien (R.). — Voir Kolb (M.) Kahn (R.). — Voir Cohen de Lara (E.) Kantor (Y.) and Witten (T. A.). — Mechanical stability of tenuous objects	L-211 L-1031 L-977 L-255 L-675
Hardouin (F.). — Hexagonal columnar mesophase D _h in a new organometallic disk-like compound Godquin-Giroud (A. M.), Marchon (J. C.), Guillon (D.) and Skoulios (A.). — Discotic mesophase of copper(II) laurate Goodby (J. W.). — Voir Budai (J.)	L-387 L-681 L-1053 L-781	Jullien (R.), Kolb (M.) and Botet (R.). — Aggregation by kinetic clustering of clusters in dimensions $d > 2$ Jullien (R.). — Voir Ball (R. C.) Jullien (R.). — Voir Kolb (M.) Kahn (R.). — Voir Cohen de Lara (E.) Kantor (Y.) and Witten (T. A.). — Mechanical stability of tenuous objects Kapitulnik (A.). — Voir Palevski (A.)	L-211 L-1031 L-977
Hardouin (F.). — Hexagonal columnar mesophase D _h in a new organometallic disk-like compound Godquin-Giroud (A. M.), Marchon (J. C.), Guillon (D.) and Skoulios (A.). — Discotic mesophase of copper(II) laurate	L-387 L-681 L-1053	Jullien (R.), Kolb (M.) and Botet (R.). — Aggregation by kinetic clustering of clusters in dimensions $d > 2$ Jullien (R.). — Voir Ball (R. C.) Jullien (R.). — Voir Kolb (M.) Kahn (R.). — Voir Cohen de Lara (E.) Kantor (Y.) and Witten (T. A.). — Mechanical stability of tenuous objects Kapitulnik (A.). — Voir Palevski (A.) Kapitulnik (A.), Frid (N.) and Deutscher (G.). — Fluctu-	L-211 L-1031 L-977 L-255 L-675 L-367
Hardouin (F.). — Hexagonal columnar mesophase D _h in a new organometallic disk-like compound Godquin-Giroud (A. M.), Marchon (J. C.), Guillon (D.) and Skoulios (A.). — Discotic mesophase of copper(II) laurate	L-387 L-681 L-1053 L-781	Jullien (R.), Kolb (M.) and Botet (R.). — Aggregation by kinetic clustering of clusters in dimensions $d > 2$ Jullien (R.). — Voir Ball (R. C.) Jullien (R.). — Voir Kolb (M.) Kahn (R.). — Voir Cohen de Lara (E.) Kantor (Y.) and Witten (T. A.). — Mechanical stability of tenuous objects Kapitulnik (A.). — Voir Palevski (A.) Kapitulnik (A.), Frid (N.) and Deutscher (G.). — Fluctuations of the mass of the infinite cluster at percolation.	L-211 L-1031 L-977 L-255 L-675 L-367 L-401
Hardouin (F.). — Hexagonal columnar mesophase Dh in a new organometallic disk-like compound Godquin-Giroud (A. M.), Marchon (J. C.), Guillon (D.) and Skoulios (A.). — Discotic mesophase of copper(II) laurate	L-387 L-681 L-1053 L-781 L-433	Jullien (R.), Kolb (M.) and Botet (R.). — Aggregation by kinetic clustering of clusters in dimensions $d > 2$ Jullien (R.). — Voir Ball (R. C.). Jullien (R.). — Voir Kolb (M.). Kahn (R.). — Voir Cohen de Lara (E.) Kantor (Y.) and Witten (T. A.). — Mechanical stability of tenuous objects Kapitulnik (A.). — Voir Palevski (A.). Kapitulnik (A.), Frid (N.) and Deutscher (G.). — Fluctuations of the mass of the infinite cluster at percolation. Katmor (D.). — Voir Benguigui (L.).	L-211 L-1031 L-977 L-255 L-675 L-367
Hardouin (F.). — Hexagonal columnar mesophase D _h in a new organometallic disk-like compound Godquin-Giroud (A. M.), Marchon (J. C.), Guillon (D.) and Skoulios (A.). — Discotic mesophase of copper(II) laurate Goodby (J. W.). — Voir Budai (J.)	L-387 L-681 L-1053 L-781 L-433 L-361	Jullien (R.), Kolb (M.) and Botet (R.). — Aggregation by kinetic clustering of clusters in dimensions $d > 2$ Jullien (R.). — Voir Ball (R. C.). Jullien (R.). — Voir Kolb (M.). Kahn (R.). — Voir Cohen de Lara (E.) Kantor (Y.) and Witten (T. A.). — Mechanical stability of tenuous objects Kapitulnik (A.). — Voir Palevski (A.). Kapitulnik (A.), Frid (N.) and Deutscher (G.). — Fluctuations of the mass of the infinite cluster at percolation. Katmor (D.). — Voir Benguigui (L.) Kekicheff (P.), Cabane (B.) and Rawiso (M.). — Structural	L-211 L-1031 L-977 L-255 L-675 L-367 L-401
Hardouin (F.). — Hexagonal columnar mesophase D _h in a new organometallic disk-like compound	L-387 L-681 L-1053 L-781 L-433 L-361	Jullien (R.), Kolb (M.) and Botet (R.). — Aggregation by kinetic clustering of clusters in dimensions $d > 2$ Jullien (R.). — Voir Ball (R. C.). Jullien (R.). — Voir Kolb (M.) Kahn (R.). — Voir Cohen de Lara (E.) Kantor (Y.) and Witten (T. A.). — Mechanical stability of tenuous objects. Kapitulnik (A.). — Voir Palevski (A.). Kapitulnik (A.), Frid (N.) and Deutscher (G.). — Fluctuations of the mass of the infinite cluster at percolation. Katmor (D.). — Voir Benguigui (L.) Kekicheff (P.), Cabane (B.) and Rawiso (M.). — Structural defects of a lamellar lyotropic mesophase: a neutron	L-211 L-1031 L-977 L-255 L-675 L-367 L-401 L-983
Hardouin (F.). — Hexagonal columnar mesophase D _h in a new organometallic disk-like compound Godquin-Giroud (A. M.), Marchon (J. C.), Guillon (D.) and Skoulios (A.). — Discotic mesophase of copper(II) laurate Goodby (J. W.). — Voir Budai (J.). Gopalakrishnan (I. K.). — Voir Yakhmi (J. V.) Gor'kov (L. P.) and Lebed' (A. G.). — On the stability of the quasi-onedimensional metallic phase in magnetic fields against the spin density wave formation Grandin (J. P.). — Voir Buchet (J. P.)	L-387 L-681 L-1053 L-781 L-433 L-361 L-843	Jullien (R.), Kolb (M.) and Botet (R.). — Aggregation by kinetic clustering of clusters in dimensions $d > 2$ Jullien (R.). — Voir Ball (R. C.). Jullien (R.). — Voir Kolb (M.) Kahn (R.). — Voir Cohen de Lara (E.) Kantor (Y.) and Witten (T. A.). — Mechanical stability of tenuous objects. Kapitulnik (A.). — Voir Palevski (A.). Kapitulnik (A.), Frid (N.) and Deutscher (G.). — Fluctuations of the mass of the infinite cluster at percolation. Katmor (D.). — Voir Benguigui (L.). Kekicheff (P.), Cabane (B.) and Rawiso (M.). — Structural defects of a lamellar lyotropic mesophase: a neutron scattering study.	L-211 L-1031 L-977 L-255 L-675 L-367 L-401
Hardouin (F.). — Hexagonal columnar mesophase Dh in a new organometallic disk-like compound Godquin-Giroud (A. M.), Marchon (J. C.), Guillon (D.) and Skoulios (A.). — Discotic mesophase of copper(II) laurate Goodby (J. W.). — Voir Budai (J.). Gopalakrishnan (I. K.). — Voir Yakhmi (J. V.) Gor'kov (L. P.) and Lebed' (A. G.). — On the stability of the quasi-onedimensional metallic phase in magnetic fields against the spin density wave formation Grandin (J. P.). — Voir Buchet (J. P.) Greiner (A.). — Voir Fabbro (B.) Grest (G. S.) and Webman (I.). — Vibration properties of a percolating cluster. Grimsditch (M.). — Voir Polian (A.)	L-387 L-681 L-1053 L-781 L-433 L-361 L-843 L-1155 L-1131	Jullien (R.), Kolb (M.) and Botet (R.). — Aggregation by kinetic clustering of clusters in dimensions $d > 2$ Jullien (R.). — Voir Ball (R. C.). Jullien (R.). — Voir Kolb (M.) Kahn (R.). — Voir Cohen de Lara (E.) Kantor (Y.) and Witten (T. A.). — Mechanical stability of tenuous objects. Kapitulnik (A.). — Voir Palevski (A.). Kapitulnik (A.), Frid (N.) and Deutscher (G.). — Fluctuations of the mass of the infinite cluster at percolation. Katmor (D.). — Voir Benguigui (L.). Kekicheff (P.), Cabane (B.) and Rawiso (M.). — Structural defects of a lamellar lyotropic mesophase: a neutron scattering study.	L-211 L-1031 L-977 L-255 L-675 L-367 L-401 L-983
Hardouin (F.). — Hexagonal columnar mesophase Dh in a new organometallic disk-like compound Godquin-Giroud (A. M.), Marchon (J. C.), Guillon (D.) and Skoulios (A.). — Discotic mesophase of copper(II) laurate Goodby (J. W.). — Voir Budai (J.) Gopalakrishnan (I. K.). — Voir Yakhmi (J. V.) Gor'kov (L. P.) and Lebed' (A. G.). — On the stability of the quasi-onedimensional metallic phase in magnetic fields against the spin density wave formation Grandin (J. P.). — Voir Buchet (J. P.) Greiner (A.). — Voir Fabbro (B.) Grest (G. S.) and Webman (I.). — Vibration properties of a percolating cluster. Grimsditch (M.). — Voir Polian (A.) Groeneveld (K. O.). — Voir Schader (J.)	L-387 L-681 L-1053 L-781 L-433 L-361 L-843 L-1155 L-1131 L-249	Jullien (R.), Kolb (M.) and Botet (R.). — Aggregation by kinetic clustering of clusters in dimensions $d > 2$ Jullien (R.). — Voir Ball (R. C.). Jullien (R.). — Voir Kolb (M.) Kahn (R.). — Voir Cohen de Lara (E.) Kantor (Y.) and Witten (T. A.). — Mechanical stability of tenuous objects. Kapitulnik (A.). — Voir Palevski (A.). Kapitulnik (A.), Frid (N.) and Deutscher (G.). — Fluctuations of the mass of the initial cluster at percolation. Katmor (D.). — Voir Benguigui (L.). Kekicheff (P.), Cabane (B.) and Rawiso (M.). — Structural defects of a lamellar lyotropic mesophase: a neutron scattering study Kim (M. W.), Peiffer (D. G.) and Pincus (P.). — Surface	L-211 L-1031 L-977 L-255 L-675 L-367 L-401 L-983
Hardouin (F.). — Hexagonal columnar mesophase Dh in a new organometallic disk-like compound Godquin-Giroud (A. M.), Marchon (J. C.), Guillon (D.) and Skoulios (A.). — Discotic mesophase of copper(II) laurate Goodby (J. W.). — Voir Budai (J.) Goralakrishnan (I. K.). — Voir Yakhmi (J. V.) Gor'kov (L. P.) and Lebed' (A. G.). — On the stability of the quasi-onedimensional metallic phase in magnetic fields against the spin density wave formation Grandin (J. P.). — Voir Buchet (J. P.) Greiner (A.). — Voir Fabbro (B.) Grest (G. S.) and Webman (I.). — Vibration properties of a percolating cluster Grimsditch (M.). — Voir Polian (A.) Groeneveld (K. O.). — Voir Schader (J.) Grupp (J.). — Voir Fischer (F.)	L-387 L-681 L-1053 L-781 L-433 L-361 L-843 L-1155 L-1131 L-249 L-1091	Jullien (R.), Kolb (M.) and Botet (R.). — Aggregation by kinetic clustering of clusters in dimensions $d > 2$ Jullien (R.). — Voir Ball (R. C.) Jullien (R.). — Voir Kolb (M.) Kahn (R.). — Voir Cohen de Lara (E.) Kantor (Y.) and Witten (T. A.). — Mechanical stability of tenuous objects Kapitulnik (A.). — Voir Palevski (A.) Kapitulnik (A.). — Voir Palevski (A.) Kapitulnik (A.). Frid (N.) and Deutscher (G.). — Fluctuations of the mass of the infinite cluster at percolation. Katmor (D.). — Voir Benguigui (L.) Kekicheff (P.), Cabane (B.) and Rawiso (M.). — Structural defects of a lamellar lyotropic mesophase: a neutron scattering study. Kim (M. W.), Peiffer (D. G.) and Pincus (P.). — Surface gelation	L-211 L-1031 L-977 L-255 L-675 L-367 L-401 L-983
Hardouin (F.). — Hexagonal columnar mesophase Dh in a new organometallic disk-like compound Godquin-Giroud (A. M.), Marchon (J. C.), Guillon (D.) and Skoulios (A.). — Discotic mesophase of copper(II) laurate Goodby (J. W.). — Voir Budai (J.) Gopalakrishnan (I. K.). — Voir Yakhmi (J. V.) Gor'kov (L. P.) and Lebed' (A. G.). — On the stability of the quasi-onedimensional metallic phase in magnetic fields against the spin density wave formation Grandin (J. P.). — Voir Buchet (J. P.) Greiner (A.). — Voir Fabbro (B.) Grest (G. S.) and Webman (I.). — Vibration properties of a percolating cluster. Grimsditch (M.). — Voir Polian (A.) Groeneveld (K. O.). — Voir Schader (J.)	L-387 L-681 L-1053 L-781 L-433 L-361 L-843 L-1155 L-1131 L-249	Jullien (R.), Kolb (M.) and Botet (R.). — Aggregation by kinetic clustering of clusters in dimensions $d > 2$ Jullien (R.). — Voir Ball (R. C.). Jullien (R.). — Voir Kolb (M.) Kahn (R.). — Voir Cohen de Lara (E.) Kantor (Y.) and Witten (T. A.). — Mechanical stability of tenuous objects. Kapitulnik (A.). — Voir Palevski (A.). Kapitulnik (A.), Frid (N.) and Deutscher (G.). — Fluctuations of the mass of the initial cluster at percolation. Katmor (D.). — Voir Benguigui (L.). Kekicheff (P.), Cabane (B.) and Rawiso (M.). — Structural defects of a lamellar lyotropic mesophase: a neutron scattering study Kim (M. W.), Peiffer (D. G.) and Pincus (P.). — Surface	L-211 L-1031 L-977 L-255 L-675 L-367 L-401 L-983

Klein (D. J.) and Seitz (W. A.). — Self-interacting self-		Liebert (L.) and Figueiredo Neto (A. M.). — Optical micro-	
avoiding walks on the Sierpinski gasket	L-241	scopic observation of depletion layers, in a calamitic	
Kleinert (H.). — Voir Ami (S.)	L-877	ferronematic lyomesophase	L-173
		Litzler (A.). — Voir Errandonéa (G.)	L-329
Kléman (M.). — Voir Oswald (P.)	L-319		
Kolb (M.) and Jullien (R.). — Chemically limited versus		Lösche (M.). — Voir Fischer (A.)	L-785
diffusion limited aggregation	L-977	Loupias (G.), Chomilier (J.) and Guérard (D.). — Lithium	
Kolb (M.). — Voir Jullien (R.)	L-211	intercalated graphite : experimental Compton profile	
Kondor (I.). — Voir de Dominicis (C.)	L-205	for stage one	L-301
Konov (V. I.). — Voir Ursu (I.)	L-737		
Koschar (P.). — Voir Schader (J.)	L-249		
Kosmas (M. K.). — On the second virial coefficients of two	22.7		
	T 000	Mackay (R. S.) and Tresser (C.). — Transition to chaos for	
different polymer chains	L-889	two-frequency systems	L-741
Kosmas (A. M.). — The average $\cos \theta$ approach to the theo-		Madhusudana (N. V.). — Voir Barbero (G.)	L-613
retical calculation of thermal energy ion-dipolar mole-		Mailly (D.). — Voir Ribault (M.)	L-935
cule reaction rate constant	L-1083	Maitrot (M.). — Voir Guillaud (G.)	L-265
Kövér (A.). — Voir Schader (J.)	L-249	Makhanchejev (B. I.). — Voir Starikov (V. I.)	L-11
Kutka (R.) and Trebin (HR.). — Semi-defects	L-1119		
ARGUMA (ALI) WITE A LODGE (AM AND)		Malicet (J.). — Voir Brion (J.)	L-57
		Manes (L.). — Voir Tabuteau (A.)	L-373
Lacrampe (G.). — Voir Jaffrain (M.)	L-1103	Mann (J.). — Voir Bosser (J.)	L-343
Lacroix (R.). — Voir Monteil (A.)	L-1097	Marchon (J. C.). — Voir Godquin-Giroud (A. M.)	L-681
Lagendijk (Ad), van Yperen (G. H.) and Walraven (J. T. M.).		Martin (S.). — Voir Buchet (J. P.)	L-361
— The boson character of spin-polarized atomic		Martin (G.). — Voir Jaffrain (M.)	L-1103
hydrogen demonstrated in magnetic relaxation	L-929	Martinot-Lagarde (Ph.). — Voir Figueiredo Neto (A. M.).	L-793
Lagrange (P.), — Voir Rousseaux (F.)	L-1111	Mathis (C.). — Voir Guillaud (G.)	L-265
	L-441	Mathis (C.), Provansal (M.) and Boyer (L.). — The	200
Laloë (F.). — Voir Nacher (P. J.)			
Langevin (D.). — Voir Abillon (O.)	L-223	Benard-Von Karman instability : an experimental	T 40.3
Langevin (M.). — Voir Bernas (M.)	L-851	study near the threshold	L-483
Larmagnac (J. P.). — Voir Carles (D.)	L-901	Mauger (A.). — Voir Escorne (M.)	L-75
Latz (R.). — Voir Schader (J.)	L-249	Mayet (L.), Gavand (M.), Dutartre (D.) et Laugier (A.).	
Laroche (C.). — Voir Fauve (S.)	L-101	Elaboration par épitaxie en phase liquide isotherme	
Laugier (A.). — Voir Mayet (L.)	L-873	de photopiles solaires performantes à hétérostructure	
Laurencin (G.). — Voir Cazaux (J.)	L-999	graduelle GaA1As/GaAs	L-873
	L ///	Maynard (R.). — Brownian motion in one-dimensional	20.0
Laversanne (R.), Coulon (C.), Gallois (B.), Pouget (J. P.)			L-81
and Moret (R.). — Structural and electrical properties		disordered systems	
of $(TMTTF)_2MF_6$ salts $(M = P, As, Sb)$. Rôle of the		Mazur (C.). — Voir Fabbro (B.)	L-843
anions	L-393	Méot (F.). — Voir Bosser (J.)	L-343
Lavorel (B.), Saint-Loup (R.), Pierre (G.) et Berger (H.).		Meunier (J.). — Voir Abillon (O.)	L-223
Observation de transitions de la molécule ²⁹ SiH ₄		Meuti (M.). — Voir Barbero (G.)	L-449
dans le spectre Raman stimulé de la bande v ₁ du		Mézard (M.). — Voir Vannimenus (J.)	L-1145
silane en abondance naturelle	L-295	Mézard (M.) and Parisi (G.). — Self-averaging correlation	
Lebed' (A. G.). — Voir Gor'kov (L. P.)	L-433	functions in the mean field theory of spin glasses	L-707
Lecler (D.). — Voir Buchet (J. P.)	L-361	Mihăilescu (I. N.). — Voir Ursu (I.)	L-737
Lederer (P.), Montambaux (G.), Jamet (J. P.) and Chauvin	13 301	Mihály (G.). — Voir Mutka (H.)	L-113
			L-113
(M.). — Theory of the memory effect in thiourea.	1 (27	Mihály (L.). — Voir Mutka (H.)	
Defect density waves in modulated systems	L-627	Mills (P.). — Voir Bitbol (M.)	L-775
Lederer (P.). — Voir Héritier (M.)	L-943	Mitescu (C. D.). — Voir Clerc (J. P.)	L-913
Lederer (P.). — Voir Montambaux (G.)	L-533	Modon Danon (J. P.). — Voir Genicon (J. L.)	L-1175
Leduc (M.). — Voir Nacher (P. J.)	L-441	Möhwald (H.). — Voir Fischer (A.)	L-785
Le Floch (A.), Lenormand (J. M.), Le Naour (R.) et Taché		Montambaux (G.), Héritier (M.) and Lederer (P.). — Spin	
(J. P.). — Une géométrie critique des lasers contenant		effects in quasi-one-dimensional conductors under	
des effets de lentille. II. Commentaire à « sur la lon-		magnetic field	L-533
gueur critique d'un laser » par Stephan	L-291	Montambaux (G.). — Voir Héritier (M.)	L-943
Lefrançois (G.). — Voir Carles (D.)	L-901	Montambaux (G.). — Voir Lederer (P.)	L-627
Legait (B.) and de Gennes (P. G.). — Capillary rise between	L-701	Monteil (A.), Duval (E.), Attar (A.), Viliani (G.) and	L 027
closely spaced plates: effect of Van der Waals forces	1 647		
	L-647	Lacroix (R.). — Splitting of the ruby fluorescence	
Legrand (C.), Parneix (J. P.), Chapoton (A.), Nguyen Huu		under stress	
Tinh and Destrade (C.). — Dielectric relaxation in		Moradpour (A.). — Voir Bourbonnais (C.)	L-755
liquid crystals exhibiting a reentrant phenomenon	L-283	Moradpour (A.). — Voir Ribault (M.)	L-935
Le Helley (M.). — Voir Gaffiot (F.)	L-907	Moret (R.). — Voir Laversanne (R.)	L-393
Leibler (L.). — Voir Schosseler (F.)	L-501	Moret (R.). — Voir Rousseaux (F.)	L-1111
Leibler (S.) Voir Peliti (L.)	L-591	Moscicki (J. K.), Robin-Lherbier (B.), Canet (D.) and Aha-	
Lelaurain (M.). — Voir Rousseaux (F.)	L-1111	roni (S. M.). — DMR study of the magnetic field	
Le Naour (R.). — Voir Le Floch (A.)	L-291	orientation of the lyotropic-nematic phase of poly	
Lenormand (J. M.). — Voir Le Floch (A.)	L-291		L-379
Lerbet (F.) and Bellessa (G.). — Acoustic propagation at	22/1	(n-hexylisocyanate) solution in toluene-d ₈	L-3/5
		Mosseri (R.) and Sadoc (J. F.). — Hierarchical structure	Y 00
low temperature in an amorphous rare-earth alloy:	T 1046	of defects in non-crystalline sphere packings	L-827
single-ion activation process	L-1045	Mutka (H.), Bouffard (S.), Dumas (J.) and Schlenker (C.).	
Levelut (A. M.). — High resolution X-ray diffraction study		Pinning of charge density waves in irradiated blue	
of Smectic A-Smectic A phase transitions in a binary		bronzes K _{0.30} MoO ₃ and Rb _{0.30} MoO ₃	L-729
mixture of polar thermotropic liquid crystals	L-603	Mutka (H.), Bouffard (S.), Mihály (G.) and Mihály (L.). —	
		The state of the s	
Leygnac (C.). — Voir Bacri (JC.)	L-767	Charge density wave transport in irradiated	

Nacher (P. J.), Tastevin (G.), Leduc (M.), Crampton (S. B.)		Pottier (L.). — Voir Bouchiat (M. A.)	1 41
and Laloë (F.). — Spin rotation effects and spin		Pottier (L.). — Voir Bouchiat (M. A.).	L-61 L-523
waves in gaseous ³ He [†]	L-441	Pouget (J. P.). — Voir Forró (L.)	L-543
Nadal (J. P.). — Voir Derrida (B.)	L-701	Pouget (J. P.). — Voir Laversanne (R.)	L-393
Nanu (L.). — Voir Ursu (I.)	L-737	Pougheon (F.). — Voir Bernas (M.)	L-851
Nguyen Huu Tinh. — Voir Legrand (C.)	L-283	Prokhorov (A. M.). — Voir Ursu (I.)	L-737
Nistor (L. C.). — Voir Ursu (L)	L-737	Prost (J.). — Voir Richetti (P.)	L-1137
lation function of a reptating chain	L-149	Program (Ph.) Program depart d	L-483
The state of the s	D-14)	Pruzan (Ph.). — Pressure dependence of expansivity in the liquid hexane as a model for liquids	L-273
			L-213
		Quiniou (E.). — Voir Bernas (M.)	L-851
Odou (G.). — Voir Descamps (M.)	L-719		
Oguni (M.). — Voir Figuière (P.)	L-1167	Rammal (R.). — Noise excess on fractals and percolating	
Olivier (J.). — Voir Çazaux (J.)	L-999	Systems	L-1007
weakly localized regimes and scaling of the conducti-		Rappaport (M. L.). — Voir Palevski (A.) Ravot (D.). — Voir Escorne (M.)	L-367
vity	L-1167	Rawiso (M.). — Voir Kekicheff (P.)	L-75 L-813
Osipov (M. A.). — The order parameter dependence of the		Rebizant (J.). — Voir Tabuteau (A.)	L-373
flexoelectric coefficients in nematic liquid crystals	L-823	Renard (J. P.). — Voir Beauvillain (P.)	L-665
Oswald (P.). — Fluage en compression d'un smectique B.	L-1037	Ribault (M.), Cooper (J.), Jérome (D.), Mailly (D.),	
Oswald (P.) and Kléman (M.). — Experimental evidence for helical instability of screw dislocation lines in a		Moradpour (A.) and Bechgaard (K.). — Quantum Hall effect and Fermi surface instabilities in	
smectic A phase	L-319	(TMTSF) ₂ ClO ₄	L-935
•		Ribrag (M.). — Voir Fabbro (B.)	L-843
		Richetti (P.), Prost (J.) and Barois (P.) Two-dimen-	
		sional aggregation and crystallization of a colloidal	
Päetzold (O.). — Diffusion of pairs in random lattices	L-193	suspension of latex spheres	L-1137
Pagés (M.). — Voir Tabuteau (A.)	L-373	Rivarola (R. D.), Salin (A.) and Stockli (M. P.). — Differential electron-capture cross-sections in high energy	
Palevski (A.), Rappaport (M. L.), Kapitulnik (A.), Fried (A.) and Deutscher (G.). — Hall coefficient and conduction		ion-atom collisions : comparison of experiment and	
in a 2D percolation system	L-367	theory for the Thomas peak	L-259
Palierne (J. F.) and Durand (G.). — The Saint-Venant		Robin-Lherbier (B.). — Voir Moscicki (J. K.)	L-379
principle for columnar discotic liquid crystals	L-335	Rosencher (E.), Coppard (R.), Bois (D.) and Pfister (J. C.).	
Palleschi (V.). — Voir Faetti (S.)	L-313	— Dipolar relaxation effects in Al/SiO ₂ /Si structures	1 402
Papoular (M.). — Hypothèses sur la relaxation en surface de l'hydrogène polarisé	L-137	Rousseaux (F.), Moret (R.), Guérard (D.), Lagrange (P.)	L-493
Parga (N.), Parisi (G.) and Virasoro (M. A.). — A nume-	L-137	and Lelaurain (M.). — X-ray photographic study of	
rical investigation of the overlap distribution among		the phase transitions in KC ₂₄ single crystals	L-1111
pure states in the spin glass phase	L-1063	Roussel (P.). — Voir Bernas (M.)	L-851
Parisi (G.). — Voir Mézard (M.)	L-707	Roux (D.). — Voir Honorat (P.)	1961
Parisi (G.). — Voir Parga (N.)	L-1063	Rustichelli (F.). — Voir Tabuteau (A.)	L-373
Parneix (J. P.). — Voir Legrand (C.)	L-283 L-851	Sackmann (E.). — Voir Fischer (A.)	L-785
Parshin (D. A.). — Voir Galperin (Yu. M.)	L-747	Sadoc (J. F.). — Voir Mosseri (R.)	L-827
Pasemann (L.). — Some remarks on the review « quanti-		Safran (S. A.), Turkevich (L. A.) and Pincus (P.). — Cylin-	
tative evaluation of the EBIC contrast of dislocation »		drical microemulsions : a polymer-like phase ?	L-69
by C. Donolato	L-133	Saint-Loup (R.). — Voir Lavorel (B.)	L-295 L-259
Pasquerault (D.). — Voir Defrance (A.) Patin (Y.). — Voir Fabbro (B.)	L-427 L-843	Salin (D.). — Voir Bacri (JC.)	L-559
Paya (D.). — Voir Fabbro (B.)	L-843	Salin (D.). Voir Bacri (JC.)	L-767
Peiffer (D. G.). — Voir Kim (M. W.)	L-953	Salomon (Ch.), Chardonnet (Ch.), van Lerberghe (A.),	
Peliti (L.). — Some observations on kinetic walk models.	L-925	Bréant (Ch.) et Bordé (Ch. J.). — Première observa-	
Peliti (L.) and Leibler (S.). — A simple model describing	L-591	tion de la structure hyperfine magnétique dans le spectre infrarouge de l'ammoniac	L-1125
³ He- ⁴ He mixtures near a wall Peña (O.), — Voir Genicon (J. L.)	L-1175	Sauvajol (J. L.). — Voir Descamps (M.)	L-719
Perot (F.). — Voir Beysens (D.)	L-31	Savary (H.). — Voir Errandonéa (G.)	L-329
Petschek (R. G.), Pfeuty (P.) and Wheeler (J. C.). — Confi-		Schader (J.), Latz (R.), Burkhard (M.), Frischkorn (H. J.),	
guration of long chains in equilibrium with ring	L-1183	Hofmann (D.), Koschar (P.), Groeneveld (K. O.), Beré-	
Pfeuty (P.). — Voir Petschek (R. G.)	L-1183 L-493	nyi (D.), Kövér (A.) and Szabó (Gy.). — Target ionization and projectile electron loss in simple collision	
Pfister (J. C.). — Voir Rosencher (E.) Pick (R. M.). — Voir Depondt (Ph.)	L-493 L-685	systems	L-249
Piepenbring (R.). — On the structure of ²²⁵ Ra	L-1023	Schlenker (C.). — Voir Mutka (H.)	L-729
Pieranski (P.). — Voir Barbet-Massin (R.)	L-799	Schmit (C.). — Voir Bohigas (O.)	L-1015
Pierre (G.). — Voir Lavorel (B.)	L-295	Schneck (J.). — Voir Errandonéa (G.)	L-329
Pincus (P.). — Voir Kim (M. W.)	L-953	Schosseler (F.) and Leibler (L.). — An experimental study	L-501
Pincus (P.). — Voir Safran (S. A.)	L-69 L-1053	of gelation of chains	L-621
Pindak (R.), — Voir Budai (J.)	2 1000	Seiden (J.). — Phenomenological analysis of the singu-	
tation values : gradient terms	L-419	larities of the free energy near the freezing temperature	
Polian (A.) and Grimsditch (M.). — Elastic moduli of TiO ₂		of a spin glass in an applied field	L-807
un to 13 GPa	L-1131	Seitz (W. A.). — Voir Klein (D. J.)	L-241

Sergent (M.). — Voir Genicon (J. L.)	L-1175	Trakas (C.), — Voir Tabeling (P.)	L-159 L-1119
Shapir (Y.). — Long-time behaviour of particles diffusing in strongly disordered medium, revisited	L-895	Tremblay (AM. S.). — Voir Clerc (J. P.)	L-913
	L-983	Tresser (C.). — Voir Mackay (R. S.)	L-741
Shechter (H.). — Voir Benguigui (L.)	L-577	Trümper (M.). — Voir Stephan (G.)	L-653
Shnidman (Y.). — Voir Derrida (B.)	L-3//	Turkevich (L. A.). — Voir Safran (S. A.)	L-69
Siarry (P.) and Dreyfus (G.). — An application of physical		Tyuterev (Vl. G.). — Voir Starikov (V. L)	L-11
methods to the computer aided design of electronic circuits	L-39	Tyuterev (VL G.). — Von Stankov (V. L)	111
Sigaud (G.). — Voir Hardouin (F.)	L-143		
Sigaud (G.). — Voir Godquin-Giroud (A. M.)	L-387	Ursu (L), Nanu (L.), Mihăilescu (L. N.), Nistor (L. C.),	
Sinai (Ya. G.). — Voir Burkov (S. E.)	L-409	Teodorescu (V. S.), Prokhorov (A. M.), Konov (V. I.)	
Skoulios (A.). — Voir Godquin-Giroud (A. M.)	L-681	and Chapliev (N. I.). — On the theoretical description	
Sluckin (T. J.) and Chalker (J. T.). — Re-entrant wetting		of the early oxidation stages of copper by cw CO ₂	
transitions in molecular fluid mixtures	L-863	laser irradiation	L-737
Sourlas (N.). — Three-dimensional Ising spin-glasses and			
mean-field theory	L-969		
Spearman (T. D.). — Voir Ciulli (S.)	L-887	Van Lerberghe (A.). — Voir Salomon (Ch.)	L-1125
Starikov (V. I.), Makhanchejev (B. I.) and Tyuterev (VI. G.).	23 007	Van Yperen (G. H.). — Voir Lagendijk (Ad)	L-929
— Effect of bending vibration on rotation and centri-		Vannimenus (J.). — On intrinsic properties of fractal	
fugal distortion parameters of XY ₂ molecules. Appli-		lattices and percolation clusters	L-1071
cation to the water molecule	L-11	Vannimenus (J.) and Mézard (M.). — On the statistical	
	T-11	mechanics of optimization problems of the travelling	
Stephan (G.) and Trümper (M.). — Line shapes of a « sensi-	1 663	salesman type	L-1145
tive » laser	L-653	Vedel (F.). — Voir André (J.)	L-1
Stockli (M. P.). — Voir Rivarola (R. D.)	L-259	Victor (J. M.) and Hansen (J. P.). — « Liquid-gas » tran-	
Streit (T. S. J.). — N-orbital model for a two-dimensional		sition in charged colloidal dispersions	L-307
disordered system in a strong magnetic field	L-713	Viliani (G.). — Voir Monteil (A.)	L-1097
Strigazzi (A.). — Voir Barbero (G.)	L-857	Virasoro (M. A.). — Voir Parga (N.)	L-1063
Suga (H.). — Voir Figuière (P.)	L-1167		
Suzanne (J.). — Voir Benguigui (L.)	L-983		
Szwarc (H.). — Voir Figuière (P.)	L-1167	Westerier (I M) Voir Druen (C)	L-169
Swift (J.). — Voir Yu-Feng Sun	L-509	Wacrenier (J. M.). — Voir Druon (C.)	L-109
Szabó (Gy.). — Voir Schader (J.)	L-249		
		Webman (I.). — Voir Grest (G. S.)	L-1155
		Wesfreid (J. E.). — Voir Boucif (M.)	L-413
Tabeling (P.) et Trakas (C.). — Structures spiralées dans		Wheeler (J. C.). — Voir Petschek (R. G.)	L-1183
une instabilité de Taylor en présence de champ		Witten (T. A.). — Voir Kantor (Y.)	L-675
magnétique	L-159	Wojakowski (A.). — Voir Blaise (A.)	L-571
Tabuteau (A.), Pagés (M.), Boeuf (A.), Rebizant (J.),			
Manes (L.), Caciuffo (R.) and Rustichelli (F.). —			
Neutron diffraction study on U _{0.5} Np _{0.5} O ₂ at low		Yakhmi (J. V.), Gopalakrishnan (I. K.) and Iyer (R. M.). —	
temperatures	L-373	On the electrical resistivity of $Pt_3Fe_xMn_{1-x}$ alloys in	
Taché (J. P.). — Voir Le Floch (A.)	L-291	the exchange inversion region	L-781
Tastevin (G.). — Voir Nacher (P. J.)	L-441	Yu-Feng Sun and Swift (J.). — Dynamic properties near	
Taub (H.). — Voir Benguigui (L.)	L-983	the columnar-crystalline phase transition	L-509
Teboul (A.). — Voir André (J.)	L-1	*	
Teodorescu (V. S.). — Voir Ursu (I.)	L-737		
Tolédano (J. C.). — Voir Errandonéa (G.)	L-329	Zimmerer (G.). — Voir Coletti (F.)	L-467
Tournior (P) Voir Conicon (II)	I_1175	Zumofon (C) Voir Klofter (I)	T 40

REVUE DE PHYSIQUE APPLIQUÉE

Tome 19 — 1984

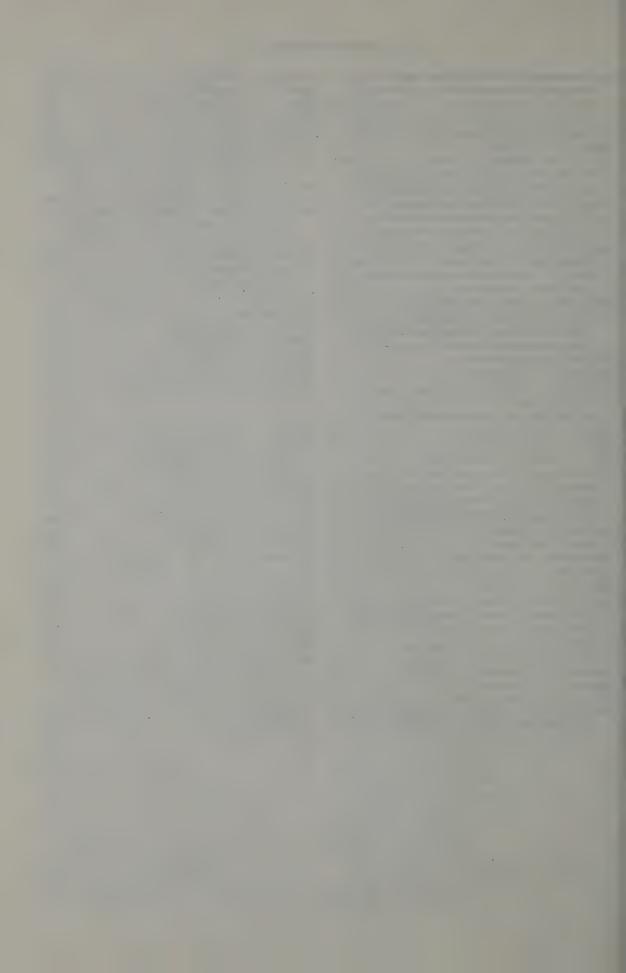
Abadie (M. J. M.). — Voir Rolland (M.)	187	Berthet-Colominas (C.), Bois (J. M.), Cuillel (M.), Sedita (J.) and Vachette (P.). — An apparatus for stopped-flow X-	
Magnétorhéomètre à bille	253	ray scattering	769
Adell (A.). — Réfrigération solaire à adsorption solide : choix		Beysens (D.) and Perrot (F.). — A simple and sensitive densi-	
du meilleur couple d'adsorption	1005	tometer for critical liquid mixtures	917
Ahsbahs (H.). — High pressure cell for use on four-circle	010	Bienfait (M.). — Voir Jourdan (C.)	941
diffractometers	819	Biotteau (B.). — Voir Mautref (M.).	333
Akamatsu (B.). — Voir Roussel (C.). Alabedra (R.). — Voir Orsal (B.).	231	Blavette (D.). — Voir Martin (C.).	27
Aldebert (P.). — Neutron and X-ray experiments at high	63	Blétry (J.), Tavernière (P.), Senillou (C.), Desré (P.), Maret	
temperature	649	(M.) and Chieux (P.). — High temperature furnaces for	
Alzetta (G.), Villa (G.) and Battaglia (S.). — Measurement of	0.47	small and large angle neutron scattering of disordered	725
magnetic susceptibilities of minerals and rocks by a sim-		materials Bloyet (D.). — Voir Monfort (Y.).	725 449
ple induction device	277	Boccara (A. C.). — Voir Fournier (D.).	59
Ambroise (J. P.), Bellissent-Funel (M. C.) and Bellissent (R.).		Boirat (R.) et Rousseau (M.). — Réseaux optiques de commu-	37
- Neutron scattering determination of local order in		nications: physique et architecture	81
amorphous and liquid systems using a position sensitive		Bois (J. M.). — Voir Berthet-Colominas (C.)	769
detector	731	Boisrobert (C.). — Voir Orsal (B.).	63
Amer (R.). — Voir Camy (G.)	635	Bonnefille (R.). — Voir Nabais (A.)	1
Arnoult (F.). — Voir Mautref (M.)	333	Bonnefille (R.). — Voir Lechat (D.)	395
Auge (J.), Pocholle (J. P.) et Raffy (J.). — Modes de caractéri-		Bonny (R.). — Voir Raisin (C.)	997
sation de fibres optiques unimodales	87	Bordure (G.). — Voir Charles (JP.)	851
Aulombard (R. L.). — Voir Kadri (A.)	215	Bos (F.). — Voir Gacoin (Ph.).	99
		Botineau (J.). — Voir Saissy (A.).	33
Bachheimer (J. P.). — Apparatus for continuous expansion		Bouillot (J.) and Torregrossa (J.). — A radial oscillating	799
measurement and uniaxial stress application during neu-		colimator for small position sensitive detectors Bourdessol (J. C.). — Voir Benhassine (M.).	545
tron diffraction experiments	739	Bousquet (C.). — Voir Kadri (A.)	215
Badoz (J.). — Voir Fournier (D.).	59	Boyard (B.), Fornier (A.), Pelletier (E.) et Richier (R.).	213
Baj (M.). — Voir Kadri (A.)	215	Problèmes posés par la réalisation des filtres interféren-	
Balestra (F.) et Brini (J.). — Simulation d'un transistor MOS		tiels utilisés dans les démultiplexeurs optiques	103
silicium-sur-isolant à désertion profonde avec contrôle		Bridoux (M.). — Voir Deffontaine (A.)	415
du potentiel arrière	921	Brini (J.). — Voir Balestra (F.).	921
Banon (L.). — Voir Drouet (G.).	245	Brunel (C.). — Voir Pecile (D.)	127
Baradel (C.). — Voir Magalhaes (J. L.).	39	Bruyère (J. C.). — Voir Chaussat (C.)	51
Barlaud (M.), De Fornel (B.), Gauvrit (M.) et Requier (J. P.).		Buras (B.). — Sample environment in experiments using X-	
— Commande optimale d'un système générateur pho-	005	ray synchrotron radiation	697
tovoltaïque — convertisseur statique — récepteur	905	Buras (B.), Lebech (B.) and Kofoed (W.). — A furnace for	5.40
Bartunik (H. D.). — Crystallographic investigation of transient states by time-resolved techniques using synchro-		diffraction studies using synchrotron X-ray radiation	743
tron radiation	671	Burlet (P.). — Voir Rossat-Mignot (J.)	783
Bastos (J. P.) et Quichaud (G.). — Modélisation tridimen-	0,1	Burov (J.). — Voir Tankovsky (N.)	631
sionnelle des feuilletages ferromagnétiques par éléments			
finis	139		
Battaglia (S.). — Voir Alzetta (G.)	277	Cabon-Till (B.). — Voir Cristoloveanu (S.)	933
Bedel (E.), Carles (R.), Landa (G.) et Renucci (J. B.). — Com-		Cadene (M.). — Voir Rolland (M.).	187
portement à deux modes de $Ga(x) In(1-x) P$? Dif-		Camy (G.), Amer (R.) et Courtier (N.). — Amélioration de la	
fusion Raman résonnante par les modes rendus actifs	4.5	sensibilité en spectroscopie de saturation hétérodyne	625
par le désordre	17	grâce à l'utilisation de plusieurs classes de vitesses Capilla (J.) and Sarrabayrouse (G.). — Conduction and	635
Bellarbi (L.). — Voir Mamouni (A.)	265	charge storage in Cr-thin SiO ₂ -pSi structures	343
Bellissent (R.). — Voir Ambroise (J. P.).	731 731	Carmona (R.), Farré (J.), Lecrosnier (D.), Richou (F.) and	545
Bellissent-Funel (M. C.). — Voir Ambroise (J. P.)	297	Simonne (J. J.). — The rôle of plasma oxide in InP MIS	
Belouet (C.). — Voir Goma (J.)	333	structures	155
Benhammou (K.). — Voir Fléchon (J.).	601	Carles (R.). — Voir Bedel (E.).	17
Benhassine (M.), Bourdessol (J. C.), Gauthereau (C.), Godiot		Chagnon (R.) Voir Zeyen (C. M. E.)	789
(J.). Matthieussent (G.) et Rauch (J. L.). — Obtention		Charles (JP.), Mekkaoui-Alaoui (I.), Bordure (G.) et Mialhe	
d'un plasma de forte densité $(5 \times 10^{11} \text{ cm}^{-3})$ dans une		(P.). — Etude comparative des modèles à une et deux	
décharge multipolaire de grande dimension	545	exponentielles en vue d'une simulation précise des pho-	0.54
Berneron (M.), Filhol (A.), Vernier (J. J.) and Thomas (M.).		topiles	851
A remote control eucentric goniometer head for use	707	Chartagnac (P.) et Jimenez (B.). — Description du canon à gaz DEMETER et des chaînes de mesures associées	609
within a top loading helium cryostat	795	DEMETER et des chames de mesures associées	2019

Chartier (J. L.), Pilorget (L.) et Le Bihan (R.). — Etude de la		Dulmet (B.). — Application d'une méthode de perturbation	
topographie du travail de sortie du silicium et de l'oxyde	027	à l'étude de résonateurs à quartz présentant des modes d'épaisseur à énergie piégée	839
de silicium	927	Dumas (J. M.). — Voir Le Mouellic (C.)	149
Chattopadhyay (T.), Werner (A.), von Schnering (H. G.) and Pannetier (J.). — Temperature and pressure induced		Dupuy (J. C.), Vilotitch (B.) et Sibai (A.). — Caractérisation	
phase transition in IV-VI compounds	807	de MOS par des techniques d'analyse de surface en	
Chatzipetros (J.). — Voir Elf (F.)	793	ultra-vide au cours de leur élaboration in situ	965
Chaussat (C.) et Bruyère (J. C.).—Le silicium amorphe hydro-		Dutartre (D.) and Gavand (M.). — L.P.E. growth rate in	
gène et ses applications à l'imagerie	51	Ga-As-Ge and Ga-As-Sn systems	21
Chauvineau (J. P.). — Voir Hölzl (J.)	361		
Chenevier (P.). — Voir Guillemot (N.)	987	Effantin (J. M.). — Voir Rossat-Mignot (J.).	783
Chenevier (P.). — Voir Jaouen (H.)	319	El Jani (B.), Grenet (J. C.), Leroux (M.), Guittard (M.) and	
Chieux (P.), — Voir Blétry (J.)	725	Gibart (P.). — Residual impurities in MO-VPE GaAs epitaxial layers	
Chouiyakh (A.) et Lang (B.). — Modifications des caractéristi-		El-Badawy (El-S. A.) and El-Halafawy (F. Z.). — On atmo-	
ques électriques de contacts métal-silicium par bom- bardement d'ions argon de faible énergie	971	spheric optical communications	879
Chovet (A.) et Cristoloveanu (S.). — Bases physiques et perfor-	7/1	Elf (F.), Will (G.), Chatzipetros (J.) and Dujka (B.). — Full-	
mances des nouveaux (micro)capteurs magnétiques à		circle Eulerian cradle for low-temperature neutron in-	
semiconducteurs	69	vestigations	793
Claudet (G.). — Voir Rossat-Mignot (J.)	783	El-Gamal (M.). — Voir Kassem (M. E.).	445
Clausen (K.), Hayes (W.), Hutchings (M. T.), MacDonald (J.		El-Halafawy (F. Z.). — Voir El-Badawy (El-S. A.)	879
E.), Osborn (R.) and Schnabel (P.). — Investigation of		El-Wahidy (E. F.). — Voir Kassem (M. E.)	445
oxygen disorder, thermal parameters, lattice vibrations		Ermolieff (A.). — Etude XPS de films minces de NbN: décapage, oxydation à l'air, et oxydation thermique	
and elastic constants in UO ₂ and ThO ₂ at temperatures up 2 930 K	719	entre 20 °C et 200 °C. Comparaison avec les films minces	
Clerc (M.). — Voir Rossat-Mignot (J.).	783	de Nb	979
Courtier (N.). — Voir Camy (G.).	635		
Cristoloveanu (S.), Cabon-Till (B.), Kang (K. N.), Gentil (P.)		Faber (J.). — Sample environments at IPNS: present and	
et Gautier (J.). — Vieillissement des transistors MOS		future capabilities	64.
submicroniques après contrainte électrique	933	Fages (C.). — Voir Mautref (M.).	331
Cristoloveanu (S.). — Voir Chovet (A.)	69	Farré (J.). — Voir Carmona (R.). Fauchais (P.). — Applications physico-chimiques des plas-	15:
Cristoloveanu (S.), Ghibaudo (G.) et Kamarinos (G.). — Le		mas d'arc	1013
matériau silicium sur saphir en France. Revue des pro-	161	Faucher (J.). — Voir Drouet (G.)	24:
priétés physico-chimiques et électriques	161 769	Faugeras (P.), Mimeur (M.) et Haux (D.). — La diffusion	
Cummings (S.). — Voir Neilson (G. W.).	803	optique	113
Cuozzo (F.), Olivieri (M.) et Monrolin (J. L.). — Modem	005	Faugières (J. C.). — Voir Nabais (A.).	
25 Mbit/s pour canaux non-linéaires : réalisation et		Favennec (P. N.), L'Haridon (H.), Salvi (M.) et Gauneau (M.).	
résultats expérimentaux	117	— Couches de haute résistivité dans InP obtenues par	10
		implantation ionique	19
		Favreau (C.). — Transmission d'une impulsion de tension dans une colonne d'eau	95
Damany (H.). — Voir Moutard (P.).	409	Filhol (A.). — Voir Berneron (M.).	79:
Da Silva (E.). — Voir Deffontaine (A.)	415	Flamand (J.). — Voir Gacoin (Ph.).	99
De Anda (F.). — Voir Joullié (A.)	223	Fléchon (J.), Machizaud (F.), Benhammou (K.) et Godmel (G.).	
and Hug (W.). — The third generation of multichannel		- Réfrigération solaire par photothermie. Premiers	
Raman spectrometers	415	résultats d'un appareil réel	60
De Fornel (B.). — Voir Barlaud (M.)	905	Fluhr (C.). — Voir Néel (F.).	13:
Delhaye (M.). — Voir Deffontaine (A.)	415	Fornier (A.). — Voir Boyard (B.).	103
Delsanti (M.). — Voir Adam (M.).	253	Fournier (D.), Boccara (A. C.), Lepoutre (F.) et Badoz (J.). — Photoacoustique, photothermique et télécommunica-	
Deroux-Dauphin (P.). — Voir Guillemot (N.).	987	tions	59
Desré (P.). — Voir Blétry (J.).	725	Freyland (W.), Hensel (F.) and Gläser (W.). — Apparatus	3
Dessaux (O.). — Voir Mutel (B.). Deval (JC.). — Le confort thermique en climat tempéré	461 513	for neutron diffraction measurements on fluid up to	
Disdier (F.). — Voir Rossat-Mignot (J.).	783	2 000 K and elevated pressures	74
Disdier (F.). — Voir Zeyen (C. M. E.).	789	Friedrich (H.). — Voir Guckelsberger (K.)	779
Draperi (A.) and Vettier (C.). — Uniaxial stress apparatus for		Furrer (A.). — Voir Stöckli (A.).	75
neutron scattering	823		
Driver (J.). — Voir Magnin (T.).	467	Gacoin (Ph.), Gautherin (J. Cl.), Bos (F.), Lepère (D.), Fla-	
Driver (J.). — Voir Magnin (T.).	483	mand (J.) et Laude (J. P.). — Un multiplexeur 3 voies à	
Drouet (G.), Faucher (J.) et Banon (L.). — Couple électro-		faibles pertes	99
mécanique des machines à réluctance Vernier excitées à commutation électronique	245	Galand (C.). — Voir Durand (A.)	12
Dujka (B.). — Voir Elf (F.)	245 793	Gastaldi (J.). — Voir Jourdan (C.). Gauneau (M.). — Voir Favennec (P. N.)	94:
Durand (A.) et Galand (C.). — Transmission simultanée de	175	Gauthereau (C.). — Voir Favennec (F. N.).	54:
voix et données	121	Gautherin (J. Cl.). — Voir Gacoin (Ph.).	99
Dudek (J. C.). — Surface plasma waves attenuation length at		Gautier (J.). — Voir Cristoloveanu (S.).	93:
IR frequencies. Determination of the conduction elec-		Gautreau (L.) et Septier (A.). — Stabilité de l'émission pho-	
tron scattering parameter at the metal-dielectric inter-	20=	toélectrique de couches minces d'argent recouvertes de	
face Dudek (J. C.). — Nouvelle méthode de calcul de l'impédance	287	césium oxydé	36
de surface d'un métal dans le domaine infrarouge	573	Gauvrit (M.). — Voir Barlaud (M.). Gavand (M.). — Voir Dutartre (D.)	90:
The state of the s	010	Chrane CVIII - VOI DURING UD.	

Geist (P.), Heisel (F.), Martz (A.) et Miéhé (J. A.). — Caméra		tion and development at the polysilicon-silicon interface	
à balayage de fente et métrologie picoseconde des impul-		during a cold technology simulation	941
sions de lasers fonctionnant à des taux de répétition éle-			741
vés	619	Kadri (A.), Baj (M.), Zitouni (K.), Aulombard (R. L.), Bous-	
Gentil (P.). — Voir Cristoloveanu (S.).	933	quet (C.), Robert (JL.) et Konczewicz (L.). — Propriétés	
Ghibaudo (G.). — Voir Cristoloveanu (S.)	161	de transport de l'antimoniure d'indium à densité de por-	
Gibart (P.). — Voir El Jani (B.)	7	teurs libres contrôlée par un niveau à relaxation de	215
Godiot (J.). Voir Benhassine (M.).	747 545	réseau Kamarinos (G.). — Voir Cristoloveanu (S.)	215
Godmel (G.). — Voir Fléchon (J.).	601	Kamarinos (G.). – Voir Jaouen (H.)	161 319
Goltzéne (A.), Prévot (B.) et Schwab (C.). — Diagnostics	001	Kandil (S. H.). Voir Kassem (M. E.)	445
spectroscopiques pour la caractérisation de semicon-		Kang (K. N.). Voir Cristoloveanu (S.)	933
ducteurs	593	Kassem (M. E.), Kandil (S. H.), El-Wahidy (E. F.) and El-	,,,,
Goma (J.), Oberlin (A.), Kerrand (E.) et Belouet (C.). —		Gamal (M.). — Thermal anomaly in sodium potassium	
Résistance du substrat de carbone au silicium fondu		sulfate crystals	445
dans le procédé RAD	297	Kerley (N. W.). — Voir Hilton (P. A.)	775
Gonchond (J. P.). — Voir Guillemot (N.)	987	Kerrand (E.). Voir Goma (J.)	297
Goudmand (P.). — Voir Mutel (B.). Goyet (G.). — Voir Salame (E.).	461	Koehler (W. C.). — Neutron scattering in magnetic fields	691
Gravil (B.). — Voir Rossat-Mignot (J.).	533 783	Konczewicz (L.). — Voir Kadri (A.).	743 215
Grenet (J. C.). — Voir El Jani (B.)	7 7	Kryuchkov (S. I.), Kudryavtsev (N. N.) and Novikov (S. S.).	213
Guckelsberger (K.), Friedrich (H.), Hennecke (H.), Matula	,	Radiation of vibrationally nonequilibrium carbon	
(S.), Mihlan (H. F.), Mugai (D.) and Scherm (R.). — Ope-		dioxide in the 12 to 19 µm region	555
ration and control of a dilution refrigerator for spin con-		Kubin (L. P.). — Voir Magnin (T.)	467
version measurements with neutrons	779	Kubin (L. P.). — Voir Magnin (T.).	483
Guillaume (J. C.). — Voir Marbeuf (A.)	311	Kudryavtsev (N. N.). — Voir Kryuchkov (S. I.).	555
Guillemot (N.), Chenevier (P.), Deroux-Dauphin (P.) et Gon-		Kuhs (W. F.). — Voir Heger (G.)	735
chond (J. P.). — Présentation et validation du program-		Labrunie (G.). — Quelle est la nature des problèmes posés en	
me OSIRIS de simulation bidimensionnelle des pro-	007	visualisation par écrans plats matriciels à cristaux	
cessus technologiques. Guillot (G.). — Voir Loualiche (S.)	987	liquides ?	107
Guittard (M.). — Voir El Jani (B.)	241 7	Lacroix (C.). — Voir Mautref (M.).	333
Guittaiu (171.). — Voii El Jani (D.)	,	Landa (G.). — Voir Bedel (E.)	17
Haux (D.). — Voir Faugeras (P.)	113	Lang (B.). — Voir Chouiyakh (A.)	971
Hayes (W.). — Voir Clausen (K.).	719	Langel (W.). — Inelastic neutron scattering of hydrogen	755
Heger (G.), Kuhs (W. F.) and Massing (S.). — A versatile high-		trapped in solid argon	755 409
temperature furnace for neutron four-circle diffractome-		Lassabatère (L.). — Voir Ismail (A.).	197
ters	735	Lassabatère (L.). — Voir Ismail (A.)	205
Heidemann (A.). — Voir Neumaier (K.)	773	Lassabatère (L.). — Voir Raisin (C.)	997
Heimlich (C.). — Voir Hölzl (J.).	361	Laude (J. P.). — Voir Gacoin (Ph.).	99
Heisel (F.). — Voir Geist (P.).	619	Laval (S.). — La bistabilité optique	77
Hennecke (H.). — Voir Guckelsberger (K.). Henoc (P.). — Voir Roussel (C.).	779 231	Lebech (B.). — Voir Buras (B.).	743
Hensel (F.). — Voir Freyland (W.).	747	Le Bihan (R.). — Voir Chartier (J. L.). Leblond (J.). — Voir Magalhaes (J. L.).	927 39
Hilton (P. A.) and Kerley (N. W.). — Fully portable, highly		Lechat (D.), Rialland (J. F.) et Bonnefille (R.). — Analyse des	37
flexible dilution refrigerator systems for neutron scatter-		pertes rotoriques dissipées dans les machines syn-	
ing	775	chrones associées à des convertisseurs statiques	395
Holzapfel (W. B.). — X-ray diffraction on solids under pres-		Lecrosnier (D.). — Voir Le Moellic (C.)	149
sure	705	Lecrosnier (D.). — Voir Carmona (R.)	155
Hölzl (J.), Heimlich (C.), Chauvineau (J. P.) et Pariset (C.).	361	Léger (J. M.). — High pressure X-ray diffraction of cerium	0.4 #
Mesure du travail de sortie du système Bi/Bi(0001) Hug (W.). — Voir Deffontaine (A.)	415	compounds in an improved diamond anvil cell	815
Hutchings (M. T.). — Voir Clausen (K.).	719	Leguerre (J. R.) et Leroy (M.). — Une étude comparative de dispositifs photovoltaïques multiples	889
		Le Mouellic (C.), Mottet (S.), Dumas (J. M.) et Lecros-	007
Ismail (A.), Palau (J. M.) et Lassabatère (L.). — Formation de		nier (D.). — Influence des défauts de surface sur le	
l'interface métal/InP et de diodes Schottky sur InP	205	comportement des MESFET GaAs	149
Ismail (A.), Palau (J. M.) et Lassabatère (L.). — Propriétés des		Lepère (D.). — Voir Gacoin (Ph.)	99
surfaces de GaAs (110) clivées induites par l'oxygène et		Lepinoux (J.). — Voir Magnin (T.).	467
la température — contribution aux caractéristiques des	197	Lepinoux (J.). — Voir Magnin (T.).	483
diodes Schottky Ivanov (D.). — Voir Tankovsky (N.).	631	Lepoutre (F.). — Voir Fournier (D.).	59 7
Trailor (D.). — VOII Talleursky (17.)	031	Leroux (M.). — Voir El Jani (B.) Le Rouzic (J.). — Voir Madigou (R.)	109
# 1 (/ m)	231	Leroy (M.). — Voir Leguerre (J. R.).	889
Jadot (J. P.). — Voir Roussel (C.). Jaouen (H.), Chenevier (P.), Kamarinos (G.) et Pananakakis	231	Leroy (Y.). — Voir Mamouni (A.)	265
(G.). — Recuit pulsé de semiconducteurs par hyper-		Lexcellent (Ch.). — Aspects thermodynamiques du compor-	
fréquences. Etude de la répartition de la puissance dans		tement en fluage biaxial de l'aluminium (99,5 % en	
l'échantillon	319	poids) à haute température	425
Jimenez (B.). — Voir Chartagnac (P.)	609	L'Haridon (H.). — Voir Favennec (P. N.).	191
Joullié (A.), De Anda (F.), Salsac (P.) et Mebarki (M.).		Lindner (P.) and Oberthür (R. C.). — Apparatus for the	
Diffusion du zinc dans GaAlSb et application à la photo-	222	investigation of liquid systems in a shear gradient by small angle neutron scattering (SANS)	759
détection infrarouge	223	Locatelli (M.). — Voir Rossat-Mignot (J.).	783
Jourdan (C.), Gastaldi (J.) and Bienfait (M.) Defect crea-		Docatem (111)	

Loualiche (S.), Rojo (P.), Guillot (G.) et Nouailhat (A.).		Nabais (A.), Faugières (J. C.), Rialland (J. F.) et Bonnefille	
Etude des centres à électrons créés par irradiation de	241	(R.). — Influence des contraintes de traction sur les pro-	Ι,
protons dans InP:n	241 533	priétés magnétiques de rubans amorphes MG 2605 Co. Néel (F.), Fluhr (C.) et Morel (C.). — Utilisation d'un système	1
Lucidatine (J.). — Voit Salaine (L.)	333	automatique de transcription du code sténotypique en	
MacDonald (J. E.). — Voir Clausen (K.)	719	français écrit, pour le sous-titrage des émissions de télé-	
Machizaud (F.). — Voir Fléchon (J.)	601	vision	133
Madigou (R.) et Le Rouzic (J.). — Le réseau local tout optique	109	Neilson (G. W.) and Cummings (S.). — Neutron diffraction	003
Magalhaes (J. L.), Leblond (J.), Roulleau (M.) et Baradel (C.). — Etude d'un liquide en écoulement par diffusion Bril-		studies of water and aqueous solutions under pressure.	803
	39	Neumaier (K.). — Sample environment at low temperatures. Neumaier (K.), Heidemann (A.) and Magerl (A.). — A dilu-	677
louin	773	tion refrigerator insert for standard ILL cryostats	773
Magnin (T.), Driver (J.), Lepinoux (J.) et Kubin (L. P.).		Nouailhat (A.). — Voir Loualiche (S.)	241
Aspects microstructuraux de la déformation cyclique dans les métaux et alliages C.C. et C.F.C. I. — Consoli-		Novikov (S. S.). — Voir Kryuchkov (S. I.)	555
dation cyclique	467		
Magnin (T.), Driver (J.), Lepinoux (J.) et Kubin (L. P.).	.0,	Oberlin (A.). — Voir Goma (J.).	297
Aspects microstructuraux de la déformation cyclique		Oberthür (R. C.). — Small angle neutron scattering (SANS) under non-equilibrium conditions	663
dans les métaux et alliages C.C. et C.F.C. II. — Satura-		Oberthür (R. C.). — Voir Lindner (P.).	759
tion cyclique et localisation de la déformation	483	Oberthür (R. C.). — Voir Rennie (A. R.)	765
Maille (C.), — Voir Orsal (B.)	63	Olivier (J.). — Voir Rossat-Mignot (J.)	783
(L.). — Principes de la thermographie microonde par		Olivieri (M.). — Voir Cuozzo (F.)	117
corrélation	265	Orsal (B.), Alabedra (R.), Maille (C.), Boisrobert (C.), Mor-	
Marbeuf (A.) et Guillaume (J. C.). — Thermodynamic ana-	244	van (D.), Meslage (J.) et Pichard (G.). — Caractérisation en bruit des photodiodes P.I.N. $Hg_{1-x}Cd_xTe$ à	
lysis of the short-range clustering in III V solid solutions Maret (M.). — Voir Blétry (J.)	311 725	$\lambda = 1.3 \mu \text{m}$	63
Mariot (JP.). — Mechanics of cycling.	349	Osborn (R.). — Voir Clausen (K.)	719
Martin (C.), Blavette (D.) et Sarrau (J. M.). — Performances		Ostrowsky (D.). — Voir Saissy (A.)	33
d'une sonde atomique à temps de vol	27	To 1 (Y BW) X7 - 1 Year-11 (A)	107
Martz (A.) Voir Geist (P.).	619	Palau (J. M.). — Voir Ismail (A.). Palau (J. M.). Voir Ismail (A.).	197 205
Massing (S.). — Voir Heger (G.). Matthieussent (G.). — Voir Benhassine (M.).	735 545	Pananakakis (G.). — Voir Jaouen (H.).	319
Matula (S.). — Voir Guckelsberger (K.).	779	Paniez (P.). — Voir Schiltz (A.):	431
Mautref (M.), Lacroix (C.), Belouet (C.), Fages (C.), Biotteau		Paniez (P.). — Voir Schiltz (A.)	439
(B.) et Arnoult (F.). — Passivation par l'hydrogène de		Pannetier (J.). — Voir Chattopadhyay (T.)	807
défauts recombinants dans les photopiles réalisées sur		Papoular (R. J.). — Voir Millet (R.)	
rubans de silicium polycristallin RAD	333 715	Pariset (C.). — Voir Hölzl (J.). Pascal (D.). — Voir Monfort (Y.).	361 449
McWhan (D. B.). — Neutron scattering at high pressure	223	Pasquetti (R.). — Détermination numérique de la distribution	447
Mekkaoui-Alaoui (I.). — Voir Charles (JP.).	851	des concentrations ponctuelles au foyer des concentra-	
Menn (R.). — Voir Pecile (D.)	127	teurs à facettes	455
Meslage (J.). — Voir Orsal (B.).	63	Pecile (D.), Menn (R.), Tueta (R.) et Brunel (C.). — Adressage	
Meyer (R.). — Voir Adam (M.)	253	d'écrans matriciels électroluminescents	127 103
Mialhe (P.). — Voir Charles (JP.). Miehé (J. A.). — Voir Geist (P.).	851 619	Pelletier (E.). — Voir Bovard (B.). Perrot (F.). — Voir Beysens (D.).	917
Mihlan (H. F.). — Voir Guckelsberger (K.).	779	Pichard (G.). — Voir Orsal (B.).	63
Millet (R.) and Papoular (R. J.). — A hydrostatic high-pres-		Pieransky (P.). — Voir Adam (M.).	253
sure cell for neutron scattering experiments at room		Pilorget (L.). — Voir Chartier (J. L.).	
temperature	827	Pocholle (J. P.). — Voir Auge (J.).	87
Mimeur (M.). — Voir Faugeras (P.)	113	Prévot (B.). — Voir Goltzéne (A.)	593
Transformations métallurgiques accompagnant le		Quichaud (G.). — Voir Bastos (J. P.)	139
réglage du courant critique de microponts de Dayem en		Quichaud (G.). — Voir Salame (E.).	533
film de niobium	449		
Monrolin (J. L.). — Voir Cuozzo (F.).	117	Raffy (J.). — Voir Auge (J.)	87
Montalan (D.). — Voir Segui (Y.).	325	Raisin (C.), Vieujot-Testemale (E.), Bonny (R.) et Lassaba-	
Morel (C.). — Voir Néel (F.). Moret (B.). — Voir Segui (Y.).	133 325	tère (L.). — Etudes des propriétés électriques et physico-	
Morin (H.). — Voir Zeyen (C. M. E.).	789	chimiques des couches minces de SiO ₂ en cours de croissance	997
Morvan (D.). — Voir Orsal (B.)	63	Rauch (J. L.). — Voir Benhassine (M.).	545
Mottet (S.). — Voir Le Mouellic (C.)	149	Regnault (L. P.). — Voir Rossat-Mignot (J.).	783
Moulessehoul (S. M.) et Septier (A.). — Contribution des		Rennie (A. R.) and Oberthür (R. C.). — Small angle neutron	
plasmons de surface au rayonnement lumineux émis par des jonctions tunnel MIM réalisées sur réseaux		scattering on periodically deformed polymers	765
holographiques	503	Renucci (J. B.). — Voir Bedel (E.).	17
Moutard (P.), Laporte (P.) et Damany (H.). — Etude des		Requier (J. P.). — Voir Barlaud (M.). Rialland (J. F.). — Voir Nabais (A.).	905
propriétés d'un détecteur à galettes de microcanaux		Rialland (J. F.). — Voir Lechat (D.)	395
équipé d'une photocathode à iodure de césium	409	Richard (M.) et Roux (P.). — Utilisation des DEL et photo-	
Mugai (D.). — Voir Guckelsberger (K.). Mutel (B.), Dessaux (O.) and Goudmand (P.). — Energy	779	diodes PIN pour la transmission haute qualité de	
cost improvement of the nitrogen oxides synthesis in a		signaux TV par fibre optique	95
low pressure plasma	461	Richier (R.). — Voir Bovard (B.). Richou (F.). — Voir Carmona (R.).	103 155
		- (-), ou cultiona (It),	133

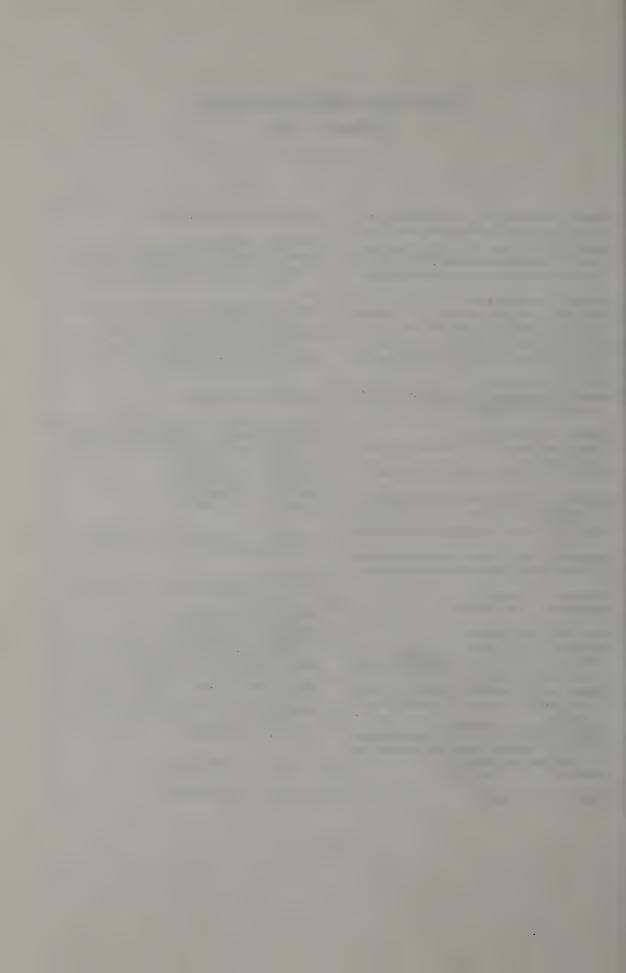
Rigaud (D.), Sodini (D.), Touboul (A.) et Torbati (K.). — Etude de la capacité de stockage maxima dans un dispositif à		Senillou (C.). — Voir Blétry (J.). Septier (A.). — Voir Gautreau (L.).	725 367
transfert de charges en volume	945	Septier (A.). — Voir Moulessehoul (S. M.)	503
Rioux (C.). — Voir Salame (E.)	533	Sibai (A.). — Voir Dupuy (J. C.)	965
Robert (J. B.) and Wiesenfeld (L.). — Magnetic field profiling		Simonne (J. J.). — Voir Carmona (R.)	155
for low temperature H\$\psi\$ confinement	281	Sodini (D.). — Voir Rigaud (D.).	945
Robert (JL.). — Voir Kadri (A.)	215	Stöckli (A.) and Furrer (A.). — Light irradiation of matter	743
Rojo (P.). — Voir Loualiche (S.)	241	in neutron scattering experiments	751
Rolland (M.), Abadie (M. J. M.) and Cadene (M.). — Growth		m near outletting experiments	101
and morphology of undoped and doped polyacetylene		TO 3 3 (97) W (TO) 1 - (-)	
thin films	187	Tankovsky (N.), Ivanov (D.) and Burov (J.). — Surface thermo-	
Romanov (O. V.). — Nature cristallo-physico-chimique de		elastic deformations caused by a laser	631
l'interface entre un semiconducteur et son oxyde propre.		Ta Van (T.). — Paramètres de plasma de la colonne positive	
I. — Etudes expérimentales des semiconducteurs des		des lasers hélium-vapeurs métalliques. I. Formule	
groupes A ⁴ et A ³ B ⁵	379	semi-empirique pour la section efficace électronique	
Romanov (O. V.). — Nature cristallo-physico-chimique de	217	d'ionisation d'atomes de zinc et de cadmium	403
l'interface entre un semiconducteur et son oxyde		Tavernière (P.). — Voir Blétry (J.)	725
propre. II. — Une conception générale de l'interface		The sample environment group. — A computer controlled	
semiconducteur-oxyde propre	389	pressurizing apparatus	825
Rossat-Mignot (J.), Olivier (J.), Burlet (P.), Regnault (L. P.),	,(),	The sample environment group. — A cryogenic sample chan-	
Effantin (J. M.), Gravil (B.), Clerc (M.), Claudet (G.),		ger	801
Disdier (F.), Locatelli (M.) and Volpi (P.). — A high		The sample environment group. — A high temperature furnace	723
magnetic field and very low temperature cryomagnet		Thomas (M.). — Voir Berneron (M.)	795
for neutron scattering experiments	783	Torbati (K.). — Voir Rigaud (D.)	945
Rossel (H.). — Voir Tranduc (H.).	859	Torregrossa (J.). — Voir Bouillot (J.)	799
Roulleau (M.). — Voir Magalhaes (J. L.)	39	Touboul (A.) Voir Rigaud (D.).	945
Rousseau (M.). — Voir Boirat (R.).	81	Tranduc (H.), Rossel (P.) et Sanchez (J. L.). — Premier et	
Roussel (C.), Jadot (J. P.), Akamatsu (B.) et Henoc (P.).	01	second claquages dans les transistors M.O.S	859
Calcul de l'énergie déposée et analyse de la cinétique		Tueta (R.). — Voir Pecile (D.)	127
Calcul de l'energie deposée et analyse de la emenque			
d'achquiffement dans 7nTe et Mg7nTe sous hombarde			
d'échauffement dans ZnTe et MgZnTe sous bombarde-	221	Vachatta (D) Vois Parthet-Colominas (C)	760
ment électronique pulsé	231	Vachette (P.). — Voir Berthet-Colominas (C.)	769
	231 95	Valentin (JP.). — Réduction de la dérive de fréquence des	
ment électronique pulsé. Roux (P.). — Voir Richard (M.).		Valentin (JP.). — Réduction de la dérive de fréquence des oscillateurs à quartz de haute stabilité	307
ment électronique pulsé. Roux (P.). — Voir Richard (M.). Saissy (A.), Botineau (J.) et Ostrowsky (D.). — Diffusion		Valentin (JP.). — Réduction de la dérive de fréquence des oscillateurs à quartz de haute stabilité	307 265
ment électronique pulsé. Roux (P.). — Voir Richard (M.). Saissy (A.), Botineau (J.) et Ostrowsky (D.). — Diffusion Brillouin stimulée dans une fibre optique biréfringente	95	Valentin (JP.). — Réduction de la dérive de fréquence des oscillateurs à quartz de haute stabilité	307 265 795
ment électronique pulsé. Roux (P.). — Voir Richard (M.). Saissy (A.), Botineau (J.) et Ostrowsky (D.). — Diffusion Brillouin stimulée dans une fibre optique biréfringente multimode		Valentin (JP.). — Réduction de la dérive de fréquence des oscillateurs à quartz de haute stabilité	307 265 795 823
ment électronique pulsé. Roux (P.). — Voir Richard (M.). Saissy (A.), Botineau (J.) et Ostrowsky (D.). — Diffusion Brillouin stimulée dans une fibre optique biréfringente multimode. Salame (E.), Goyet (G.), Lucidarme (J.), Quichaud (G.) et	95	Valentin (JP.). — Réduction de la dérive de fréquence des oscillateurs à quartz de haute stabilité	307 265 795 823 997
ment électronique pulsé. Roux (P.). — Voir Richard (M.). Saissy (A.), Botineau (J.) et Ostrowsky (D.). — Diffusion Brillouin stimulée dans une fibre optique biréfringente multimode. Salame (E.), Goyet (G.), Lucidarme (J.), Quichaud (G.) et Rioux (C.). — Etude d'un moteur à réductance variable	95	Valentin (JP.). — Réduction de la dérive de fréquence des oscillateurs à quartz de haute stabilité. Van de Velde (J. C.). — Voir Mamouni (A.). Vernier (J. J.). — Voir Berneron (M.). Vettier (C.). — Voir Draperi (A.). Vieujot-Testemale (E.). — Voir Raisin (C.). Villa (G.). — Voir Alzetta (G.).	307 265 795 823 997 277
ment électronique pulsé. Roux (P.). — Voir Richard (M.). Saissy (A.), Botineau (J.) et Ostrowsky (D.). — Diffusion Brillouin stimulée dans une fibre optique biréfringente multimode. Salame (E.), Goyet (G.), Lucidarme (J.), Quichaud (G.) et Rioux (C.). — Etude d'un moteur à réductance variable à disques imbriqués alimenté à tension constante	95 33 533	Valentin (JP.). — Réduction de la dérive de fréquence des oscillateurs à quartz de haute stabilité. Van de Velde (J. C.). — Voir Mamouni (A.). Vernier (J. J.). — Voir Berneron (M.). Vettier (C.). — Voir Draperi (A.). Vieujot-Testemale (E.). — Voir Raisin (C.). Villa (G.). — Voir Alzetta (G.). Villegier (J. C.). — Voir Monfort (Y.).	307 265 795 823 997 277 449
ment électronique pulsé. Roux (P.). — Voir Richard (M.). Saissy (A.), Botineau (J.) et Ostrowsky (D.). — Diffusion Brillouin stimulée dans une fibre optique biréfringente multimode. Salame (E.), Goyet (G.), Lucidarme (J.), Quichaud (G.) et Rioux (C.). — Etude d'un moteur à réductance variable à disques imbriqués alimenté à tension constante	95 33 533 223	Valentin (JP.). — Réduction de la dérive de fréquence des oscillateurs à quartz de haute stabilité. Van de Velde (J. C.). — Voir Mamouni (A.). Vernier (J. J.). — Voir Berneron (M.). Vettier (C.). — Voir Draperi (A.). Vieujot-Testemale (E.). — Voir Raisin (C.). Villa (G.). — Voir Alzetta (G.). Villegier (J. C.). — Voir Monfort (Y.). Vilotitch (B.). — Voir Dupuy (J. C.).	307 265 795 823 997 277 449 965
ment électronique pulsé. Roux (P.). — Voir Richard (M.). Saissy (A.), Botineau (J.) et Ostrowsky (D.). — Diffusion Brillouin stimulée dans une fibre optique biréfringente multimode. Salame (E.), Goyet (G.), Lucidarme (J.), Quichaud (G.) et Rioux (C.). — Etude d'un moteur à réductance variable à disques imbriqués alimenté à tension constante. Salsac (P.). — Voir Joullié (A.). Salvi (M.). — Voir Favennec (P. N.).	95 33 533 223 191	Valentin (JP.). — Réduction de la dérive de fréquence des oscillateurs à quartz de haute stabilité. Van de Velde (J. C.). — Voir Mamouni (A.). Vernier (J. J.). — Voir Berneron (M.). Vettier (C.). — Voir Draperi (A.). Vieujot-Testemale (E.). — Voir Raisin (C.). Villa (G.). — Voir Alzetta (G.). Villegier (J. C.). — Voir Monfort (Y.). Vilotitch (B.). — Voir Dupuy (J. C.). Volpi (P.). — Voir Rossat-Mignot (J.).	307 265 795 823 997 277 449 965 783
ment électronique pulsé. Roux (P.). — Voir Richard (M.). Saissy (A.), Botineau (J.) et Ostrowsky (D.). — Diffusion Brillouin stimulée dans une fibre optique biréfringente multimode. Salame (E.), Goyet (G.), Lucidarme (J.), Quichaud (G.) et Rioux (C.). — Etude d'un moteur à réductance variable à disques imbriqués alimenté à tension constante. Salsac (P.). — Voir Joullié (A.). Salvi (M.). — Voir Favennec (P. N.). Sanchez (J. L.). — Voir Tranduc (H.).	95 33 533 223 191 859	Valentin (JP.). — Réduction de la dérive de fréquence des oscillateurs à quartz de haute stabilité. Van de Velde (J. C.). — Voir Mamouni (A.). Vernier (J. J.). — Voir Berneron (M.). Vettier (C.). — Voir Draperi (A.). Vieujot-Testemale (E.). — Voir Raisin (C.). Villa (G.). — Voir Alzetta (G.). Villegier (J. C.). — Voir Monfort (Y.). Vilotitch (B.). — Voir Dupuy (J. C.).	307 265 795 823 997 277 449 965
ment électronique pulsé. Roux (P.). — Voir Richard (M.). Saissy (A.), Botineau (J.) et Ostrowsky (D.). — Diffusion Brillouin stimulée dans une fibre optique biréfringente multimode. Salame (E.), Goyet (G.), Lucidarme (J.), Quichaud (G.) et Rioux (C.). — Etude d'un moteur à réductance variable à disques imbriqués alimenté à tension constante. Salsac (P.). — Voir Joullié (A.). Salvi (M.). — Voir Favennec (P. N.). Sanchez (J. L.). — Voir Tranduc (H.). Sarrabayrouse (G.). — Voir Capilla (J.).	95 33 533 223 191 859 343	Valentin (JP.). — Réduction de la dérive de fréquence des oscillateurs à quartz de haute stabilité. Van de Velde (J. C.). — Voir Mamouni (A.). Vernier (J. J.). — Voir Berneron (M.). Vettier (C.). — Voir Draperi (A.). Vieujot-Testemale (E.). — Voir Raisin (C.). Villa (G.). — Voir Alzetta (G.). Villegier (J. C.). — Voir Monfort (Y.). Vilotitch (B.). — Voir Dupuy (J. C.). Volpi (P.). — Voir Rossat-Mignot (J.). von Schnering (H. G.). — Voir Chattopadhyay (T.).	307 265 795 823 997 277 449 965 783
ment électronique pulsé. Roux (P.). — Voir Richard (M.). Saissy (A.), Botineau (J.) et Ostrowsky (D.). — Diffusion Brillouin stimulée dans une fibre optique biréfringente multimode. Salame (E.), Goyet (G.), Lucidarme (J.), Quichaud (G.) et Rioux (C.). — Etude d'un moteur à réductance variable à disques imbriqués alimenté à tension constante. Salsac (P.). — Voir Joullié (A.). Salvi (M.). — Voir Favennec (P. N.). Sanchez (J. L.). — Voir Tranduc (H.). Sarrabayrouse (G.). — Voir Capilla (J.). Sarrau (J. M.). — Voir Martin (C.):	95 33 533 223 191 859 343 27	Valentin (JP.). — Réduction de la dérive de fréquence des oscillateurs à quartz de haute stabilité. Van de Velde (J. C.). — Voir Mamouni (A.). Vernier (J. J.). — Voir Berneron (M.). Vettier (C.). — Voir Draperi (A.). Vieujot-Testemale (E.). — Voir Raisin (C.). Villa (G.). — Voir Alzetta (G.). Villegier (J. C.). — Voir Monfort (Y.). Vilotitch (B.). — Voir Dupuy (J. C.). Volpi (P.). — Voir Rossat-Mignot (J.). von Schnering (H. G.). — Voir Chattopadhyay (T.). Walter (U.). — A pressure cell for inelastic neutron scattering	307 265 795 823 997 277 449 965 783 807
ment électronique pulsé. Roux (P.). — Voir Richard (M.). Saissy (A.), Botineau (J.) et Ostrowsky (D.). — Diffusion Brillouin stimulée dans une fibre optique biréfringente multimode. Salame (E.), Goyet (G.), Lucidarme (J.), Quichaud (G.) et Rioux (C.). — Etude d'un moteur à réductance variable à disques imbriqués alimenté à tension constante. Salsac (P.). — Voir Joullié (A.). Salvi (M.). — Voir Favennec (P. N.). Sanchez (J. L.). — Voir Tranduc (H.). Sarrabayrouse (G.). — Voir Capilla (J.). Sarrau (J. M.). — Voir Martin (C.). Scherm (R.). — Voir Guckelsberger (K.).	95 33 533 223 191 859 343	Valentin (JP.). — Réduction de la dérive de fréquence des oscillateurs à quartz de haute stabilité. Van de Velde (J. C.). — Voir Mamouni (A.). Vernier (J. J.). — Voir Berneron (M.). Vettier (C.). — Voir Draperi (A.). Vieujot-Testemale (E.). — Voir Raisin (C.). Villa (G.). — Voir Alzetta (G.). Villegier (J. C.). — Voir Monfort (Y.). Vilotitch (B.). — Voir Dupuy (J. C.). Volpi (P.). — Voir Rossat-Mignot (J.). von Schnering (H. G.). — Voir Chattopadhyay (T.). Walter (U.). — A pressure cell for inelastic neutron scattering up to 35 kbar.	307 265 795 823 997 277 449 965 783 807
ment électronique pulsé. Roux (P.). — Voir Richard (M.). Saissy (A.), Botineau (J.) et Ostrowsky (D.). — Diffusion Brillouin stimulée dans une fibre optique biréfringente multimode. Salame (E.), Goyet (G.), Lucidarme (J.), Quichaud (G.) et Rioux (C.). — Etude d'un moteur à réductance variable à disques imbriqués alimenté à tension constante. Salsac (P.). — Voir Joullié (A.). Salvi (M.). — Voir Favennec (P. N.). Sanchez (J. L.). — Voir Tranduc (H.). Sarrabayrouse (G.). — Voir Capilla (J.). Sarrau (J. M.). — Voir Martin (C.). Scherm (R.). — Voir Guckelsberger (K.). Schiltz (A.), Weill (A.) et Paniez (P.). — Modification de la	95 33 533 223 191 859 343 27	Valentin (JP.). — Réduction de la dérive de fréquence des oscillateurs à quartz de haute stabilité. Van de Velde (J. C.). — Voir Mamouni (A.). Vernier (J. J.). — Voir Berneron (M.). Vettier (C.). — Voir Draperi (A.). Vieujot-Testemale (E.). — Voir Raisin (C.). Villa (G.). — Voir Alzetta (G.). Villegier (J. C.). — Voir Monfort (Y.). Vilotitch (B.). — Voir Dupuy (J. C.). Volpi (P.). — Voir Rossat-Mignot (J.). von Schnering (H. G.). — Voir Chattopadhyay (T.). Walter (U.). — A pressure cell for inelastic neutron scattering up to 35 kbar. Weill (A.). — Voir Schiltz (A.).	307 265 795 823 997 277 449 965 783 807
ment électronique pulsé. Roux (P.). — Voir Richard (M.). Saissy (A.), Botineau (J.) et Ostrowsky (D.). — Diffusion Brillouin stimulée dans une fibre optique biréfringente multimode. Salame (E.), Goyet (G.), Lucidarme (J.), Quichaud (G.) et Rioux (C.). — Etude d'un moteur à réductance variable à disques imbriqués alimenté à tension constante. Salsac (P.). — Voir Joullié (A.). Salvi (M.). — Voir Favennec (P. N.). Sanchez (J. L.). — Voir Tranduc (H.). Sarrabayrouse (G.). — Voir Capilla (J.). Sarrau (J. M.). — Voir Martin (C.). Scherm (R.). — Voir Guckelsberger (K.). Schiltz (A.), Weill (A.) et Paniez (P.). — Modification de la loi de Charlesby. I. Calcul du profil de la densité de cou-	95 33 533 223 191 859 343 27	Valentin (JP.). — Réduction de la dérive de fréquence des oscillateurs à quartz de haute stabilité. Van de Velde (J. C.). — Voir Mamouni (A.). Vernier (J. J.). — Voir Berneron (M.). Vettier (C.). — Voir Draperi (A.). Vieujot-Testemale (E.). — Voir Raisin (C.). Villa (G.). — Voir Alzetta (G.). Villegier (J. C.). — Voir Monfort (Y.). Vilotitch (B.). — Voir Dupuy (J. C.). Volpi (P.). — Voir Rossat-Mignot (J.). von Schnering (H. G.). — Voir Chattopadhyay (T.). Walter (U.). — A pressure cell for inelastic neutron scattering up to 35 kbar. Weill (A.). — Voir Schiltz (A.). Weill (A.). — Voir Schiltz (A.).	307 265 795 823 997 277 449 965 783 807
ment électronique pulsé. Roux (P.). — Voir Richard (M.). Saissy (A.), Botineau (J.) et Ostrowsky (D.). — Diffusion Brillouin stimulée dans une fibre optique biréfringente multimode. Salame (E.), Goyet (G.), Lucidarme (J.), Quichaud (G.) et Rioux (C.). — Etude d'un moteur à réductance variable à disques imbriqués alimenté à tension constante. Salsac (P.). — Voir Joullié (A.). Salvi (M.). — Voir Favennec (P. N.). Sanchez (J. L.). — Voir Tranduc (H.). Sarrabayrouse (G.). — Voir Culla (J.). Sarrau (J. M.). — Voir Martin (C.). Scherm (R.). — Voir Guckelsberger (K.). Schiltz (A.), Weill (A.) et Paniez (P.). — Modification de la loi de Charlesby. I. Calcul du profil de la densité de coupure créée dans une couche de polymère par des fais-	95 33 533 223 191 859 343 27 779	Valentin (JP.). — Réduction de la dérive de fréquence des oscillateurs à quartz de haute stabilité. Van de Velde (J. C.). — Voir Mamouni (A.). Vernier (J. J.). — Voir Berneron (M.). Vettier (C.). — Voir Draperi (A.). Vieujot-Testemale (E.). — Voir Raisin (C.). Villa (G.). — Voir Alzetta (G.). Villegier (J. C.). — Voir Monfort (Y.). Vilotitch (B.). — Voir Dupuy (J. C.). Volpi (P.). — Voir Rossat-Mignot (J.). von Schnering (H. G.). — Voir Chattopadhyay (T.). Walter (U.). — A pressure cell for inelastic neutron scattering up to 35 kbar. Weill (A.). — Voir Schiltz (A.). Weill (A.). — Voir Schiltz (A.). Werner (A.). — Voir Chattopadhyay (T.).	307 265 795 823 997 277 449 965 783 807
ment électronique pulsé. Roux (P.). — Voir Richard (M.). Saissy (A.), Botineau (J.) et Ostrowsky (D.). — Diffusion Brillouin stimulée dans une fibre optique biréfringente multimode. Salame (E.), Goyet (G.), Lucidarme (J.), Quichaud (G.) et Rioux (C.). — Etude d'un moteur à réductance variable à disques imbriqués alimenté à tension constante. Salsac (P.). — Voir Joullié (A.). Salvi (M.). — Voir Favennec (P. N.). Sanchez (J. L.). — Voir Tranduc (H.). Sarrabayrouse (G.). — Voir Capilla (J.). Sarrau (J. M.). — Voir Martin (C.). Scherm (R.). — Voir Guckelsberger (K.). Schiltz (A.), Weill (A.) et Paniez (P.). — Modification de la loi de Charlesby. I. Calcul du profil de la densité de coupure créée dans une couche de polymère par des faisceaux de particules.	95 33 533 223 191 859 343 27	Valentin (JP.). — Réduction de la dérive de fréquence des oscillateurs à quartz de haute stabilité. Van de Velde (J. C.). — Voir Mamouni (A.). Vernier (J. J.). — Voir Berneron (M.). Vettier (C.). — Voir Draperi (A.). Vieujot-Testemale (E.). — Voir Raisin (C.). Villa (G.). Voir Alzetta (G.). Villegier (J. C.). — Voir Monfort (Y.). Vilotitch (B.). — Voir Dupuy (J. C.). Volpi (P.). — Voir Rossat-Mignot (J.). von Schnering (H. G.). — Voir Chattopadhyay (T.). Walter (U.). — A pressure cell for inelastic neutron scattering up to 35 kbar. Weill (A.). — Voir Schiltz (A.). Weill (A.). — Voir Schiltz (A.). Werner (A.). — Voir Chattopadhyay (T.). Wiesenfeld (L.). — Voir Robert (J. B.).	307 265 795 823 997 277 449 965 783 807
ment électronique pulsé. Roux (P.). — Voir Richard (M.). Saissy (A.), Botineau (J.) et Ostrowsky (D.). — Diffusion Brillouin stimulée dans une fibre optique biréfringente multimode. Salame (E.), Goyet (G.), Lucidarme (J.), Quichaud (G.) et Rioux (C.). — Etude d'un moteur à réductance variable à disques imbriqués alimenté à tension constante. Salsac (P.). — Voir Joullié (A.). Salvi (M.). — Voir Favennec (P. N.). Sanchez (J. L.). — Voir Tranduc (H.). Sarrabayrouse (G.). — Voir Capilla (J.). Sarrau (J. M.). — Voir Martin (C.). Scherm (R.). — Voir Guckelsberger (K.). Schiltz (A.), Weill (A.) et Paniez (P.). — Modification de la loi de Charlesby. I. Calcul du profil de la densité de coupure créée dans une couche de polymère par des faisceaux de particules. Schiltz (A.), Weill (A.) et Paniez (P.). — Modification de la	95 33 533 223 191 859 343 27 779	Valentin (JP.). — Réduction de la dérive de fréquence des oscillateurs à quartz de haute stabilité. Van de Velde (J. C.). — Voir Mamouni (A.). Vernier (J. J.). — Voir Berneron (M.). Vettier (C.). — Voir Draperi (A.). Vieujot-Testemale (E.). — Voir Raisin (C.). Villa (G.). — Voir Alzetta (G.). Villegier (J. C.). — Voir Monfort (Y.). Vilotitch (B.). — Voir Dupuy (J. C.). Volpi (P.). — Voir Rossat-Mignot (J.). von Schnering (H. G.). — Voir Chattopadhyay (T.). Walter (U.). — A pressure cell for inelastic neutron scattering up to 35 kbar. Weill (A.). — Voir Schiltz (A.). Weill (A.). — Voir Schiltz (A.). Werner (A.). — Voir Chattopadhyay (T.). Wiesenfeld (L.). — Voir Robert (J. B.). Will (G.). — Voir Elf (F.).	307 265 795 823 997 277 449 965 783 807 833 431 439 807 281
ment électronique pulsé. Roux (P.). — Voir Richard (M.). Saissy (A.), Botineau (J.) et Ostrowsky (D.). — Diffusion Brillouin stimulée dans une fibre optique biréfringente multimode. Salame (E.), Goyet (G.), Lucidarme (J.), Quichaud (G.) et Rioux (C.). — Etude d'un moteur à réductance variable à disques imbriqués alimenté à tension constante. Salsac (P.). — Voir Joullié (A.). Salvi (M.). — Voir Favennec (P. N.). Sanchez (J. L.). — Voir Tranduc (H.). Sarrabayrouse (G.). — Voir Capilla (J.). Sarrau (J. M.). — Voir Martin (C.). Scherm (R.). — Voir Guckelsberger (K.). Schiltz (A.), Weill (A.) et Paniez (P.). — Modification de la loi de Charlesby. II. Calcul du profil de la densité de coupure créée dans une couche de polymère par des faisceaux de particules. Schiltz (A.), Weill (A.) et Paniez (P.). — Modification de la loi de Charlesby. II. Sensibilité macroscopique.	95 33 533 223 191 859 343 27 779	Valentin (JP.). — Réduction de la dérive de fréquence des oscillateurs à quartz de haute stabilité. Van de Velde (J. C.). — Voir Mamouni (A.). Vernier (J. J.). — Voir Berneron (M.). Vettier (C.). — Voir Draperi (A.). Vieujot-Testemale (E.). — Voir Raisin (C.). Villa (G.). Voir Alzetta (G.). Villegier (J. C.). — Voir Monfort (Y.). Vilotitch (B.). — Voir Dupuy (J. C.). Volpi (P.). — Voir Rossat-Mignot (J.). von Schnering (H. G.). — Voir Chattopadhyay (T.). Walter (U.). — A pressure cell for inelastic neutron scattering up to 35 kbar. Weill (A.). — Voir Schiltz (A.). Weill (A.). — Voir Schiltz (A.). Werner (A.). — Voir Chattopadhyay (T.). Wiesenfeld (L.). — Voir Robert (J. B.).	307 265 795 823 997 277 449 965 783 807 833 431 439 807 281
ment électronique pulsé. Roux (P.). — Voir Richard (M.). Saissy (A.), Botineau (J.) et Ostrowsky (D.). — Diffusion Brillouin stimulée dans une fibre optique biréfringente multimode. Salame (E.), Goyet (G.), Lucidarme (J.), Quichaud (G.) et Rioux (C.). — Etude d'un moteur à réductance variable à disques imbriqués alimenté à tension constante. Salsac (P.). — Voir Joullié (A.). Salvi (M.). — Voir Favennec (P. N.). Sanchez (J. L.). — Voir Tranduc (H.). Sarrabayrouse (G.). — Voir Capilla (J.). Sarrau (J. M.). — Voir Martin (C.). Scherm (R.). — Voir Guckelsberger (K.). Schiltz (A.), Weill (A.) et Paniez (P.). — Modification de la loi de Charlesby. I. Calcul du profil de la densité de coupure créée dans une couche de polymère par des faisceaux de particules. Schiltz (A.), Weill (A.) et Paniez (P.). — Modification de la loi de Charlesby. II. Sensibilité macroscopique. Schnabel (P.). — Voir Clausen (K.).	95 33 533 223 191 859 343 27 779 431 439 719	Valentin (JP.). — Réduction de la dérive de fréquence des oscillateurs à quartz de haute stabilité. Van de Velde (J. C.). — Voir Mamouni (A.). Vernier (J. J.). — Voir Berneron (M.). Vettier (C.). — Voir Draperi (A.). Vieujot-Testemale (E.). — Voir Raisin (C.). Villa (G.). Voir Alzetta (G.). Villegier (J. C.). — Voir Monfort (Y.). Vilotitch (B.). — Voir Dupuy (J. C.). Volpi (P.). — Voir Rossat-Mignot (J.). von Schnering (H. G.). — Voir Chattopadhyay (T.). Walter (U.). — A pressure cell for inelastic neutron scattering up to 35 kbar. Weill (A.). — Voir Schiltz (A.). Weill (A.). — Voir Schiltz (A.). Werner (A.). — Voir Chattopadhyay (T.). Wiesenfeld (L.). — Voir Robert (J. B.). Will (G.). — Voir Elf (F.). Wood (T. E.). — High magnetic field techniques for neutron	307 265 795 823 997 277 449 965 783 807 833 431 439 807 281 793
ment électronique pulsé. Roux (P.). — Voir Richard (M.). Saissy (A.), Botineau (J.) et Ostrowsky (D.). — Diffusion Brillouin stimulée dans une fibre optique biréfringente multimode. Salame (E.), Goyet (G.), Lucidarme (J.), Quichaud (G.) et Rioux (C.). — Etude d'un moteur à réductance variable à disques imbriqués alimenté à tension constante. Salsac (P.). — Voir Joullié (A.). Salvi (M.). — Voir Favennec (P. N.). Sanchez (J. L.). — Voir Tranduc (H.). Sarrabayrouse (G.). — Voir Capilla (J.). Sarrau (J. M.). — Voir Martin (C.): Scherm (R.). — Voir Guckelsberger (K.). Schiltz (A.), Weill (A.) et Paniez (P.). — Modification de la loi de Charlesby. I. Calcul du profil de la densité de coupure créée dans une couche de polymère par des faisceaux de particules. Schiltz (A.), Weill (A.) et Paniez (P.). — Modification de la loi de Charlesby. II. Sensibilité macroscopique. Schnabel (P.). — Voir Clausen (K.). Schwab (C.). — Voir Goltzéne (A.).	95 33 533 223 191 859 343 27 779 431 439 719 593	Valentin (JP.). — Réduction de la dérive de fréquence des oscillateurs à quartz de haute stabilité. Van de Velde (J. C.). — Voir Mamouni (A.). Vernier (J. J.). — Voir Berneron (M.). Vettier (C.). — Voir Draperi (A.). Vieujot-Testemale (E.). — Voir Raisin (C.). Villa (G.). — Voir Alzetta (G.). Villegier (J. C.). — Voir Monfort (Y.). Vilotitch (B.). — Voir Dupuy (J. C.). Volpi (P.). — Voir Rossat-Mignot (J.). von Schnering (H. G.). — Voir Chattopadhyay (T.). Walter (U.). — A pressure cell for inelastic neutron scattering up to 35 kbar. Weill (A.). — Voir Schiltz (A.). Weill (A.). — Voir Schiltz (A.). Weill (A.). — Voir Chattopadhyay (T.). Wiesenfeld (L.). — Voir Robert (J. B.). Will (G.). — Voir Elf (F.). Wood (T. E.). — High magnetic field techniques for neutron and X-ray scattering.	307 265 795 823 997 277 449 965 783 807 833 431 439 807 281 793
ment électronique pulsé. Roux (P.). — Voir Richard (M.). Saissy (A.), Botineau (J.) et Ostrowsky (D.). — Diffusion Brillouin stimulée dans une fibre optique biréfringente multimode. Salame (E.), Goyet (G.), Lucidarme (J.), Quichaud (G.) et Rioux (C.). — Etude d'un moteur à réductance variable à disques imbriqués alimenté à tension constante. Salsac (P.). — Voir Joullié (A.). Salvi (M.). — Voir Favennec (P. N.). Sanchez (J. L.). — Voir Tranduc (H.). Sarrabayrouse (G.). — Voir Capilla (J.). Sarrau (J. M.). — Voir Martin (C.). Scherm (R.). — Voir Guckelsberger (K.). Schiltz (A.), Weill (A.) et Paniez (P.). — Modification de la loi de Charlesby. I. Calcul du profil de la densité de coupure créée dans une couche de polymère par des faisceaux de particules. Schiltz (A.), Weill (A.) et Paniez (P.). — Modification de la loi de Charlesby. II. Sensibilité macroscopique. Schabel (P.). — Voir Clausen (K.). Schwab (C.). — Voir Berthet-Colominas (C.).	95 33 533 223 191 859 343 27 779 431 439 719	Valentin (JP.). — Réduction de la dérive de fréquence des oscillateurs à quartz de haute stabilité. Van de Velde (J. C.). — Voir Mamouni (A.). Vernier (J. J.). — Voir Berneron (M.). Vettier (C.). — Voir Draperi (A.). Vieujot-Testemale (E.). — Voir Raisin (C.). Villa (G.). Voir Alzetta (G.). Villegier (J. C.). — Voir Monfort (Y.). Vilotitch (B.). — Voir Dupuy (J. C.). Volpi (P.). — Voir Rossat-Mignot (J.). von Schnering (H. G.). — Voir Chattopadhyay (T.). Walter (U.). — A pressure cell for inelastic neutron scattering up to 35 kbar. Weill (A.). — Voir Schiltz (A.). Weill (A.). — Voir Schiltz (A.). Werner (A.). — Voir Chattopadhyay (T.). Wiesenfeld (L.). — Voir Robert (J. B.). Will (G.). — Voir Elf (F.). Wood (T. E.). — High magnetic field techniques for neutron	307 265 795 823 997 277 449 965 783 807 833 431 439 807 281 793
ment électronique pulsé. Roux (P.). — Voir Richard (M.). Saissy (A.), Botineau (J.) et Ostrowsky (D.). — Diffusion Brillouin stimulée dans une fibre optique biréfringente multimode. Salame (E.), Goyet (G.), Lucidarme (J.), Quichaud (G.) et Rioux (C.). — Etude d'un moteur à réductance variable à disques imbriqués alimenté à tension constante. Salsac (P.). — Voir Joullié (A.). Salvi (M.). — Voir Favennec (P. N.). Sanchez (J. L.). — Voir Tranduc (H.). Sarrabayrouse (G.). — Voir Capilla (J.). Sarrau (J. M.). — Voir Martin (C.). Scherm (R.). — Voir Guckelsberger (K.). Schiltz (A.), Weill (A.) et Paniez (P.). — Modification de la loi de Charlesby. I. Calcul du profil de la densité de coupure créée dans une couche de polymère par des faisceaux de particules. Schiltz (A.), Weill (A.) et Paniez (P.). — Modification de la loi de Charlesby. II. Sensibilité macroscopique. Schnabel (P.). — Voir Clausen (K.). Schwab (C.). — Voir Goltzéne (A.). Sedita (J.). — Voir Berthet-Colominas (C.). Segui (Y.), Moret (B.) et Montalan (D.). — Etude des pro-	95 33 533 223 191 859 343 27 779 431 439 719 593	Valentin (JP.). — Réduction de la dérive de fréquence des oscillateurs à quartz de haute stabilité. Van de Velde (J. C.). — Voir Mamouni (A.). Vernier (J. J.). — Voir Berneron (M.). Vettier (C.). — Voir Draperi (A.). Vieujot-Testemale (E.). — Voir Raisin (C.). Villa (G.). — Voir Alzetta (G.). Villegier (J. C.). — Voir Monfort (Y.). Vilotitch (B.). — Voir Dupuy (J. C.). Volpi (P.). — Voir Rossat-Mignot (J.). von Schnering (H. G.). — Voir Chattopadhyay (T.). Walter (U.). — A pressure cell for inelastic neutron scattering up to 35 kbar. Weill (A.). — Voir Schiltz (A.). Weill (A.). — Voir Schiltz (A.). Werner (A.). — Voir Chattopadhyay (T.). Wiesenfeld (L.). — Voir Robert (J. B.). Will (G.). — Voir Elf (F.). Wood (T. E.). — High magnetic field techniques for neutron and X-ray scattering. Zeyen (C. M. E.), Chagnon (R.), Disdier (F.) and Morin (H.). — A helium-flow cryostat (3 to 300 K) for neutron four-	307 265 795 823 997 277 449 965 783 807 833 431 439 807 281 793
ment électronique pulsé. Roux (P.). — Voir Richard (M.). Saissy (A.), Botineau (J.) et Ostrowsky (D.). — Diffusion Brillouin stimulée dans une fibre optique biréfringente multimode. Salame (E.), Goyet (G.), Lucidarme (J.), Quichaud (G.) et Rioux (C.). — Etude d'un moteur à réductance variable à disques imbriqués alimenté à tension constante. Salsac (P.). — Voir Joullié (A.). Salvi (M.). — Voir Favennec (P. N.). Sanchez (J. L.). — Voir Tranduc (H.). Sarrabayrouse (G.). — Voir Capilla (J.). Sarrau (J. M.). — Voir Martin (C.). Scherm (R.). — Voir Guckelsberger (K.). Schiltz (A.), Weill (A.) et Paniez (P.). — Modification de la loi de Charlesby. I. Calcul du profil de la densité de coupure créée dans une couche de polymère par des faisceaux de particules. Schiltz (A.), Weill (A.) et Paniez (P.). — Modification de la loi de Charlesby. II. Sensibilité macroscopique. Schabel (P.). — Voir Clausen (K.). Schwab (C.). — Voir Berthet-Colominas (C.).	95 33 533 223 191 859 343 27 779 431 439 719 593	Valentin (JP.). — Réduction de la dérive de fréquence des oscillateurs à quartz de haute stabilité. Van de Velde (J. C.). — Voir Mamouni (A.). Vernier (J. J.). — Voir Berneron (M.). Vettier (C.). — Voir Draperi (A.). Vieujot-Testemale (E.). — Voir Raisin (C.). Villa (G.). — Voir Alzetta (G.). Villegier (J. C.). — Voir Monfort (Y.). Vilotitch (B.). — Voir Dupuy (J. C.). Volpi (P.). — Voir Rossat-Mignot (J.). von Schnering (H. G.). — Voir Chattopadhyay (T.). Walter (U.). — A pressure cell for inelastic neutron scattering up to 35 kbar. Weill (A.). — Voir Schiltz (A.). Weill (A.). — Voir Schiltz (A.). Werner (A.). — Voir Chattopadhyay (T.). Wiesenfeld (L.). — Voir Robert (J. B.). Will (G.). — Voir Elf (F.). Wood (T. E.). — High magnetic field techniques for neutron and X-ray scattering. Zeyen (C. M. E.), Chagnon (R.), Disdier (F.) and Morin (H.). —	307 265 795 823 997 449 965 783 807 833 431 439 807 281 793



ANNALES DE PHYSIQUE

Volume 9 — 1984

Allard (N. F.) and Biraud (Y. G.). — Alkali-rare gas interaction potential modelisation by square-well potentials: physical		Isabelle (D. B.). — Voir Parizet (M. J.)	103
interpretation	585 307	Jaeglé (P.). — Voir Jamelot (G.). Jamelot (G.), Jaeglé (P.) and Carillon (A.). — Population	657
transfer reactions between excited atoms and molecules	637	inversions for amplification of spontaneous emission in the soft X-ray range. A step towards X-ray laser	657
Barbe (R.). — Voir Astruc (J. P.)	637	Manage (A) and N. H. (C) and C.	
Berthier (G.). — Protonated interstellar ions of diatomic molecules: quantum-mechanical predictions	617	Mazure (A.) and Nollez (G.). — Effects of ion motion on Stark profiles of overlapping neutral helium lines	675
Biraud (Y. G.). — Voir Allard (N. F.).	585	Meyer (M.). — Noyaux loin de la vallée de stabilité. Excita-	075
Bonnet (J. J.). — Photon emission spectroscopy of highly charged ions following low energy charge exchange colli-	505	tions individuelles et collectives à basse énergie Monchicourt (P.), Pradel (P.) and Watel (G.). — Collisional	791
sions	629	ionization under strong laser irradiation	647
Borie (E.). — Voir Parizet (M. J.).	103		
Bottinelli (L.), Gouguenheim (L.) et Paturel (G.). — L'échelle		Nollez (G.). — Voir Mazure (A.)	675
des distances extragalactiques	503		
		Paris (R. B.). — Resistive instabilities in MHD	347
Carillon (A.). — Voir Jamelot (G.)	657	Parizet (M. J.), Borie (E.), Grossetête (B.), Isabelle (D. B.) and Proriol (J.). — Electromagnetic processes at low momen-	
tion in liquids	893	tum transfer : a review for users	103
Clarke (J. F.). — Lectures on plane waves in reacting gases	211	Paturel (G.). — Voir Bottinelli (L.)	503
		Popovics (C.). — Voir Geindre (JP.)	665
Darrigol (O.). — La genèse du concept de champ quantique.	433	Pradel (P.). — Voir Monchicourt (P.).	647
De Bergh (C.). — Molecular spectroscopy and planetary		Proriol (J.). — Voir Parizet (M. J.).	103
atmospheres	575		
Dorthe (G.). — Dynamics of very exoergic four atom reactions	621	Quentrec (B.). — Viscoélasticité et diffusion dépolarisée de la lumière dans les liquides	1
Epherre (M.). — Noyaux loin de la vallée de stabilité. Pro-	717		
duction et étude expérimentale des états fondamentaux	717	Sahal-Bréchot (S.). — Atomic physics developments for inter- pretation of spectral line polarization measurements in	
Feautrier (N.). — Voir Stehlé (C.)	697 597	astrophysics	705
Fournier (P. R.). — Voir Gounand (F.)	391	Sayer (B.). — Voir Gounand (F.)	597
Cala (C.M.) Valle Channel (T.)	893	Schermann (J. P.). — Voir Astruc (J. P.).	637
Gale (G. M.). — Voir Chesnoy (J.)	665	Schuller (F.). — Optical collisions and redistribution in the	
Geindre (JP.), Gauthier (JC.) and Popovics (C.). — X ray	003	presence of an intense driving field	609
spectroscopy of dense plasmas produced by laser irradia-		Stamm (R.) and Talin (B.). — Microfield simulation applied	(07
tion at the GRECO ILM	665	to the calculation of Stark profiles	687
Giannoni (MJ.). — Mouvements collectifs de grandes amplitudes dans les noyaux : une approche microsco-		densities	697
pique	39	Suzuki (T.). — Sum rules and their applications in nuclear physics.	535
Gouguenheim (L.). — Voir Bottinelli (L.)	503	Szudy (J.), — Voir Gounand (F.).	597
Rydberg states: a simple model	597	Talin (B.). — Voir Stamm (R.)	687
Grossetête (B.). — Voir Parizet (M. J.)	103		
Hugon (M.). — Voir Gounand (F.).	597	Watel (G.). — Voir Monchicourt (P.)	647



COLLOQUE Nº 1 - 1984

8th International Conference on Magnet Technology

Grenoble (France), 1983

Acerbi (E.) Superconducting cyclotrons	C1-207	Altov (V.A.), Blagov (E.V.), Kulysov (N.A.), Lvovsky	
Acerbi (E.), Broggi (F.), Rossi (L.), Duthil (R.) and Kircher (F.) Current leads system for a super-		(Yu.M.) and Sytchev (V.V.) Concerning normal zone propagation in composite superconductors	C1-529
conducting cyclotron Ackerman (S.L.), Kimmy (E.R.), Lieurance (D.W.) and Mann (T.L.) Design and construction details of the 7.4 tesla superconducting metastable magnet for the Elmo Bumpy Torus Proof-of-Principle program	C1-667	Ando (T.), Shimamoto (S.), Hiyama (T.), Tsuji (H.), Takahashi (Y.), Nishi (M.), Tada (E.), Yoshida (K.), Okuno (K.), Koizumi (K.), Kato (T.), Nakajima (H.), Takahashi (O.), Oshikiri (M.) and Yasukochi (K.) Test results of 60-cm bore Nb ₃ Sn test module coil (TMC-I)	
Ackerman (S.L.) See		in the cluster test faci- lity	C1-101
Beuligmann (R.F.)	C1-569	Ando (T.) See Nishi (M.)	C1-131
Aik Chong Lua and Boucher (R.F.) A water-cooled, compensated solenoid for high gradient magnetic filtration tests	C1-767	Andreani (R.), Bettinali (L.), Cecchini (A.), Gasparotto (M.), Lovisetto (L.), Pizzuto (A.) and Righetti (G.B.) The FTU	
Akenaga (Y.) See Sumiyoshi (F.)	C1-383	magnetic structure Andreyev (N.I.), Balbekov	C1-153
Albrecht (C.), Marsing (H.) and Neumüller (H.W.) Electrical joints for the European LCT coil	C1-607	(V.I.), Bulatov (E.A.), Dmitrevskiy (Yu.P.), Dolzhenkov (V.I.), Gertsev (K.F.), Gridasov (V.I.), Myznikov (K.P.), Sytnik	
Albrecht (C.), Salzburger (H.), Krauth (H.), Ulbricht (A.) and Nyilas (A.) Manufacturing experience with the european		(V.V.), Tarakanov (N.M.), Vasiliev (L.M.), Vasiliev (V.A.) and Yelistratov (V.V.) Development and study of the UNK superconducting dipole models	C1-249
superconducting coil for the large coil task (LCT).	C1-135	Asai (0.) See Wake (M.)	C1-347
Alekseevskii (N.E.), Fuchs (G.), Glinski (M.) and Gostishchev (V.) Shiel- ding the a.c. magnetic fields in bitter-type ma- gnets	C1-71	Asdente (M.), Olzi (E.), Ottoboni (V.) and Zannella (S.) Behaviour of Nb-Ti- Ta wire in non-stationary conditions	C1- 4 99
Alexandrov (A.S.), Elesin (V.F.) and Kazeko (M.P.) Radiation resistance theo- ry of perspective high temperature superconduc- tors	C1-421	Asher (G.M.), Williams (J.T.), Paul (R.J.A.) and Brown (J.) Current re- search into mixed-mu levi- tator designs for high speed MAGLEV vehicles	C1-733

(F.)	C1-67	(P.G.) Insulation sys- tems engineering	C1-615
Aucouturier (J.) See Duthil (R.)	C1-697	Becker (H.), Tarrh (J.M.) and Marston (P.G.) Failure	
Auguères (J.L.), Benichou (J.), Kadir (B.), Kircher (F.) and Sellier (J.C.)		of a large cryogenic MHD magnet	C1-603
A control system for cryo- genic installations	C1-649	Benichou (J.) See Auguères (J.L.)	C1-649
Auzolle (R.), Patoux (A.), Perot (J.) and Rifflet		Bennett (R.J.) See Poole (M.W.)	C1-325
(J.M.) Construction and test of superconducting quadrupole prototypes for		Benz (H.) See Zichy (J.A.).	C1-139
HERA	C1-263	Berghezan (A.) See Charles	C1-619
Baconnier (Y.), Dupin (J.), Guinand (R.), Kissler (K.H.), Middelkoop (W.C.),		Bettinali (L.) See Andreani (R.)	C1-153
Paillard (G.), Warman (A.) and Zanasco (JP.) High-frequency magnet for separating beams in colli- ders	C1-297	Beuligmann (R.F.), Ackerman (S.L.), Danninger (G.A.), Hackley (D.S.), Parmer (J.F.) and Tatro (R.E.)	
Balbekov (V.I.) See Andreyev (N.I.)	C1-249	Engineering problems in the design of superconducting systems	C1-569
Baldin (A.M.) See Smirnov		Bibet (D.) See Barré (M.)	C1-195
Balsamo (E.P.). – See Horvath	C1-279	Biermans (F.) See Cornelis	C1-525
(I.)	C1-93	Billan (J.), Gourber (J.P.)	
Ban (M.) See Noto (K.)	C1-83	and Henrichsen (K.N.) Geometry and remanent	
Barbisch (B.J.) and Kwasnitza (K.) Two new metallic materials with high speci-		field series measurement of the LEP dipole magnets	C1-953
fic heat for superconductor stabilization	C1-561	Billan (J.) Coercimeter for non-destructive measure- ment of the coercivity of	
Barré (M.), Bibet (D.), Bourgarel (M.P.), Chabert		steel sheets	C1-965
(A.), Dael (A.), Duval (M.), Fermé (J.), Eveillard (C.), Libin		Blagov (E.V.) See Altov (V.A.)	C1-529
(J.F.), Ohayon (M.) and Sauret (J.) The GANIL		Bleijs (C.A.) See Sultanem (F.)	C1-67
magnet system	C1-195	Bobrov (E.S.) See Williams (J.E.C.)	C1-691
(K.)	C1-225	Boenig (H.J.), Dean (J.W.),	
Bazin (C.), Ortega (J.M.), Deacon (D.A.G.), Depautex (C.) and Elleaume (P.) A		Rogers (J.D.), Schermer (R.I.) and Hauer (J.F.) Tests of the 30 MJ super-	
permanent magnet undulator for free electron laser	C1-317	conducting magnetic energy	01 575
or free electron raser	01-317	storage unit	C1-575

Booth (J.A.) See Huguet	C1-121	Chabert (A.) See Barré (M.)	C1-195
Borkowski (A.) See Trojnar		Chang Hung See Yi Changlian	C1-495
(K.)	C1-49	Charles (J.), Berghezan (A.) and Lutts (A.) High man-	
Boucher (R.F.) See Aik Chong Lua	C1-767	ganese - aluminum auste- nitic steels for cryogenic	
Bourgarel (M.P.) See Barré (M.)	C1-195	applications. Some mecha- nical and physical pro- perties	C1-619
Breimesser (F.), Intichar (L.), Poppinger (M.) and		Chen (H.S.) See Lin (L.Z.).	C1-833
Schnapper (C.) KPY 12 - a pressure transducer sui- table for low temperature		Cheng Dar Yong See Fang Guo Sheng	C1-827
use	C1-671	Cheng Guo Long See Fang Guo	C1-827
Broggi (F.) See Acerbi (E.)	C1-667		
Brossmann (U.B.), Gorenflo		Chen Haoshu See Yan Luguang	C1-837
(H.) and Mukherjee (S.B.) - FE-computations of a		Chen Haoshu See Yan Luguang	C1-841
nònplanar coil with diffe- rent support considera-		Chen Jinlin See Yi Changlian	C1-495
tions	C1-927		01-495
Brown (J.) See Asher (G.M.) Brunet (Y.), Paquien (L.)	C1-733	Cheremnykh (P.A.), Fyodorov (V.K.) and Piskunov (A.N.) An analysis of the	
and Sabrié (J.L.) Experimental behaviour of a cryoalternator connected		axial-disk VGMS characte- ristics	C1-793
to the 50 Hz electrical network	C1-709	Cheremnykh (P.A.) See Černuško (V.)	C1-429
Bruzzone (P.) and Kwasnitza (K.) Scaling law for fi-		Chernoplekov (N.A.) Sta- tionary high magnetic	
lamentary superconductor hysteresis losses in su-		fields	C1-29
perimposed dc and ac ma- gnetic fields	C1-483	Chikaba (J.) See Sumiyoshi (F.)	C1-383
Buhler (S.) See Levy (G.)	C1-821	Ciazynski (D.) Magnetic instabilities in multifi-	
Bulatov (E.A.) See Andreyev (N.I.)	C1-249	lament superconducting composites in a fast time	01 [[1
Cacaut (D.) See Huguet (M.)	C1-121	varying magnetic field	C1-551
Cecchini (A.) See Andreani		Clark (A.F.), Goodrich (L.F.) and Fickett (F.R.) Expe-	
(R.)	C1-153	rience in standardizing superconductor measure-	
Černuško (V.), Fröhlich (K.), Jergel (M.), Machajdík (D.), Tarnovská (M.),		ments	C1-379
Fedorov (V.K.) and Cheremnykh (P.A.) Pro- perties of Nb.Ge tape su-		Cornelis (J.), Biermans (F.), Maene (N.) and Van den Bosch (A.) The quench	
perconductor prepared by CVD method	C1-429	behaviour of small super- conductive coils	C1-525

Cornish (D.N.) See Hoard (R.W.)	C1-875	Dijkstra (D.) See Rem (P.C.)	C1-471
Coupland (J.H.) Studies for 'mixed-mu' magnetic levi-tation	C1-923	Dmitrevskiy (Yu.P.) See Andreyev (N.I.)	C1-249
Crawford (J.) See Zellweger	C1-351	Dohan (D.) See Reiniger	C1-225
Cyders (C.J.) See Hoenig	C1-403	Dolzhenkov (V.I.) See Andreyev (N.I.)	C1-249
Cyders (C.J.) See Hoenig	C1-599	Donyagin (A.M.) See Smirnov (A.A.)	C1-279
Czech (W.) See Trinks (U.).	C1-217	Donyagin (A.M.) See Vassilev (P.G.)	C1-845
Dael (A.), Duval (M.) and Long Ao Pulsed magnets		Dorelon (A.) See Maan (J.C.)	C1-961
for the time sharing of the GANIL beam	C1-293	Doroshenko (A.P.), Katrukhin (Yu.K.), Khrustalev	
Dael (A.) See Barré (M.)	C1-195	(B.P.), Shulgina (T.V.) and Trojnar (K.) Further	
Danninger (G.A.) See Beuligmann (R.F.)	C1-569	improvement of galette coils	C1-59
Daum (C.)and Schmüser (P.) Superconducting correction coils for HERA	C1-267	Dubots (P.), Février (A.), Renard (J.C.), Goyer (J.C.) and Hoang Gia Ky Behaviour of multifilamen-	
Davydov (I.I.) See Nikulin (A.D.)	C1-407	tary Nb-Ti conductors with very fine filaments under A.C. magnetic fields	C1-467
Dawson (A.M.) See Hatch	C1-867	Dudareva (T.N.) See Vorozhtsov (S.B.)	C1-893
Deacon (D.A.G.) See Bazin	C1-317	Dupin (J.) See Baconnier	C1-297
Dean (J.W.) See Boenig	C1-575	Dustmann (C.H.) See Trinks	C1-217
Delage (D.) See Marty (P.).	C1-933	Duthil (R.), Kircher (F.),	
Depautex (C.) See Bazin	C1-317	Lottin (J.C.), Palanque (S.), Aucouturier (J.) and Fache (P.) Potential use	
Desportes (H.), Le Bars (J.) and Meuris (C.) General		of superconducting magnets for neutron therapy	C1-697
design and conductor study for the "ALEPH" supercon-		Duthil (R.) See Acerbi (E.)	C1-667
ducting solenoid	C1-341	Duval (M.) See Barré (M.)	C1-195
Desportes (H.) See Marston (P.G.)	C1-637	Duval (M.) See Dael (A.)	C1-293
Dickens (M.H.) and Good (J.A.) Superconducting		D'yachkov (E.I.) See Smirnov (A.A.)	C1-279
hexapole magnet for ECR ion beam source	C1-799	Eberhard (P.H.) See Smits (R.G.)	C1-653

			21
Egawa (K.), Fukuma (H.), Kubo (Ta.), Kumagai (N.).		Fan Ming-wu See Yan Chen	C1-889
Takeuchi (Y.) and Endo (K.) Performance of the		Fast (R.) See Minemura (H.)	C1-333
TRISTAN-AR magnet Elen (J.D.), Franken (W.M.P.), Roeterdink (J.A.), Pasotti (G.), Ricci (M.V.), Sacchetti (N.), Spadoni (M.), Horvath (I.), Pasztor	C1-241	Faure-Brac (G.), Greenberg (A.S.), Hébral (B.) and Vallier (J.C.) Double unsaturated HeII baths for nesting superconducting solenoids producing fields greater than 14 T	C1-75
(G.), Vécsey (G.), Weymuth (P.) and Zellweger (J.) Upgrade of the SULTAN su-		Fedorov (V.K.) See Černuško	C1-429
perconducting test facili- ty to 12 tesla by three	04 07	Feng (Z.) See Han (S.)	C1-807
A-15 coils Elen (J.D.) See Horvath	C1-97	Ferdeghini (C.) See Rondelli (G.)	C1-433
(I.)	C1-93	Fermé (J.) See Barré (M.)	C1-195
Elesin (V.F.) See Alexandrov (A.S.)	C1-421	Eévrier (A.) See Dubots (P.)	C1-467
Eliseeva (I.A.) See Smirnov (A.A.)	C1-279	Fickett (F.R.) See Clark (A.F.)	C1-379
Eliseeva (I.A.) See Vassilev (P.G.)	C1-845	Fischer (K.) See Frenzel (C.)	C1-425
Elleaume (P.) See Bazin	C1-317	Flükiger (R.) Advanced su- perconducting materials	C1-365
Endo (K.) See Egawa (K.)	C1-241	Flükiger (R.) See Goldacker	C1-387
Endo (K.) See Fukuma (H.)	C1-301	Flükiger (R.) See Specking	01-307
Eriksson (T.), Stella (A.), Papp (K.) and Tiez (P.) Design, manufacture and testing of the saturable inductors for JET ohmic		Franken (W.M.P.), - See Elen	C1-79 C1-97
heating sub-system	C1-675	Franken (W.M.P.) See Horvath (I.)	C1-93
Eveillard (C.) See Barré (M.)	C1-195	Frenzel (C.), Fuchs (G.), Fischer (K.), Holzhäuser	
Fache (P.) See Duthil (R.).	C1-697	(W.) and Lange (F.) En- hancement of critical cur-	
Fang Guo Sheng, Cheng Guo Long, Li Su Su, Cheng Dar Yong and Yang William		rents in multifilamentary V ₃ Ga conductors by addi- tion of indium	C1-425
The first superconducting magnet facility for Mössbauer spectroscopy de-		Fröhlich (K.) See Černuško	C1-429
veloped in China	C1-827	Fuchs (G.) See Alekseevskii (N.E.)	C1-71
Fang Jun-Ren, Huang Ji-Ming, Li Da-Rong, Shi Feng-Ming, Xiao Ai-Ying, Yi Min-Yu,		Fuchs (G.) See Frenzel (C.)	C1-425
Hu Qing-Yong, Zhang Yuan-Jin and Yi Zu-Wang The development of flexi- ble sunerconducting Nb ₃ Sn	01.417	Fujioka (T.), Uchiyama (T.) and Ichikawa (H.) The optimization method of su- perconducting magnet de-	
braids and cables	C1-417	sign	C1-885

Fujioka (T.), Sato (Y.), Tanabe (M.), Hoshi (A.), Miura (S.) and Nakagawa (Y.) Power supply and cooling system for high- power water-cooled magnets at Tohoku University	C1-63	Girard (P.), Wendling (P.), Morel (B.) and Sabonnadière (J.C.) Flux 2D. Interactive de- sign of electrical machi- nes and systems	C1-861
Fujiwara (N.) See Itoh (S.)	C1-157	Gliński (M.) See Alekseevskii (N.E.)	C1-71
Fujiwara (N.) See Shimizu (M.) Fukuma (H.), Kumagai (N.), Takeuchi (Y.), Endo (K.)	C1-587	Goldacker (W.) and Flükiger (R.) Direct observation of crystallographical changes at 10 K caused by the application of va-	
and Komatsubara (M.) Low carbon and silicon steel quadrupole magnets	C1-301	rying stresses to Nb ₃ Sn Good (J.A.) and White (K.)	C1-387
Fukuma (H.) See Egawa (K.).	C1-241	Superconducting magnet for 60 tonne/hour mineral se-	
Fukuzuka (M.) See Wake (M.)	C1-347	parator with closed cycle 4 kelvin refrigeration	C1-759
Funaki (K.) See Sumiyoshi (F.)	C1-383	Good (J.A.) See Dickens (M.H.)	C1-799
Fyodorov (V.K.) See Cheremnykh (P.A.)	C1-793	Goodrich (L.F.) See Clark (A.F.)	C1-379
GAMMA 10 Group See Itoh	C1-189	Gorenflo (H.) See Brossmann (U.B.)	C1-927
Gasparotto (M.) See Andreani (R.)	C1-153	Goringe (M.J.) See Hascicek (Y.S.)	C1-395
Geerse (J.Ch.) See Pieterman (K.)	C1-625	Gostishchev (V.) See Alekseevskii (N.E.)	C1-71
Genevey (P.), Neyret (G.), Sagniez (A.) and Turck (B.) Ferromagnetic in- serts increasing the field		Goto (A.) See Motonaga (S.) Gourber (J.P.) See Billan (J.)	C1-213 C1-953
of a solenoid	C1-817	Goyer (J.C.) See Dubots (P.)	C1-467
Gentile (D.) See Polak (M.) Gerhold (J.) and Schmidt (J.) - Ring-shaped magnetic potential barriers for se-	C1-541	Graham (M.D.) Comparison of volume and surface mechanisms for magnetic filtration of blood cells	C1-779
paration of weakly magne- tic particles	C1-785	Green (M.A.) and Singer (J.R.) The role of su-	
Gertsev (K.F.) See Andreyev (N.I.)	C1-249	perconducting magnets in NMR medical imaging	C1-685
Gerwig (C.H.) See Kibbe (R.K.)	C1-125	Green (M.A.) See Smits (R.G.)	C1-653
Gibson (G.H.) See Smits (R.G.)	C1-653	Green (M.I.) and Nelson (D.H.) The Lawrence Berkeley Laboratory - ge-	
Gilbert (G.) See Hassenzahl	C1-271	neral purpose magnetic measurement - data acqui- sition system	C1-943

(D.H.)	C1-957	Hascicek (Y.S.), Nourbakhsh (S.), Goringe (M.J.),	
Greenberg (A.S.) See Faure-Brac (G.)	C1-75	Hudson (P.A.) and Jones (H.) Anomalous increases in the critical currents	
Greiner (H.) and Hoffmann (H.) Efficiencies of axially ordered HGMS fil-		of multifilamentary Nb ₃ Sn wires prepared by the bronze route	C1-395
ters in a multiwire model.	C1-789	Hassenzahl (W.), Gilbert (G.), Taylor (C.) and	
Gridasov (V.I.) See Andreyev (N.I.)	C1-249	Meuser (R.) Progress to- ward 10 tesla accelerator dipoles	C1-271
Grünewald See Lambrecht			01-2/1
(D.)	C1-713	Hasuda (T.) See Yanagisawa	C1-771
Guinand (R.) See Baconnier	C1-297	Hatch (A.M.), Marston (P.G.), Thome (R.J.), Dawson	
Haberkorn (R.) See Williams (J.E.C.)	C1-691	(A.M.), Langton (W.G.) and Mann (W.R.) Design cur- rent density impact on	
Hackley (D.S.) See Beuligmann (R.F.)	C1-569	cost and reliability of superconducting magnet systems for early commer-	
Hackley (D.S.) See Kibbe	C1-125	cial MHD power plants	C1-867
(R.K.)	U1-125	Haubenreich (P.N.) See Kibbe (R.K.)	C1-125
(P.G.)	C1-637	Hauer (J.F.) See Boenig	
Halbach (K.) See Nelson (D.H.)	C1-957	(H.J.)	C1-575
Hamajima (T.) See Itoh (S.)	C1-157	(G.)	C1-75
Hamajima (T.) See Shimizu	C1-581	Heitzenroeder (P.) See Materna (P.)	C1-181
Hamajima (T.) See Shimizu	01-001	He Lilu See He Zhenying	C1-329
(M.)	C1-587	Henrichsen (K.N.) Large scale magnetic field mea-	
Han (S.) The development of superconducting materials		surements and mapping	C1-937
in China	C1-373	Henrichsen (K.N.) See Billan (J.)	C1-953
Han (S.), Feng (Z.), Lin (C.Y.), Song (S.S.) and Li (K.W.) The 11 T NbTi su-		Herlach (F.), de Vos (G.) and Witters (J.) Stres- ses in coils for strong	
perconducting magnets coo- led with superfluid helium	C1-807	pulsed magnetic fields	C1-915
Han (Y.S.) See Lin (L.Z.)	C1-833	He Zhenying, Wang Yi and He Lilu Realization of a	
Harvey (A.) Magnets for the Proton Storage Ring at Los		variable magnetic field source with permanent ma-	01 000
Alamos	C1-245	gnets	C1-329

Hickman (R.B.) See Hoard (R.W.)	C1-875	Horiuchi (T.) See Shimizu	C1-587
Hinderer (G.) See Nolden (F.)	C1-221	Horlitz (G.), Kaiser (H.), Knust (G.), Mess (KH.), Wolff (S.), Schmüser (P.)	
Hinderer (G.) See Trinks	C1-217	and Wiik (B.H.) Super- conducting prototype dipo- le coils for HERA	C1-255
Hirabayashi (H.) Present status of A15 compounds	C1-359	Horlitz (G.), Kaiser (H.), Knust (G.), Mess (KH.),	
Hirabayashi (H.) See Wake (M.)	C1-347	Wolff (S.), Schmüser (P.) and Wiik (B.H.) Alterna- tives and improvements for	
Hirabayashi (H.) See Yamamoto (A.)	C1-337	superconducting dipole coils for HERA	C1-259
Hiyama (T.) See Ando (T.)	C1-101	Horvath (I.), Vécsey (G.), Weymuth (P.), Zellweger	
Hiyama (T.) See Nishi (M.).	C1-131	(J.), Balsamo (E.P.), Pasotti (G.), Ricci	
Hlásnik (I.) Prospects of multifilamentary supercon- ductor AC 50 Hz applica-		(M.V.), Sacchetti (N.), Spadoni (M.), Elen (J.D.) _■ Franken (W.M.P.) and	
tions	C1-459	Roeterdink (J.A.) The forced flow high field	
Hlásnik (I.) See Neuschl	C1-413	test facility SULTAN	C1-93
Hoang Gia Ky See Dubots		Horvath (I.) See Elen (J.D.)	C1-97
(P.)	C1-467	Hoshi (A.) See Fujioka (T.)	C1-63
Hoard (R.W.), Cornish (D.N.), Scanlan (R.M.), Zbasnik (J.P.), Leber (R.L.), Hickman (R.B.) and Lee		Hoshi (A.) See Nakagawa	C1-23
(J.D.) Analytical stu- dies of advanced high-		Hoyer (E.H.) See Nelson (D.H.)	C1-957
field designs : 20-tesla large bore superconducting magnets	C1-875	Huang Ji-Ming See Fang Jun-Ren	C1-417
Hoenig (M.O.), Steeves (M.M.) and Cyders (C.J.) Nio- bium-3-tin internally coo- led cabled superconductor		Hudson (P.A.), Jones (H.) and Whitworth (H.M.) The de- velopment of centralised high field facilities at	01 25
(ICCS) technology I	C1-403	Oxford	C1-35
Hoenig (M.O.), Steeves (M.M.) and Cyders (C.J.) Niobium-3-tin internally cooled cabled superconduc- tor (ICCS) technology II.	C1~599	Hudson (P.A.), Jones (H.) and Whitworth (H.M.) A con- tinuous winding/bonding technique for the manufac- ture of multi-layer heli-	01.55
Hoffmann (H.) See Greiner	01-333	cal magnet windings	C1-55
(H.)	C1-789	Hudson (P.A.) and Jones (H.) - J _C (B,T) characterisa-	
Holtslag (A.H.M.) See ten Kate (H.H.J.)	C1-663	tion of superconducting multifilamentary Nb ₃ Sn ma- de by the ECN method	C1-391
Holzhaüser (W.) See Frenzel	C1-425	Hudson (P.A.) See Hascicek	C1-395

Huguet (M.), Last (J.R.), Pöhlchen (R.), Booth (J.A.), Cacaut (D.) and Pratt (A.P.) Assembly and commissioning of the		Iwamoto (M.) See Ogasawara (T.) Iwasa (Y.) See Leupold (M.J.).	C1-451
JET magnets	C1-121		
Hu Qing-Yong See Fang Jun-Ren	C1-417	Iwasaki (J.) See Yanagisawa	C1-771
Ichikawa (H.) See Fujioka		Jakob (B.) See Zichy (J.A.)	C1-139
(T.)	C1-885	Jandl (0.), Springmann (E.)	
Ichikawa (H.) See Itoh (S.)	C1-157	and Streibl (B.) Compa- rison of pumping limiter,	
Ikeda (M.) See Noto (K.)	C1-83	double-null and single- null divertor conditions	
Inoue (I.) See Noto (K.)	C1-83	for the ASDEX upgrade to- roidal field magnet	C1-163
Inoue (H.) See Yamamoto		Jarvis (P.) High field	
(A.)	C1-337	split pair magnet system	
Intichar (L.) and Schnapper (C.) Experimental simu-		for horizontal and verti- cal field operation	C1-803
lation of a helium cooling		Jergel (M.) See Černuško	
system for a superconduc- ting generator	C1-729	(V.)	C1-429
	01 / 13	Jergel (M.) See Neuschl	
Intichar (L.) See Breimesser (F.)	C1-671	(J.)	C1-413
	C1-0/1	Jiao Zhengkuan See Zhang	
Intichar (L.) See Lambrecht	C1-713	Qirui	C1-535
(D.)	C1=/13	Jing Bohong See Yan Luguang	C1-837
<pre>Inutake (K.) See Itoh (S.).</pre>	C1-189	Jones (H.) Peter A. Hudson	
Irie (F.), Sumiyoshi (F.),		- an appreciation	C1-39
Zhang (Q.F.), Yamafuji (K.) and Kawashima (T.) On non-uniform distribu-		Jones (H.) See Hascicek (Y.S.)	C1-395
tions of transport current		Jones (H.) See Hudson	
in multifilamentary super- conducting wires	C1-547	(P.A.)	C1-35
Itoh (S.), Hamajima (T.),		Jones (H.) See Hudson	04 55
Wachi (Y.), Miura (A.),		(P.A.)	C1-55
Naganuma (M.), Fujiwara (N.), Yamaguchi (M.),		Jones (H.) See Hudson (P.A.)	C1-391
Ohguma (H.), Shiraki (H.), Murase (S.) and Ichikawa		Kadir (B.) See Auguères	
(H.) Development of a		(J.L.)	C1-649
forced cooled D-shaped su- perconducting coil	C1-157	Kaiser (H.) See Horlitz	C1-255
Itoh (S.), Yamamoto (K.),			01-200
Masuda (K.), Sasaki (T.),		Kaiser (H.) See Horlitz	C1-259
Inutake (K.), Katanuma (I.), Yatsu (K.), Miyoshi		, 20, , 10, 10, 10, 10, 10, 10, 10, 10, 10,	01-503
(S.) and GAMMA 10 Group		Kamemura (K.) See Shimizu	C1-581
Large scale magnet system for tandem mirror GAMMA 10	C1-189	(1/10/000000000000000000000000000000000	01-301
	C1-413	Kamemura (K.) See Shimizu	C1-587
Tvan (J.) - See Neuschl (J.).	01-413	(M.)	01-30/

Kamemura (K.) See Shimizu	C1-591	Kibbe (K.) See Marston (P.G.)	C1-637
Kamitsubo (H.) See Motonaga	C1-213	Kienle (P.) See Trinks	C1-217
Katanuma (I.) See Itoh (S.)	C1-189	Killoran (N.) and Kerley	
Kato (T.) See Ando (T.)	C1-101	(N.W.) The utilization of filamentary Nb ₃ Sn su-	
Kato (T.) See Nishi (M.)	C1-131	perconductor in the pro- duction of a 15 telsa so- lenoid operating at 4.2 K	C1-87
Katrukhin (Yu.K.) See Doroshenko (A.P.)	C1-59	Kimmy (E.R.) See Ackerman (S.L.)	C1-185
Kawaguchi (T.) See Wake (M.)	C1-347	Kircher (F.) See Acerbi	C1-667
Kawashima (T.) See Irie (F.)	C1-547	Kircher (F.) See Auguères	C1-649
Kawashima (M.) See Tateishi	C1-455	Kircher (F.) See Duthil (R.)	C1-697
Kazeko (M.P.) See Alexandrov (A.S.)	C1-421	Kirsten (F.) See Smits (R.G.)	C1-653
Kellner (E.) See Trinks	C1-217	Kissler (K.H.) See Baconnier (Y.)	C1-297
Kephart (R.) See Minemura	C1-333	Klimenko (E.Yu.) See Nikulin (A.D.)	C1-407
Kerkdijk (C.B.W.) See van Driel (C.P.)	C1-775	Knoben (J.) See ten Kate (H.H.J.)	C1-659
Kerley (N.W.) See Killoran	C1-87	Knust (G.) See Horlitz (G.)	C1-255
Ketting (A.) See Pieterman		Knust (G.) See Horlitz (G.)	C1-259
(K.) Khalil (A.) Instabilities in subcooled He II chan- nels	C1-625 C1-511	Kobayashi (H.), Yasukōchi (K.) and Usami (Y.) Pro- pagation of normal zone in superconducting wire in conduit filled with the pressurized He II	
Khodzhibagiyan (H.G.) See Smirnov (A.A.)	C1-279	Köfler (H.) and Zerobin (F.)	C1-515
Khrustalev (B.P.) See Doroshenko (A.P.)	C1-59	 Experiments on the transient performance of superconducting excited 	
Khukhareva (I.S.) See		generators	C1-721
Smirnov (A.A.)	C1-279	Koizumi (K.) See Ando (T.).	C1-101
Kibbe (R.K.), Haubenreich (P.N.), Gerwig (C.H.),		Koizumi (K.) See Nishi (M.)	C1-131
Hackley (D.S.), Sanger (P.A.) and Young (J.L.) Lessons from design and		Komarek (P.) Development of superconductors for fusion	C1-111
manufacture of U.S. LCT coils	C1-125	Komarek (P.) See Marston (P.G.)	C1-637

Komatsubara (M.) See Fukuma (H.)	C1-301	Labedzki (J.) See Nolden (F.)	C1-221
Komuro (K.) See Tateishi	C1-455	Labedzki (J.) See Trinks	C1-217
Kondo (K.) See Minemura	C1-333	Lambrecht (D.), Grünewald, Liese, Weghaupt, Intichar	
Kovalenko (A.D.) See Smirnov (A.A.)	C1-279	(L.), Neumüller (H.W.) and Schnapper (C.) Progress in the development of superconducting turbogene-	
Kovaleva (V.A.) See Nikulin (A.D.)	C1-407	rators at KWU/Siemens	C1-713
Kovalski (M.) See Levy (G.)	C1-821	Lange (F.) See Frenzel (C.)	C1-425
Koyama (K.) See Ogasawara	C1-451	Langton (W.G.) See Hatch	C1-867
Koyama (K.) See Tateishi	C1-455	Langton (W.G.) See Thome (R.J.)	C1-177
Krauth (H.) See Albrecht (C.)	C1-135	Lari (R.J.) See Thompson (K.M.)	C1-229
Kruglov (V.S.) See Nikulin	01 407	Last (J.R.) See Huguet (M.)	C1-121
(A.D.)	C1-407	Le Bars (J.) See Desportes (H.)	C1-341
Kubo (Ta.) See Egawa (K.)	C1-241	Leber (R.L.) See Hoard	02 0.2
Kubota (Y.) See Ogasawara	C1-451	(R.W.)	C1-875
Kulikov (Yu.V.) See Smirnov (A.A.)	C1-279	Lebrun (Ph.) Design of the dipole magnets for orbit correction in LEP	C1-305
Kulysov (N.A.) See Altov (V.A.)	C1-529	Lee (J.D.) See Hoard (R.W.)	C1-875
Kumagai (N.) See Egawa (K.)	C1-241	Lee (K.L.) See Materna (P.)	C1-181
Kumagai (N.) See Fukuma	C1-301	Leupold (M.J.) Recent pro- gress in high field sys- tems	C1-9
Kuno (K.) See Wake (M.)	C1-347	Leupold (M.J.), Iwasa (Y.)	
Kuryatnikov (B.K.) See Smirnov (A.A.)	C1-279	and Weggel (R.J.) 32 tesla hybrid magnet system	C1-41
Kuryatnikov (E.K.) See Smirnov (A.A.)	C1-279	Levy (G.), Buhler (S.), Kovalski (M.) and Liebe	
Kuzichev (V.N.) See Smirnov (A.A.)	C1-279	(A.) Superconducting so- lenoids for nuclear phy- sics at Orsay	C1-821
Kwasnitza (K.) See Barbisch (B.J.)	C1-561	Li (K.W.) See Han (S.)	C1-807
Kwasnitza (K.) See Bruzzone (P.)	C1-483	Li (X.L.) See Lin (L.Z.) Libin (J.F.) see Barré (M.)	C1-833
Kwasnitza (K.) See Salathé (D.)	C1-489	Li Chengren See Zhou Lian.	C1-437

Li Da-Rong See Fang Jun-Ren	C1-417	Mailfert (A.), Rezzoug (A.)	
Liebe (A.) See Levy (G.)	C1-821	and Manfe (P.) Supersa- turated synchronous machi- ne description and modeli-	
Liese See Lambrecht (D.)	C1-713	sation	C1-725
Lieurance (D.W.) See Ackerman (S.L.)	C1-185	Maix (R.K.) See Merck (W.F.H.)	C1-595
Li Guangsui See Yan Luguang	C1-841	Maix (R.K.) See Zichy (J.A.)	C1-139
Li Huidong See Yan Luguang.	C1-837	Makarov (L.G.) See Smirnov	01-103
Lin (C.Y.) See Han (S.)	C1-807	(A.A.)	C1-279
Lin (L.Z.), Wang (Z.K.), Chen (H.S.), Han (Y.S.) and Li (X.L.) A cryogenically		Makarov (L.G.) See Vassilev (P.G.)	C1-845
stable superconducting ma- gnet	C1-833	Makiura (T.) See Ogasawara (T.)	C1-451
Li Su Su See Fang Guo Sheng	C1-827	Malafeeva (0.V.) See Nikulin (A.D.)	C1-407
Lobanov (V.I.) See Vassilev (P.G.)	C1-845	Manfe (P.) See Mailfert (A.)	C1-725
Long Ao See Dael (A.)	C1-293	Mann (T.L.) See Ackerman (S.L.)	C1-185
Lottin (J.C.) See Duthil (R.)	C1-697	Mann (W.R.) See Hatch	
Lottin (J.C.) See Seyfert (P.)	C1-633	Mann (W.R.). – See Thome	C1-867
Lovisetto (L.) See Andreani (R.)	C1-153	(R.J.)	C1-177
Lutts (A.) See Charles (J.)	C1-619	(L.), Pasotti (G.), Ricci (M.V.) and Vécsey (G.)	
Lvovsky (Yu.M.) See Altov (V.A.)	C1-529	Force distributions and stress analysis of the INTOR-CH superconducting	
Maan (J.C.), Schneider Muntau (HJ.) and Dorelon (A.)		coil	C1-901
Calibration of high magne- tic fields using free electron cyclotron reso-		Marinucci (C.) See Zichy (J.A.)	C1-139
nance in a plasma	C1-961	Marquez (J.) See Sultanem (F.)	C1-67
Machajdík (D.) See Černuško (V.)	C1-429	Marsing (H.) See Albrecht (C.)	C1-607
Maene (N.) See Cornelis	C1-525	Marston (P.G.), Desportes (H.), Morpurgo (M.),	
Ma Hongda See Yan Luguang	C1-837	Komarek (P.), Van Hulst (K.), Hackley (D.), Young	
Ma Hongda See Yan Luguang	C1-841	(J.L.) and Kibbe (K.) Magnet failure workshop	C1-637
Mahtani (J.L.) and Rhodes (R.G.) Electrodynamic force characteristics of		Marston (P.G.) See Becker (H.)	C1-603
the split-track MAGLEV system	C1-747	Marston (P.G.) See Becker	C1 615
-3	01-1-41	(H.)	C1-615

Marston (P.G.) See Hatch (A.M.) Marty (P.) and Delage (D.) The behaviour of induction coils in the high frequen- cy range	C1-867 C1-933	Minemura (H.), Mori (S.), Yoshizaki (R.), Kondo (K.), Fast (R.), Kephart (R.), Wands (R.) and Yamada (R.) Fabrication of a 3 m ø x 5 m supercon- ducting solenoid for the	
Masuda (K.) See Itoh (S.)	C1-189	Fermilab Collider Detector Facility	C1-333
Materna (P.), Heitzenroeder (P.) and Lee (K.L.) Coil design for Heliac, a heli-		Mitwalsky (A.) See Trinks	C1-217
cal axis stellarator	C1-181	Miura (A.) See Itoh (S.)	C1-157
Maurer (A.) Stress analysis of the Euratom LCT case and winding as a contact		Miura (S.) See Fujioka	C1-63
problem	C1-897	Miura (S.) See Nakagawa	C1-23
Mayer (W.J.) and Meins (J.) The use of electromagnets and permanent magnets in magnetic levitation tech-		Miyazaki (H.) See Shimizu	C1-581
nology	C1-739	Miyazaki (H.) See Shimizu	C1-587
Medkov (V.V.) See Nikulin (A.D.)	C1-407	Miyazaki (H.) See Shimizu	C1-591
Meins (J.) See Mayer (W.J.)	C1-739	Miyoshi (S.) See Itoh (S.).	C1-189
Merck (W.F.H.), Roman (Th.), Rauch (J.), Violi (E.) and Maix (R.K.) The liquid nitrogen cooled magnet for the Eindhoven MHD blow down facility	C1 - 595	Momota (H.) See Ogasawara (T.) Montanari (I.) and Negrini (F.) Calculus of the electromagnetic parameters	C1-451
Mess (KH.) See Horlitz	C1-255	in a tokamak	C1-909
Mess (KH.) See Horlitz	C1-259	Montgomery (D.B.), Schultz (O.H.) and Thome (R.J.) Alcator DCT magnetic sys-	04 140
Meuris (C.) Thermal stabi-		tems design	C1-149
lity of superconductors	C1-503	Morel (B.) See Girard (P.).	C1-861
Meuris (C.) See Desportes (H.)	C1-341	Mori (S.) See Minemura (H.) Mori (N.) See Sumiyoshi	C1-333
Meuser (R.) See Hassenzahl	C1-271	(F.)	C1-383 C1-587
Middelkoop (W.C.) See Baconnier (Y.)	C1-297	Morita (Y.) See Shimizu	C1-591
Miki (N.) See Shimizu (M.).	C1-581	•	01-331
Miki (N.) See Shimizu (M.).	C1-587	Morpurgo (M.) See Marston (P.G.)	C1-637

Motonaga (S.), Takebe (H.), Goto (A.), Yano (Y.), Wada (T.) and Kamitsubo (H.)		Neuringer (L.J.) See Williams (J.E.C.)	C1-691
Sector magnet for the RIKEN SSC	C1-213	Neuschl (J.), Synak (D.), Jergel (M.), Hlásnik (I.) and Ivan (J.) Influence	
Mukherjee (S.B.) See Brossmann (U.B.)	C1-927	of Nb _u O suboxides in the substrate upon properties of Nb ₃ Sn tape superconduc-	
Mulder (G.B.J.) See de Reuver (J.L.)	C1-479	tor	C1-413
Murase (S.) See Itoh (S.)	C1-157	Neyret (G.) See Genevey	C1-817
Muto (Y.) See Nakagawa (Y.)	C1-23	Nikitaev (P.I.) See Smirnov	C1-279
Muto (Y.) See Noto (K.)	C1-83	(A.A.) Nikulin (A.D.), Shikov	01-2/3
Myron (H.W.) See van Kleef (R.P.A.R.)	C1-763	(A.K.), Skvortsov (A.I.), Sergeev (V.S.), Davydov (I.I.), Kovaleva (V.A.),	
Myznikov (K.P.) See Andreyev (N.I.)	C1-249	Klimenko (E.Yu.), Kruglov (V.S.), Malafeeva (O.V.)	
Naganuma (M.) See Itoh (S.)	C1-157	and Medkov (V.V.) Compo- sition, structure and cur- rent carrying capacity of	
Nakagawa (Y.), Noto (K.), Hoshi (A.), Miura (S.), Watanabe (K.) and Muto		Nb ₃ Sn phase in multifila- ment superconductors	C1-407
(Y.) Hybrid magnet pro- ject at Tohoku University.	C1-23	Nishi (M.), Ando (T.), Hiyama (T.), Tsuji (H.), Takahashi (Y.), Okuno	
Nakagawa (Y.) See Fujioka	C1-63	(K.), Yoshida (K.), Tada (E.), Koizumi (K.), Kato	
Nakajima (H.) See Ando (T.)	C1-101	(T.), Nakajima (H.), Takahashi (O.), Oshikiri	
Nakajima (H.) See Nishi (M.)	C1-131	(M.), Shimamoto (S.) and Yasukochi (K.) Stability test result of the japane-	
Nakayama (Y.) See Shimizu	C1-581	se test coil for the large coil task at the domestic test	C1-131
Nakayama (Y.) See Shimizu	C1-591	Nishi (M.) See Ando (T.)	C1-101
Negrini (F.) See Montanari	C1-909	Nolden (F.), Hinderer (G.), Labedzki (J.), Trinks (U.) and Zech (E.) Supercon-	
Nelson (D.H.), Green (M.I.), Halbach (K.) and Hoyer		ducting channel magnets without stray fields	C1-221
(E.H.) Magnetic measure- ments for tuning and ope-		Nolden (F.) See Trinks (U.)	C1-217
rating a hybrid wiggler	C1-957	Noto (K.), Watanabe (K.), Muto (Y.), Ikeda (M.),	
Nelson (D.H.) See Green (M.I.)	C1-943	Tanaka (Y.), Inoue (I.) and Ban (M.) A 50 mm	
Neumüller (H.W.) See Albrecht (C.)	C1-607	bore, 13 tesla superconducting magnet employing a prereacted multifilamenta-	C1-83
Neumüller (H.W.) See Lambrecht (D.)	C1-713	ry Nb ₃ Sn conductor	
		Noto (K.) See Nakagawa (Y.)	C1-23

Nourbakhsh (S.) See Hascicek (Y.S.)	C1-395	Pagano (0.), Rohmig (P.), Walckiers (L.) and Wyss	
Nozières (Ph.) The earth magnetic field: an unstable dynamo	C1-3	(C.) A highly automated measuring system for the LEP magnetic lenses	C1-949
Nyilas (A.) See Albrecht (C.)	C1-135	Paillard (G.) See Baconnier (Y.)	C1-297
Nyilas (A.) See Turowski	C1-399	Palanque (S.) See Duthil (R.)	C1-697
Ogasawara (T.) High ramp rate superconducting pul-		Palladino (L.) See Marinucci (C.)	C1-901
sed magnets	C1-443	Papp (K.) See Eriksson (T.)	C1-675
Ogasawara (T.), Yasukochi (K.), Kubota (Y.), Makiura (T.), Momota (H.), Sato		Paquien (L.) See Brunet	C1-709
(K.I.), Yamada (S.), Satow (T.), Iwamoto (M.), Toyoda (K.), Koyama (K.), Onishi (T.), Tsukamoto (O.) and		Parker (M.R.) Use of super- conducting magnets in ma- gnetic separation	C1-753
Yoda (T.) Superconduc- ting poloidal coils for the reacting plasma pro-		Parker (M.R.) See van Kleef (R.P.A.R.)	C1-763
<pre>ject - performance test of a model coil at a pulsing rate of about 200 T/s</pre>	C1-451	Parmer (J.F.) See Beuligmann (R.F.)	C1-569
Ohayon (M.) See Barré (M.).	C1-195	Pasotti (G.) See Elen (J.D.)	C1-97
Ohguma (H.) See Itoh (S.)	C1-157	Pasotti (G.) See Horvath	01 00
Okuno (K.) See Ando (T.)	C1-101	(I.)	C1-93
Okuno (K.) See Nishi (M.)	C1-131	Pasotti (G.) See Marinucci	C1-901
Olzi (E.) See Asdente (M.).	C1-499	Pasztor (G.) See Elen	C1-97
Olzi (E.) See Rondelli (G.)	C1-433	Patoux (A.) See Auzolle	01-37
Onishi (T.) See Ogasawara	C1-451	(R.)	C1-263
Onishi (T.) See Tateishi (H.)	C1-455	Paul (R.J.A.) See Asher (G.M.)	C1-733
Ortega (J.M.) See Bazin	C1-317	Pauthenet (R.) New perma- nent magnet devices	C1-285
Oshikiri (M.) See Ando (T.)	C1-101	Pearce (D.) See Reiniger	C1-225
Oshikiri (M.) See Nishi	C1-131	Peng Wenan See Zhang Xudong	C1-611
		Perot (J.) See Auzolle (R.)	C1-263
Otter (A.J.) Magnet instal- lations for high radiation areas at TRIUMF	C1-309	Pieterman (K.), Ketting (A.) and Geerse (J.Ch.) Fer- romagnetic traces in aus-	
Ottoboni (V.) See Asdente	C1-499	tenitic stainless steels at 4.2 K	C1-625

Pillsbury Jr. (R.D.) See Thome (R.J.) Pillsbury Jr. (R.D.) See	C1-177	Rem (P.C.), van Beckum (F.P.H.), Dijkstra (D.) and van de Klundert (L.J.M.) A contribution	
Williams (J.E.C.) Pillsticker (M.) and Werner (F.) The ASDEX upgrade	C1-691	to the understanding of A.C. losses in multifila- mentary wires	C1-471
poloidal field coils Piskunov (A.N.) See	C1-171	Renard (J.C.) See Dubots (P.)	C1-467
Cheremnykh (P.A.)	C1-793	Reschetnikov (G.P.) See Vassilev (P.G.)	C1-845
Pizutto (A.) See Andreani (R.)	C1-153	Resegotti (L.) The LEP ma- gnet system	C1-233
Pöhlchen (R.) See Huguet	C1-121	de Reuver (J.L.), Mulder (G.B.J.) and van de	
Polak (M.) and Gentile (D.) Field, temperature and an- gular dependence of elec- tric-field transport cur-		Klundert (L.J.M.) a.c. transport current losses in transverse and longitu- dinal d.c. fields	C1-479
rent characteristics of NbTi supraconductors Poole (M.W.), Bennett (R.J.)	C1-541	de Reuver (J.L.), Steffens (H.A.) and van de Klundert (L.J.M.) A D.C. quadru-	
and Walker (R.P.) A wig- gler magnet for the UK		pole 7T test facility	C1-813
free electron laser pro- ject	C1-325	Rezzoug (A.) See Mailfert	C1-725
Poole (M.W.) See Walker (R.P.)	C1-321	Rhodes (R.G.) See Mahtani (J.L.)	C1-747
Poppinger (M.) See Breimesser (F.)	C1-671	Ricci (M.V.) See Elen	C1-97
Postel (C.) See Sultanem (F.)	C1-67	Ricci (M.V.) See Horvath	C1-93
Pratt (A.P.) See Huguet	C1 - 121	Ricci (M.V.) See Marinucci (C.)	C1-901
Punchard (W.F.B.) See Williams (J.E.C.)	C1-691	Richards (R.) Medical ap- plications of NMR	C1-681
Rauch (J.) See Merck (W.F.H.)	C1-595	Rifflet (J.M.) See Auzolle	C1-263
Rauch (J.) See Zichy (J.A.)	C1-139	Righetto (G.B.) See Andreani (R.)	C1 - 153
Reeve (P.A.) See Zellweger	C1-351	Rios (P.A.) Present status of superconducting ac generators	C1 702
Reiniger (K.), Baumann (H.), Dohan (D.) and Pearce (D.) Stability improvements in the TRIUMF cyclotron		Roeterdink (J.A.). See Elen	C1-703
magnetic field to ± 0.7	C1-225	Roeterdink (J.A.) See Horvath (I.)	C1-93

Rogers (J.D.). See Boenig	C1-575	Sato (Y.) See Fujioka (T.).	C1-63
Rohmig (P.) See Pagano (0.)	C1-949	Sato (K.I.) See Ogasawara	C1-451
Roman (Th.) See Merck	C1-595	Satow (T.) See Ogasawara	C1-451
Rondelli (G.), Olzi (E.),		Satow (T.) See Wake (M.)	C1-347
Turisini (G.P.) and Ferdeghini (C.) Super- conducting properties of		Sauret (J.) See Barré (M.).	C1-195
Nb-Ti-Ta cables with dif- ferent chemical composi- tions	C1-433	Sauzade (M.) Panel on ma- gnets for nuclear magnetic resonance medical applica- tions	C1-695
Ross (R.R.) See Smits	01 550	Sazonov (N.M.) See Smirnov	
(R.G.)	C1-653	(A.A.)	C1-279
Rossi (L.) See Acerbi (E.). Sabonnadière (J.C.) See	C1-667	Scanlan (R.M.) See Hoard (R.W.)	C1-875
Girard (P.)	C1-861	Schelaev (I.A.) See	
Sabrié (J.L.) Feasibility		Vassilev (P.G.)	C1-845
of large A.C. superconducting equipment	C1-717	Schermer (R.I.) See Boenig (H.J.)	C1-575
Sabrié (J.L.) See Brunet (Y.)	C1-709	Schmidt (J.) See Gerhold	C1-785
Sacchetti (N.) See Elen (J.D.)	C1-97	Schmüser (P.) See Daum (C.)	C1-267
Sacchetti (N.) See Horvath	C1-93	Schmüser (P.) See Horlitz	C1-255
Sagniez (A.) See Genevey	C1-817	Schmüser (P.) See Horlitz (G.)	C1-259
Salathé (D.) and Kwasnitza	01-017	Schnapper (C.) See Breimesser (F.)	C1-671
(K.) Dependence of the AC losses of Nb ₃ Sn multi- filament superconductors		Schnapper (C.) See Intichar	C1-729
on their structural pro-	C1-489	Schnapper (C.) See	
Salz (P.) See Smits (R.G.).	C1-653	Lambrecht (D.)	C1-713
		Schneider (U.) See Trinks	C1-217
Salzburger (H.) See Albrecht (C.)	C1-135	Schneider Muntau (HJ.)	01-21/
Samsonov (E.V.) See Vorozhtsov (S.B.)	C1-893	New concepts in the design of high field systems	C1-15
Sanger (P.A.) See Kibbe (R.K.)	C1-125	Schneider Muntau (HJ.) See Maan (J.C.)	C1-961
Sanger (P.A.) See Turowski	C1-399	Schott (W.) See Trinks (U.)	C1-217
Sasaki (T.) See Itoh (S.)	C1-189	Schultz (O.H.) See Montgomery (D.B.)	C1-149

Sergeev (V.S.) See Nikulin (A.D.). Seyfert (P.) and Lottin (J.C.) Evaluation of experience with superconducting magnets operated at 1.8 K	Segal (H.R.) See Williams (J.E.C.)	C1-691 C1-475	Shimizu (M.), Morita (Y.), Yukimatsu (Y.), Tomozawa (T.), Tanabe (Y.), Takeda (N.), Miyazaki (H.), Kamemura (K.), Yamamoto (M.), Uchida (T.), Nakayama (Y.) and Yokota (T.) Feasibility study of a 10-GWh toroidal su- perconductive magnetic energy storage sytem. 3.	
Seyfert (P.) and Lottin (J.C.) Evaluation of experience with superconducting magnets operated at 1.8 K Shi Feng-Ming See Fang Jun-Ren C1-633 Shikov (A.K.) See Nikulin (A.D.) C1-417 Shimamoto (S.) See Ando (T.) Shimamoto (S.) See Ando (T.) Shimamoto (S.) See Nishi (M.) C1-131 Shimamoto (S.) See Nishi (M.) Shimamoto (S.) See Nishi (M.) C1-407 Simkin (J.) Recent developments in field and force computation C1-851 Shiger (J.R.) See Green (M.A.) Singer (J.R.) See Young (J.L.) C1-685 Skvortsov (A.I.) See Nikulin (A.D.) Smirnov (A.A.). Baldin (A.M.), Donyagin (A:M.), D'yachkov (E.I.), Eliseeva (I.A.), Khodzhibagiyan (H.G.), Khukhareva (I.S.), Kovalenko (A.D.), Kullikov (Yu.V.), Kuryatnikov (B.K.), Kuryatnikov (B.K.)	(J.L.)	C1-649	Conceptual design of rock	C1-591
Doroshenko (A.P.) C1-59		C1-407		C1-157
C1-633 C1-63 C1-633 C1-633 C1-633 C1-633 C1-633 C1-631 C1-631 C1-6407 C1-6407 C1-6407 C1-145 C1-147 C1-145 C1-145 C1-145 C1-147 C1-145 C1-145 C1-145 C1-145 C1-145 C1-145 C1-145 C1-145 C1-147 C1-145 C1-147 C1-1	(J.C.) Evaluation of ex-		Doroshenko (A.P.)	C1-59
Shi Feng-Ming See Fang Jun-Ren		C1-633	(C.P.)	C1-775
Shimamoto (S.) See Ando (T.)		C1-417	ments in field and force	C1-851
Shimamoto (S.) See Nishi (M.)		C1-407		C1-685
Shimamoto (S.) See Nishi (M.)	A A	C1-101	(J.L.)	C1-145
Shimizu (M.), Tanabe (Y.), Yoshioka (T.), Takeda (K.), Hamajima (T.), Miki (N.), Nakayama (Y.), Udo (M.), Takeda (N.), Miyazaki (H.), Kamemura (K.) and Yamamoto (M.) Feasibility study of a 10-GWh toroidal superconductive magnetic energy storage system. 1. System design	A company of the comp	C1-131	Nikulin (A.D.)	C1-407
Morita (Y.), Tanabe (Y.), Hamajima (T.), Fujiwara (N.), Miki (N.), Yamaguchi (M.), Horiuchi (T.), Takeda (N.), Miyazaki (H.) and Kamemura (K.).— Feasibility study of a 10-GWh toroidal superconductive magnetic energy storage system. 2. Concep- Tanabe (Y.), Smitrov (A.A.).— See Vassilev (P.G.)	Yoshioka (T.), Takeda (K.), Hamajima (T.), Miki (N.), Nakayama (Y.), Udo (M.), Takeda (N.), Miyazaki (H.), Kamemura (K.) and Yamamoto (M.) Feasibility study of a 10-GWh toroidal superconductive magnetic energy storage system. 1. System	C1-581	(A.M.), Donyagin (A:M.), D'yachkov (E.I.), Eliseeva (I.A.), Khodzhibagiyan (H.G.), Khukhareva (I.S.), Kovalenko (A.D.), Kulikov (Yu.V.), Kuryatnikov (B.K.), Kuryatnikov (E.K.), Kuzichev (V.N.), Makarov (L.G.), Nikitaev (P.I.), Sazonov (N.M.), Voevodin (M.A.), Zel'dovich (A.G.) and	
(N.), Miki (N.), Yamaguchi (M.), Horiuchi (T.), Takeda (N.), Miyazaki (H.) and Kamemura (K.) Feasibility study of a 10-GWh toroidal superconductive magnetic energy storage system. 2. Concep- (N.), Miki (N.), Yamaguchi Vassilev (P.G.)	Morita (Y.), Tanabe (Y.),		superconducting dipole ma- gnet for the nuclotron	C1-279
	(N.), Miki (N.), Yamaguchi (M.), Horiuchi (T.), Takeda (N.), Miyazaki (H.) and Kamemura (K.) Feasibility study of a 10-GWh toroidal superconductive magnetic energy storage system. 2. Concep-	C1-587	Vassilev (P.G.) Smits (R.G.), Eberhard (P.H.), Gibson (G.H.), Green (M.A.), Kirsten (F.), Ross (R.R.), Salz (P.) and Taylor (J.D.)	C1-845

Smolic (E.) See Trinks (U.)	C1-217	Surma (M.) Pulsed magnetic	
Song (S.S.) See Han (S.)	C1-807	field hybrid system at the A. Mickiewicz University	C1-45
Song Shengnian See Zhang Qirui	C1-535	Suzawa (C.) See Tateishi	C1-455
Spadoni (M.) See Elen (J.D.)	C1-97	Synak (D.) See Neuschl (J.)	C1-413
Spadoni (M.) See Horvath	C1-93	Sytchev (V.V.) See Altov (V.A.)	C1-529
Specking (W.) and Flükiger (R.) A compact 5 kN-test		Sytnik (V.V.) See Andreyev (N.I.)	C1-249
facility for superconduc- ting conductors carrying up to 1.5 kA in magnetic		Tabarsi (D.) See Seibt (E.W.)	C1-475
fields up to 14 T	C1-79	Tada (E.) See Ando (T.)	C1-101
Springmann (E.) See Jandl (0.)	C1-163	Tada (E.) See Nishi (M.)	C1-131
Steeves (M.M.) See Hoenig (M.O.)	C1-403	Takahashi (0.) See Ando (T.) Takahashi (0.) See Nishi	C1-101
Steeves (M.M.) See Hoenig (M.O.)	C1-599	(M.)	C1-131
Steffens (H.A.) See de Reuver (J.L.)	C1-813	Takahashi (Y.) See Nishi	C1-101
Steffens (H.A.) See ten Kate (H.H.J.)	C1-659	(M.)	C1-131
Stella (A.) See Eriksson (T.)	C1-675	Takasaki (M.) See Wake (M.) Takebe (H.) See Motonaga	C1-347
Stocker (K.) See van Sciver (S.W.)	C1-519	Takeda (K.) See Shimizu	C1-213
Streibl (B.) See Jandl	C1-163	Takeda (N.) See Shimizu	C1-581
Sultanem (F.), Bleijs (C.A.),	01-103	(M.)	C1-581
Postel (C.), Askenazy (S.) and Marquez (J.) An iron free asynchronous pulsed		Takeda (N.) See Shimizu (M.)	C1-587
generator for the production of pulsed high magnetic fields	C1-67	Takeda (N.) See Shimizu	C1-591
Sumiyoshi (F.), Funaki (K.), Akenaga (Y.), Chikaba		Takeuchi (Y.) See Egawa (K.)	C1-241
(J.), Mori (N.) and Yamafuji (K.) New multi- filamentary superconduc-		Takeuchi (Y.) See Fukuma (H.)	C1-301
ting wires with filament of Nb ₃ Sn in situ wires	C1-383	Tanabe (M.) See Fujioka	C1-63
Sumiyoshi (F.) See Irie	C1-547	Tanabe (Y.) See Shimizu	C1-581

Tanabe (Y.) See Shimizu	C1-587	Thome (R.J.) See Hatch (A.M.)	C1-867
Tanabe (Y.) See Shimizu	C1-591	Thome (R.J.) See Montgomery (D.B.)	C1-149
Tanaka (Y.) See Noto (K.)	C1-83	Thompson (K.M.) An interac-	
Tarakanov (N.M.) See Andreyev (N.I.)	C1-249	tive computer program for the design and costing of magnets	C1-871
Tarnovská (M.) See Černuško	C1-429	Thompson (K.M.), Lari (R.J.) and Wehrle (R.B.) Field properties of a three or-	
Tarrh (J.M.) See Becker (H.)	C1-603	bit prototype sector ma- gnet for the 4 GeV CW electron microtron	C1-229
Tateishi (H.), Onishi (T.), Komuro (K.), Koyama (K.), Kawashima (M.) and Suzawa (C.) Development and		Thöner (M.) See Turowski	C1-399
test results of a 4MJ-class pulsed supercon-		Tiez (P.) See Eriksson (T.)	C1-675
ducting magnet	C1-455	Tomozawa (T.) See Shimizu	
Tatro (R.E.) See Beuligmann (R.F.)	C1-569	(M.)	C1-591
Taylor (T.M.) and		Tortschanoff (T.) See Taylor (T.M.)	C1-313
Tortschanoff (T.) Design of the LEP main ring wig-glers	C1-313	Toyoda (K.) See Ogasawara	C1-451
Taylor (C.) See Hassenzahl	C1-271	Trinks (U.), Czech (W.),	
Taylor (D.G.) See Walker	01-271	Hinderer (G.), Kellner (E.), Kienle (P.),	
(R.P.)	C1-321	Labedzki (J.), Mitwalsky (A.), Nolden (F.),	
Taylor (J.D.) See Smits (R.G.)	C1-653	Schneider (U.), Schott (W.), Smolic (E.), Wiedemann (W.) and	
Ten Kate (H.H.J.), Holtslag (A.H.M.) and van de		Dustmann (C.H.) A proto- type coil for the super- conducting separated sec-	
Klundert (L.J.M.) Quench simulation and protection		tor cyclotron SuSe	C1-217
system of high current su- perconducting rectifiers	C1-663	Trinks (U.) See Nolden (F.)	C1-221
Ten Kate (H.H.J.), Knoben		Trojnar (K.) and Borkowski (A.) Some solutions in	
(J.), Steffens (H.A.) and van de Klundert (L.J.M.)		the construction problems of high power electroma-	
A 25 kA, 0.5 kW thermally switched superconducting rectifier	C1 (F0	gnets	C1-49
	C1-659	Trojnar (K.) See Doroshenko (A.P.)	C1-59
Thome (R.J.), Pillsbury Jr. (R.D.), Mann (W.R.) and Langton (W.G.) Effecti-		Tsuji (H.) See Ando (T.)	C1-101
veness contour method for evaluating coil locations		Tsuji (H.) See Nishi (M.)	C1-131
for passive and active plasma stabilization	C1-177	Tsukamoto (0.) See Ogasawara (T.)	C1-451

Turck (B.) See Genevey (P.)	C1-817	Van Sciver (S.W.) and Stocker (K.) Stability studies	
Turisini (G.P.) See Rondelli (G.)	C1-433	of cabled conductors in He I and He II	C1-519
Turowski (D \ Nvilse (A \		M. 19.	
Turowski (P.), Nyilas (A.), Thöner (M.) and Sanger (P.A.) Development of		Vasiliev (A.A.) See Smirnov (A.A.)	C1-279
internally strengthened		Vasiliev (L.M.) See	
prereacted Nb ₂ Sn supercon-		Andreyev (N.I.)	C1-249
ductors	C1-399		01-243
		Vasiliev (V.A.) See	
Uchida (T.) See Shimizu		Andreyev (N.I.)	C1-249
(M.)	C1-591	Venetime (D.O.) D.	
Uchiyama (T.) See Fujioka		Vassilev (P.G.), Donyagin	
(T.)	C1-885	(A.M.), Eliseeva (I.A.), Lobanov (V.I.), Makarov	
(1 * / * * * * * * * * * * * * * * * * *	C1-005	(L.G.), Reschetnikov	
Udo (M.) See Shimizu (M.)	C1-581	(G.P.), Smirnov (A.A.) and	
	02 002	Schelaev (I.A.) Field	
Ulbricht (A.) See Albrecht		nonhomogeneity measure-	
(C.)	C1-135	ments at pulsed heating of	
		the superconducting magnet	01 045
Usami (Y.) See Kobayashi	01 515	winding	C1-845
(H.)	C1-515	Vécsey (G.) Superconducting	
Vallier (J.C.) See		coil instrumentation	C1-643
Faure-Brac (G.)	C1-75		01 040
(200)		Vécsey (G.) See Elen (J.D.)	C1-97
Van Beckum (F.P.H.) See Rem			
(P.C.)	C1-471	Vécsey (G.) See Horvath	
		(I.)	C1-93
Van de Klundert (L.J.M.)	C1-471	Vécsey (G.) See Marinucci	
See Rem (P.C.)	C1-4/1	(C.)	C1-901
Van de Klundert (L.J.M.)		(00)	01-301
See de Reuver (J.L.)	C1-479	Vécsey (G.) See Zellweger	
		(J.)	C1-351
Van de Klundert (L.J.M.)		1/2	
See de Reuver (J.L.)	C1-813	Vécsey (G.) See Zichy (J.A.)	C1 120
Man de Klambank /I 1 M \		(U.A.)	C1-139
Van de Klundert (L.J.M.) See ten Kate (H.H.J.)	C1-659	Violi (E.) See Merck	
See ten kate (n.n.o.)	01-000	(W.F.H.)	C1-595
Van de Klundert (L.J.M.)			
See ten Kate (H.H.J.)	C1-663	Voevodin (M.A.) See Smirnov	
		(A.A.)	C1-279
Van den Bosch (A.) See	01 505	Vanathtany (C.D.) Dudanova	
Cornelis (J.)	C1-525	Vorozhtsov (S.B.), Dudareva (T.N.), Zaplatin (N.L.)	
Van Driel (C.P.), Sikkenga		and Samsonov (E.V.) Com-	
(J.) and Kerkdijk (C.B.W.)		puter studies of the field	
Coal cleaning by high		for the superconducting	
gradient magnetic separa-		magnetic system of the	01 000
tion	C1-775	deuteron cyclotron DC-1	C1-893
		de Vos (G.) See Herlach	
Van Hulst (K.) See Marston	C1-637	(F.)	C1-915
(P.G.)	01-007	(, 0, 0 0 0 0 0 0 0 0 0 0 0 0 0 0 0 0 0	
Van Kleef (R.P.A.R.), Myron		Vota (T.L.) See Young	04. 4.1.
(H.W.), Wyder (P.) and		(J.L.)	C1-145
Parker (M.R.) Continuous		Wachi (Y.) See Itoh (S.)	C1-157
flow separation, an appli-		Macili (1.7 See Itoli (3.7	01 107
cation of selective magne-	C1-763	Wada (T.) See Motonaga (S.)	C1-213

Wake (M.), Takasaki (M.), Hirabayashi (H.), Satow (T.), Asai (O.), Kuno		Wehrle (R.B.) See Thompson (K.M.)	C1-229
(K.), Kawaguchi (T.) and Fukuzuka (M.) Construc- tion and testing of		Wendling (P.) See Girard (P.)	C1-861
bobbin-less superconduc- ting solenoid magnet	C1-347	Werner (F.) See Pillsticker (M.)	C1-171
Wakefield (K.E.) Systems engineering approach to the design of magnets for		Weymuth (P.) See Elen (J.D.)	C1-97
fusion devices	C1-107	Weymuth (P.) See Horvath	C1-93
Walckiers (L.) See Pagano (0.)	C1-949	White (K.) See Good (J.A.).	C1-759
Walker (R.P.), Poole (M.W.) and Taylor (D.G.) Deve- lopment of an undulator		Whitworth (H.M.) See Hudson (P.A.)	C1-35
magnet for the Daresbury synchroton radiation source	C1-321	Whitworth (H.M.) See Hudson (P.A.)	C1-55
Walker (R.P.) See Poole (M.W.)	C1-325	Wiedemann (W.) See Trinks	C1-217
Walter (HCh.) See Zellweger (J.)	C1-351	Wiik (B.H.) See Horlitz	C1-255
Wands (R.) See Minemura (H.)	C1-333	Wiik (B.H.) See Horlitz	C1-259
Wang (Z.K.) See Lin (L.Z.).	C1-833	Williams (J.E.C.), Punchard (W.F.B.), Bobrov (E:S.),	
Wang Keguang See Zhou Lian.	C1-437	Pillsbury Jr. (R.D.), Weggel (R.J.), Neuringer	
Wang Silian See Yan Luguang	C1-837	(L.J.), Haberkorn (R.) and Segal (H.R.) NMR ma-	C1 601
Wang Silian See Yan Luguang	C1-841	gnet design for imaging	C1-691
Wang Yi See He Zhenying	C1-329	Williams (J.T.) See Asher (G.M.)	C1-733
Warman (A.) See Baconnier	C1-297	Witters (J.) See Herlach	C1-915
Watanabe (K.) See Nakagawa	C1-23	Wolff (S.) See Horlitz	
Watanabe (K.) See Noto (K.)	C1-83	(G.)	C1-255
Weggel (R.J.) Optimum par- tition of power to maximi-	44 004	Wolff (S.) See Horlitz	C1-259
ze field of magnet systems	C1-881	Wu Xiaozu See Zhou Lian	C1-437
Weggel (R.J.) See Leupold (M.J.)	C1-41	Wyder (P.) See van Kleef (R.P.A.R.)	C1-763
Weggel (R.J.) See Williams (J.E.C.)	C1-691	Wyss (C.) See Pagano (O.)	C1-949
Weghaupt See Lambrecht (D.)	C1-713	Xiao Ai-Ying See Fang Jun-Ren	C1-417

Xiong Shougao See Zhang Xudong	C1-611	Yan Luguang, Yu Yunjia, Ye Zuxian, Jing Bohong, Li	
Yamada (R.) See Minemura	C1-333	Huidong, Wang Silian, Yi Changlian, Chen Haoshu and Ma Hongda Experiences in	
Yamada (S.) See Ogasawara	C1-451	developing the high cur- rent density wax-filled superconducting saddle ma-	
Yamafuji (K.) See Irie (F.)	C1-547	gnets	C1-837
Yamafuji (K.) See Sumiyoshi		Yano (Y.) See Motonaga (S.)	C1-213
(F.)	C1-383	Yasukochi (K.) See Ando	C1-101
Yamaguchi (M.) See Itoh	C1-157	Yasukochi (K.) See	
Yamaguchi (M.) See Shimizu (M.)	C1-587	Kobayashi (H.)	C1-515
Yamamoto (A.), Inoue (H.) and	01 007	Yasukochi (K.) See Nishi (M.)	C1-131
Hirabayashi (H.) A thin superconducting solenoid wound with the internal		Yasukochi (K.) See Ogasawara (T.)	C1-451
winding method for colliding beam experiments	C1-337	Yatsu (K.) See Itoh (S.)	C1-189
Yamamoto (K.) See Itoh (S.)	C1-189	Yelistratov (V.V.) See Andreyev (N.I.)	C1-249
Yamamoto (M.) See Shimizu	04 504	Ye Yongcai See Zhang Xudong	C1-611
(M.)	C1-581	Ye Zuxian See Yan Luguang	C1-837
Yamamoto (M.) See Shimizu (M.)	C1-591	Ye Zuxian See Yan Luguang	C1-841
Yanagisawa (Y.), Hasuda (T.) and Iwasaki (J.) Magne- tic capture process in a superconducting HGMS	C1-771	Yi Changlian, Chang Hung, Yan Luguang and Chen Jinlin Experimental stu- dy of the stability of NbTi composite conductor	
Yan Chen and Fan Ming-wu A magnetostatic calculation		under the influence of pulsed magnetic field	C1-495
of fringing field for Rogowski pole boundary with floating snake	C1-889	Yi Changlian See Yan Luguang	C1-837
Yang William See Fang Guo Sheng	C1-827	Yin Min-Yu See Fang Jun-Ren	C1-417
Yan Luguang, Chen Haoshu, Ye Zuxian, Wang Silian, Li Guangsui and Ma Hongda		Yi Zu-Wang See Fang Jun-Ren	C1-417
- Improvement on the sup- port structure of the su- perconducting saddle ma-		Yoda (T.) See Ogasawara	C1-451
gnet SSM-3	C1-841	Yokota (T.) See Shimizu	C1-591
Yan Luguang See Yi Changlian	C1-495	Yoshida (K.) See Ando (T.).	C1-101

Yoshida (K.) See Nishi (M.)	C1-131	Zellweger (J.) See Elen (J.D.)	C1-97
Yoshioka (T.) See Shimizu	C1-581	Zellweger (J.) See Horvath	C1-93
Yoshioka (T.) See Shimizu	C1-587	Zellweger (J.) See Zichy	01-33
Yoshizaki (R.) See Minemura (H.)	C1-333	(J.Ā.)	C1-139
Young (J.L.), Vota (T.L.) and		Zerobin (F.) See Köfler (H.)	C1-721
Singh (S.K.) Manufactu- ring development of the Westinghouse Nb ₃ Sn coil for the Large Coil Test program	C1-145	Zhang Qirui, Song Shengnian and Jiao Zhengkuan Theo- retical and experimental studies of the stability in CVD Nb ₃ Sn superconduc-	
Young (J.L.) See Kibbe	61 125	ting composite tapes	C1-535
Young (J.L.) See Marston	C1-125	Zhang (Q.F.) See Irie (F.).	C1-547
(P.G.)	C1-637	Zhang Tingjie See Zhou Lian	C1-437
Yukimatsu (Y.) See Shimizu (M.)	C1-591	Zhang Xudong, Peng Wenan, Xiong Shougao and Ye	
Yu Yunjia See Yan Luguang	C1-837	Yongcai Explosive wel- ding of multifilamentary NbTi50-Cu composite super-	
Zanasco (JP.) See Baconnier (Y.)	C1-297	conductor	C1-611
Zannella (S.) See Asdente (M.)	C1-499	Zhang Yuan-Jin See Fang Jun-Ren	C1-417
Zaplatin (N.L.) See Vorozhtsov (S.B.)	C1-893	Zhou Lian, Li Chengren, Wu Xiaozu, Zhou Nong, Zhang	
Zbasnik (J.P.) See Hoard (R.W.)	C1-875	Tingjie and Wang Keguang Properties of NbTi50 su- perconducting composite	
Zech (E.) See Nolden (F.)	C1-221	wire	C1-437
Zehlein (H.) Local mechani- cal effects in the design		Zhou Nong See Zhou Lian	C1-437
of the superconducting Eu- ropean LCT coil	C1-905	Zichy (J.A.), Jakob (B.), Marinucci (C.), Zellweger (J.), Vécsey (G.), Benz	
Zel'dovich (A.G.) See Smirnov (A.A.)	C1-279	(H.), Maix (R.K.) and Rauch (J.) Status re- port on the Swiss LCT-coil	C1-139
Zellweger (J.), Vécsey (G.), Walter (HCh.), Crawford (J.) and Reeve (P.A.) Design study of a thin,		Žížek (F.) Influence of an inner short-circuit on the behaviour of the supercon-	
superconducting solenoid	C1-351	ducting magnet	C1-555

COLLOQUE Nº 2 - 1984

10ème Congrès International d'Optique des Rayons X et de Microanalyse

Toulouse (France), 1983

Acheche (M.) Voir Ben Lamine (A.)	C2-709	Armigliato (A.), Desalvo (A.), Garulli (A.) and Rosa (R.)	
Adam (P.F.) Voir Craven (A.J.)	C2-437	 Thickness determination of Al films on Si by a Monte Carlo code including a secondary fluorescence 	
Adams (F.) Voir Van Cappelen (E.)	C2-411	correction	C2-29
Ainslie (B.J.) Voir Skeats (A.P.)	C2- 7 57	Atkin (P.) and Smith (K.C.A.) Computer techniques for topographical analysis in the scanning electron mi-	
Alfonsi (S.), Barnaba (P.), Fioravanti (S.), Gelli		croscope	C2-219
(J.), Modena (C.) et Pareto (G.) Application de la microsonde électronique à l'analyse quantitative des		Aubin (C.) Voir Nguyen	C2-333
phases minéralogiques des agglomérés de minerais de fer	C2-735	Bador (R.) Voir Romand (M.J.)	C2-371
	62-733	Balk (L.J.) and Kultscher (N.)	
Alkassis (W.), Roinel (N.) and Koechlin (N.) Quantitati- ve electron probe analysis		Nonlinear scanning electron acoustic microscopies.	C2-869
of haemolymph and urine composition from insect Calliphora erythrocephala	00 401	Balk (L.J.) and Kultscher (N.) Scanning electron acoustic microscopy with subna-	
during metamorphosis	C2-481	nosecond time resolution	C2-873
Alshwaikh (A.A.) Chromatic change in magnification and in rotation for magnetic		Balmer (V.) Voir Whitehead (M.E.)	C2-239
lenses	C2-165	Bancroft (G.M.) Voir	
Ampo (H.) Voir Ichinokawa	C2-301	McIntyre (N.S.)	C2-143
Amsellem (J.) Voir Blaineau	C2-463	Barbillat (J.), Dhamelincourt (P.) et Delhaye (M.) Le Microdil 28 : microsonde	
		Raman à détection multica-	00 055
Amsellem (J.) Voir Nicaise	C2-461	nale	C2-255
Archambault (J.), Lautie (A.) et Lefevre (R.) La micro- analyse par effet Raman des		Barbillat (J.) Voir Dhamelincourt (P.)	C2-249
sédiments carbonatés : pro- blèmes d'interprétation des spectres	C2-805	Barnaba (P.) Voir Alfonsi	C2-735
specules	0L 000		

Bastin (G.F.), van Loo (F.J.J.), Vosters (P.J.C.) and Vrolijk (J.W.G.A.) A		Bernds (A.), Löhnert (K.) and Kubalek (E.) SEM EBIC in- vestigations of ZnO varis- tor ceramics	C2-861
correction procedure for characteristic fluorescence in microprobe analysis near phase boundaries	C2-43	Bernsen (P.) and Reimer (L.) Total rate imaging with	02-001
Beaman (D.R.), Klassen (H.E.), Solosky (L.F.) and File (D.M.) Depth profiling		x-rays in a scanning electron microscope Berry (J.P.), Galle (S.) et	C2-297
and microanalysis of hydro- gen in titanium	C2-721	Escaig (F.) Distribution du gallium dans différents tissus de mammifêres -	
Beaunier (L.), Dexpert (H.) et Vignaud (C.) Essais de caractérisation de la sé-		Etude en microanalyse par émission ionique secondaire et par spectrométrie de	20 527
grégation intergranulaire dans les joints de grains d'alliages Ni - Si en ana- lysant par émission		Berry (J.P.), Galle (P.), Kihn (Y.), Zanchi (G.), Sevely	C2-537
X - STEM Beauvillain (J.), Claverie	C2-419	(J.) et Jouffrey (B.) Ap- plication de la spectrosco- pie de pertes d'énergie	
(A.), Kihn (Y.), Sevely (J.) et Jouffrey (B.) Micro-analyse de cristaux		d'électrons à haute tension à l'analyse de microparti- cules dans des coupes de	
en croissance sur une sur- face de silicium	C2-657	tissus biologiques Berry (J.P.) Voir	C2-581
Bechtloff (B.) Voir Fromme (H.G.)	C2-389	Jeanguillaume (C.)	C2-577
Beloica (D.), Vulović (M.), Gržetić (I.), Golijanin (D.) and Pavićević (M.K.)		Bessière (L.) Voir Larras-Regard (E.)	C2-519
Determination of fluorine ions penetration degree into enamel by EMPA	C2-523	Bhatti (A.R.) An electron microscope study of inclu- sions in submerged-arc	
Ben Harrat (H.) Voir Renaudin (S.)	C2-503	Steel welds	C2-639
Ben Lamine (A.), Reynaud (F.), Colliex (C.), Acheche (M.),		Large field X-ray absorp- tion micro-analysis near an absorption edge by image	
Sevely (J.) and Kihn (Y.) EELS analysis of a precipi- tate in V ₃ Si by STEM and HVEM	C2-709	processing	C2-83
Benson (J.) Voir Fritz	C2-895	Blackburn (D.H.) Voir Marinenko (R.B.)	C2-769
Benson (J.P.) Voir McCarthy (J.J.).	C2-895	Blaineau (S.), Amsellem (J.) and Nicaise (G.) Quanti- tative X-ray microanalysis	
Beny (C.) Voir Dubessy (J.).	C2-213	of calcium in an osmium- treated biological specimen	C2-463
Bernaudin (J.F.) Voir Chamak	C2-529	Blaineau (S.) Voir Nicaise	C2-461

C2_125	Bourgeot (J.) Voir Thomas (B.) Brachon (B.), Chevallier (Y.), Gariazzo (B.), Marnat (J.),	C2-387
	Caractérisation de la	
C2-181	microscopie électronique à transmission, analyse d'images, et traitement des données	C2-235
C2-345	 Minority carrier lifeti- me measurements in semicon- ductor devices monitored by a microprocessor in 	C2-865
C2-9		UZ-000
02.3	Lesegno (P.) Mécanique des solides microhétérogè-	
C2-451	nes et extensométrie locale	C2-683
C2-499	Broomfield (J.P.) Voir Metcalfe (E.)	C2-407
C2-801	Brown (J.D.), Schwaab (P.) and von Rosenstiel (A.P.) Ouantitative electron probe microanalysis of carbon in carbides using a Gaussian $\phi(\rho z)$ equation	C2-609
C2-285	Brown (L.M.), Colliex (C.) and Gasgnier (M.) Fine structure in EELS from rare earth sesquioxide thin films	C2-433
C2-9	Browne (M.T.), Burge (R.E.), Charalambous (P.), Duke (P.J.), Freake (A.), McDowell (A.), Michette (A.), Nave (G.), Rosser	
C2-499	(R.), Simpson (M.J.) and Smith (W.) An imaging	
C2-473	the Daresbury synchroton	C2-87
C2-503	Browne (M.T.), Charalambous	
C2-837	(P.J.), Michette (A.G.) and Simpson (M.J.) A new lithographic technique for the manufacture of high resolution zone plates for soft X-ray	C2-89
	C2-345 C2-9 C2-451 C2-499 C2-801 C2-285 C2-9 C2-499 C2-473 C2-503	Brachon (B.), Chevallier (Y.), Gariazzo (B.), Marnat (J.), Thévenard (M.) et Lamy (P.) Caractérisation de la morphologie de charges par microscopie électronique à transmission, analyse d'images, et traitement des données

Browne (M.T.) Voir Simpson (M.J.)	C2-93	Cazaux (J.), Gramari (D.), Mouze (D.), Nassiopoulos (A.G.) and Perrin (J.)	
Bruynseels (F.), Storms (H.) and Van Grieken (R.) LAMMA and electron micro- probe analysis of atmosphe-		X-ray photoelectron micro- probe analysis and related techniques	C2-271
ric aerosols	C2-785	Cencioni (R.) Voir Grazzini	C2-741
Brytov (I.A.), Obolenskii (E.A.), Romashchenko (Yu.N.) and Gritsenko (V.A.) Electronic structure of amorphous Si ₃ N ₄	C2-887	Chamak (B.), Sébastien (P.), Bernaudin (J.F.), Gaudichet (A.) and Pinchon (M.C.) Assessment of interstitial lung macrophage particle	
Brytov (I.A.), Wander (A.S.) and Neshpor (V.S.) Study of chemical composition and electronic structure of		burden by analytical trans- mission electron microscope Chambers (W.F.) and Doyle	C2-529
high-melting compounds of zirconium by electronic AES	C2-353	(J.H.) A user designed software system for electron microprobes - Basic	
Burge (R.E.) Voir Browne (M.T.)	C2-87	premises and the control program	C2-223
Burge (R.E.) Voir Browne (M.T.)	C2-89	Chambers (W.F.) Voir Doyle	C2-227
Burge (R.E.) Voir Simpson	C2-93	Chamel (A.), Bondoux (P.) and Bossy (J.P.) Electron mi-	
Busing (W.M.) Voir Frederik (P.M.)	C2-451	croprobe analysis of sound and pitted tissues of apple fruit affected with bitter pit	C2-499
Busing (W.M.) - Voir Verbueken (A.H.)	C2-561	Chamel (A.) and Eloy (JF.)	G2=499°
Camelot (M.) Voir Dothée (D.)	C2-257	Microanalysis with the la- ser probe mass spectrograph (LPMS) in plant biology	C2-573
Capron (R.) et Haymann (P.) Protocole pour une analyse quantitative des produits		Champigny (M.) Voir Meny	C2-613
de combustion d'un fuel lourd par microscopie élec-		Champion (P.) Voir Sfar (M.)	C2-375
tronique	C2-687	Chaplain (R.) Voir Gauneau	C2-119
Mignon-Conte (M.)	C2-603	Chapman (J.N.) Voir Craven	
Carvalho (W.) et Dumas (P.) Microanalyse Raman de pré-		(A.J.)	C2-437
formes et fibres optiques Castaing (R.) Voir Blaise	C2-765	Charalambous (P.) Voir Browne (M.T.)	C2-87
(G.)	C2-125	Charalambous (P.) Voir Browne (M.T.)	C2-89
Cazaux (J.), Gramari (D.), Moutou (S.), Nassiopoulos (A.G.) The effects of X-ray induced Auger electrons in Auger microanaly-		Charalambous (P.) Voir Simpson (M.J.)	C2-93
sis	C2-337	Charbonnier (M.) Voir Romand (M.J.)	C2-371

Chassard-Bouchaud (C.) and Escaig (F.) Uptake, sto-		Conte (J.J.) Voir	00 000
rage and excretion of ura-		Mignon-Conte (M.)	C2-603
nium by Mytilus edulis, a		Coquerelle (M.), Knappik (P.)	
structural, ultrastructural and microanalytical study		et Perrier (Cl.) Instal-	
by secondary ion emission		lation d'un microscope électronique à balayage	
and X-ray spectrometry	C2-545	pour examen de matériaux	
Chaccard Roughaud (C.)		irradiés	C2-845
Chassard-Bouchaud (C.), Hallegot (P.) and Meignan		Cosslett (V.E.) X-ray mi-	
(M.) Thulium bioaccumula-		croscopy and microanaly-	
tion by the shore crab Car-		sis: introductory survey	C2-59
cinus maenas collected from the French coasts of the			
channel: a structural, ul-		Coudray (C.) Shadowing ef-	
trastructural and microana-		fects observed in slow ions backscattering on a metal-	
lytical study by secondary		lic crystal : experiments	
ion mass and X ray spectro- metry	C2-541	and simulations	C2-133
	01 341	Conson (A 1) Adam (DE)	
Chauvin (W.J.) Voir McIntyre	C2-143	Craven (A.J.), Adam (P.F.), Nicholson (W.A.P.),	
Chemelle (P.) Voir Thomas		Chapman (J.N.) and Ferrier	
(B.)	C2-387	(R.P.) Obtaining electron	
		energy loss spectra and x-ray emission spectra free	
Cheng (L.M.) and Michette (A.G.) Three dimensional		of instrumental artifacts	C2-437
imaging in scanning soft			
X-ray microscopy	C2-97	Cvikevich (S.) Voir Murata	C2-13
Chevalier (S.) et		(K.)	02-13
Paris-Pireyre (N.) Rela-		Darque-Ceretti (E.), Perrin	
tions entre les concentra-		(M.Y.) et Delamare (F.)	
tions en calcium, magnésium		Apport de la microscopie électronique sous incidence	
et phosphore dans les mito- chondries, les proplastes		rasante à l'étude des sur-	
et les chloroplastes du lu-		faces. Application au lai-	00 261
pin jaune et de la féverole		ton 70/30	C2-361
et le taux de calcium du milieu de culture	C2-507	Dartyge (E.), Flank (A.M.),	
mirried de daroui erritier	02.001	Fontaine (A.) and Jucha	
Chevallier (Y.) Voir	C2-235	(A.) Synchrotron radia- tion plus photodiode ar-	
Brachon (B.)	UZ=235	ray: EXAFS in dispersive	
Chriqui (D.) Voir Mery (P.).	C2-473	mode for fast microanaly-	C2 275
Clausia (A.) Vai		sis	C2-275
Claverie (A.) Voir Beauvillain (J.)	C2-657	De Bruijn (W.C.) Standards	
		for quantitative X-ray mi-	
Colliex (C.) Voir Ben Lamine	C2-709	croanalysis of biological specimens	C2-469
(A.)	UZ=703		
Colliex (C.) Voir Brown		Delamare (F.) Voir	C2-361
(L.M.)	C2-433	Darque-Ceretti (E.)	02-301
Colliex (C.) Voir		Delhaye (M.) Voir Barbillat	00 055
Jeanguillaume (C.)	C2-577	(J.)	C2-255
Collies (C) Vois Pautureau		Delhaye (M.) Voir	
Colliex (C.) Voir Rautureau	C2-793	Dhamelincourt (P.)	C2-249

Desalvo (A.) Voir Armigliato (A.)	C2-29	Dumas (P.) Voir Carvalho	C2-765
Desuzinges (C.) Voir Romand (M.J.)	C2-371	Duraud (J.P.) et Quenisset (C.) Analyse quantitative des surfaces par spectromé-	
Dexpert (H.) Voir Beaunier (L.)	C2-419	trie d'électrons Duseaux (M.) Voir Schiller	C2-329
Dhamelincourt (P.) Voir Barbillat (J.)	C2-255	(C.)	C2-891
Dhamelincourt (P.), Barbillat (J.) and Delhaye (M.) La-ser Raman microprobing		Egerton (R.F.) Trends in EELS within the field of microanalysis	C2-423
techniques	C2-249	El Hili (A.) Voir Fakhfakh (Z.)	C2-599
Dhamelincourt (P.) Voir Dubessy (J.)	C2-811	Eloy (J F.) Quantitative	
Dhez (P.) Metallic multi- layers mirrors : new possi- bilities for soft X-ray		microanalysis of solid sam- ples with the laser probe mass spectrometry II (L.P.M.S. II)	C2-265
imaging and spectroscopy	C2-65	Eloy (JF.) Voir Chamel	02 200
Doig (P.) and Flewitt (P.E.J.) - STEM-EDS X-ray microana-		(A.)	C2-573
lysis in thin metal foils	C2-381	Escaig (F.) Voir Berry (J.P.)	C2-537
Dothée (D.), Camelot (M.) et Roques-Carmes (C.) Micro- analyse physicochimique su- perficielle du polyéthylène		Escaig (F.) Voir Chassard-Bouchaud (C.)	C2-545
par spectrométries vibra- tionnelles	C2-257	Escaig (F.) Voir Mandon (P.)	C2-549
Doyle (J.H.) and Chambers (W.F.) A user designed software system for electron microprobes - Qualitative and quantitative tech-	02 207	Esteva (J.M.) and Karnatak (R.C.) 1 keV X-ray ab- sorption spectroscopy of bulk materials by electron yield measurement	C2-279
niques	C2-227	Fakhfakh (Z.) et El Hili (A.) Aspects morphologiques	
Doyle (J.H.) Voir Chambers (W.F.)	C2-223	de la croissance cristalli- ne d'un calcul rénal	C2-599
Dubessy (J.), Beny (C.), Guilhaumou (N.), Dhamelincourt (P.) and Poty		Faulkner (R.G.) Voir Voice (W.E.)	C2-401
(B.) Applications of the MOLE Raman microprobe to the study of fluid inclu-		Faulkner (R.G.) Voir Voice (W.E.)	C2-415
sions in minerals	C2-811	Ferguson (I.F.), Hughes (T.E.), Huyton (A.) and	
Duke (P.J.) Voir Browne (M.T.)	C2-87	Riley (B.F.) The charac- terisation of "aluminised" Inconel	C2-665
Duke (P.J.) Voir Browne	C2-89	Ferrier (R.P.) Voir Craven	
Duke (P.J.) Voir Simpson	62.62	(A.J.)	C2-437
(M.J.)	C2-93	Fiaud (C.) Voir Le Ny (R.)	C2-661

File (D.M.) Voir Beaman (D.R.)	C2-721 C2-735 C2-275	Fromme (H.G.), Grote (M.), Schaffstein (J.), Holländer (W.) and Bechtloff (B.) The preparation of multi- element salt standards for calibration of EDX-systems in STEM using aerosol tech- niques	C2-389
Fléchon (J.), Machizaud (F.), Kuhnast (F.A.), Mbemba (G.), Obaida (A.) and Kohler (A.) Observations of amorphous alloy charac-		Gaillard (F.) Voir Romand (M.J.)Gallant (D.J.) Voir Mery (P.)	C2-371
teristics using the scan- ning microscope	C2-679	Gallant (D.J.) Voir Renaudin	C2-473
Flewitt (P.E.J.) Voir Doig (P.)	C2-381	Galle (S.) Voir Berry (J.P.)	C2-537
Fontaine (A.) Voir Dartyge (E.)	C2-275	Galle (P.) Voir Berry (J.P.)	C2-581
Formiconi (G.) Voir Grazzini	C2-741	Galle (P.) Voir Jeanguillaume (C.)	C2-577
Fourdeux (A.), Sevely (J.), Zanchi (G.) et Kihn (Y.)		Galle (P.) Voir Larras-Regard (E.)	C2-519
Identification de précipi- tés de nitrure d'aluminium dans des échantillons de		Gantois (M.) Voir Tran Huu Loi	C2-367
fer	C2-691	Gariazzo (B.) Voir Brachon (B.)	C2-235
Franceschi (J.L.) Voir Jouffrey (B.)	C2-169	Garratt-Reed (A.J.) Voir Vander Sande (J.B.)	C2-705
Franks (A.) Advances in X-ray optics at the National Physical Laborato- ry	C2-69	Garrec (JP.) Microanalyse X des éléments diffusibles en biologie végétale	C2-491
Freake (A.) Voir Browne (M.T.)	C2-87	Gartner (S.) et Paris-Pireyre (N.) La silice chez le blé (Triticum aestivum L.).	
Frederik (P.M.), Bomans (P.H.H.), Busing (W.M.) and Odselius (R.) Microanaly- sis on biological material		Comparaison entre une va- riété sensible et une va- riété résistante à la verse	C2-511
- The role of preparation methods at low temperature and a possible link with (immuno)cytochemistry	C2-451	Gartner (S.), Roinel (N.) et Paris-Pireyre (N.) Elec- tron probe analysis of sap exudates of two varieties of wheat (Triticum aesti-	
Frederik (P.M.) Voir Verbueken (A.H.)	C2-561	vum L.)	C2-515
Fritz (G.S.), McCarthy (J.J.) and Benson (J.) Automated		Garulli (A.) Voir Armigliato	C2-29
measurements of integrated circuit linewidths by electron microscopy	C2-895	Gasgnier (M.) Voir Brown (L.M.)	C2-433

Gaudichet (A.) Caractérisa- tion de fines particules dans divers prélèvements		Gritsenko (V.A.) Voir Brytov (I.A.)	C2-887
atmosphériques en microsco- pie analytique en transmis- sion	C2-789	Grman (D.) and Muster (W.J.) Extended software possibi- lities in X-ray microanaly-	
Gaudichet (A.) Voir Chamak		sis	C2-231
Gauneau (M.), Chaplain (R.)	C2-529	Grote (M.) Voir Fromme (H.G.)	C2-389
and Rupert (A.) Application of cesium primary beam to the characterization of III.V semiconductors by SIMS	C2-119	Grübmeier (H.B.) Localizing fission products in irra-diated nuclear fuel particles with the unshielded electron microprobe	C2-833
	02 223	e receron microprobe	UZ=033
Geller (J.D.) and Mogami (A.) Analytical SEM for sur- face science	C2-313	Gržetić (I.) Voir Beloica	C2-523
Gelli (J.) Voir Alfonsi (S.)	C2-735	Guilhaumou (N.) Voir Dubessy (J.)	C2-811
Geneves (L.) et Halpern (S.) Composition élémentaire de divers types de granules dans les cellules cotylédo- naires du radis	C2-495	Halbritter (J.) On changes of secondary emission by resonant tunneling via adsorbates	C2-315
	02-495		02-313
Giber (J.), Marton (D.) and László (J.) Depth resolu- tion in ion sputtering - an		Hall (I.D.) Voir Sewell (D.A.)	C2-33
aspect of quantitative mi- croanalysis	C2-115	Hallegot (P.) Voir Chassard-Bouchaud (C.)	C2-541
Giraud (R.) Voir Moëlo (Y.).	C2-731	Halpern (S.) Voir Geneves	C2-495
Golijanin (D.) Voir Beloica	C2-523	Halpern (S.) Voir	C2-519
Goncharenko (A.B.) Voir Nemoshkalenko (V.V.)	C2-643	Harabi (A.) et Mevrel (R.)	02-319
Gorodskii (D.D.) Voir Borovskii (I.B.)	C2-285	Analyse d'inclusions d'oxy- des responsables de défauts de surface interne appa-	
Gorsky (V.V.) Voir Nemoshkalenko (V.V.)	C2-643	raissant au cours de la fa- brication de tubes sans soudure	C2-635
Gramari (D.) Voir Cazaux		Havette (A.) Techniques	
(J.)	C2-271	d'analyse quantitative par émission ionique secondai-	
Gramari (D.) Voir Cazaux	C2-337	re : application aux mesu- res et aux micrographies ioniques en pétrologie	C2-797
Grazzini (M.), Cencioni (R.) et Formiconi (G.) Evalua- tion des substitutions ioniques des composants à l'état solide au moyen du MEB et du microanalyseur à		Hawkes (F.) Platinum distri- bution in insect testis af- ter cis-diamminedichloro- platinum treatment, an EELS study in the house cricket,	02-131
rayons X	C2-741	Acheta domesticus	C2-589

Hawkes (F.) Gallium distri- bution in insect testis af- ter an injection of GaCl ₃ , an EELS study in the house cricket, Acheta domesticus.	C2-591	Hersener (J.), Huber (HP.) and Von Wienskowski (J.) Semiquantitative X-ray mi- croanalysis on preforms for optical waveguide fibres	C2-761
Hawkes (F.) Indium distribution in insect testis after an injection of InCl ₃ , an EELS study in the house cricket, Acheta domesticus.	C2-593	Hertsens (R.C.) Voir Verbueken (A.H.) Höhling (H.J.) Voir	C2-561
Hawkes (F.), Kihn (Y.) and	02-595	Krefting (ER.)	C2-465
Sevely (J.) An EELS study of the intranuclear inclu-		Holländer (W.) Voir Fromme (H.G.)	C2-389
sions of the epididymis principal cells in the garden dormouse, Eliomys quercinus L	C2-585	Horn (H.) and Weiss (M.) Re- heat cracking studies by scanning Auger and electron microscopy investigations	C2-357
Hawkes (F.) and Wu Ming-jun		Huber (HP.) Voir Hersener	
Cadmium distribution in in- sect testis after a single		(J.)	C2-761
injection, an EELS study	C2-587	Hughes (T.E.) Voir Fergusson	C2-665
Hawkes (P.W.) Processing in- formation from scanning instruments	C2-195	Hugon (M.P.) Voir Boulanger	C2-837
Haymann (P.) Voir Capron (R.)	C2-687	Huyton (A.) Voir Fergusson (I.F.)	C2-665
Heck (D.) Nuclear microprobe analysis at Karlsruhe Heinrich (K.F.J.) History of	C2-245	Ichinokawa (T.), Ampo (H.) and Kinoshita (S.) Analytical low voltage SEM in UHV for solid surface	C2-301
quantitative electron probe microanalysis	C2-3	Inglebert (RL.) Voir	
Heinrich (K.F.J.) Use of co- lor scales in microanalyti-	60, 001	Viaris de Lesegno (P.) Ingram (F.D.) and Ingram (M.J.) Electron micropro-	C2-139
Hemming (F.) Voir Nicaise	C2-201	be measurements of intra- cellular hydration in	
(G.)	C2-461	freeze-dried, plastic-em- bedded biological soft tis-	C2-457
Hennequin (JF.) Voir Viaris de Lesegno (P.)	C2-139	Ingram (M.J.) Voir Ingram	02-437
Henoc (P.) Voir Henoc (J.)	C2-53	(F.D.)	C2-457
Henoc (J.), Henoc (P.),		Ivanova (E.K.) Voir Nemoshkalenko (V.V.)	C2-643
Maurice (F.) et Raouadi (K.) Evaluation des ef- fets de diffraction sur les signaux obtenus à partir des microsondes électroni-	C2-53	Izrael (A.), Thioulouse (P.) and Tueta (R.) Crystalli- ne structure and doping le- vel of thin electrolumines-	C2 - 903
Henon (J.P.) Voir Nguyen	02-33	Jacob (W.A.) Voir Verbueken	<i>CZ</i> =303
(T.T.)	C2-333	(A.H.)	C2-561

Jasieńska (St.) et Tomkowicz (D.) Application des me-		Kihn (Y.) Voir Mignon-Conte (M.)	C2-603
sures de déplacement éner- gétiques de lignes d'émis- sion X Mn L _{α1,2} à l'iden- tification des oxydes de		Kihn (Y.) Voir Sevely (J.)	C2-441
tification des oxydes de manganèse	C2-617	Kinoshita (S.) Voir Ichinokawa (T.)	C2-301
Jeanguillaume (C.), Berry (J.P.), Colliex (C.), Galle (P.), Tence (M.) and Trebbia (P.) Recent results in EELS elemental		Kirkendall (T.D.) and Remmel (T.P.) Thermal wave imaging of GaAs material and devices	C2-877
mapping of thin biological sections	C2-577	Kirschner (J.) Threshold spectroscopies and their prospects for microanalysis	C2-341
Jiang Jia-Ying Voir Troyon (M.)	C2-155	Klassen (H.E.) Voir Beaman	C2-721
Jones (M.P.) Use of the x-ray microanalyser as an image analyser	C2-211	Knappik (P.) Voir Coquerelle (M.)	C2-845
Jouffrey (B.) Voir Beauvillain (J.)	C2-657	Koechlin (N.) Voir Alkassis	C2-481
Jouffrey (B.) Voir Berry (J.P.)	C2-581	Kohler (A.) Voir Fléchon	C2-679
Jouffrey (B.) Voir Sevely (J.)	C2-441	Kolar (D.) Voir Trontelj	C2-747
Jouffrey (B.), Trinquier (J.) et Franceschi (J.L.) Ca- ractéristiques du "MEBIS" :		Kosec (M.) Voir Trontelj	C2-747
microscope à balayage fonc- tionnant in situ	C2-169	Kotera (M.) and Wittry (D.B.) X-ray fluorescen- ce analysis with mono-	
Joyes (P.) Mécanisme de for- mation d'ions polyatomiques		chromatic x-rays	C2-281
secondaires. Applications aux ions Cu ₂ ⁺ et Cu ₃ ⁺	C2-129	Kozlenkov (A.I.) Voir Borovskii (I.B.)	C2-9
Jucha (A.) Voir Dartyge (E.)	C2-275	Kozlenkov (A.I.) and Shulgin (A.I.) X-ray grazing in-	
Karnatak (R.C.) Voir Esteva (J.M.)	C2-279	cidence optics for the electron microprobe	C2-157
Kawamura (M.) Voir Murata (K.)	C2-393	Krefting (ER.), Lissner (Willner) (G.) and Höhling (H.J.) Quantitative	
Kihn (Y.) Voir Beauvillain	C2-657	electron probe microanaly- sis of the epiphyseal growth plate	C2-465
Kihn (Y.) Voir Ben Lamine	C2-709	Kubalek (E.) Voir Bernds	C2-861
Kihn (Y.) Voir Berry (J.P.).	C2-581	Kuhnast (F.A.) Voir Fléchon	C2 670
Kihn (Y.) Voir Fourdeux (A.)	C2-691	(J.)	C2-679
Kihn (Y.) Voir Hawkes (F.)	C2-585	Kultscher (N.) Voir Balk (L.J.)	C2-869

W 31. 1 (N) W 1 = 5			
Kultscher (N.) Voir Balk (L.J.)	C2-873	Le Ny (R.), Fiaud (C.) and Nguyen (A.T.) Raman mi- croprobe spectroscopy of	
Kuptsis (J.D.) Voir Murata (K.)	C2-13	corrosion products formed on electrodes subjected to	
Lacaze (J.C.) Voir Perez (J.Ph.)	C2-171	corona discharges Lepeut (P.) Voir Sfar (M.)	C2-661 C2-375
Lacharme (J.P.) Voir Sfar		Le Pipec (C.) Microanalyse	02 07 0
(M.)	C2-375	sur lames minces. Applica- tion aux superalliages mo-	
Lamy (P.) Voir Brachon (B.).	C2-235	nocristallins	C2-717
Landron (C.) et Raouadi (K.) Microanalyse en incidence rasante	C2-25	Lhuire (E.) Voir Tran Huu Loi	C2-367
Lange (J.A.) X-ray spectros-		Lindman (B.) Voir Siegel (G.)	C2-595
copy of human skin as a contaminant on semiconductors	C2-899	Lindner (B.) and Seydel (U.) Results on taxonomy and	
Larras-Regard (E.), Bessière (L.), Halpern (S.) et Galle		physiological state of bac- teria derived from laser- induced single cell analy-	
(P.) Mise en évidence de deux fonctions lysosomales		sis	C2-565
thyroïdiennes en microana- lyse par sonde électronique et spectrométrie des rayons		Linton (R.W.) Biomedical and environmental applications of secondary ion emission	
X	C2-519	microanalysis	C2-553
Lász16 (J.) Voir Giber (J.).	C2-115	Lissner (Willner) (G.) Voir Krefting (ER.)	C2-465
Lautie (A.) Voir Archambault (J.)	C2-805	Lissner (G.) and Willner (A.P.) Application of	
Laval (J.Y.), Vicens (J.) et Nouet (G.) Microanalyse des joints carbure-carbure		EPMA of almandine garnets to regional geological pro- blems in the Lower Paleo-	
dans les composites carbure de tungstène-cobalt	C2-695	zoic basement of the NW-Argentine Andes	C2-745
Lecayon (C.) et Reynaud (C.)		Liu (Y.X.) Voir Mao (S.H.)	C2-631
Etude par spectroscopie de désexcitation d'atomes mé-		Li Yiyi Voir Xu Leying	C2-625
tastables d'un film mince de polyacrylonitrile élec- tropolymérisé	C2-349	Lödding (B.) and Reimer (L.) An experimental test of a	
Lecayon (G.) Etude à l'échelle moléculaire, de		ZAF correction program for tilted specimens and energy dispersive spectrometry	C2-37
la composition, de la structure et des propriétés électroniques d'un film de		Löhnert (K.) Voir Bernds (A.)	C2-861
polymère électropolymérisé.	C2-713	Loison (D.) Voir Namdar (R.)	C2-673
Lefevre (R.) Voir Archambault (J.)	C2-805	Loison (D.) Voir Pivin	C2-647
Le Gressus (C.) Microscopic study of surfaces by Auger	C2-323	Lorant (H.) Voir Boulanger	C2-837
type emission	05-050		

Love (G.) Voir Bloomfield	C2-181	Marnat (J.) Voir Brachon	C2-235
Love (G.) Voir Sewell (D.A.)	C2-33	Marton (D.) Voir Giber (J.).	C2-115
Love (G.), Sewell (D.A.) and Scott (V.D.) An improved absorption correction for quantitative analysis	C2-21	Maruno (S.) Characterization of oxide films on Fe-Cr-Al alloys and rf-sputtered films by soft X-ray spectroscopy and microanalysis.	C2- 6 53
Lowenthal (S.) Voir Polack	C2-73	Maurice (F.) Voir Henoc (J.)	C2-53
Lynch (J.) X-ray emission spectroscopy of industrial catalysts in the STEM	C2-701	Mbemba (G.) Voir Fléchon (J.) Meignan (M.) Voir	C2-679
McCarthy (J.J.) and Benson (J.P.) An integrated system for collection and processing of analytical and image data from the SEM/STEM	C2-215	Chassard-Bouchaud (C.) Meny (L.), Walker (C.T.) and Champigny (M.) X-ray ana- lysis of carbon in 316 aus- tenitic stainless steel:	C2-541
McCarthy (J.J.) Voir Fritz (G.S.)	C2-895	results of a German-French round robin test	C2-613
McDowell (A.) Voir Browne (M.T.)	C2-87	Mery (P.), Chriqui (D.), Gallant (D.J.), Bouchet (B.) and Tripathi (B.K.) Comparison of quantitative	
Machizaud (F.) Voir Fléchon (J.)	C2-679	data from atomic absorption spectrometry and X-ray microanalysis for inorganic and biological samples	C2-473
(W.J.), Metson (J.B.) and Bancroft (G.M.) Suppression of molecular ions in secondary ion mass spectra.	C2-143	Metcalfe (E.) and Broomfield (J.P.) Determination of Cliff-Lorimer k factors for	02-473
Mandon (P.), Escaig (F.) et Vinzens (F.) Méthode pour l'étude en microscopie io- nique analytique, photoni-		a Hitachi H700H 200 kV scanning transmission electron microscope	C2-407
que et électronique d'une même cellule	C2-549	Metson (J.B.) Voir McIntyre (N.S.)	C2-143
Mao (S.H.) and Liu (Y.X.) A study of Au-Cu minerals using the electron probe	C2-631	Mevrel (R.) Voir Harabi (A.)	C2-635
Marenkov (0.S.) Quantum-me- chanical based version of X-ray characteristic atte-		Michette (A.) Voir Browne (M.T.)	C2-89
nuation coefficients Marenkov (0.S.) Voir	C2-51	Michette (A.G.) Voir Cheng (L.M.)	C2-97
Nikolaev (V.P.)	C2-161	Michette (A.G.) Voir Browne	
Marinenko (R.B.) and Blackburn (D.H.) Glasses for microanalysis : new NBS (U.S.A.) standard reference		Michaela (A.C.)	C2-87
materials	C2-769	Michette (A.G.) Voir Simpson	C2-93

Mignon-Conte (M.), Carentz (F.), Pourrat (J.), Conte (J.J.), Kihn (Y.) et Sevely (J.) Utilisation de la spectroscopie de pertes d'énergie d'électrons à l'identification de dépôts		Murata (K.), Kawamura (M.) and Nagami (K.) Theoretical study of the spatial resolution of X-ray microanalysis in analytical electron microscopy	C2-393
intra-rénaux	C2-603	Muster (W.J.) Voir Grman	C2-231
Moëlo (Y.), Giraud (R.) et Remond (G.) Apports de la	C2-735	Myklebust (R.L.) An evalua- tion of x-ray loss due to electron backscatter	C2-41
microsonde électronique à l'étude cristallochimique des sulfures complexes na- turels d'antimoine et plomb	C2-731	Naegele (J.R.) Application of ESCA and AES to highly radioactive materials	C2-841
Mogami (A.) Voir Geller		Nagami (K.) Voir Murata (K.)	C2-393
(J.D.)	C2-313	Namdar (R.), Loison (D.) et Tixier (R.) Identifica-	
Morin (P.) et Simondet (F.) Canon à émission de champ pour microanalyse par spec-		tion et analyse des phases dans les aciers au moyen de l'émission ionique se-	
troscopie d'électrons Auger	C2-307	condaire	C2-673
Morin (P.) Voir Tholomier (M.)	C2-309	Nassiopoulos (A.G.) Voir Cazaux (J.)	C2-271
Morlevat (J.P.) Microanalyse de verres pour le stockage		Nassiopoulos (A.G.) Voir Cazaux (J.)	C2-337
des déchets de haute acti- vité	C2-815	Nave (G.) Voir Browne (M.T.) Nemoshkalenko (V.V.), Gorsky	C2-87
Morniroli (J.P.) Voir Tran Huu Loi	C2-367	(V.V.), Ivanova (E.K.) and Goncharenko (A.B.) X-ray and Auger electron micro-	
Mory (C.) Voir Rautureau (M.)	C2-793	analysis in study of the contact zone of steels under friction	C2-643
Moutou (S.) Voir Cazaux	C2-337	Neshpor (V.S.) Voir Brytov (I.A.)	C2-353
Mouze (D.) Voir Cazaux (J.).	C2-271	Newbury (D.E.) Microbeam analysis of samples of un-	
Mubanga (N.) Voir Tholomier (M.)	C2-309	usual shape	C2-775
Muller (J.F.) Voir Verdun	C2-819	Nguyen (A.T.) Voir Le Ny (R.)	C2-661
Mulvey (T.) Instrumentation, electron optics and X-ray spectroscopy	C2-149	Nguyen Kha Les complexes organo-minéraux dans les sols. Caractérisation mor- phologique et microstructu- rale par microscopie élec-	
Murata (K.), Cvikevich (S.) and Kuptsis (J.D.) A		tronique et spectrométrie X	C2-751
Monte Carlo simulation ap- proach to thin film elec- tron microprobe analysis based on the use of Mott	C2-13	Nguyen (T.T.), Aubin (C.) et Henon (J.P.) Amélioration par micro-ordinateur des acquisitions de données en spectrométrie Auger	C2-333
scattering cross-sections.	C2-13	spectrométrie Auger	C2-333

Nicaise (G.), Amsellem (J.), Blaineau (S.) and Hemming (F.) Quantitative micro- analysis of calcium subcel- lular compartments in resin-embedded tissue sec-		Perez (J.Ph.), Sirven (J.), Seguela (A.) et Lacaze (J.C.) Etude, au premier ordre, d'un système disper- sif, magnétique, symétri- que, de type alpha	C2-171
tions (X-ray wavelength dispersive spectrometry)	C2-461	Perrier (Cl.) Voir Coquerelle (M.)	C2-845
Nicaise (G.) Voir Blaineau (S.)	C2-463	Perrin (J.) Voir Cazaux (J.)	C2-271
Nicholson (W.A.P.) Voir Craven (A.J.)	C2-437	Perrin (M.Y.) Voir Darque-Ceretti (E.)	C2-361
Niemann (B.) Voir Schmahl (G.)	C2-77	Perrot (M.) et Trotabas (M.) Application de la microson- de blindée à l'analyse de résidus de dissolution des	
(R.I.), Marenkov (O.S.) and Singarieva (T.V.) Mathematical simulation of X-ray		combustibles nucléaires Pichoir (F.) Voir Pouchou	C2-825
optical systems using Monte Carlo method	C2-161	(J.L.)	C2-17
Nouet (G.) Voir Laval (J.Y.)	C2-695	(J.L.)	C2-47
Obaida (A.) Voir Fléchon	C2-679	Pinchon (M.C.) Voir Chamak	C2-529
Obolenskii (E.A.) Voir Brytov (I.A.)	C2-887	Pivin (J.C.) and Loison (D.) Specific contributions of SIMS and XPS to studies of	
Odselius (R.) Voir Frederik (P.M.)	C2-451	thermal oxide films	C2-647
Ogilvie (R.E.) AEM analysis of stainless steel	C2-397	Plotnikov (R.I.) Voir Nikolaev (V.P.)	C2-161
Pareto (G.) Voir Alfonsi		Polack (F.) Voir Bigler (E.)	C2-83
Paris-Pireyre (N.) Voir	C2-735	Polack (F.) and Lowenthal (S.) - Photoelectron X-ray mi- croscopy	C2-73
Chevalier (S.)	C2-507	Poty (B.) Voir Dubessy (J.).	C2-811
Paris-Pireyre (N.) Voir Gartner (S.)	C2-511	Pouchou (J.L.) et Pichoir (F.)	
Paris-Pireyre (N.) Voir Gartner (S.)	C2-515	Analyse d'échantillons stratifiés à la microsonde électronique	C2-47
Partridge (J.P.) Voir Sewell (D.A.)	C2-33	Pouchou (J.L.) et Pichoir (F.) Extension des possibili-	
Pavićević (M.K.) Voir Beloica (D.)	C2-523	tés quantitatives de la mi- croanalyse par une formula- tion nouvelle des effets de	
Pearce (J.H.) The use of the electron-probe microanaly-ser to determine the radial distribution of fission		Pourrat (J.) Voir Mignon-Conte (M.)	C2-17
products in irradiated thermal reactor fuel	C2-829	Quenisset (C.) Voir Duraud	C2-329

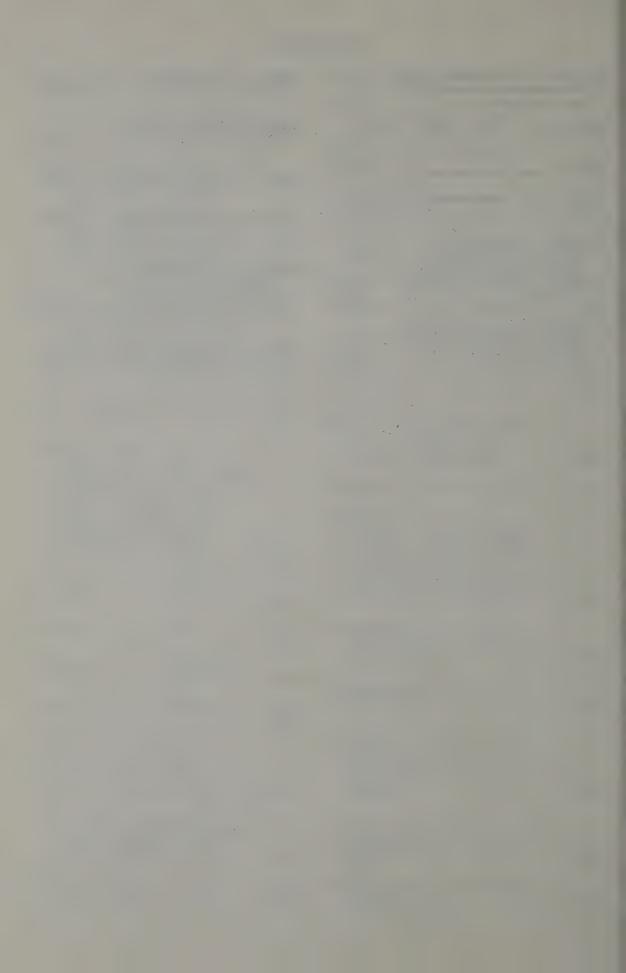
Quettier (R.) Voir Blaise (G.)	C2-125	Rivière (D.) Voir Bresse (J.F.)	C2-865
Ramsey (J.N.) Small area mo- lecular añalysis as applied in the microelectronic in-		Roche (A.) Voir Romand (M.J.)	C2-371
dustry	C2-881	Roinel (N.) Voir Alkassis (W.)	C2-481
Raouadi (K.) Voir Henoc (J.)	C2-53	Roinel (N.) Voir Gartner	02-401
Raouadi (K.) Voir Landron	C2-25	(S.)	C2-515
Rautureau (M.), Steinberg (M.), Colliex (C.), Mory (C.) et Trebbia (P.) Uti- lisation d'un microscope STEM pour l'analyse de mi- néraux microcristallisés, par spectroscopie X et par spectroscopie des pertes		Romand (M.J.), Bador (R.), Desuzinges (C.), Charbonnier (M.), Roche (A.) and Gaillard (F.) Low-energy electron-induced x-ray spectrometry: a technique for solid surface studies	C2-371
d'énergie	C2-793	Romashchenko (Yu.N.) Voir Brytov (I.A.)	C2 007
Ray (I.L.F.), Thiele (H.) and Blank (H.) The examina- tion of nuclear fuel sam-		Roques-Carmes (C.) Voir Dothée (D.)	C2-887
ples by scanning transmis- sion electron microscopy	C2-849	Roques-Carmes (C.) Voir Wehbi (D.)	C2-319
Reimer (L.) Quantitative scanning electron microscopy of surfaces	C2-291	Rosa (R.) Voir Armigliato	C2-29
Reimer (L.) Voir Bernsen (P.)	C2-297	Rosser (R.) Voir Browne (M.T.)	C2-87
Reimer (L.) Voir Lödding (B.)	C2-37	Rudolph (D.) Voir Schmahl	C2-77
Remmel (T.P.) Voir Kirkendall (T.D.)	C2-877	Rupert (A.) Voir Gauneau (M.)	C2-119
Remond (G.) Voir Moëlo (Y.).	C2-731	Sandborg (A.O.) and Whitehead	
Renaudin (S.), Ben Harrat (H.), Gallant (D.J.) et Bouchet (B.) Sur la loca-		(M.E.) Boron analysis and mapping with a windowless energy dispersive detector.	C2-185
lisation des éléments miné- raux dans les suçoirs d'Osyris alba L	C2-503	Schaffstein (J.) Voir Fromme (H.G.)	C2-389
Reynaud (F.) Voir Ben Lamine (A.)	C2-709	Scherrer (H.) Voir Borchardt (G.)	C2-801
Reynaud (C.) Voir Lecayon (C.)	C2-349	Scherrer (S.) Voir Borchardt . (G.)	C2-801
Ribes (A.) Voir Thomas (B.).	C2-387	Schiller (C.) and Duseaux (M.) X rays and electron mi-	
Riley (B.F.) Voir Ferguson (I.F.)	C2-665	croprobe analysis of III-V semiconductors	C2-891

Schmahl (G.), Rudolph (D.) and Niemann (B.) High resolu- tion x-ray microscopy with zone plate microscope	C2-77	Sfar (M.), Lacharme (J.P.), Lepeut (P.) et Champion (P.) Dosage des alcalins à la surface des verres si- licatés	C2-375
Schmidt (P.F.) and Zumkley (H.) The use of laser mi- croprobe mass analysis in		Sharafeev (I.M.) Voir Borovskii (I.B.)	C2-285
biomedical research	C2-569	Shi Changhsu Voir Xu Leying.	C2-625
Schwaab (P.) Voir Brown (J.D.)	C2-609	Shulgin (A.I.) Voir Kozlenkov (A.I.)	C2-157
Scott (V.D.) Voir Bloomfield (D.J.)	C2-181	Siegel (G.), Walter (A.) and Lindman (B.) Cation bin-	
Scott (V.D.) Voir Love (G.).	C2-21	ding to anionic biopolymers of vascular connective tis-	
Scott (V.D.) Voir Sewell (D.A.)	C2-33	sue	C2-595
Sébastien (P.) Voir Chamak	C2-529	Simondet (F.) Voir Morin	C2-307
Seguela (A.) Voir Perez	02 023	Simpson (M.J.) Voir Browne (M.T.)	C2-87
(J.Ph.)	C2-171	Simpson (M.J.) Voir Browne	
Seiler (H.) Voir Wieser (P.)	C2-261	(M.T.)	C2-89
Sevely (J.) Voir Beauvillain (J.)	C2-657	Simpson (M.J.), Browne (M.T.), Burge (R.E.), Charalambous (P.), Duke (P.J.) and	
Sevely (J.) Voir Ben Lamine (A.)	C2-709	Michette (A.G.) The ef- fects of manufacturing inaccuracies on the imaging	
Sevely (J.) Voir Berry (J.P.)	C2-581	properties of zone plates	C2-93
Sevely (J.) Voir Fourdeux		Singarieva (T.V.) Voir Nikolaev (V.P.)	C2-161
(A.)	C2-691	Sirven (J.) Voir Perez	00 474
Sevely (J.) Voir Hawkes (F.)	C2-585	(J.Ph.)	C2-171
Sevely (J.), Kihn (Y.), Zanchi (G.) and Jouffrey (B.) Microanalysis technique using electron energy loss spectroscopy in high volta-	00.444	Skeats (A.P.) and Ainslie (B.J.) Electron micropro- be studies on monomode op- tical fibres and preforms prepared by the MCVD tech-	00 757
ge electron microscopy	C2-441	nique	C2-757
Sevely (J.) Voir Mignon-Conte (M.)	C2-603	Smith (K.C.A.) Voir Atkin (P.)	C2-219
Sewell (D.A.), Hall (I.D.), Love (G.), Partridge (J.P.) and Scott (V.D.) X-ray		Smith (W.) Voir Browne (M.T.)	C2-87
studies related to coating thickness measurements	C2-33	Solosky (L.F.) Voir Beaman (D.R.)	C2-721
Sewell (D.A.) Voir Love (G.)	C2-21	Statham (P.J.) Accuracy, re- producibility and scope for	
Seydel (U.) Voir Lindner (B.)	C2-565	x-ray microanalysis with Si(Li) detectors	C2-175

Steinberg (M.) Voir Rautureau (M.)	C2-793	Tripathi (B.K.) Voir Mery	
	02-733	(P.)	C2-473
Storms (H.) Voir Bruynseels (F.)	C2-785	Trontelj (M.), Kolar (D.) and Kosec (M.) Use of EPMA and SEM in the study of	
Storms (H.) Voir Van Dyck	C2-781	high temperature reactions in oxide systems	C2-747
Takaya (K.) Energy dispersi- ve X-ray microanalysis of platelets and megakaryocy-		Trotabas (M.) Voir Perrot	C2-825
tes of several mammals using air-dried spreads and fresh frozen dried sections	C2-485	Troyon (M.) and Jiang Jia-Ying Energy spread measure- ment in field electron mi- croscopy	C2-155
Tence (M.) Voir Jeanguillaume (C.)	C2-577	Truchet (M.) Analyse histo-	02-133
Thévenard (M.) Voir Brachon (B.)	C2-235	logique par microspectromé- trie Raman	C2-557
Thiele (H.) Voir Ray	C2-849	Truchet (M.) Essai d'analyse quantitative par émission ionique secondaire sur cou-	
Thioulouse (P.) Voir Izrael		pes histologiques	C2-533
(A.)	C2-903	Tueta (R.) Voir Izrael (A.).	C2-903
Tholomier (M.), Morin (P.), Vicario (E.) and Mubanga (N.) Scanning Auger mi- croanalysis at high energy probes	C2-309	Uragami (T.S.) The intensity enhancement of X-rays re- flected by an analyzing crystal made of a thin film	C2-189
Thomas (B.), Bourgeot (J.), Chemelle (P.) and Ribes (A.) Analytical transmission electron microscopy with a thermally stabilized field emission gun	C2-387	Van Cappelen (E.), Van Dyck (D.), Van Landuyt (J.) and Adams (F.) A parameter- less method to correct for X-ray absorption and fluo- rescence in thin film mi- croanalysis	C2-411
Tixier (R.) Voir Namdar (R.)	C2-673	Vander Sande (J.B.) and Garratt-Reed (A.J.) Ap-	
Tomkowicz (D.) Voir Jasieńska (St.)	C2-617	plications of A.E.M. to ra- pidly solidified materials.	C2-705
Tran Huu Loi, Lhuire (E.), Morniroli (J.P.) et Gantois (M.) Etude par microsco- pie électronique à balayage		Van Dyck (P.), Storms (H.) and Van Grieken (R.) Automa- ted quantitative electron microprobe analysis of par- ticulate material	C2-781
et spectrométrie Auger de ruptures fragiles du tungs- tène	C2-367	Van Dyck (D.) Voir Van Cappelen (E.)	C2-411
Trebbia (P.) Voir Jeanguillaume (C.)	C2-577	Van Grieken (R.) Voir Bruynseels (F.)	C2-785
Trebbia (P.) Voir Rautureau (M.)	C2-793	Van Grieken (R.) Voir Van Dyck (P.)	C2-781
Trinquier (J.) Voir Jouffrey	C2-169	Van Grieken (R.E.) Voir	C2-561

Van Landuyt (J.) Cappelen (E.)		C2-411	Von Rosenstiel (A.P.) Voir Werner (H.W.)	C2-103
Van Loo (F.J.J.)		C2-43	Von Wienskowski (J.) Voir Hersener (J.)	C2-761
Verbueken (A.H.), (W.A.), Frederi Busing (W.M.),	ik (P.M.),		Vosters (P.J.C.) Voir Bastin (G.F.)	C2-43
(R.C.) and Van (R.E.) Doped standardization	Grieken albumin:		Vrolijk (J.W.G.A.) Voir Bastin (G.F.)	C2-43
ties for LAMMA- thin freeze-dri	-analysis of ed cryosec-	C2-561	Vulović (M.) Voir Beloica	C2-523
		C2-301	Walker (C.T.) Voir Meny (L.)	C2-613
Verdun (F.) et Mul Etude de la dét	tection des		Walter (A.) Voir Siegel (G.)	C2-595
hydrocarbures a polycycliques a microparticules	u niveau de de nature		Wander (A.S.) Voir Brytov (I.A.)	C2-353
différente par à impact laser	LAMMA	C2-819	Weber (S.) Voir Borchardt (G.)	C2-801
Viaris de Lesegno Bretheau (T.)		C2-683	Wehbi (D.) and Roques-Carmes	
Viaris de Lesegno Inglebert (RL			(C.) The effects of sur- face roughness on Auger electron spectroscopy	C2-319
Hennequin (JF analytiques des	.) Aspects		Weiss (M.) Voir Horn (H.)	C2-357
d'ions secondai d'électrons Aug alliages Fe-Al bombardés en ul par des ions Ar	er par les et Cu-Al tra-vide	C2-139	Werner (H.W.) and von Rosenstiel (A.P.) Compa- rison of secondary ion mass spectrometry (SIMS) with electron microprobe analy-	
Vicario (E.) Voi (M.)		C2-309	sis (EPMA) and other thin film analytical methods	C2-103
Vicens (J.) Voir (J.Y.)	Laval	C2-695	Whitehead (M.E.) and Balmer (V.) Electron diffraction	
Vignaud (C.) Voi		00 410	analysis	C2-239
(L.)		C2-419	Whitehead (M.E.) Voir	00 105
Vinzens (F.) Voi (P.)	r Mandon	C2-549	Sandborg (A.O.)	C2-185
Voice (W.E.) and F (R.G.) Quanti transmission an croscopy of sup	tative alytical mi-	C2-415	Wieser (P.), Wurster (R.) and Seiler (H.) Laser micro- probe mass analysis detec- tion limits and lateral re- solution	C2-261
Voice (W.E.) and F			90100101188888888888888888	02 201
(R.G.) Quanti energy dispersi of thin foils	tative X-ray ve analysis	C2-401	Willich (P.) Electron probe microanalysis of submicron alloy films	C2-621
Von Rosenstiel (A. Brown (J.D.)	P.) Voir	C2-609	Willner (A.P.) Voir Lissner	C2-745
		J. 303		02 , 10

wittry (D.B.) Studies of se- miconductors with electron and ion beams	C2-855	Zanchi (G.) Voir Berry (J.P.)	C2-581
Wittry (D.B.) Voir Kotera (M.)	C2-281	Zanchi (G.) Voir Fourdeux	C2-691
Wu Ming-jun Voir Hawkes (F.)	C2-587	Zanchi (G.) Voir Sevely (J.)	C2-441
Wurster (R.) Voir Wieser (P.)	C2-261	Zhu Yaoxiao Voir Xu Leying	C2-625
Xu Leying, Zhu Yaoxiao, Li Yiyi and Shi Changhsu Study on relationship of phases in alloys by means of EPMA	C2-625	Zierold (K.) Quantitative X-ray microanalysis of bio- logical cryosections de- pends on ice crystal damage	C2-447
Zaluzec (N.J.) An electron energy loss spectral library and its application to materials science	C2-429	Zumkley (H.) Voir Schmidt	C2-569



COLLOQUE Nº 3 - 1984

Workshop on Reactor Based Fundamental Physics

Grenoble (France), 1983

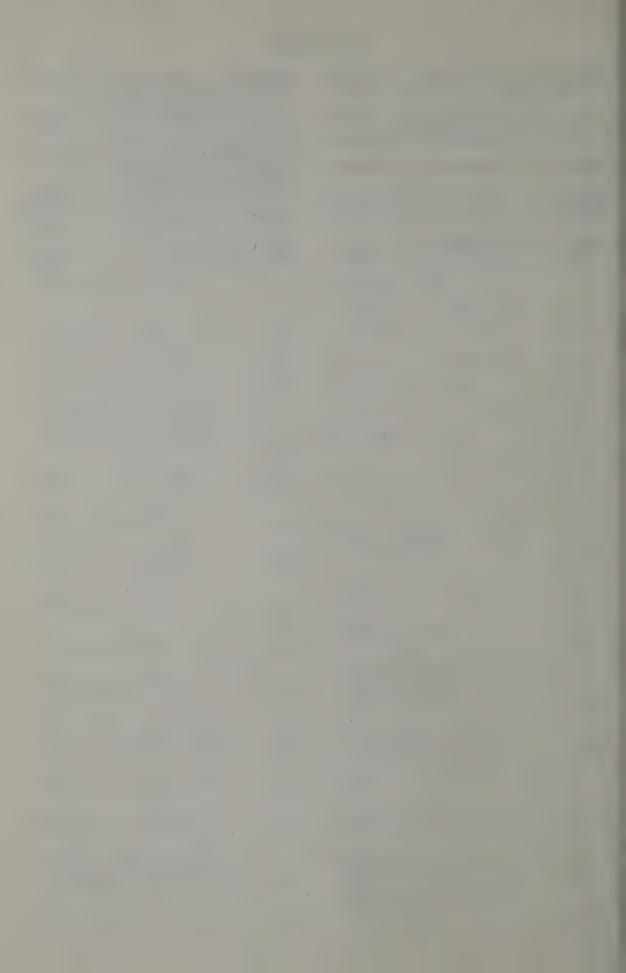
Abad (J.), Morales (A.), Núñez-Lagos (R.) and Pacheco (A.F.) An estima- tion of the rates of (two-		Bagieu (G.) See Avenier (M.)	C3-99
neutrino) double beta decay and related processes	C3-147	antineutron oscillations	C3-173
Ageron (P.) and Mampe (W.) ILL facilities for funda-		Reda (A.G.) See Bondarenko (L.N.)	C3-81
mental physics experiments.	C3-279	Bernabéu (J.) and Botella (F.J.) Majorana neutrinos	C3-113
Alexandrovich (A.Ya.), Val'skii (G.V.), Petrov (G.A.), Petukhov (A.K.),		Bernabéu (J.) See Pérez-Canyellas (A.)	C3-143
Pleva (Yu.S.) and Sokolov (V.E.) Experimental stu-		Bernstein (H.J.) See Zeilinger (A.)	C3-209
dies of the parity-viola- tion effects in heavy nu- clei fission caused by po- larized neutrons	C3-85	Bondarenko (L.N.), Zhukov (S.V.), Kuznetsov (V.L.), Mostovoy (Yu.A.), Beda (A.G.), Vodennikov (B.D.),	
Alfimenkov (V.P.), Borzakov (S.B.), Vo Van Thuan, Mareev (Yu.D.), Pikelner (L.B.), Frank (I.M.), Khrykin (A.S.) and Sharapov (E.I.) Parity violation effects in resonance neutron cross sections	C3-93	Danilyan (G.V.), Dronyaev (V.P.), Kutsenko (V.A.), Novitskii (V.V.), Pavlov (V.S.), Kolobashkin (V.M.), Korobkina (E.I.), Pevchev (Yu.F.) and Sadchikov (A.G.) Parity non-conserving asymmetry of longitudinally polarized thermal	
Alvarez-Estrada (R.F.) and Calvo (M.L.) Confined propagation of neutrons in solid waveguides (fibres)	C3-243	neutrons propagation Bopp (P.), Dubbers (D.), Klemt (E.), Last (J.), Schütze (H.), Weibler (W.),	C3-81
Avenier (M.), Bagieu (G.), Cavaignac (J.F.), Koang (D.H.), Idrissi (A.),		Freedman (S.J.) and Schärpf (O.) The B-decay asymme-try of the free neutron	C3-21
Vignon (B.) and Wilson (R.) - Study of the neutron-		Borzakov (S.B.) See Alfimenkov (V.P.)	C3-93
proton weak interaction at the ILL reactor	C3-99	Botella (F.J.) See Bernabéu	C3-113
Avishai (Y.) Formal theory of weak Nd scattering	C3-71	Bowles (T.J.), Moses (J.D.), Sunier (J.), Brown (R.E.), Lisowski (P.), Mampe (W.) and Liaud (P.) Time re-	
Avishai (Y.) Nucleon nucleus weak scattering within a single particle model	C3-75	and Liaud (P.) Time re- versal invariance in pola- rized neutron beta decay	C3-27

Brown (R.E.). See Bowles (T.J.)	C3-27	parity-non-conservation in neutron-nucleus interactions	C3-55
(V.P.) Possible T-viola- tion experiments in neutron		Dronyaev (V.P.) See	ω/3
induced reactions	C3-77	Bondarenko (L.N.)	C3-81
Bussière (A.) See Liaud (P.)	C3-37	Dubbers (D.) See Bopp (P.)	C3-21
Byrne (J.) Properties of the neutron	C3-1	Eder (G.) See Leeb (H.)	C3-47
Byrne (J.) See Heckel (B.)	C3-89	Fiorini (E.) Experiments on nucleon stability	C3-151
Byrne (J.) The role of neu- tron β-decay in astrophy- sics	C3-31	Forte (M.) Dynamical effects in neutron optics and spin interactions	C3-249
Calvo (M.L.) See Alvarez-Estrada (R.F.)	C3-243	Forte (M.) See Heckel (B.)	C3-89
Cavaignac (J.F.), Declais (Y.), Hoummada (A.),	00 210	Frank (I.M.) See Alfimenkov (V.P.)	C3-93
de Kerret (H.), Koang (D.H.), Pessard (H.), Thénard (J.M.) and Vignon		Freedman (S.J.) See Bopp (P.)	C3-21
(B.) Search for neutrino oscillation at Bugey	C3-133	Fritzsch (H.) Flavor mixing and the masses of leptons and quarks	C3-189
Cavaignac (J.F.). See Avenier (M.)	C3-99	Gähler (R.) and Golub (R.) Ouantum-mechanical effects	
Chauvin (J.) See Liaud	C3-37	on beam chopping	C3-229
Colvin (G.), Schreckenbach (K.) and von Feilitzsch (F.) Search for massive neutrino branches in nu- clear beta decay	C3-139	Gähler (R.) See Kalus (J.) Golub (R.) New method for the search for the neutron electric dipole moment suitable for small reactors	C3-17
Danilyan (G.V.) See Bondarenko (L.N.)	C3-81	Golub (R.) See Gähler (R.)	C3-229
Declais (Y.) See Cavaignac (J.F.)	C3-133	Green (K.) See Heckel (B.)	C3-89
De Kerret (H.) See Cavaignac (J.F.)	C3-133	Greene (G.L.) See Deslattes (R.D.)	C3-41
De Saintignon (P.) See Liaud (P.)	C3-37	Greene (G.L.) See Heckel	C3-89
Deslattes (R.D.), Greene (G.L.) and Kessler Jr. (E.G.) Absolute, prompt gamma-ray spectroscopy and		Gudkov (V.P.) See Bunakov (V.E.)	C3-77
the determination of funda- mental constants	C3-41	Hahn (A.A.) See Schreckenbach (K.)	C3-135

Heckel (B.), Forte (M.), Ramsey (N.F.), Greene (G.L.), Green (K.), Byrne (J.) and Pendlebury (J.M.) - Parity non-conserving neutron spin rotation	C3-89	Leeb (H.), Eder (G.) and Rauch (H.) The effect of the electric polarizability of the neutron on neutron-nucleus scattering	C3-47
Horne (M.A.) See Zeilinger (A.)	C3-209	Liaud (P.), Schreckenbach (K.), Chauvin (J.), de Saintignon (P.) and Bussière (A.) New attempt	
Hoummada (A.).— See Cavaignac (J.F.)	C3-133	to determine the free neu- tron life time by in-beam detection of decay elec-	
Idrissi (A.) See Avenier (M.)	C3-99	trons	C3-37
Kalus (J.) and Gähler (R.) An improved method to		Liaud (P.) See Rowles (T.J.)	C3-27
search for the neutron charge	C3-17	Lisowski (P.) See Bowles (T.J.)	C3-27
Kessler Jr. (E.G.) See Deslattes (R.D.)	C3-41	Lobashev (V.M.) and Serebrov (A.P.) An experimental search for the neutron	
Khrykin (A.S.) See Alfimenkov (V.P.)	C3-93	electric dipole moment : results and prospects of refinement	C3-11
Klein (A.G.) and Onat (G.I.) Neutron wavepackets and longitudinal coherence	C3-235	Lobashov (V.M.) and Nazarenko (V.A.) Parity non-conserving effects in ny-reac-	
Klein (A.G.) and Zeilinger (A.) Wave optics with cold neutrons	C3-239	Mampe (W.) See Ageron (P.)	C3-103
Klemt (E.) See Bopp (P.)	C3-21	Mampe (W.) See Bowles	C3-27
Koang (D.H.) See Avenier (M.)	C3-99	Mareev (Yu.D.) See Alfimenkov (V.P.)	C3-93
Koang (D.H.) See Cavaignac (J.F.)	C3-133	Mezei (F.) What is known ex-	00 30
Kolobashkin (V.M.) See Bondarenko (L.N.)	C3-81	perimentally on spin and momentum wave functions in neutron beams	C3-223
Korobkina (E.I.) See Bondarenko (L.N.)	C3-81	Morales (A.) See Abad (J.)	C3-147
Krüger (E.), Nistler (W.) and	ω-01	Morse (J.) Search for a neu- tron electric dipole moment	C3-13
Weirauch (W.) Determina- tion of h/m _n	C3-217	Moses (J.D.) See Bowles (T.J.)	C3-27
Kutsenko (V.A.) See Bondarenko (L.N.)	C3-81	Mössbauer (R.L.) Neutrino oscillations	C3-121
Kuznetsov (V.L.) See Bondarenko (L.N.)	C3-81	Mostovoy (Yu.A.) See	
last (J.) See Bopp (P.)	C3-21	Bondarenko (L.N.)	C3-81

Nazarenko (V.A.) See Lovashov (V.M.)	C3-103	Sadchikov (A.G.) See Bondarenko (L.N.)	C3-81
Nistler (W.) See Krüger (E.)	C3-217	Samosvat (G.S.) Polarizabi- lity of neutron from preci- se neutron measurements	C3-51
Novitskii (V.V.) See Bondarenko (L.N.)	C3-81	Schärpf (0.) See Bopp (P.)	C3-21
Núñez-Lagos (R.) See Abad	C3-147	Schreckenbach (K.) See Colvin (G.)	C3-139
Opat (G.I.) See Klein (A.G.)	C3-235	Schreckenbach (K.) See Liaud (P.)	C3-37
Pacheco (A.F.) See Abad	C3-147	Schreckenbach (K.), von Feilitzsch (F.) and Hahn (A.A.) The source	
Pavlov (V.S.) See Bondarenko (L.N.)	C3-81	spectrum of reactor anti- neutrinos	C3-135
Pendlebury (J.M.) See Heckel (B.)	C3-89	Schütze (H.) See Bopp (P.)	C3-21
Pérez-Canyellas (A.) and Bernabéu (J.) Neutrino		Serebrov (A.P.) See Lobashev (V.M.)	C3-11
oscillation and stellar collapse	C3-143	Sharapov (E.I.) See Alfimenkov (V.P.)	C3-93
Pessard (H.) See Cavaignac (J.F.)	C3-133	Sokolov (V.E.) See Alexandrovich (A.Ya.)	C3-85
Petrov (G.A.) See Alexandrovich (A.Ya.)	C3-85	Steyerl (A.) Neutron wave optics studied with ultra-	
Petukhov (A.K.) See Alexandrovich (A.Ya.)	C3-85	Cold neutrons Sunier (J.) See Bowles	C3-255
Pevchev (Yu.F.) See Bondarenko (L.N.)	C3-81	(T.J.)	C3-27
Pikelner (L.B.) See Alfimenkov (V.P.)	C3-93	Cavaignac (J.F.)	C3-133
Pleva (Yu.S.) See Alexandrovich (A.Ya.)	C3-85	Utsuro (M.) New applica- tions of ultra cold neutron physics in magnetic and gravity fields	C3-269
Prosper (H.B.) A search for neutron-antineutron oscil- lations using free neutrons	C3-185	Val'skii (G.V.) See Alexandrovich (A.Ya.)	C3-85
Ramsey (N.F.) Reactor based fundamental physics	C3-285	Vignon (B.) See Avenier (M.)	C3-99
Ramsey (N.F.) See Heckel	C3-89	Vignon (B.) See Cavaignac (J.F.)	C3-133
Rauch (H.) Neutron interferometry and its relation to fundamental physics	C3-197	Vodennikov (B.K.) See Bondarenko (L.N.)	C3-81
Rauch (H.) See Leeb (H.)	C3-47	Von Feilitzsch (F.) See Colvin (G.)	C3-139

Von Feilitzsch (F.) See Schreckenbach (K.) Vo Van Thuan See Alfimenkov	C3-135	Zeilinger (A.) Generalized Aharonov-Bohm and wheeler- type delayed choice experi- ments with neutrons	C3-213
(V.P.)	C3-93	Zeilinger (A.), Horne (M.A.) and Bernstein (H.J.)	
Weibler (W.) See Bopp (P.)	C3-21	Symmetry violations and Schwinger scattering in	02.000
Weirauch (W.) See Krüger		neutron interferometry	. C3-209
(E.)	C3-217	Zeilinger (A.) See Klein (A.G.)	C3-239
Wilson (R.) See Avenier	C3-99	Zhukov (S.V.) See Bondarenko (L.N.)	C3-81



COLLOQUE Nº 4 - 1984

International Symposium on Highly Excited States and Nuclear Structure

Orsay (France), 1983

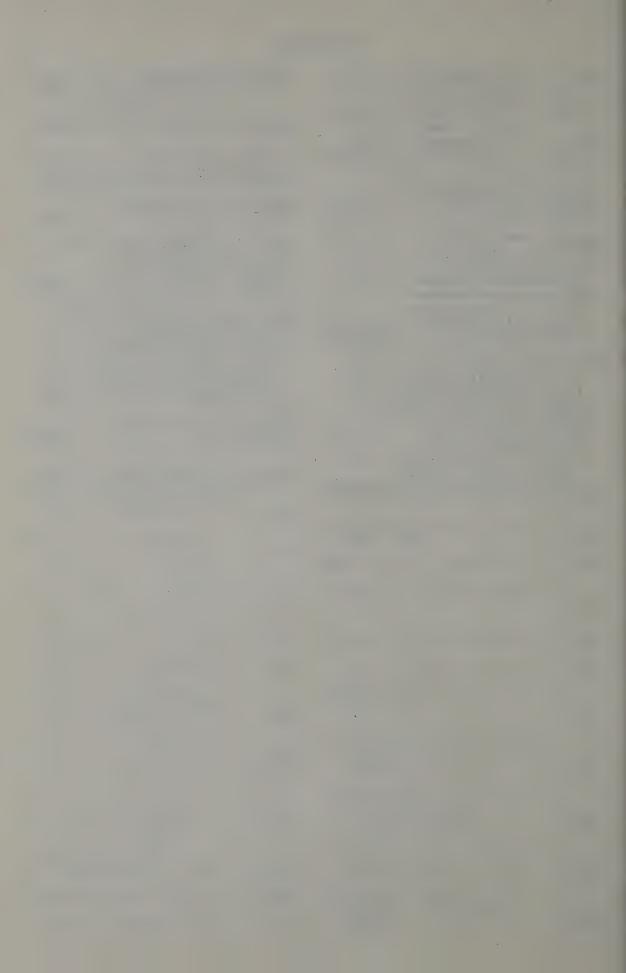
Ahmad (M.) See Watson (J.W.)	C4-91	Blumenfeld (Y.), Chomaz (Ph.), Frascaria (N.), Garron	
Alster (J.) See Bowman (J.D.)	C4-351	(J.P.), Jacmart (J.C.), Roynette (J.C.), Bohne (W.), von Oertzen (W.), Buenerd (M.), Gamp (A.),	
Auerbach (N.) Excitation of giant resonances in pion charge-exchange reactions	C4-305	Lebrun (D.) and Martin (Ph.) High excitation energy structures in heavy	
Avan (M.), Baldit (A.), Castor (J.), Chaigne (G.), Devaux		ion collisions on a ²⁰⁸ Pb target	C4-201
(A.), Fargeix (J.), Force (P.), Landaud (G.), Roche		Bohne (W.) See Blumenfeld (Y.)	C4-201
(G.), Vicente (J.), El Zoubidi (M.), Didelez (J.P.) and Reide (F.) Backward emission of ener- getic protons	C4-25	Bortignon (P.F.), Broglia (R.A.) and Xia Ke-ding Strength function of giant vibrations	C4-209
Baer (H.W.) See Bowman (J.D.)	C4-351	Bowman (J.D.), Baer (H.W.), Cooper (M.D.), King (N.S.P.), Matis (H.S.),	
Baldit (A.) See Avan (M.)	C4-25	Piasetzky (E.), Sennhauser (U.), Alster (J.), Erell	
Bechtold (V.) See Seegert	C4-85	(A.), Lichtenstadt (J.), Moinester (M.A.), Irom (F.) and Ingram (Q.) A depen-	
Beene (J.R.) See Bertrand (F.E.)	C4-99	dence of the excitation energy, width, and cross section of the isovector	
Berg (U.E.P.) Model - inde-, pendent determination of M1		monopole resonance	C4-351
states by nuclear resonance fluorescence	C4-359	Brandenburg (S.) See van der Werf (S.Y.)	C4-471
Bertrand (F.E.), Beene (J.R.) and Sjoreen (T.P.) Heavy		Broglia (R.A.) See Bortignon (P.F.)	C4-209
ion excitation and photon decay of giant resonances	C4-99	Brown (G.E.) Nonlinear ef- fects and collective exci-	C4-479
Bland (L.C.) See Morris	C4-327	Buenerd (M.) The compression	U4=4/3
Blok (H.) See van der Bijl (L.T.)	C4-465	modes in nuclei - An expe- rimental review	C4-115
Blok (H.P.) See van der Bijl	C4-465	Buenerd (M.) See Blumenfeld (Y.)	C4-201

Carey (T.A.) See Nanda	C4-459	Erell (A.) See Bowman (J.D.)	C4-351
Castor (J.) See Avan (M.)	C4-25	Ericson (M.) Recent aspects of the nuclear spin isospin	04 400
Chaigne (G.) See Avan (M.)	C4-25	response function	C4-489
Chant (N.S.) See Watson		Fargeix (J.) See Avan (M.)	C4-25
(J.W.)	C4-91	Flanders (B.S.) See Watson (J.W.)	C4-91
Chomaz (Ph.) See Blumenfeld (Y.)	C4-201	Force (P.) See Avan (M.)	C4-25
Comfort (J.R.) See Nanda (S.K.)	C4-459	Franey (M.A.) See Love (W.G.)	C4-231
Cooper (M.D.) See Bowman	C4-351	Frascaria (N.) See Blumenfeld (Y.)	C4-201
Decharge (J.) See Gogny (D.)	C4-221	Friedrich (L.) See Seegert	C4-85
Devaux (A.) See Avan (M.)	C4-25	Friesel (D.L.) See Watson	
Devins (D.W.) See Watson (J.W.)	C4-91	(J.W.)	C4-91
De Witt Huberts (P.K.A.) See Lapikás (L.)	C4-57	Fujita (Y.) See Fujiwara (M.)	C4-453
De Witt Huberts (P.K.A.) See van der Bijl (L.T.)	C4-465	Fujiwara (M.), Fujita (Y.), Katayama (I.), Morinobu (S.), Yamazaki (T.),	
Didelez (J.P.) See Avan (M.)	C4-25	Ikegami (H.) and Hayakawa (S.I.) Isoscalar charac- ter of the 5.845 MeV 1 ⁺	
Di Toro (M.), Giansiracusa (G.), Lombardo (U.) and Russo (G.) Fluid dynami-		state in ²⁰⁸ Pb	C4-453
cal description of giant resonances on high spin states	C4-297	reactions and spin-isospin modes	C4-405
Djalali (C.) Excitation of "M1 transitions" in inelas-		Gales (S.) Investigation of inner and outer subshells via transfer reactions	C4-39
tic proton scattering Drentje (A.G.) See van der	C4-375	Gamp (A.) See Blumenfeld	C4-201
Werf (S.Y.)	C4-471	Garron (J.P.) See Blumenfeld	04 501
Ejiri (H.) Deexcitation of highly excited states and		(Y.)	C4-201
giant resonances by nucleon emission	C4-135	Giansiracusa (G.) See Di Toro (M.)	C4-297
El Zoubidi (M.) See Avan	C4-25	Glashausser (C.) See Nanda (S.K.)	C4-459
Emery (G.T.) Excitation of stretched and nearly stret- ched particle-hole states	C4-389	Gogny (D.) and Decharge (J.) High energy nuclear excita- tions	C4-221
Ent (R.) See van der Bijl	C4-465	Grabmayr (P.) See Seegert	C4-85

Grasdijk (P.) See van der Werf (S.Y.)	C4-471	Lapikás (L.) and de Witt Huberts (P.K.A.) Excita-	
Greenfield (M.B.) See van der Werf (S.Y.)	C4-471	tion of nuclear hole states by the (e,e'p) reaction	C4-57
Harakeh (M.N.) A review of the fission decay of the		Lebrun (D.) See Blumenfeld (Y.)	C4-201
giant resonances in the actinide region	C4-155	Leonardi (R.) Isospin struc- ture of giant resonances	C4-319
Harakeh (M.N.) See van der Werf (S.Y.)	C4-471	Levenson (S.) See Nanda	CA 450
Hardy (J.C.) and Towner (I.S.) Gamow-Teller strength		Lichtenstadt (J.) See Bowman	C4-459
distribution in the β -decay of exotic nuclei	C4-417	(J.D.)see Bowman	C4-351
Hatanaka (K.) See Sakai (H.)	C4-31	Lindgren (R.A.) Stretched excitations as a means to	
Hayakawa (S.I.) See Fujiwara (M.)	C4-453	study the spin modes of the nucleus with electromagne-tic and hadronic probes	C4-433
Heisenberg (J.) See van der Bijl (L.T.)	C4-465	Lombardo (U.) See Di Toro	C4-297
Ikegami (H.) See Fujiwara	C4-453	Love (W.G.) and Francy (M.A.)	
Ingram (0.) See Bowman (J.D.)	C4-351	<pre> Effective interactions and the excitation of giant resonances</pre>	C4-231
Irom (F.) See Bowman (J.D.).	C4-351	McClelland (J.B.) See Nanda	
Jacmart (J.C.) See Blumenfeld (Y.)	C4-201	(S.K.)	C4-459
Jones (K.W.) See Nanda	C4-459	(S.K.)	C4-459
Katayama (I.) See Fujiwara (M.)	C4-453	ments in the study of con- tinuum spectra	C4-3
Khanna (F.C.) See Towner	C4-519	Mairle (G.) See Seegert (G.)	C4-85
Kihm (T.) See Seegert (G.)	C4-85	Martin (Ph.) See Blumenfeld (Y.)	C4-201
King (N.S.P.) See Bowman (J.D.)	C4-351	Matis (H.S.) See Bowman (J.D.)	C4-351
Knöpfle (K.T.) See Seegert	C4-85	Matsuoka (N.) See Sakai (H.)	C4-31
Knüpfer (W.) and Metsch (B.C.)		Metsch (B.C.) See Knüpfer (W.)	C4-513
Many-particle many-hole excitations and the retar- dation of magnetic dipole	04 512	Moinester (M.A.) See Bowman (J.D.)	C4-351
and GT transition-strengths Landaud (G.) See Avan (M.)	C4-513	Morinobu (S.) See Fujiwara	C4-453
Landaud (d.) See Avan (m.)	01-20		

Morris (C.L.), Seestrom-Morris (S.J.) and Bland (L.C.) Excitation of giant resonances in pion inelastic scattering	C4-327	Sakai (H.), Hatanaka (K.), Matsuoka (N.), Motobayashi (T.), Saito (T.), Shibata (T.) and Shimizu (A.) Analyzing power of neutron	
Morsch (HP.) Direct exci- tation of higher multipole resonances in heavy nuclei.	C4-185	continuum spectra for the ⁹³ Nb(p̄,nX) reaction at 65 MeV	C4-31
Moss (J.M.) See Nanda (S.K.)	C4-459	Schulte (A.) See Osterfeld (F.)	C4-13
Motobayashi (T.) See Sakai (H.)	C4-31	Schwentker (0.) See van der Bijl (L.T.)	C4-465
Nanda (S.K.), Glashausser (C.), Jones (K.W.), McGill (J.S.), Carey (T.A.), McClelland (J.B.), Moss (J.M.), Seestrom-Morris (S.J.), Comfort (J.R.), Levenson (S.), Segel (R.) and Ohnuma (H.) Spin flip strength at high excitation		Schwesinger (B.) See Wambach (J.) Seegert (G.), Pfeiffer (A.), Grabmayr (P.), Kihm (T.), Knöpfle (K.T.), Mairle (G.), Wagner (G.J.), Bechtold (V.) and Friedrich (L.) Study of deeply-bound hole	C4-281
energy in the ${}^{\circ}0$ Zr $(\vec{p},\vec{p}')^{\circ}0$ Zr reaction	C4-459	states in the Zr-region via the (d, ³ He) reaction	C4-85
Ohnuma (H.) See Nanda (S.K.)	C4-459	Seenhauser (U.) See Bowman (J.D.)	C4-85
Osterfeld (F.) and Schulte (A.) Microscopic calcula- tions of the background be- low giant resonances	C4-13	Seestrom-Morris (S.J.) See Morris (C.L.)	C4-327
Pella (P.J.) See Watson	C4-91	Seestrom-Morris (S.J.) See Nanda (S.K.)	C4-459
Pfeiffer (A.) See Seegert	C4-85	Segel (R.) See Nanda (S.K.). Segeth (W.) See van der Werf	C4-459
Piasetzky (E.) See Bowman	C4-351	(S.Y.)	C4-471
Reide (F.) See Avan (M.)	C4-25	Shibata (T.) See Sakai (H.). Shimizu (A.) See Sakai (H.).	C4-31 C4-31
Rho (M.) Chiral filter, axial charges and Gamow- Teller strengths	C4-503	Sjoreen (T.P.) See Bertrand (F.E.)	C4-99
Richter (A.) See van der Bijl (L.T.)	C4-465	Snover (K.A.) Giant resonan- ces built on highly excited states	C4-337
Roche (G.) See Avan (M.)	C4-25	Soloviev (V.G.) Deep hole	
Roos (P.G.) See Watson	C4-91	and high-lying particle strength functions	C4-69
Roynette (J.C.) See Blumenfeld (Y.)	C4-201	Sterrenburg (W.A.) See van der Werf (S.Y.)	C4-471
Russo (G.) See Di Toro (M.).	C4-297	Suzuki (T.) Sum rule ap- proach to giant resonance	
Saito (T.) See Sakai (H.)	C4-31	states	C4-251

Towner (I.S.) and Khanna (F.C.) On l-forbidden M1 and GT transitions in		Van der Woude (A.) See van der Werf (S.Y.)	C4-471
A=39	C4-519	Vicente (J.) See Avan (M.)	C4-25
Towner (I.S.) See Hardy (J.C.)	C4-417	Von Oertzen (W.) See	
Treiner (J.) Semi-classical approaches to electric		Blumenfeld (Y.)	C4-201
giant resonances	C4-265	Wagner (G.J.) See Seegert	C4-85
Van der Bijl (L.T.), Blok (H.), Blok (H.P.), Ent (R.), Heisenberg (J.), Schwentker (O.), Richter (A.) and de Witt Huberts		Wambach (J.) and Schwesinger (B.) Damping of highly excited vibrations in heavy nuclei	C4-281
(P.K.A.) Electro-excita- tion of the 1 ⁺ state at 3.486 MeV in ⁸⁸ Sr	C4-465	Watson (J.W.), Pella (P.J.), Ahmad (M.), Flanders (B.S.), Chant (N.S.), Roos	
Van der Werf (S.Y.), Brandenburg (S.), Drentje (A.G.), Grasdijk (P.), Greenfield (M.B.), Harakeh		(P.G.), Devins (D.W.) and Friesel (D.L.) Neutron deep-hole states from the (p,pn) reaction	C4-91
(M.N.), Segeth (W.), Sterrenburg (W.A.) and van der Woude (A.) Iso- vector ∆L=1 strength obser-		Xia Ke-ding See Bortignon (P.F.)	C4-209
ved in the (³ He,t) reaction in self conjugate nuclei	CA . 471	Yamazaki (T.) See Fujiwara	C4-453



COLLOQUE Nº 5 - 1984

International Conference on the Dynamics of Interfaces

Lille (France), 1983

Abeles (F.) Plasmons et polaritons de surface et leurs applications	C5-23	Bavay (J.C.), Noga (E.), Bricout (J.P.) and Vu Quang (K.) Some me- tallurgical, chemical	
Abraham (S.) See Sapriel (J.)	C5-75	and electrochemical factors affecting hy- drogen evolution kine-	
Agranovich (V.M.), Kravtsov (V.E.) and Leskova (T.A.) New types of local resonan-		tics on stainless alloy surfaces in acid media.	C5- 4 71
ces in thin rough film.	C5-231	Beal-Monod (M.T.) Sur- face magnetism of near-	
Albuquerque (E.L.) and Gonçalves da Silva (C.E.T.) Resonant		ly magnetic systems and related properties	C5-339
Brillouin scattering in spatially dispersive medium	C5-61	Becker (W.) See Wiartalla (W.)	C5-461
Albuquerque (E.L.) See Tilley (D.R.)	C5-103	Bennemann (K.H.) See Kumar (V.)	C5- 44 9
Allan (G.) See Priester (C.)	C5-519	Beserman (R.) See Sapriel (J.)	C5-75
Amiri-Hezaveh (A.), Jennings (G.), Joyner (D.J.) and Willis (R.F.) Electronic and magnetic states of ul-		Boardman (A.D.), Cooper (G.S.) and Egan (P.) Surface polariton soli- tons	C5-197
tra-thin Fe films	C5-371	Boardman (A.D.) and Egan (P.) Nonlinear surfa-	
Auld (B.A.), Shui (Y.A.) and Wang (Y.). Elastic wave propagation in three-dimensional pe-		ce and guided polari- tons of a general layered dielectric structure	C5-291
riodic composite mate- rials	C5-159	Boardman (A.D.) and Egan	
Babiker (M.) Theory of charges near a jellium		(P.) The influence of collisional damping on surface plasmon-polari-	
surface	C5-465	ton dispersion	C5-179
Ballantyne (J.M.) See Koteles (E.S.)	C5-213	Boardman (A.D.) and Irving (A.K.) Surface modes	
Barrera (R.G.), Fuchs (R.) and Mochán (W.L.) Op-		at a ferrite-semicon- ductor interface	C5-275
tical properties of rough non-local surfaces	C5-229	Bolmont (D.), Chen (P.) and Sebenne (C.A.) Electronic properties	
Barrera (R.G.) See Mochan (W.L.)	C5-207	at abrupt metal- Si(III) interfaces	C5-419

Bonapace (C.R.), Li (K.) and Kahn (A.) GaAs(110)-Al interfaces formed at low tempera-		Chen (P.) See Bolmont (D.)	C5-419
ture	C5-409	(E.S.)	C5-213
Borensztein (Y.), López-Ríos (T.) and Vuye (G.) Electronic		Cinti (R.C.) See Nguyen (T.T.A.)	C5- 4 35
properties of copper and silver adsorbates on metallic surfaces,		Colvard (C.) See Klein (M.V.)	C5-131
studied by surface re- flectance spectroscopy.	C5-455	Cooper (G.S.) See Boardman (A.D.)	C5-197
Bortolani (V.), Nizzoli (F.) and Santoro (G.) Brillouin scattering at		Cottam (M.G.) See Kontos (D.E.)	C5-329
interfaces and longwa- velength acoustic pho- nons	C5-45	Da Cunha Lima (I.C.) See Ying (S.C.)	C5-515
Bricout (J.P.) See Bavay (J.C.)	C5-471	Dawson (P.) et Walmsley (D.G.) Mise en évi- dence du rôle dominant	
Brodsky (M.B.) Metallic interfaces and property modification	C5-349	des plasmons polaritons rapides lors de l'émission de lumière par des jonctions tun-	
Buisson (JP.), Rzepka (E.) and Taurel (L.) Raman scattering indu-		nel à rugosité statis- tique	C5-269
ced by dielectric-me- tallic colloïd interfa- ces	C5-69	Didham (E.F.J.), Foster (M.S.), Hinch (B.J.) and Willis (R.F.) Symmetry effects in the	
Camley (R.E.) Linear and nonlinear spin wave excitations in superlat-		H-induced W(100) surfa- ce reconstruction	C5-113
tices and at surfaces	C5-315	Dil (J.G.) See Visser (D.)	C5-83
Camley (R.E.) See Djafari-Rouhani (B.)	C5-151	Djafari-Rouhani (B.), Dobrzynski (L.),	
Capasso (C.) See Quaresima (C.)	C5-395	Hardouin Duparc (O.), Camley (R.E.) and Maradudin (A.A.)	
Carter (G.M.) See Chen (Y.J.)	C5-261	Theory of surface vi- brations in superlatti-	
Chabal (Y.J.) See Sievers (A.J.)	C5-167	Djafari-Rouhani (B.)	C5-151
Chaplik (A.V.) Optical		See Masri (P.)	C5-37
activity of plasma os- cillations in mulilayer structures	C5-311	Dobrzynski (L.) See Djafari-Rouhani (B.)	C5-151
Chen (Y.J.) and Carter (G.M.) Nonlinear sur-		Dow (J.D.) Disordered superstructures	C5-525
face electromagnetic waves at metal-semicon- ductor interfaces	C5-261	of the Conference - ex- perimental aspects	C5-529
		FOR THIS HOURT GODGCCO	~J J Z J

Droste (R.) See Walker (J.C.)	C5-357	Garcia-Moliner (F.) See Velasco (V.R.)	C5-65
Egan (P.) See Boardman (A.D.)	C5-179	Giuliani (G.F.), Quinn (J.J.) and Wallis (R.F.) Surface and	
Egan (P.) See Boardman (A.D.)	C5-197	bulk plasmon-polaritons in periodic metallic heterostructures	C5-285
Egan (P.) See Boardman (A.D.)	C5-291	Goldammer (W.) and Ludwig	
Endoh (Y.) See Shinjo (T.)	C5-361	(W.) Surface phonons in silicon and surface reconstruction	C5-119
Esaki (L.) Advances in semiconductor super-		Gonçalves da Silva	
lattices, quantum wells and heterostructures	C5-3	(C.E.T.) See Albuquerque (E.L.)	C5-61
Falco (C.M.) Structural and electronic proper-		Guinea (F.) See Flores (F.)	C5-401
ties of artificial metallic superlattices Falter (C.) See Zierau	C5-499	Hanke (W.) and Muramatsu (A.) Theory of electron-phonon interaction	
(W.)	C5-225	and broken symmetries of semiconductor inter- faces	C5-385
Fischer (R.) See Klein (M.V.)	C5-131	Hardouin Duparc (0.)	
Flores (F.), Sánchez-Dehesa (J.) and Guinea (F.)		See Djafari-Rouhani (B.)	C5-151
Metal-semiconductor junctions	C5-401	Herman (F.) Electronic structure of semicon-ductor interfaces	C5-375
Fornari (B.) See Mattei (G.)	C5-249	Hinch (B.J.) See Didham	
Forstmann (F.) and Kempa (K.) The electroma-		(E.F.J.)	C5-113
gnetic field and the photo yield at metal		Hosoito (N.) See Shinjo (T.)	C5-361
surfaces near the plas- ma frequency	C5-191	Hosoito (N.) See Shinjo (T.)	C5-367
Foster (M.S.) See Didham (E.F.J.)	C5-113	Ibach (H.) See Szeftel (J.)	C5-109
Franchini (A.) See Nizzoli (F.)	C5-55	Iosilevskii (Ya.A.) The Green function of a ma-	
Freeman (A.J.), Jian-hua Xu, Ohnishi (S.) and Jarlborg (T.) Elec- tronic structure and		croscopic electromagne- tic field in a disper- sive plane-stratified anisotropic medium	C5-305
magnetism of interfa- ces: sandwiches and modulated structures	C5-369	Irving (A.K.) See Boardman (A.D.)	C5-275
Fuchs (R.) See Barrera (R.G.)	C5-229	Jarlborg (T.) See Freeman (A.J.)	C5-369

Jennings (G.) See Amiri-Hezaveh (A.)	C5-371	Kumar (V.) and Bennemann (K.H.) Electronic structure of Pd on	
Jian-hua Xu See Freeman (A.J.)	C5-369	Nb(110) interface	C5-449
Joukoff (B.) See Sapriel (J.)	C5-75	Langlade (P.) and Masri (P.) Contribution of the defects to the electronic properties	
Joyner (D.J.) See Amiri-Hezaveh (A.)	C5-371	of the metal semicon- ductor interface	C5-441
Jusserand (B.), Paquet (D.), Kervarec (J.) and Regreny (A.) Raman		Lannoo (M.) See Priester (C.)	C5-519
scattering study of acoustical and optical folded modes in GaAs/GaAlAs superlatti-		Lehwald (S.) See Szeftel (J.)	C5-109
ces	C5-145	Le Lay (G.) and Metois (J.J.) Formation and	
(C.R.)	C5- 4 09	oxidation of a metal/ semiconductor interfa- ce : Pb/Ge(lll)	C5- 4 27
Kawaguchi (K.) See Shinjo (T.)	C5-361	Leskova (T.A.) See Agranovich (V.M.)	C5-231
Kawaguchi (K.) See Shinjo (T.)	C5-367	Li (K.) See Bonapace (C.R.)	C5- 4 09
Kempa (K.) See Forstmann (F.)	C5-191	Lima (N.P.) and Oliveira (F.A.) Power spectra	
Kervarec (J.) See Jusserand (B.)	C5-145	of localized retarded modes in a ferromagne- tic slab	C5-337
Keune (W.) See Wiartalla (W.)	C5-461	López-Ríos (T.) See Borensztein (Y.)	C5-455
Klein (M.V.), Colvard (C.), Fischer (R.) and Morkoç (H.) Raman probing of phonons and		Loudon (R.) Liquid sur- face and interface wa- ves	C5 -93
interfaces in semicon- ductor superlattices	C5-131	Ludwig (W.) See Goldammer (W.)	C5 -119
Kontos (D.E.) and Cottam (M.G.) Energy renor- malisation and damping		McGill (T.C.) See Smith (D.L.)	C5 -509
of surface spin waves in Heisenberg ferroma- gnets	C5-329	Majlis (N.) and Selzer (S.) Self-consistent magnetization profile and excitation spectrum	
Koteles (E.S.), Chen (Y.J.), Sonek (G.J.) and Ballantyne (J.M.).		of an interface of two Heisenberg ferromagnets	C5-335
Influence of surface corrugations on surface electromagnetic waves	C5-213	Maradudin (A.A.) Conference summary - mainly theoretical	C5-535
Kravtsov (V.E.) See	C5-221	Maradudin (A.A.) See	C5 151

Maradudin (A.A.) See Stegeman (G.I.)	C5-233	Nguyen (T.T.A.) and Cinti (R.C.) Electron spec-	
Maradudin (A.A.) See Zierau (W.)		troscopy study of Mo/Si(lll) interfaces	C5-435
Margaritondo (G.) See Quaresima (C.)	C5 -395	Nissim (Y.I.) See Sapriel (J.)	C5-75
Martin (B.G.) and Wallis (R.F.). Theory of dis-		Nizzoli (F.) See Bortolani (V.)	C5-45
persion and instabili- ties associated with localized polaritons at semiconductor interfa-		Nizzoli (F.), Franchini (A.) and Santoro (G.) The interface polycar-	
ces	C5 -255	bonate-glass : a theo- retical study of Brillouin spectra and photoelastic properties	C5-55
Djafari-Rouhani (B.) Phonons aux interfaces cristallines	C5 -37	Noga (E.) See Bavay	GE 400
		(J.C.)	C5-471
Masri (P.) See Langlade (P.)	C5-441	Ohnishi (S.) See Freeman (J.)	C5-369
Mattei (G.), Fornari (B.), Pagannone (M.) and Mattioli (L.) Appli-		Oliveira (F.A.) Asymme- tric lineshape for	
cation of Raman scatte- ring excited in condi- tion of total reflec-		light scattering by elementary excitations.	C5-81
tion (RSTR) to the stu- dy of surface phenomena in crystals	C5-249	Oliveira (F.A.) See Lima (N.P.)	C5-337
Matter 22 / F 3		Oliveros (M.C.) See Tilley (D.R.)	C5-103
Mattioli (L.) See Mattei (G.)	C5-249	IIIIGY (D.K.)	C3 100
Metois (J.J.) See Le Lay (G.)	C5 -427	Oudar (J.L.) See Sapriel	c5-75
Michel (J.C.) See Sapriel (J.)	C5-139	Pagannone (M.) See Mattei (G.)	C5-249
Mochán (W.L.) and Barrera (R.G.) Surface lo- cal - field effect	C5-207	Paquet (D.) See Jusserand (B.)	C5-145
Mochán (W.L.) See Barrera (R.G.)	C5-229	Patella (F.) See Quaresima (C.)	C5-395
Morkoç (H.) See Klein (M.V.)	C5-131	Perfetti (P.) See Quaresima (C.)	C5-395
Muramatsu (A.) See Hanke (W.)	C5-385	Pfannes (HD.) See Wiartalla (W.)	C5- 4 61
Narayanamurti (V.) Acoustic properties of semiconductor superlattices and interfaces	C5-157	Pick (Š.) See Tomášek	C5-125

Pierce (R.M.) and Ushioda (S.) Raman scattering by surface electroma- gnetic waves in dielec- tric slabs with gra- tings	C5-219	Sapriel (J.), Michel (J.C.), Toledano (J.C.) and Vacher (R.) Acoustic modes in Ga _{1-x} Al _x As crystals and related superlattices	C5-139
Pinczuk (A.) Light scat- tering by two dimensio- nal electron systems in semiconductors	C5- 4 77	Sapriel (J.), Nissim (Y.I.), Joukoff (B.), Oudar (J.L.), Abraham (S.) and Beserman (R.) Raman vibrational studies of transient annealing of GaAs amor-	
and Lannoo (M.) Breakdown of three di- mensional effective mass approximation in narrow superlattices	C5-519	phous thin films Savoia (A.) See Quaresima (C.)	C5-75
narrow superfactices	C3 317	Schlesinger (Z.) See	
Puszkarski (H.) Spin- wave surface parameter		Sievers (A.J.)	C5-167
characterization of ma- gnetic thin film inter- faces	C5-325	Sebenne (C.A.) See Bolmont (D.)	C5-419
	C3 323	Selzer (S.) See Majlis (N.)	C5-335
Quaresima (C.), Patella (F.), Sette (F.), Capasso (C.), Savoia (A.), Perfetti (P.)		Sette (F.) See Quaresima (C.)	C5-395
and Margaritondo (G.) Microscopic properties of ordered and disorde-	ar 201	Shinjo (T.), Hosoito (N.), Kawaguchi (K.), Takada (T.) and Endoh (Y.)	
red ZnSe-Ge interfaces.	C5-395	Magnetism of iron in- terface in contact with vanadium	C5-361
Quinn (J.J.) See Giuliani (G.F.)	C5-285		C3 301
Regreny (A.) See Jusserand (B.)	C5-145	Shinjo (T.), Kawaguchi (K.), Yamamoto (R.), Hosoito (N.) and Takada (T.) Fe-Mg multilaye-	
Rzepka (E.) See Buisson (JP.)	C5-69	red films with artificial superstructure	C5-367
Sánchez-Dehesa (J.) See		Shui (Y.A.) See Auld	
Flores (F.)	C5-401	(B.A.)	C5-159
Sandercock (J.R.) Experimental observation of surface and interface modes by light scatte-		Sievers (A.J.), Schlesinger (Z.) and Chabal (Y.J.) IR spectroscopy with sur- face electromagnetic	
ring	C5-27	waves	C5-167
Santoro (G.) See Bortolani (V.)	C5-45	Smith (D.L.) and McGill (T.C.) HgTe-CdTe superlattices	C5-509
Santoro (G.) See Nizzoli		Sonek (G.J.) See Koteles	
(F.)	C5-55	(E.S.)	C5-213

Stegeman (G.I.), Maradudin (A.A.) and Wallis (R.F.). The optics of surface plasmons	C5-233	Visser (D.), van Hijningen (N.C.J.A.) and Dil (J.G.). Brillouin scattering near rigid	
Stern (G.) See Walker		interfaces	C5 -83
(J.C.)	C5 -357	Voos (M.) Absorption and luminescence experi-	
Szeftel (J.), Lehwald (S.) and Ibach (H.) Measu- rement of the disper- sion curves of surface		ments in semiconductor superlattices	C5- 4 89
vibrations on Ni(100) and Ni(100) C (2 x 2) 0 by electron energy loss		Vu Quang (K.) See Bavay (J.C.)	C5- 4 71
spectroscopy	C5-109	Vuye (G.) See Borensztein (Y.)	C5 -455
Takada (T.) See Shinjo	C5-361	Walker (T.C.) Duranta	
Takada (T.) See Shinjo	C5-367	Walker (J.C.), Droste (R.), Stern (G.) and Tyson (J.) Experimental temperature depen-	
Taurel (L.) See Buisson (JP.)	C5-69	dence of the magnetiza- tion of Fe at interfa- ces with non-magnetic	
Tilley (D.R.), Albuquerque (E.L.) and Oliveros		materials	C5 -357
(M.C.). Theory of Brillouin scattering by an isotropic elastic		Wallis (R.F.) See Giuliani (G.F.)	C5-285
plate	C5-103	Wallis (R.F.) See Martin (B.G.)	C5-255
Toledano (J.C.) See Sapriel (J.)	C5-139	Wallis (R.F.) See Stegeman (G.I.)	C5 -233
Tomášek (M.) and Pick (S.) Instability and re- construction of the		Walmsley (D.G.) See	
W (001) surface	C5 -125	Dawson (P.)	C5-269
Tyson (J.) See Walker (J.C.)	C5 -357	Wang (Y.) See Auld (B.A.)	C5-159
Ushioda (S.) Raman scat- tering studies of pho- non-surface-polaritons.	C5-243	Wiartalla (W.), Becker (W.), Keune (W.) and Pfannes (HD.)	
Ushioda (S.) See Pierce (R.M.)	C5-219	Structural and Mössbauer investigation of epitaxial Cu/\gamma-Fe/Cu	
Vacher (R.) See Sapriel (J.)	C5-139	sandwich layers	C5-461
Van Hijningen (N.C.J.A.) See Visser (D.)	C5 -83	Willis (R.F.) See Didham (E.F.J.)	C5-113
Velasco (V.R.) and Garcia-Moliner (F.) Acoustic surface waves		Willis (R.F.) See Amiri-Hezaveh (A.)	C5-371
in piezoelectric crys- tals with thin over-	C5 -65	Yamamoto (R.) See Shinjo	C5 -367

Ying (S.C.) and da Cunha Lima (I.C.). Resistivity of a disordered two-dimensional electron gas under magnetic field		Zierau (W.), Maradudin (A.A.) and Falter (C.) On the propagation of s-polarized surface polaritons on rough surfaces	C5 -225
---	--	--	---------

COLLOQUE Nº 6 - 1984

Semiclassical Methods in Nuclear Physics

Grenoble (France), 1984

Alhassid (Y.) See Reinhardt (H.)	C6-87	Bonaccorso (A.), Di Toro (M.), Lombardo (U.) and Russo (G.)	
Andō (K.) See Eckart (G.)	C6-285	Giant resonances in heavy ion collisions	C6-269
Arcoragi (J.P.) See Tondeur (F.)	C6-125		C0-207
Arickx (F.), Broeckhove (J.) and		Brack (M.) The extended Thomas- Fermi model at finite tempera-	
Van Leuven (P.) The time-		ture	C6-15
dependent symplectic model as a semi-classical method for		Broeckhove (J.) See Arickx (F.)	C6-311
nuclear collective motion	C6-311	Brosa (U.) Fluctuations in the nu-	04.50
Arvieu (R.) See Carbonell (J.)	C6-351	clear dynamics of fission	C6-473
Arvieu (R.) See Carbonell (J.)	C6-371	Brut (F.) See Carbonell (J.)	C6-351
Asghar (M.) and Hasse (R.W.)		Brut (F.) See Carbonell (J.)	C6-371
Saddle-to-scission landscape in fission: experiments and theo-		Carbonell (J.), Brut (F.), Arvieu (R.)	
ries	C6-455	and Touchard (J.) Classical properties and semiclassical	
Balazs (N.L.) On Wigner's function		calculations in a spherical nu- clear average potential	C6-351
and other functions associated with operators	C6-11	Carbonell (J.), Brut (F.), Arvieu (R.)	
Balian (R.) See Reinhardt (H.)	C6-87	and Touchard (J.) The ap-	
		proach of chaos in deformed nuclei	C6-371
Barranco (M.) See Viñas (X.)	C6-103	Caurier (E.), Drożdż (S.) and	
Bartel (J.) A semiclassical		Ploszajczak (M.) RSVP ap-	
Hartree-Fock method	C6-205	proach to the quantization and tunneling in multidimensional	
Berdichevsky (D.) Influence of the nuclear asymmetry and		hamiltonian systems	C6-361
Coulomb force on the surface		Chasman (R.R.) Microscopic and	
width of the nuclear mass den- sities	C6-221	semi-classical treatments of octupole deformation in the	
		light actinides	C6-167
Besold (W.), Toepffer (C.) and Reinhard (PG.) Small vi-		Da Providência (J.P.) The inter-	
brations about excited states	C6-321	play between first sound and zero sound in a finite Fermi	
Blin (A.H.), Hiller (B.), Hasse (R.W.)		system	C6-333
and Schuck (P.) A general		Da Silveira (R.) and	
iteration scheme for the calcul- ation of level densities, and re-		Leclercq-Willain (Ch.) Nu- clear refractive effects in nu-	
sults using a semiclassical approximation	C6-231	cleus-nucleus scattering at inter-	C(205
		mediate energies	C6-395
Błocki (J.) Dynamics of nuclear fusion	C6-489	Di Toro (M.) See Bonaccorso (A.)	C6-269

Dreizler (R.M.) and Kohl (H.) On some applications of time- dependent invariants to the semiclassical formulation of		Hefter (E.F.), Gridnev (K.A.) Saad (S.), Semjonov (V.M.) and Subbotin (V.B.).— Energy storing in compressed nuclear matter	C6-241
quantum mechanics	C6-35	Hefter (E.F.) The inverse mean	
Drożdż (S.) See Caurier (E.)	C6-361	field method (Imefim) - From statics to dynamics	C6-67
Durand (M.), Schuck (P.) and Kunz (J.) Currents in super- fluid rotating nuclei	C6-143	Hilf (E.R.) Semiclassical QCD- Lagrangian for Nuclear Physics.	C6-45
Durand (M.), Schuck (P.) and Treiner (J.) Semiclassical		Hiller (B.) See Blin (A.H.)	C6-231
calculation of the Wigner transform of the single parti- cle density matrix and semi-		Hilton (R.R.) Description of the giant angle dipole	C6-255
classical Hartree-Fock	C6-191	Huguenin (P.) See Guillod (F.)	C6-27
Eckart (G.) and Ando (K.) Continuum fluid dynamics and RPA		Jang (S.) Nuclear elasticity approach to giant resonances	C6-305
for giant resonances Friedrich (J.) See Reinhard (PG.)		Klein (A.) Revised equation of motion method, semi-classical limit, and mathematically closed	
Fröbrich (P.) How does the clas-	C6-181	theory of large amplitude collective motion	C6-111
sical surface friction model compare with the time-depen-	C(1125	Kohl (H.) See Dreizler (R.M.)	C6-35
dent Hartree-Fock method ? Grawert (G.) See Mukhopadhyay	C6-425	Köhler (H.S.) TDHF with collisions in heavy ion dynamics	C6-389
(D.)	C6-435	Kramer (P.) Moment maps, symplectic manifolds, coherent	
Gridnev (K.A.) See Hefter (E.F.)	C6-241	states applied to nuclear col- lective motion	C6-79
Guillod (F.) and Huguenin (P.) Scattering by complex poten-		Krivine (H.) Critical analysis of	
tials without complex trajec- tories	C6-27	some criticisms of the droplet model	C6-153
Gupta (R.K.), Saroha (D.R.) and Malhotra (N.) Fragmentation		Kunz (J.) See Durand (M.)	C6-143
dynamics in nuclear fission and in heavy ion collisions	C6-477	Leclercq-Willain (Ch.) See da Silveira (R.)	C6-395
Hartmann (K.M.) A semiclassical theory for mass and charge		Lombardo (U.) See Bonaccorso (A.)	C6-269
transport coefficients in heavy- ion reactions	C6-401	Malhotra (N.) See Gupta (R.K.)	C6-477
Hasse (R.W.) and Schuck (P.) Semiclassical calculations of the imaginary part of the nu- cleon-nucleus optical potential.	C4 213	Martorell (J.) and Moya de Guerra (E.) The DME as an approximation to the Wigner transform	C6-199
	C6-213	Martorell (J.) See Moya de Guerra	
Hasse (R.W.) See Asghar (M.)		(E.)	C6-95
Hasse (R.W.) See Blin (A.H.)		Marty (C.) On the application of semi-classical concepts to	
Hasse (R.W.) See Stroth (U.)	C6-343	heavy ion scattering	C6-121

Montoya (M.) Fission: statistical nucleon pair breaking	C6-407	Ring (P.) Giant resonances at high spins and finite temperature and phase transitions in nuclei	C(21/7
Moya de Guerra (E.) and Martorell (J.) On a theorem		Rosenfelder (R.) Wigner transform	C6-247
for one-body Wigner distribu-	04.00	methods in inclusive electron	
tion functions	C6-95	scattering from nuclei	C6-3
Moya de Guerra (E.) See Martorell (J.)	C6-199	Russo (G.) See Bonaccorso (A.)	C6-269
	C0=177	Saad (S.) See Hefter (E.F.)	C6-241
Mukherjee (S.N.) and Pandey (L.N.) Semi classical approach to		Saroha (D.R.) See Gupta (R.K.)	C6-477
elastic collisions of deformed heavy-ions	C6-445	Scheid (W.) See Münchow (M.)	C6-463
			00 ,05
Mukhopadhyay (D.) and Grawert (G.) Semiclassical and quantum mechanical treat-		Schmit (C.) Spectral properties of billiards and quantum chaos	C6-379
ments of positive and negative angle polarized heavy ion		Schuck (P.) See Blin (A.H.)	C6-231
scattering	C6-435	Schuck (P.) See Durand (M.)	C6-143
Münchow (M.) and Scheid (W.)		Schuck (P.) See Durand (M.)	C6-191
Classical treatment of the deep inelastic collision of ²³⁸ U on ²³⁸ U including deformation		Schuck (P.) See Hasse (R.W.)	C6-213
degrees of freedom	C6-463	Schuck (P.) See Stroth (U.)	C6-343
Nawrocka (W.) Hydrodynamic equations for nuclear matter	C6-137	Semjonov (V.M.) See Hefter (E.F.)	C6-241
Pandey (L.N.) See Mukherjee		Sperber (D.) A proposal for a uni-	
(S.N.)	C6-445	fied dynamical model for fission, fusion and damped col-	
Papadopolos (Z.) The nuclear ve-		lisions	C6-415
locity field with and without	07.207	Stocker (W.) Statics and dynamics	04.200
the vortex spin	C6-297	of compressed nuclei	C6-289
Pearson (J.M.) See Tondeur (F.)	C6-125	Stringari (S.) Macroscopic models for isovector M1 rotational	
Pérez-Canyellas (A.) See Viñas (X.)	C6-103	states	C6-265
Pí (M.) See Viñas (X.)	C6-103	Stroth (U.), Hasse (R.W.) and Schuck (P.) Semiclassical	
Ploszajczak (M.) See Caurier (E.)	C6-361	calculation of the nuclear response function at high mo-	
Polls (A.) See Viñas (X.)	C6-103	mentum transfer	C6-343
Reinhard (PG.) and Friedrich (J.)		Strutinsky (V.M.) Liquid particle	
A sum-rule estimate of RPA ground-state correlations in		and liquid gas models of nuclear dynamics	C6-281
nuclei	C6-181		
Reinhard (PG.) See Besold (W.)	C6-321	Subbotin (V.B.) See Hefter (E.F.)	C6-241
		Suraud (E.) Applications of a fully	
Reinhardt (H.), Balian (R.) and Alhassid (Y.) A geometric		variational method for solving zero order Thomas-Fermi	
approach to dissipation and its		equations	C6-161
application to dissipative nu- clear dynamics	C6-87	Toepffer (C.) See Besold (W.)	C6-321

Tondeur (F.), Arcoragi (J.P.) and Pearson (J.M.) Links between the Hartree-Fock and semi- classical models of static nu- clear properties	C6-125	Viñas (X.), Barranco (M.), Pí (M.), Polls (A.) and Pérez-Canyellas (A.) An extended Thomas- Fermi calculation of supernova matter	C6-103
Touchard (J.) See Carbonell (J.)	C6-351		
Touchard (J.) See Carbonell (J.)	C6-371	Winter (J.) Covariant extension of the Wigner transformation to	
Treiner (J.) See Durand (M.)	C6-191	non-Abelian Yang-Mills symme- tries for a Vlasov equation ap-	
Van Leuven (P.) See Arickx (F.)	C6-311	proach to the quark-gluon plas-	C6-53

COLLOQUE Nº 7 - 1984

Workshop on « Water »

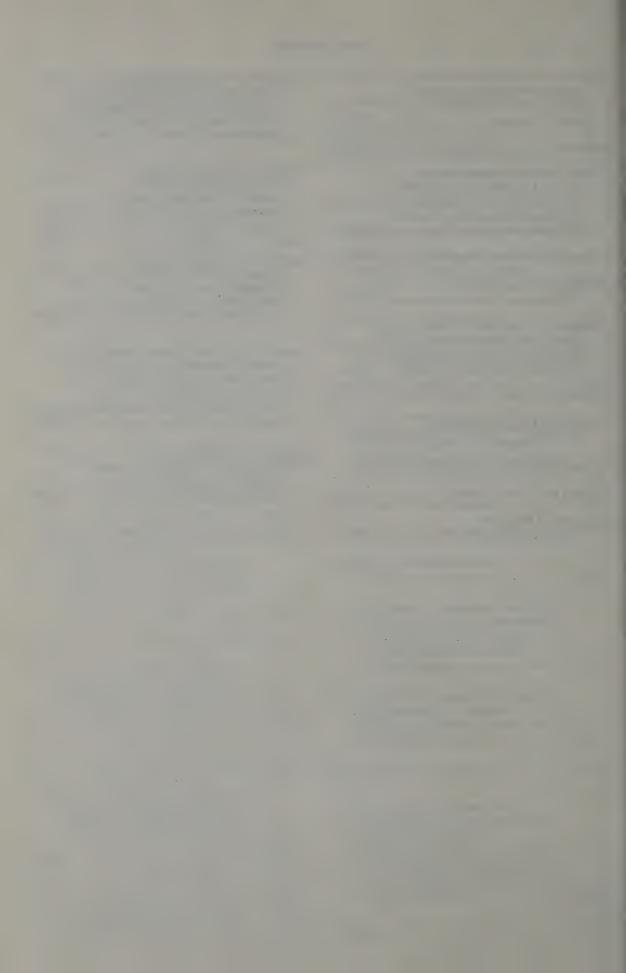
Structure and Dynamics of Water and Aqueous Solutions: Anomalies and their Possible Implications in Biology

Grenoble (France), 1984

Bellissent-Funel (MC.) See Fontana (M.P.)	C7-151	Cummings (S.) The hydration of the ammonium ion in aqueous ammonium sulphate solution as	
Bellissent-Funel (MC.) See Teixeira (J.)	C7-65	studied by neutron diffraction	C7-131
Bellissent-Funel (MC.), Kahn (R.), Dianoux (A.J.), Fontana (M.P.), Maisano (G.), Migliardo (P.) and Wanderlingh (F.) Dynamics of		D'Arrigo (G.) and Conde (O.) Acoustic properties of water- ethanol mixtures at low tempera- tures	C7-185
protons in water and aqueous ZnCl ₂ solutions	C7-143	Dianoux (A.J.) See Bellissent-Funel (MC.)	C7-143
Berendsen (H.J.C.) See Postma (J.P.M.)	C7-31	Dianoux (A.J.) See Conard (J.)	C7-169
		Dianoux (A.J.) See Fontana (M.P.)	C7-151
Bizot (H.), Buleon (A.) and Riou (N.) Study of native starch hydra- tion: influence of sorption hyste-		Dianoux (A.J.) See Teixeira (J.)	C7-65
resis	C7-259	Dore (J.C.) Neutron diffraction studies of water in the normal	C7 40
Blumberg (R.L.) See Geiger (A.)	C7-13	and super-cooled liquid phase	C7-49
Blumberg (R.L.) See Stanley (H.E.).	C7-3	Dubochet (J.) and Lepault (J.) Cryo-electron microscopy of	07.05
Bounds (D.G.) Molecular dynamics		vitrified water	C7-85
studies of aqueous solutions	C7-113	Eisenberg (H.) See Zaccai (G.)	C7-269
Bourret (D.) and Parello (J.) Hydration of lysozyme in aqueous so-		Fink (W.) See Lang (E.W.)	C7-173
lution as studied by self-diffusion NMR measurements and by Kerr-dielectric relaxation		Finney (J.L.) Solvent effects in biomolecular systems and processes	C7-197
Braganza (L.F.) See Worcester (D.L.)	C7-267	Fontana (M.P.) See Bellissent-Funel (MC.)	C7-143
Buleon (A.) See Bizot (H.)	C7-259	Fontana (M.P.), Maisano (G.), Migliardo (P.), Bellissent-Funel	
Chen (SH.) See Teixeira (J.)	C7-65	(MC.) and Dianoux (A.J.) Low frequency dynamics in water and	
Clementi (E.) See Fornili (S.L.)	C7-219	aqueous solutions of ZnCl ₂ : a comparative investigation by Raman, Rayleigh wing and	
Conard (J.), Hestrade-Szwarkopf (H.), Poinsignon (C.) and Dianoux		inelastic neutron scattering	C7-151
(A.J.) Dynamical properties of the Li ⁺ , 3H ₂ O hydrate in the interlamellar space of a swelling		Fornili (S.L.), Migliore (M.), Vercauteren (D.P.) and Clementi (E.) Monte Carlo simulation	
clay	C7-169	of water interaction with Gra- micidin A transmembrane chan-	
Conde (O.) See D'Arrigo (G.)	C7-185		C7-219

Geiger (A.), Mausbach (P.),		Maisano (G.) See Fontana (M.P.)	C7-151
Schnitker (J.), Blumberg (R.L.) and Stanley (H.E.) Structure and dynamics of the hydrogen		Mausbach (P.) See Geiger (A.)	C7-13
bond network in water by com- puter simulations	C7-13	Mausbach (P.) See Stanley (H.E.)	C7-3
Geiger (A.) See Stanley (H.E.)	C7-3	Migliardo (P.) See Bellissent-Funel (MC.)	C7-143
Goodfellow (J.M.) See Howell (P.L.)	C7-211	Migliardo (P.) See Fontana (M.P.)	C7-151
Guillaume (F.) See Perrot (M.)	C7-161	Migliore (M.) See Fornili (S.L.)	C7-219
Hansen (J.P.) Theory of ionic solutions	C7 - 97	Neilson (G.W.) Studies of the structure and dynamics of aqueous solutions	C7-119
Hestrade-Szwarkopf (H.) See Conard (J.)	C7-169	Palma (M.U.) See San Biagio (P.L.).	C7-225
Howell (P.L.) and Goodfellow (J.M.) Solvent networks in nucleotide		Palma-Vittorelli (M.B.) See San Biagio (P.L.)	C7-225
crystal hydrates	C7-211	Parello (J.) See Bourret (D.)	C7-255
Howells (W.S.) Liquid diffraction on the SNS	C7-81	Perrot (M.) and Guillaume (F.) Analysis by Raman spectroscopy	
Kahn (R.) See Bellissent-Funel (MC.)	C7-143	of the structure and the dyna- mics of some polyatomic anions in aqueous solutions	C7-161
Lang (E.W.) See Lüdemann (HD.)	C7-41		
Lang (E.W.) See Woznyj (M.)	C7-179	Pintar (M.M.) See Schreiner (L.J.)	
Lang (E.W.), Fink (W.) and		Poinsignon (C.) See Conard (J.)	C/-167
Lüdemann (HD.) The p,T,c- dependence of deuterium spin- lattice relaxation rates in super-		Poole (P.L.)Hydration and enzyme activity	C7-249
cooled LiCl-, NaCl- and MgCl ₂ -D ₂ O solutions	C7-173	Postma (J.P.M.), Berendsen (H.J.C.) and Straatsma (T.P.) Intramo-	
Lauter (H.J.) See Ramsay (J.D.F.)	C7-73	lecular vibrations from mole- cular dynamics simulations	
Lehmann (M.S.) Probing the pro- tein-bound water with other		of liquid water	C7-31
small molecules using neutron small angle scattering	C7-235	Ramsay (J.D.F.), Lauter (H.J.) and Tompkinson (J.) Inelastic	
Lepault (J.) See Dubochet (J.)	C7-85	neutron scattering of water and ice in porous solids	C7-73
Lüdemann (HD.) See Lang (E.W.)	C7-173	Riou (N.) See Bizot (H.)	C7-259
Lüdemann (HD.) and Lang (E.W.) Dynamics of pressurized and supercooled water and aqueous solutions studied by NMR	C7-41	San Biagio (P.L.), Madonia (F.), Sciortino (F.), Palma-Vittorelli (M.B.) and Palma (M.U.)	
Lüdemann (HD.) See Woznyj (M.)	C7-179	Cooperative interaction of poly- saccharide molecules in water:	
Madonia (F.) See San Biagio (P.L.)	C7-225	a role of connectivity properties of H-bonds within the solvent?	C7-225
Maisano (G.) See Bellissent-Funel (MC.)	C7-143	Schnitker (J.) See Geiger (A.)	C7-13

Schreiner (L.J.) and Pintar (M.M.) NMR and neutron studies of water dynamics in dense solutions	C7 -2 41	Weckström (K.) and Zulauf (M.) Phase separation and salting out of octyl penta(oxyethylene glycol) in water and heavy	03.103
Sciortino (F.) See San Biagio (P.L.).	C7-225	water	C7-137
Stanley (H.E.), Blumberg (R.L.), Geiger (A.), Mausbach (P.) and Teixeira (J.) The "locally- structured transient gel" model of water structure	C7-3	Worcester (D.L.) and Braganza (L.F.) Thermodynamic studies of macromolecular associations at membrane water interfaces	C7-267
Stanley (H.E.) See Geiger (A.)	C7-13	Woznyj (M.), Lang (E.W.) and	
Straatsma (T.P.) See Postma (J.P.M.)	C7-31	Lüdemann (HD.) Pressure dependence of the hydro-phobic effect. A NMR study in the system t-butanol/D, O	C7-179
Teixeira (J.), Bellissent-Funel (MC.), Chen (SH.) and Dianoux (A.J.) Dynamics of supercooled water studied by neutron scattering		Zaccai (G.) Direct determination of density and location of water associated with transfer RNA	C/-1/)
Teixeira (J.) See Stanley (H.E.)	C7-3	and of the conformation of the macromolecule as a function of	
Tompkinson (J.) See Ramsay (J.D.F.)	C7-73	salt in the solution	C7-265
Vercauteren (D.P.) See Fornili (S.L.)	C7-219	Zaccai (G.), Wachtel (E.) and Eisenberg (H.) Salt and water	
Wachtel (E.) See Zaccai (G.)	C7-269	binding to halophilic malate dehydrogenase	C7-269
Wanderlingh (F.) See Bellissent-Funel (MC.)	C7-143	Zulauf (M.) See Weckström (K.)	C7-137



COLLOQUE Nº 8 - 1984

Physics and Physicochemistry of Highly Condensed Matter

XXIInd Meeting of the EHPRG

Aussois (France), 1984

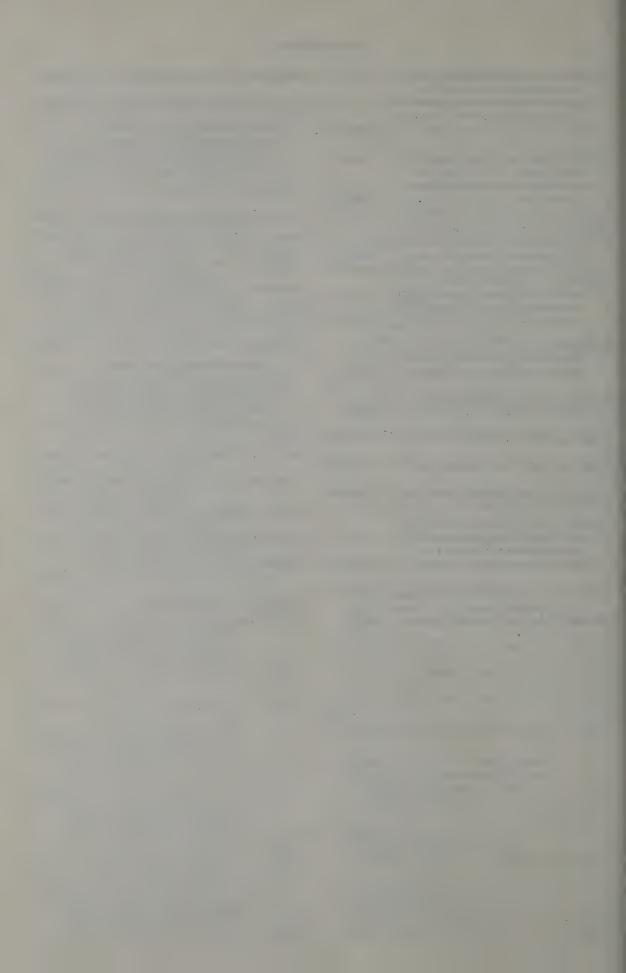
Andersson (G.), Sundqvist (B.) and Bäckström (G.) Electrical resistivity measurements under hydrostatic conditions up to 10 GPa	C8-379	Blanzat (B.), Tercier (N.), Denis (J.P.) and Barthou (C.) Effects on pressure on the spectra, lifetimes and energy transfer of Eu P ₅ O ₁₄ , Tb P ₅ O ₁₄ and Eu 1-x Tb x P ₅ O ₁₄	C8-71
Arles (L.) See Berthault (A.)	C8-301	Bolduan (F.) See Hochheimer (H.D.)	C8-195
Ashcroft (N.W.) See Dandrea (R.G.)	C8-13		Co-17)
Aviram (I.), Goshen (S.) and Thieberger (R.) On the pressure induced rotation-libration transition in molecular solid		Bonel (G.) et Roux (P.) Tendances actuelles en chimie de l'état solide sous pression. Un exemple les orthophosphates	C8-325
hydrogen	C8-207	Brinkmann (D.) See Huber (H.)	C8-75
Babare (L.V.) See Dremin (A.N.)	C8-177	Brochet (C.) See Bauer (P.)	C8-297
Bäckström (G.) See Andersson (G.)	C8-379	Brown (J.M.) See Shaner (J.W.)	C8-235
Barthou (C.) See Blanzat (B.)	C8-71	Buffat (B.) See Demazeau (G.)	C8-345
Bauer (P.), Presles (H.N.), Heuze (O.) and Brochet (C.) Generation of high dynamic pressures		Bui Ai See Hoang-The-Giam	C8-217
by means of gaseous explosive mixtures	C8-297	Calvert (L.D.) See Mishima (O.)	C8-239
Bendaoud (M.) See Hoang-The-Giam	C8-217	Cardona (M.) Pressure dependence of dynamical charges and ionicity of semiconductors	C8-29
Benedict (U.) Properties of actinide metals under high pressure.	C8-145	Chevallier (J.) See Galtier (P.)	C8-61
Bernier (H.) and Lalle (P.) Elastic-		Chevanier (5.) See darrier (1.)	00-01
plastic waves in UVo,2 uranium alloy	C8-273	Christensen (N.E.) See Hanfland (M.)	C8-57
Bernier (H.), Valadon (M.) and			
Lezaud (J.M.) Comparison between Hugoniot and some isentropic release curves of		Cohen (M.L.) Ab initio calculations for high pressure properties of solids	C8-7
copper in the pressure range 70 GPa - 150 GPa	C8-257	Cottet (F.), Hallouin (M.), Romain	
Berthault (A.) and Arles (L.) A technique for equation state determination of liquid metals at high temperatures and pressures	C8-301	(J.P.), Fabbro (R.) and Faral (B.) UV laser-driven shock-wave experiments at ultrahigh-pressures up to 5 TPa	C8-305
		Coulon (A.) and Jean-Louis (M.)	
Besson (J.M.) See Gauthier (M.)	C8-65	Effect of density on the induced	
Besson (J.M.) See Itie (J.P.)	C8-47	near infrared spectrum of solid parahydrogen with ortho impu-	
Black (D.) See Spain (I.L.)	C8-407	rities at 4.2 K	C8-211

Dandrea (R.G.) and Ashcroft (N.W.) Aluminum at T≈T _F : theory of the dynamically compressed		Gauthier (M.), Polian (A.), Besson (J.M.) Band gap variation of gallium selenide under high	
metallic state	C8-13	pressure	C8-65
De Gliniasty (M.) Metrology and dynamic behaviour of solids	C8-245	Goncharov (A.F.) See Makarenko (I.N.)	C8-43
Demazeau (G.), Pouchard (M.), Buffat (B.) and Hagenmuller (P.) High oxygen pressures and recent developments in the field of high oxidation states	C8-345	Gonzalez (J.) and Weill (G.) Electrical measurements within a gasketed diamond anvil cell. Photoconductivity of GaAs up to 7 GPa	C8-383
Denis (J.P.) See Blanzat (B.)	C8-71	Goshen (S.) See Aviram (I.)	C8-207
Derentowicz (H.), Dybek (W.), Wróbel (J.), Ziółkowski (Z.) and Zygmund (J.) Generation of shock waves in deuterium in the explosive Voitenko		Gregorian (T.) and Holzapfel (W.B.) - Effect of pressure on the fluorescence of Pr 3+ in LaCl ₃	C8-41
generator	C8-291	Grosshans (W.A.) See Düsing (EFr.)	C8-203
Destruel (P.) See Hoang-The-Giam	C8-217		
On the shock polymerization process	C8-177	Grosshans (W.A.) and Holzapfel (W.B.) On structural systema- tics of the lanthanides under pressure	C8-141
Ducommun (Y.), Nichols (P.J.), Helm (L.), Elding (L.I.) and Mersach (A.E.) Variable pres- sure oxygen-17 FTNMR and stop-		Hagenmuller (P.) See Demazeau (G.)	C8-345
ped-flow kinetic study of water exchange and DMSO substitu-		Hallouin (M.) See Cottet (F.)	C8-305
tion on square-planar tetraaqua- palladium(II) and -platinum(II)	C8-221	Hamilton (D.C.) See Nellis (W.J.)	C8-105
Düsing (EFr.), Grosshans (W.A.) and Holzapfel (W.B.) Equation of state of solid chlorine and bromine	C8-203	Hanfland (M.), Syassen (K.) and Christensen (N.E.) Volume dependence of optical transi- tions in GaAs: photomodulated reflectivity	C8-57
Dybek (W.) See Derentowicz (H.)	C8-291	Hatton (P.D.) Application of syn-	
Elding (L.I.) See Ducommun (Y.)	C8-221	chrotron radiation to high pres- sure x-ray diffraction	C8-365
Fabbro (R.) See Cottet (F.)	C8-305	Heinz (D.L.) See Jeanloz (R.)	C8-83
Fabre (D.) and Thiéry (M.M.) Pressure sensor for low tem-		Helle (W.) See Johannsen (P.G.)	C8-199
perature use	C8-405	Helm (L.) See Ducommun (Y.)	C8-221
Faral (B.) See Cottet (F.)	C8-305	Henning (S.) See Nellis (W.J.)	C8-105
Fukunaga (O.) High pressure syn- thesis of hard materials : C, BN	C8-315	Heuze (O.) See Bauer (P.)	C8-297
Galtier (P.), Chevallier (J.), Zigone (M.) and Martinez (G.) - Behavior of "one-mode" and "two-mode" mixed III-V		Hoang-The-Giam, Bui Ai, Destruel (P.), Bendaoud (M.) et Saidi (M.) Etude du phénomène de conduction électrique dans les isolants solides sous haute	C9 217
alloys under pressure	C8-61	pression hydrostatique	C8-217

Hochheimer (H.D.), Jodl (H.J.) and Bolduan (F.) The p-T phase diagram of oxygen determined by Raman scattering	C8-195	Johannsen (P.G.), Helle (W.) and Holzapfel (W.B.) Effect of pressure on Raman-spectra of solid HCl and HBr	C8-199
Holmes (N.C.) See Nellis (W.J.)	C8-105	Johannsen (P.G.) and Holzapfel	
Holzapfel (W.B.) See Düsing (EFr.)	C8-203	(W.B.) Effect of pressure on intermolecular bonds in solid halogens	C8-191
Holzapfel (W.B.) See Gregorian (T.)	C8-41	Katz (A.I.) See Mills (R.L.)	C8-187
Holzapfel (W.B.) See Grosshans (W.A.)	C8-141	Klug (D.D.) See Sim (P.G.)	C8-173
Holzapfel (W.B.) See Johannsen (P.G.)	C8-191	Lalle (P.) See Bernier (H.)	C8-273
Holzapfel (W.B.) See Johannsen (P.G.)	C8-199	Leger (J.M.) and Oki (K.) Pressure induced transitions in some rare-earth compounds	C8-149
Holzapfel (W.B.) See Olijnyk (H.)	C8-153	Lehmann (JC.) Allocution d'ouver- ture - Opening remarks	C8-1
Holzapfel (W.B.) See Olijnyk (H.)	C8-157		C8-1
Howell (R.H.) See Radousky (H.B.)	C8-369	Leliwa-Kopystyński (J.) Sticking experiments and non-gravita-	
Hu (J.Z.) See Spain (I.L.)	C8-407	tional component of the mecha- nism of the growth of planets	C8-109
Huber (H.), Mali (M.), Roos (J.) and Brinkmann (D.) NMR investi- gations of the superionic con- ductors MAg ₄ I ₅ (M = K,Rb) at pressures up to 0.7 GPa		Le Toullec (R.) See Itie (J.P.) Lezaud (J.M.) See Bernier (H.)	C8-53 C8-257
	C8-75	Loubeyre (P.) Calculations of the fcc-bcc ⁴ He phase transi-	
Ikawa (S.) See Sim (P.G.)	C8-173	tion at high pressure. An example: the correlated cell	00.10
Itie (J.P.) and Le Toullec (R.) High density refractive index of Xenon	C8-53	Lundberg (B.), Sundqvist (B.) and	C8-19
Itie (J.P.), Polian (A.) and Besson (J.M.) Variation of the opti-		Salaneck (W.R.) Pressure ef- fects on electrical conductivi- ties in intercalated graphite	C9 212
cal absorption edge of CsI at high pressure	C8-47	and doped polypyrrole	C8-213
Jayaraman (A.) The diamond anvil cell and high pressure research.	C8-355	McQueen (R.G.) See Shaner (J.W.)	C8-235
Jean-Louis (M.) See Coulon (A.)	C8-211	Madon (M.), Peyronneau (J.) and Poirier (J.P.) Diamond anvil cell ≡ shock wave gun ?	C8-117
Jeanloz (R.) and Heinz (D.L.) Experiments at high tempera-		Madon (M.) See Peyronneau (J.)	C8-403
ture and pressure: laser heating through the diamond cell.	C8-83	Makarenko (I.N.), Goncharov (A.F.) and Stischov (S.M.) Optical	
Jenner (G.) A new physico-chemical aspect in organic piezoche-		absorption spectra of caesium iodide (CsI) at pressures up to 60 GPa	C8-43
mistry. High pressure synthesis involving congestioned systems.	C8-341	Mali (M.) See Huber (H.)	C8-75
Jodl (H.J.) See Hochheimer (H.D.)	C8-195	Martinez (G.) See Galtier (P.)	C8-61

Menoni (C.S.) See Spain (I.L.)	C8-407	Peyronneau (J.) See Madon (M.)	C8-117
Mersach (A.E.) See Ducommun	C9 221	Poirier (J.P.) See Madon (M.)	C8-117
(Y.) Migault (A.) Melting under pres-	C8-221	Poirier (J.P.) See Peyronneau (J.)	C8-403
sure and thermal defects. Ap-		Polian (A.) See Gauthier (M.)	C8-65
plication to geophysical mine- rals	C8-113	Polian (A.) See Itie (J.P.)	C8-47
Mills (R.L.), Schiferl (D.), Katz (A.I.) and Olinger (B.W.) New phases		Pouchard (M.) See Demazeau (G.)	C8-345
and chemical reactions in solid CO under pressure	C8-187	Presles (H.N.) See Bauer (P.)	C8-297
Mishima (O.), Calvert (L.D.) and		Radousky (H.B.) See Nellis (W.J.)	C8-105
Whalley (E.) Amorphous ice made by "melting" at 77 K	C8-239	Radousky (H.B.), Reichlin (R.L.) and Howell (R.H.) High pressure positron annihilation	
Mitchell (A.C.) See Nellis (W.J.)	C8-105	studies of Fe in an diamond anvil cell	C8-369
Moss (W.C.) The effect of material strength on the relation-		Reichlin (R.) Electrical resistance	
ship between the principal Hugoniot and quasi-isentrope of beryllium and 6061-T6 alu-		measurements of metals to 40 GPa in the diamond cell	C8-399
minum below 35 GPa	C8-263	Reichlin (R.L.) See Radousky (H.B.)	C8-369
Nellis (W.J.), Holmes (N.C.), Mitchell (A.C.), Van Thiel		Rogers (F.J.) See Ross (M.)	C8-229
(M.), Radousky (H.B.), Hamilton (D.C.) and Henning (S.) Properties of the plane-		Romain (J.P.) Generation of high shock pressures by laser pulses.	C8-281
tary materials He, SiO ₂ , and N, at dynamic high pressures		Romain (J.P.) See Cottet (F.)	C8-305
and temperatures	C8-105	Roos (J.) See Huber (H.)	C8-78
Nichols (P.J.) See Ducommun (Y.).	C8-221	Ross (M.) and Rogers (F.J.) The structure of dense alkali halide melts	C8-229
Nicol (M.) and Yin (G.Z.) Organic chemistry at high pressure:		Roux (P.) See Bonel (G.)	C8-325
can unsaturated bonds survive	C8-163	Saidi (M.) See Hoang-The-Giam	C8-217
Oki (K.) See Leger (J.M.)	C8-149	Salaneck (W.R.) See Lundberg (B.).	C8-213
	C8-147	Schiferl (D.) See Mills (R.L.)	C8-187
Olijnyk (H.) and Holzapfel (W.B.) Phase transitions in Si, Ge and			00-107
Sn under pressure	C8-153	Schloessin (H.H.) Aids to high pressure and temperature determi-	
Olijnyk (H.) and Holzapfel (W.B.) On phase transitions and struc-		nation in diamond anvil high pressure experiments	C8-373
tural systematics in alkaline earth metals under pressure	C8-157	Schloessin (H.H.) Exotic methods of generating high pressure	
Olinger (B.W.) See Mills (R.L.)	C8-187	phases in small volume elements	C8-387
Peyronneau (J.), Madon (M.) and Poirier (J.P.) Indirect pressure measurements in diamond cell		Shaner (J.W.), Brown (J.M.), Swenson (C.A.) and McQueen (R.G.) Sound velocity of car-	
up to 1 megabar	C8-403	bon at high pressures	C8-235

Shen Guo-yin and Zhao Min-guang An ab-initio calculation for		Thieberger (R.) See Aviram (I.)	C8-207
pressure shifts of optical ab- sorption bonds in Fe ²⁺ - bearing		Thiéry (M.M.) See Fabre (D.)	C8-405
garnets	C8-93	Tyl (J.) and Włodarczyk (E.) Analysis of imploding shock waves	
Sim (P.G.), Klug (D.D.), Ikawa (S.) and Whalley (E.) Effect of		by the Chester-Chisnell- Whitham method	C8-267
pressure on the structure of molecules	C8-173	Valadon (M.) See Bernier (H.)	C8-257
Spain (I.L.) X-ray diffraction tech-		Van Thiel (M.) See Nellis (W.J.)	C8-105
niques in the diamond anvil high pressure cell	C8-395	Weill (G.) See Gonzalez (J.)	C8-383
Spain (I.L.), Hu (J.Z.), Menoni (C.S.)		Whalley (E.) See Mishima (O.)	C8-239
and Black (D.) New phases of semiconductors at ultrahigh		Whalley (E.) See Sim (P.G.)	C8-173
pressure	C8-407	Włodarczyk (E.) See Tyl (J.)	C8-267
Stevenson (D.J.) High pressure physics and chemistry in giant		Wróbel (J.) See Derentowicz (H.)	C8-291
planets and their satellites	C8-97	Xu Xi-shen and Zhang Wan-xiang Generalized Hellmann-	
Stischov (S.M.) See Makarenko (I.N.)	C8-43	Feynman and virial theorems in density functional theory at finite temperatures	C8-23
Sundqvist (B.) See Andersson (G.)	C8-379		
Sundqvist (B.) See Lundberg (B.)	C8-213	Yin (G.Z.) See Nicol (M.)	C8-163
Swenson (C.A.) See Shaner (J.W.)	C8-235	Zhang Wan-xiang See Xu Xi-shen	C8-23
	(8-2)	Zhao Min-guang See Shen Guo-yin.	C8-93
Syassen (K.) Pressure-induced 4f instabilities and insulator-metal transitions in heavy rare		Zigone (M.) See Galtier (P.)	C8-61
earth materials	C8-123	Ziółkowski (Z.) See Derentowicz	C8-291
Syassen (K.) See Hanfland (M.)	C8-57		
Tercier (N.) See Blanzat (B.)	C8-71	Zygmund (J.) See Derentowicz (H.)	C8-291



COLLOQUE Nº 9 - 1984

31st International Field Emission Symposium

Paris (France), 1984

Abe (T.) See Li Chang	C9-409	Block (J.H.) See Kruse (N.)	C9-227
Abend (G.) See Kruse (N.)	C9-227	Block (J.H.) See Melmed (A.J.)	C9-47
Al-Saleh (K.) See Jimbo (A.)	C9-417	Block (J.H.) See Schmidt (W.A.)	C9-263
Ando (T.) See Igata (N.)	C9-403	Block (J.H.) See Weigmann (W.)	C9-105
Andrén (H.O.) See Henjered (A.)	C9-349	Bolt (P.J.) See Bronsveld (P.M.)	C9-423
Audiffren (M.) See Bardon (J.)	C9-245	Bono (J.) See Lucas (A.A.)	C9-125
Bardon (J.) and Audiffren (M.) The		Bostel (A.) See Blavette (D.)	C9-379
polarisability of iridium neutral atoms and their Van der Waals		Bouet (M.) See Blavette (D.)	C9-379
interaction with a tungsten sur- face measured by F.I.M	C9-245	Bozdech (G.) See Ernst (N.)	C9-231
Barr (D.) See Papadopoulos (S.)	C9-217	Brenner (S.S.) See Camus (P.P.)	C9-265
Barsotti (T.), Bermond (J.M.) and		Brenner (S.S.) See Li Chang	C9-409
Drechsler (M.). The anisotropy of the surface energy of nickel		Brenner (S.S.) See Miller (M.K.)	C9-239
measured by T.E.M. of field emitters	C9-43	Brenner (S.S.) See Miller (M.K.)	C9-385
Beben (J.), Kleint (Ch.) and Meclewski (R.) The spectral density functions of the ad- sorption system K-/112/W. An attempt of surface diffusion		Bronsveld (P.M.), Elswijk (H.), Bolt (P.J.), Dubben (G.J.) and De Hosson (J.Th.M.) An imaging atom probe study	C9-423
investigation	C9-13	Brown (W.L.) See Papadopoulos (S.)	C9-217
Becker (H.) See Mertens (P.)	C9-309	Burke (M.G.) See Li Chang	C9-409
Bell (A.E.) See Kingham (D.R.)	C9-139	Burke (M.G.) See Miller (M.K.)	C9-239
Ben Assayag (G.) and Sudraud (P.) LMIS energy broadening inter- pretation supported by HV-TEM observations	C9-223	Camus (P.P.), Soffa (W.A.), Brenner (S.S.) and Miller (M.K.) Quantification of interconnected microstructures by FIM	C9-265
Bentley (J.) See Miller (M.K.)	C9-385	Cerezo (A.), Godfrey (T.J.), Moore	
Bermond (J.M.) See Barsotti (T.)	C9-43	(A.J.W.) and Smith (G.D.W.) An electronic and computer	
Blavette (D.), Bostel (A.) and Bouet (M.) Partitioning of alloying elements in a nickel base super-		system for an automated atom probe	C9-315
alloy containing Nb and Mo : an atom-probe study	C9-379	Cerezo (A.), Smith (G.D.W.) and Waugh (A.R.) The FIM100 - Performance of a commercial	00.000
Block (J.H.) See Ernst (N.)	C9-231	atom probe system	C9-329

Cerezo (A.) See Hetherington	C0 1/20	Drechsler (M.) See Vu Thien Binh	C9-23
(M.G.)	C9-429	Drechsler (M.) See Vu Thien Binh	C9-29
Cerezo (A.) See Li Chang	C9-409	Dubben (G.J.) See Bronsveld (P.M.)	C9-423
Chibane (K.) and Forbes (R.G.) On the use of curve intersection		Ehrlich (G.) See Ernst (N.)	C9-293
formalisms in field evaporation theory	C9-99	Elswijk (H.) See Bronsveld (P.M.)	C9-423
Chung (M.), Cutler (P.H.), Feuchtwang (T.E.), Kazes (E.) and Miskovsky (N.M.) Use of variational equations to analyze equilibrium and stability of an electrostatically stressed conducting fluid: application to a cuspidal model of an LMIS	C9-153	Ernst (N.), Bozdech (G.), Kato (S.) and Block (J.H.) H [*] ₃ formation during the field desorption of hydrogen Ernst (N.) and Ehrlich (G.) A combined field electron and field ion microscope	C9-231 C9-293
Chung (M.), Cutler (P.H.), Feuchtwang (T.E.) and Miskovsky (N.M.) Solution of Laplace's equation for a rigid conducting cone and planar counter-electrode: comparison with the solution to the Taylor conical model of a field emis- sion LMIS	C9-145	Feuchtwang (T.E.), Cutler (P.H.) and Kazes (E.) Comments on the theory of the resolution in the scanning tunneling micro- scope (STM) and the structure of of the tunneling barrier	C9-111
	0, 1,,	Feuchtwang (T.E.) See Chung (M.)	C9-145
Ciszewski (A.) and Melmed (A.J.) Epitaxial growth and some properties of samarium crystals		Feuchtwang (T.E.) See Chung (M.)	C9-153
on tungsten	C9-39	Feuchtwang (T.E.) See Lucas (A.A.)	C9-125
Crow (G.) See Levi-Setti (R.)	C9-197	Forbes (R.G.) On the shape of a liquid-metal field-ion emitter	C9-161
Cutler (P.H.) See Chung (M.)	C9-145	Forbes (R.G.) See Chibane (K.)	C9-99
Cutler (P.H.) See Chung (M.)	C9-153	Forbes (R.G.) See Mair (G.L.R.)	C9-179
Cutler (P.H.) See Feuchtwang (T.E.)	C9-111	Frank (O.) See Melmed (A.J.)	C9-47
Cutler (P.H.) See Lucas (A.A.)	C9-125	Fraser (H.L.) See Melmed (A.J.)	C9-373
De Castilho (C.M.C.) and Kingham		García (N.) See Kingham (D.R.)	C9-119
(D.R.) Energy distribution of free space field ionization: application to field strength calibration	C9-77	Gesley (M.A.) and Swanson (L.W.) Analysis of energy broadening in charged particle beams	C9-167
De Hosson (J.Th.M.) See Bronsveld (P.M.)	C9-423	Giessmann (U.) See Schmelzeisen-Redeker (G.)	C9-297
Desjonquères (M.C.) See Jardin (J.P.)	C9-9	Godfrey (T.J.) See Cerezo (A.)	C9-315
Doi (H.) See Igata (N.)	C9-403	Gomer (R.) Some recent results in surface diffusion	C93
Drachsel (W.) See Weigmann (W.).	C9-105	Good, Jr. (R.H.) See Lucas (A.A.)	C9-125
Drechsler (M.) See Barsotti (T.)	C9-43	Haiml (G.) See Krautz (E.)	C9-257

Hashizume (T.), Jimbo (A.) and Sakurai (T.) Surface segrega-		Jimbo (A.) See Hashizume (T.)	C9-435
tion of Cu-Ni alloys	C9-435	Jimbo (A.) See Sakurai (T.)	C9-343
Hashizume (T.) See Jimbo (A.)	C9-417	Jimbo (A.) See Sakurai (T.)	C9-453
Hashizume (T.) See Sakurai (T.)	C9-343	Joag (D.S.) and Jones (J.P.) The effect of substrate temperature	
Hashizume (T.) See Sakurai (T.)	C9-453	on the behaviour of gold and silver on the 100 tungsten plane	C0 50
Hellsing (M.) See Henjered (A.)	C9-349		
Henjered (A.), Hellsing (M.),		Jones (J.P.) See Joag (D.S.)	C9-59
Andrén (H.O.) and Nordén (H.) Atom-probe results support the	G0 240	Joyes (P.) See Van de Walle (J.)	C9-211
skeleton model for WC-Co	C9-349	Kaneda (O.) See Nishikawa (O.)	C9-459
Henjered (A.) See Skogsmo (J.)	C9-447	Karlsson (L.) and Nordén (H.) The	
Hetherington (M.G.), Cerezo (A.), Jakubovics (J.P.) and Smith (G.D.W.) Observations on the microstructure and magnetiza- tion of alnico permanent		determination of grain bounda- ry segregation profiles in boron containing austenitic stainless steels using TEM, AP and IAP.	C9-391
magnets	C9-429	Kaufman (M.J.) See Melmed (A.J.)	C9-373
Holland (C.E.) See Spindt (C.A.)	C9-269	Kato (S.) See Ernst (N.)	C9-231
Hren (J.J.) See Walck (S.D.)	C9-355	Kawada (H.) See Nishikawa (O.)	C9-465
Huang (Z.) See Lucas (A.A.)	C9-125	Kawanami (Y.) See Ishitani (T.)	C9-191
Hübner (H.) Experiment on the dynamics of tunneling through		Kazes (E.) See Chung (M.)	C9-153
metal oxide barriers	C9-279	Kazes (E.) See Feuchtwang (T.E.).	C9-111
Igata (N.), Sato (S.), Ando (T.), Doi (H.), Nishikawa (O.) and Shibata		Kell (B.) See Mertens (P.)	C9-323
(M.) Micro-segregation of chromium in Fe-Cr alloy	C9-403	Kellogg (G.L.) The CO oxidation reaction on Rh: A pulsed-laser	C0 2/5
Ishitani (T.), Umemura (K.), Kawanami (Y.) and Tamura (H.)		and imaging atom-probe study.	C9-365
Development of boron and		Kessler (T.) See Kruse (N.)	C9-227
phosphorous liquid-metal-ion sources	C9-191	Kingham (D.R.) and Bell (A.E.) In defence of the Taylor cone	
Jakobovics (J.P.) See Hetherington (M.G.)	C9-429	model: application to liquid metal ion sources	C9-139
Jaenicke (S.) See Weigmann (W.)	C9-105	Kingham (D.R.) See de Castilho (C.M.C.)	C9-77
Jardin (J.P.), Desjonquères (M.C.) and Spanjaard (D.) Diffusion of transition adatoms on per- fect and stepped transition me- tal surfaces from binding ener- gy calculations	C9-9	Kingham (D.R.) and García (N.) Resolution of field-ion micro- scopy versus scanning tunnel- ling microscopy for obtaining surface charge density corru- gations	C9-119
Jimbo (A.), Hashizume (T.), Sakurai (T.), Al-Saleh (K.) and Pickering (H.W.) An atom-		Kingham (D.R.) and Swanson (L.W.) Mechanisms of ion formation	
probe study of Fe-Ti alloys	C9-417	in liquid metal ion sources	C9-133

Kita (H.) See Wada (M.)	C9-251	Maas (A.) See Vu Thien Binh	C9-23
Kita (H.) See Wada (M.)	C9-471	Mair (G.L.R.) An analytical expression for the current-voltage	
Kleint (Ch.) See Beben (J.)	C9-13	characteristics of capillary type liquid metal ion sources	C9-173
Klein (R.) See Melmed (A.J.)	C9-373		0, 1, 2
Krautz (E.) and Haiml (G.) Field ion microscopic investigations of niobium, tantalum and palla-		Mair (G.L.R.), Mulvey (T.) and Forbes (R.G.) Energy spreads in field evaporation and liquid-metal ion sources	C9-179
dium interactions with reactive gases	C9-257	Martin (C.) See Menand (A.)	C9-95
Krüger-Elencwajg (H.) See Mertens (P.)	C9-323	Maurice (V.) See Melmed (A.J.)	C9-47
Kruse (N.), Kessler (T.), Abend (G.) and Block (J.H.) Adsorption of NO on Pt studied by pulsed field desorption mass spectrometry	C9-227	McCabe (A.R.) and Smith (G.D.W.) Surface structure and compo- sition changes on platinum - rhodium alloy catalysts	C9-483
Levi-Setti (R.), Wang (Y.L.) and		McLane (S.B.) See Tsong (T.T.)	C9-71
Crow (G.) High spatial resolu- tion SIMS with the UC-HRL scan		Męclewski (R.) See Bęben (J.)	C9-13
ning ion microprobe Leisch (M.) and Rendulic (K.D.)	C9-197	Melmed (A.J.), Maurice (V.), Frank (O.) and Block (J.H.) Rare-earth crystal growth from the	
Atom probe analysis of addition agent behavior in electrodeposition	C9-477	vapor: Eu/Re and Eu/W	C9-47
211101100000000000000000000000000000000	G2-177	Melmed (A.J.) See Ciszewski (A.).	C9-39
Li Chang, Cerezo (A.), Smith (G.D.W.), Miller (M.K.), Burke (M.G.), Brenner (S.S.), Taylor (K.A.), Abe (T.) and Olson (G.B.) Ageing of Fe-Ni-C martensite	C9-409	Melmed (A.J.), Twigg (M.E.), Klein (R.), Kaufman (M.J.) and Fraser (H.L.). The complementary use of atom probe field ion microscopy and analytical transmission electron microscopy for the study of a Ni-base super-	
Li Chang and Smith (G.D.W.) The silicon effect in the tempering		alloy	C9-373
of martensite in steels	C9-397	Menand (A.), Martin (C.) and Sarrau (J.M.) Field evaporation	
Lin (T.Y.) See Sinha (M.K.)	C9-303	charge state of boron ions: a temperature effect study	C9-95
Liou (Y.) See Tsong (T.T.)	C9-71	Mertens (P.), Kell (B.) and	
Liu (Z.G.) and Wagner (R.) Early stage decomposition of Ni-36at%Cu-9at%Al. An atomprobe FIM study	C9-441	Krüger-Elencwajg (H.) Analysis of HV-pulses from krytron and relay pulsers	C9-323
		Mertens (P.), Vidic (V.) and Becker	
Lucas (A.A.), Vigneron (J.P.), Bono	C9-263	(H.) The computer-controlled field ion microscope with atom-probe at the Hahn-Meitner-Ins-	
(J.) Cutler (P.H.), Feuchtwang (T.E.), Good, Jr. (R.H.) and		titute	C9-309
Huang (Z.) Potential distribution in metal-vacuum-metal		Mertens (P.) See Zhu (F.)	C9-361
planar barriers containing spherical protrusions or inclusions	C9-125	Miller (M.K.) Imaging atom probe computer experiments	C9-337

Miller (M.K.), Bentley (J.), Brenner (S.S.) and Spitznagel (J.A.) Long term thermal aging of type CF 8 stainless steel	e C9-385	Papadopoulos (S.), Barr (D.), Brown (W.L.) and Wagner (A.) The energy spread of ions from gold liquid metal ion sources	
Miller (M.K.), Burke (M.G.) and Brenner (S.S.) Morphological		as a function of source para- meters	C9-217
interpretation of modulated mi- crostructures	C9-239	Payne (S.) See Waugh (A.R.)	C9-207
Miller (M.K.) See Camus (P.P.)	C9-265	Pickering (H.W.) See Jimbo (A.)	C9-417
		Radny (M.) See Stęślicka (M.)	C9-65
Miller (M.K.) See Li Chang	C9-409	Rendulic (K.D.) See Leisch (M.)	C9-477
Miskovsky (N.M.) See Chung (M.)	C9-145	Röllgen (F.W.) See	
Miskovsky (N.M.) See Chung (M.)	C9-153	Schmelzeisen-Redeker (G.)	C9-297
Mitterauer (J.) Field emission and field ionization in a liquid metal		Sakata (T.) See Sakurai (T.)	C9-453
cesium field-effect source	C9-185	Sakurai (T.), Hashizume (T.), Jimbo (A.) and Sakata (T.) An atom-	
Moore (A.J.W.) See Cerezo (A.)	C9-315	probe study of III-V compound semiconductors	C9-453
Mori (T.) See Wada (M.)	C9-251		C7-477
Morin (R.) Mobility of sodium on		Sakurai (T.), Hashizume (T.) and Jimbo (A.) Single atom detec-	
the (110) face of tungsten	C9-17	tability of a ToF atom-probe	C9-343
Mulvey (T.) See Mair (G.L.R.)	C9-179	Sakurai (T.) See Hashizume (T.)	C9-435
Nagai (Y.) See Nishikawa (O.)	C9-465	Sakurai (T.) See Jimbo (A.)	C9-417
Nishikawa (O.) See Igata (N.)	C9-403	Sarrau (J.M.) See Menand (A.)	C9-95
Nishikawa (O.), Kawada (H.), Nagai (Y.) and Nomura (E.)		Sato (S.) See Igata (N.)	C9-403
Erroneous composition of GaAs mass-analyzed by atom-probes.	C9-465	Schmelzeisen-Redeker (G.), Giessmann (U.) and Röllgen	
		(F.W.) Field effects in mole- cular ion formation by the ther-	
Nishikawa (O.), Kaneda (O.), Shibata (M.) and Nomura (E.) Atom-		mospray technique	C9-297
probe study of Al-GaAs inter- faces	C9-459	Schmidt (W.A.), Lovisa (M.F.) and	
Nishikawa (O.) See Wada (M.)	C9-251	Block (J.H.) Field ion appearance spectroscopy at silicon	
COOK	n ml	surfaces	C9-263
Nishikawa (O.) See Wada (M.)	C9-471	Shibata (M.) See Igata (N.)	C9-403
Nomura (E.) See Nishikawa (O.)	C9-459	Shibata (M.) See Nishikawa (O.)	C9-459
Nomura (E.) See Nishikawa (O.)	C9-465	Sinha (M.K.) and Lin (T.Y.) Effect	
Nordén (H.) See Henjered(A.)	C9-349	of thermionic cathodes eva- poration products on high vol-	
Nordén (H.) See Karlsson (L.)	C9-391	tage vacuum breakdown	C9-303
Nordén (H.) See Skogsmo (J.)	C9-447	Skogsmo (J.), Henjered (A.) and Nordén (H.) Microanalysis of	
Olson (G.B.) See Li Chang	C9-409	TiC and Al ₂ O ₃ coatings on cemented carbides	C9-447
Panitz (J.A.) Biomolecular adsorp-	C9-285	Smith (G.D.W.) See Cerezo (A.)	C9-315

Smith (G.D.W.) See Cerezo (A.)	C9-329	Van de Walle (J.), Joyes (P.) and Sudraud (P.) A study of	
Smith (G.D.W.) See Hetherington (M.G.)	C9-429	NiCu ⁺ and NiAu ⁺ (n < 10) clusters obtained by field eva-	33
Smith (G.D.W.) See Li Chang	C9-397	Vanselow (R.) Thermal dissolution	C9-211
Smith (G.D.W.) See Li Chang	C9-409	of face specific Al-oxide layers in the presence of electric fields	
Smith (G.D.W.) See McCabe (A.R.)	C9-483	- Observation of compensation effects	C9-53
Smith (G.D.W.) See Waugh (A.R.)	C9-207	Vidic (U.) See Mertens (P.)	C9-309
Soffa (W.A.) See Camus (P.P.)	C9-265	Vigneron (J.P.) See Lucas (A.A.)	C9-125
Spanjaard (D.) See Jardin (J.P.)	C9-9	Vu Thien Binh and Drechsler (M.) Size and shape of crystal faces	
Spindt (C.A.), Holland (C.E.) and		on heated metal tips	C9-29
Stowell (R.D.) Recent progress in low-voltage field-emission cathode development	C9-269	Vu Thien Binh, Maas (A.) and Drechsler (M.) A preliminary	
The same of the same of the same of		study of surface self-diffusion and evaporation of a semicon-	
Spitznagel (J.A.) See Miller (M.K.)	C9-385	ductor (GaP)	C9-23
Stęślicka (M.) and Radny (M.) Sur-		Wada (M.) On the thermally activa-	
face states and adsorption in an external electric field	C9-65	ted field evaporation of sur- face atoms	C9-89
Stowell (R.D.) See Spindt (C.A.)	C9-269	Wada (M.), Kita (H.), Mori (T.) and	
Sudraud (P.) See Ben Assayag (G.).	C9-223	Nishikawa (O.) FIM observa- tion of GP [2] zone in Al-Cu	00.251
Sudraud (P.) See Van de Walle (J.).	C9-211	alloy	C9-251
Swanson (L.W.) See Gesley (M.A.).	C9-167	Wada (M.), Kita (H.) and Nishikawa (O.) FIM and atom-	
Swanna (I W) San Vinahan		probe studies of Ni-GaAs inter- face	C9-471
Swanson (L.W.) See Kingham (D.R.)	C9-133	14.00	C)-4/1
	0, 1,,	Wagner (R.) See Liu (Z.G.)	C9-441
Tamura (H.) See Ishitani (T.)	C9-191	Wagner (A.) See Papadopoulos (S.).	C9-217
Taylor (K.A.) See Li Chang	C9-409	Walck (S.D.) and Hren (J.J.) FIM/ IAP/TEM studies of hydrogen	
		in metals	C9-355
Tsong (T.T.) Pulsed-laser stimu-		Wang (Y.L.) See Levi-Setti (R.)	C9-197
lated field evaporation of silicon. A photoexcitation effect		PRODUCTION CONTRACTOR AND ADDRESS.	C)-17/
and cluster ion formation	C9-83	Waugh (A.R.), Payne (S.), Worrall (G.M.) and Smith (G.D.W.)	
Tsong (T.T.), McLane (S.B.) and		In situ ion milling of field ion specimens using a liquid metal	
Liou (Y.) A precision mea- surement of absolute ionic		ion source	C9-207
masses and energies of field	00.71	Waugh (A.R.) See Cerezo (A.)	C9-329
emitted ions	C9-71	Weigmann (W.) Drackest (W.)	
Twigg (M.E.) See Melmed (A.J.)	C9-373	Weigmann (W.), Drachsel (W.), Jaenicke (S.) and Block (J.H.) Field ionization and field desorp-	Finder
Umemura (K.) See Ishitani (T.)	C9 101	tion stimulated by synchrotron	
Je J	C7-171	radiation	C9-105

Wollenberger (H.).- See Zhu (F.).... C9-361

Zhu (F.), Mertens (P.) and
Wollenberger (H.).- Atom probe
FIM study of G.P. zone and Y"
phase in an aged Cu-2.1 wt.%

 Commission paritaire Nº 57.920

© Les Editions de Physique 1985

Directrice de la Publication : Jeanne BERGER

Imprimé en France. — JOUVE, 18, rue Saint-Denis, 75001 PARIS N° 33769. Dépôt légal : Mars 1985